

INSTITUTUL POLITEHNIC TIMIȘOARA  
FACULTATEA ELECTROTEHNICA

Ing.Nicolae Tudorache

STUDIUL PRIVIND POSIBILITATILE DE FOLOSIRE A UNEI  
ARMONICI A TRANSFORMATORULUI IN SCOPUL TRANSFERULUI  
DE PUTERE. -

BIBLIOTeca CENTRALă  
UNIVERSITATEA "POLITEHNICA"  
TIMIȘOARA

Teză de doctorat pentru obținerea titlului științific  
de doctor inginer în specialitatea „Mașini electrice”

Conducător științific :  
Prof.dr.ing.IOAN NOVAC

- Timișoara 1975

INSTITUTUL	TIMIȘOARA
Volum	311.575
Dulap	164

## INTRODUCERE

Dezvoltarea impetuoasă a electrotehnicii și electroenergeticii din ultimele decenii a ridicat, între altele, problema necesității unor surse capabile să furnizeze energie electrică sub o frecvență multiplu a celei industriale,  $nf(f=50\text{ Hz})$ , lucru realizabil cu ajutorul multiplicatoarelor statice de frecvență, de tip electromagnetic.

Cele mai utilizate multiplicatoare statice de frecvență, de tip electromagnetic, sunt cele la care  $n=2$ , numite în lucrare dubloare de frecvență statice și  $n=3$ , numite triploare de frecvență statice.

Multiplicatoarele de frecvență statice, de tip electromagnetic, pe care le vom numi în lucrare pe scurt multiplicatoare de frecvență statice, constituie, după cum vom demonstra în capitolele următoare, o utilizare practică a posibilităților de ordin teoretic de a folosi armonicele care iau naștere într-un transformator saturat, în scopul transferului de putere.

Dubloarele de frecvență statice se folosesc în tehnică pentru :

1. varierea turăției motoarelor de inducție din instalațiile de automatizare, [5], [6], [27], [28];

2. scheme de amplificare în cascadă a frecvenței industriale, [5], [6], [28];

3. alimentarea motorășelor de acționare cu turăție ridicată, folosite în acționarea sculelor și dispozitivelor speciale [7];

4. realizarea modulatoarelor cu ieșire pe armonici pară folosite pentru operații aritmetice prin discriminarea în amplitudine, [29], [34];

5. realizarea magnetometrelor cu ferosondă saturabilă, utilizate la măsurarea intensității cîmpului magnetic, la realizare.

•//•

-zarea gradiometrelor și aerometrelor [27].

Triploarele de frecvență statice cunosc, deasemenea, o folosire largă, datorită frecvenței de ieșire mai înaltă precum și faptului că nu necesită surse de curent continuu. Ele se utilizează în tehnică pentru :

1. alimentarea cuptoarelor de inducție [5], [6], [20];
2. alimentarea instalațiilor destinate încălzirii semifabricatelor și a pieselor brute din metale feroase sau neferoase [8], [56];
3. încălzirea metalelor înainte de sudare sau călire, încălzirea grafitului [6];
4. alimentarea agregatelor de sudură, a cablurilor subavatice de semnalizare și a agregatelor de prelucrare a metalelor prin electroeroziune [5], [6];
5. fizica nucleară, la alimentarea betatronului electromagnetic [7], [32].
6. tehnica tensiunilor înalte [59], [60], [61], [62], [63];
7. tehnica redresării și radiotehnică [26], [32], [38]
8. varierea vitezei motoarelor electrice utilizate pentru diferite instrumente electrice [21], [24], [41], [42], [47], [52];

In condițiile în care rețeaua de 50 Hz este, practic unica existentă, obținerea surselor de frecvență dublă și frecvență triplă în modul cel mai favorabil, la un randament corespunzător, apare ca normală să se realizeze prin elemente intermediare, modificatoare de frecvență.

Pentru aceasta se pot folosi multiplicatoarele de frecvență rotative, multiplicatoarele electronice, multiplicatoarele statice de frecvență de tip electromagnetic.

Dintre acestea, cele statice de tip electromagnetic au găsit o largă răspândire, datorită avantajelor pe care le prezintă în raport cu celelalte multiplicatoare de frecvență.

Pe lîngă considerentele de ordin tehnic legate de realizarea de scheme a unor anumite instalații electrice, dubloa

•//•

-rele și triploarele de frecvență s-au impus în electrotehnica și electroenergetica modernă datorită în principal, următoarelor avantaje [7] , [28] , [49] , [59] ,[63] :

1. nu necesită transformatoare, folosite pentru a adapta tensiunea de ieșire la valoarea impusă de tensiunea nominală a receptorului ;

2. permit reglarea relativ simplă a tensiunii de ieșire, fără a fi necesare dispozitive de reglaj cu contacte;

3. sănt aparate statice, fără organe în mișcare, montajul și exploatarea lor fiind realizată la costuri mai mici, comparabil cu mașinile electrice rotative, generatoare de frecvențe ridicate;

4. tehnologia de fabricație a dubloarelor și triploarelor de frecvență statice este relativ simplă, asemănătoare cu cea a transformatoarelor obișnuite, la puteri și tensiuni comparabile;

5. sănt mai sigure în exploatare;

6. greutatea, la parametrii comparabili este mai mică decât a mașinilor electrice rotative generatoare de putere, la aceeași frecvență;

7. o parte din dubloarele de frecvență statice și majoritatea triploarelor de frecvență statice permit încărcarea celor trei faze ale rețelei;

8. permit realizarea unor puteri mai mari decât la multiplicatoarele cu semiconductoare (mai ales dubloarele și triploarele de frecvență statice cu ieșire trifazată);

9. pot avea mai multe ieșiri, cu frecvențe diferite

10. pot fi prevăzute cu reglaj continuu sau în trepte al tensiunii de ieșire;

11. pot fi prevăzute cu automatizarea reglajului puterii de ieșire, menținând tensiunea constantă la variația curentului de ieșire;

12. sănt mai ieftine decât generatoarele rotative și multiplicatoarele cu semiconductoare, atîta timp cît nu se cere o tensiune de frecvență variabilă la ieșire.

Comparînd eficiența tehnico-economică a

folosirii dubloarelor sau triploarelor de frecvență statice ca surse de putere de frecvență mărită în lucrare se va demonstra că triploarele de frecvență statice sunt superioare dubloarelor de frecvență statice din următoarele considerente :

1. sunt mai simplu de realizat din punct de vedere tehnologic;

2. nu necesită sursă de curenț continuu;

3. un reactor saturat, component al triplorului de frecvență static este mai ușor de manevrat decât ansamblul dublor de frecvență static, având o greutate mult mai mică, lucru care prezintă importanță, mai ales, la măsurătorile efectuate în afara laboratorului;

4. triplorul de frecvență static încarcă uniform rețeaua și legat de aceasta, curentul  $I_1$  absorbit de la sistemul de alimentare este mai mic decât în cazul dublorului de frecvență, la performanțe în circuitul de ieșire comparabile;

5. triplorul de frecvență static producind o tensiune la ieșire a cărei frecvență este cu 50 % mai mare decât a dublorului de frecvență static, va face ca elementul încercat cu tensiune mărită să fie străbătut de un curenț corespunzător mai redus, cu toate consecințele care decurg de aici în ceea ce privește aspectul termic al problemei.

In condițiile avantajelor enumerate, multiplicatoarele de frecvență statice, de tip electromagnetic au o viteză de răspuns suficient de mică, iar durata proceselor tranzistorii care le caracterizează, la schimbarea bruscă a valorii tensiunii de alimentare sau a impedanței de sarcină, nu depășește niciodată una - două perioade ale tensiunii de alimentare.

Principalele deficiențe ale multiplicatoarelor de frecvență statice, de tip electromagnetic rezultate din însuși modul lor de funcționare sunt următoarele [7], [20], [63] :

- nu permit o reglare continuă a frecvenței tensiunii de ieșire;

- forma curbei tensiunii de ieșire nu este perfect sinusoidală, conținând armonici superioare, care, însă, în general, se pot înăbuși cu ajutorul unor filtre potrivit dimensiilor.

.//.

-nate, atunci cînd condițiile de calitate tehnică impun aceasta [7] , [26] , [27] , [28] , [44] , [49] , [62] , [63] .

Din considerentele prezentate, reiese că în ultimul timp s-au construit de preferință, multiplicatoare de frecvență statice, de tip electromagnetic, ale căror elemente principale sunt similare transformatoarelor electrice adică au ca părți componente un miez magnetic pe care se află două sau mai multe bobine legate între ele într-un anumit fel, alimentate de la surse de tensiune continuă sau alternativă (sau numai alternativă), funcție de raportul de multiplicare al frecvenței.

Un domeniu nou în care dubloarele și triploarele de frecvență statice își găsesc aplicabilitate este cel al laboratoarelor de înaltă tensiune pentru încercarea transformatoarelor de putere și a transformatoarelor de măsură a tensiunii, în care autorul a adus contribuții.

După cunoștința autorului studii mai aprofundate în acest domeniu nu au fost întreprinse, primele lucrări în această direcție fiind [59] , [60] , [62] , [63] , [64].

De fapt cercetările care au stat la baza acestei lucrări au ca punct de plecare necesități immediate ale dotării laboratoarelor de înaltă tensiune ale întreprinderilor de înaltă tensiune de electricitate în general și ale Laboratorului de Înaltă Tensiune din Cîmpina al IRE Ploiești, în particular.

In rezolvarea problemelor care s-au ridicat pentru prima dată autorul, folosind literatura tehnică de specialitate, a elaborat o sinteză critică avînd caracter monografic pentru a stabili tipurile de multiplicatoare de frecvență, care din punct de vedere teoretic satisfac condițiile tehnice cerute. In urma studiului întocmit autorul a putut să elaboreze modele și prototipuri pe care să verifice concluziile teoretice. Pentru a studia influența mărimilor electrice și magnetice asupra parametrilor multiplicatoarelor de frecvență, s-au elaborat programe pentru analiza pe calculator a dubloarelor și triploarelor de frecvență respective.

Prin variația inducției electomagnetică în miez și prin variația densității de curent s-au putut trage anumite concluzii privind optimizarea multiplicatoarelor de frecvență. Prezenta teză este o sinteză a rezultatelor obținute în urma cercetărilor teoretice aplicative a analizei pe calculator întreprinse de autor asupra dubloarelor și triploarelor de frecvență în cadrul activității desfășurate timp de cîțiva ani în Laboratorul de Înaltă Tensiune Cîmpina al IRE Ploiești.

Prin verificările experimentale ale concluziilor teoretice și a celor reieșite din analiza pe calculator, analiză neindicate în literatură, autorul consideră lămurit noi aspecte privind metodica de proiectare optimală a dubloarelor și triploarelor de frecvență.

Preocupările autorului în acest domeniu se încadrează în dezvoltarea energeticii moderne, care trebuie să asigure surse de putere la frecvențe  $2f$ ,  $3f$  și mai mari.

S-au întreprins cercetări teoretice și aplicative privind proiectarea, realizarea și verificarea experimentală pentru următoarele multiplicatoare statice de frecvență :

1. dublorul de frecvență static Joly-Epstein  
 $S_{2n} = 55$  KVA;  $220/180$  V;

2. dubloarele de frecvență în punte condensatorică și în punte inductivă, numai proiectare optimală;

3. triplorul de frecvență Spinelli  $S_{2n} = 200$  KVA;  
 $3 \times 220/800$  V;

4. triplorul de frecvență cu sarcină inclusă în conductorul de nul  $S_{2n} = 200$  KVA;  $3 \times 220/120$  V;

5. triplorul de frecvență autotransformatoric  
 $S_{2n} = 80$  KVA;  $3 \times 220/400$  V;

6. triplorul de frecvență Spinelli  $S_{2n} = 2$  KVA;  
 $3 \times 220/220$  V.

In afara avantajelor tehnice pe care le prezintă, dubloarele și triploarele de frecvență utilizate în cadrul activității de profilaxie a stațiilor electrice de transformare de înaltă tensiune aduc și importante beneficii, datorită faptului că prin depistarea defectelor transformatoarelor de putere și tensiune se elimină surse potențiale de incidente și avarii din sistem.

Rezultatele pe care le-a obținut autorul în proiectarea optimală a dubloarelor și triploarelor de frecvență pot fi folosite de institutele de cercetări și proiectări, care vor să elaboreze procedee tehnologice noi în care acestea se integrează ca elemente componente, ca subansamblu, cum ar fi: cupoare de inducție, instalații de sudură, laboratoare de înaltă tensiune și multe altele.

Autorul aduce mulțumirile sale prof.dr.ing.Ioan Novac pentru grija și îndrumarea permanentă ce i-au fost acordate pe tot parcursul anilor de doctorantură și în special la elaborarea tezei și finalizarea acesteia, considerînd că perioada de doctorantură a fost pentru el un prilej fericit de a lucra în

mod organizat în cadrul catedrei Utilizările Energiei Electrice și Mașini Electrice, condusă de prof.dr.ing.Toma Dordea.

Autorul ține să mulțumească prof.dr.ing. Alexandru Fransua, prin ale cărui contribuții la elaborarea lucrării [28], s-au fundamentat teoretic principii de funcționare ale multiplicatoarelor de frecvență cele mai utilizate, într-o lucrare apărută pentru prima dată în țara noastră.

In partea cu caracter monografic a acestei lucrări și în special în capitolele II și III, autorului i-a fost de un real sprijin [28], în care se prezintă și principalele avantaje ale multiplicatoarelor electromagnetice statice de frecvență, față de alte multiplicatoare cunoscute din literatură.

Tuturor colegilor de muncă de al căror sprijin și solicitudine a beneficiat fie prin participare directă la realizările prezentate în lucrare, fie prin atmosfera de emulație științifică și tehnică care s-a creiat în cadrul CIEET și IRE Ploiești, autorul le aduce mulțumirile sale.

## CAPITOLUL I

=====

### STUDIUL ANALITIC AL POSIBILITATILOR DE MULTIPLICARE PE CALE STATICĂ A FRECVENTEI, PRIN FOLOSIREA MIEZURIILOR SATURATE.

1.1. Introducere. În acest capitol s-a căutat să se sintetizeze noțiunile fundamentale privind principiul de funcționare al dubloarelor și triploarelor de frecvență folosind larga bibliografie care există în acest sens. [5] , [6] , [7] , [27] , [43] , [51] , [59] , [60] , [61] , [62] , [63] , [64]

Relațiile (1-11) și (1-18) din acest capitol reprezintă o sinteză a principiului de funcționare a multiplicatoarelor de frecvență statice de ordin impar, respectiv par.

Relația (1-11) explică principiul de funcționare al multiplicatoarelor de frecvență de ordin impar, statice, de tip electromagnetic, evidențiind faptul că acestea pot exista cînd lipsește componenta continuă a inducției magnetice în miez, în prezența componentei alternative a acesteia.

Relația (1-18) pune în evidență principiul de funcționare al multiplicatoarelor de frecvență de ordin par, statice, de tip electromagnetic, stabilind clar că acestea nu pot exista fără o componentă continuă a inducției magnetice în miez, indiferent de modul cum este generată aceasta (magneți permanenti, solenătie produsă de curent continuu, etc).

Deasemenea se prezintă modul de folosire al dezvoltării în serie Fourier pentru explicarea părților componente de bază ale unui multiplicator de frecvență.

În ultimul timp lucrările care tratează teoria multiplicatoarelor de frecvență cum ar fi [43] și cele citate în aceasta, folosesc polinoamele Cebîșev ca funcții, care aproximează

caracteristica intrare-iesire a multiplicatoarelor statice de frecvență. Acest mod de tratare teoretică a sintezei multiplicatoarelor de frecvență este prezentat și în lucrarea de față.

Să prezintă în acest capitol și metoda mărimilor relative folosită în literatură pentru analiza funcționării multiplicatoarelor de frecvență. În prezenta lucrare, ca urmare a aplicării metodei mărimilor relative la mai multe tipuri de triploare de frecvență și la dublorul de frecvență tip Joy-Epstein, se va studia utilitatea acestei metode în analiza comparativă a funcționării multiplicatoarelor de frecvență.

1.2. Folosirea posibilităților pe care le oferă dubloarele și triploarele de frecvență statice, de tip electromagnetic, pentru transferul de putere de la frecvență lf la frecvență 2f, respectiv 3f.

Multiplicarea frecvenței prin mijloace statice de tip electromagnetic se bazează pe faptul că saturarea unui miez feromagnetic, care constituie un circuit neliniar, ne dă posibilitatea să obținem o caracteristică intrare-iesire, astfel încât în semnalul de ieșire să existe componenta utilă nf, pe care s-o putem selecta prin mijloace, care depind de caracterul schemei multiplicatorului static de frecvență respectiv.

1.2.1. Circuite neliniare. Caracteristica de transfer (caracteristica intrare-iesire).

Circuitele neliniare sunt acele circuite al căror semnal de răspuns este o funcție neliniară de semnalul de excitare

$$y = ax^2 , \quad (1-1)$$

unde y - funcția de răspuns; x - semnalul de excitare (de intrare).

Spre deosebire de circuitele liniare, care prezintă proprietățile de omogenitate și aditivitate și ca urmare în semnalul de răspuns este conținut totdeauna în mod necesar, același spectru de frecvență ca și în semnalul de excitare, în cazul circuitelor neliniare, care nu prezintă propri-

-estatea de omogenitate, adică :

$$y(2x_1) \neq 2y(x_1) \quad (1-2)$$

și nici proprietatea de aditivitate, adică dacă avem :

$$y_1 = ax_1^2 \quad și \quad y_2 = ax_2^2 \quad (1-3)$$

este valabilă relația :

$$y(x_1 + x_2) \neq y_1 + y_2 , \quad (1-4)$$

semnalul de răspuns are un spectru diferit de frecvență de cel al semnalului de excitație.

In cazul reactoarelor saturate caracteristica de transfer este reprezentată grafic prin curba medie de magnetizare, care este relația dintre intensitatea cîmpului magnetic  $H$  și inducția magnetică în miez  $B$  :

$$H = f(B) \quad (1-5)$$

Pentru miezurile bobinelor neliniare realizate din ferosiliciu (97% Fe, 3% Si) cu cristale orientate, prin laminare la rece și tratamente termice speciale, mărimele caracteristice ale acestor curbe sunt, în general :

$$H_c = 8 \text{ A/m} \quad și \quad B_s = (1,8T \div 2,2T)$$

Dat fiind faptul că nu se pot stabili expresii matematice riguroase pentru curbele de magnetizare întîlnite în practică, literatura propune folosirea a diferite relații de aproximare a acestor curbe sau a unei porțiuni (care interesează în studiul ce se efectuează) a acestora.

Condițiile care se cer, de obicei, acestor relații sunt :

- a) să fie o expresie analitică cît mai simplă;  
•//•

b) să aproximeze cît mai exact caracteristica reală de transfer, care este neliniară.

Se cunosc următoarele funcții de aproximare ale caracteristicilor neliniare :

- funcția de aproximare este un polinom;
- funcția de aproximare este o exponențială;
- funcția de aproximare este transcendentă;

Din considerente de reprezentare cît mai fidelă a caracteristicii de magnetizare, în [7] se propune aproximarea caracteristicii neliniare prin funcții transcendentă. Se reușește în acest fel să se redea cît mai fidel zona în care se termină porțiunea liniară a curbei de magnetizare și începe saturarea.

Caracteristica de magnetizare se reprezintă prin relația :

$$H = \alpha_s \operatorname{sh} \beta_s \cdot B, \quad (1-6)$$

unde  $\alpha_s$  și  $\beta_s$  sunt coeficienți definiți ca fiind :

$$\alpha_s = H_s / 200 \text{ [A/m]} \quad \text{și} \quad \beta_s = 7,5 \sqrt{B_s}, \left[ \frac{1}{\text{Wb/m}^2} \right] \quad (1-7)$$

unde  $H_s$  și  $B_s$  reprezintă valorile mărimilor respective, la care începe saturarea,

Pentru cazul toalelor ARMCO de 0,35 mm, izolate carlit, având curba de magnetizare reprezentată în fig.1.1 , rezultă :

$$\alpha_s = 1500 / 200 = 7,5 \text{ A/m} ; \quad \beta_s = \frac{7,5}{B_s} = \frac{7,5}{1,8} \frac{1}{\text{Wb/m}^2}$$

Așa cum deducem din relațiile (1-2) ÷ (1-4), orice element de circuit neliniar are proprietatea ca atunci cînd fi aplicăm la intrare un semnal de excitație sinusoidal să prezinte la ieșire un semnal de răspuns al cărui spectru de frecvență să difere de spectrul de frecvență de la intrare.

Folosind aceste proprietăți ale circuitelor neliniare, se poate spune că, în principiu, orice element de circuit neliniar poate fi utilizat la realizarea multiplicatorului static de frecvență : reactorul saturat, tubul electronic,

//.

tiristorul, etc.

Dintre acestea, cel mai indicat este multiplicatorul static de frecvență folosind reactoare saturate, deoarece în conformitate cu [20] :

1. generatoarele rotative au un randament mai mic, o siguranță în funcționare mai coborită și o durată de lucru mai redusă;

2. generatoarele de frecvență statice cu tiristoare prezintă un preț de cost încă foarte ridicat, iar siguranța lor în funcționare nu a atins valori optime;

3. generatoarele statice de frecvență realizate cu tuburi electronice sănătă de puteri mici.

Dacă la acestea adăugăm și avantajele prezentate în capitolul introductiv, reiese clar că multiplicatorul static de frecvență de tip electromagnetic se preferă celorlalte, în toate cazurile în care neajunsurile care-l caracterizează (tensiunea de ieșire are frecvență neregabilă și forma curbei, uneori deformată) nu influențează nefavorabil funcționarea sa ca generator de putere de frecvență multiplu celei industriale.

Caracteristica de magnetizare fiind valabilă atât în valori instantanee cât și în valori efective, circuitul neliniar se numește neinertial.

Așa cum s-a arătat, datorită neliniarității, în spectrul semnalului răspuns apar armonici și subarmonici, care nu fac parte din spectrul semnalului de excitație periodic și care nu se pot pune în evidență decât prin analiza circuitelor neliniare, considerate neinertiale.

Acest lucru se poate demonstra, dacă ținem seama de expresia (1-6) a funcției de aproximare, în care introducem (cazul triploarelor de frecvență statice) pentru inducția electromagnetică expresia :

$$B = B_m \cos (\omega t + \varphi) \quad (1-8)$$

Rezultă :

$$H = \alpha_s \sin [\beta_s B_m \cos (\omega t + \varphi)] \quad (1-8)'$$

Se cunosc formulele :

$$\text{ch}(z \cos \varphi) = J_0(z) + 2 \sum_{n=1}^{\infty} J_{2n}(z) \cos 2n\varphi \quad (1-9)$$

$$\text{sh}(z \cos \varphi) = 2 \sum_{n=0}^{\infty} J_{2n+1}(z) \cos (2n+1)\varphi \quad (1-10)$$

Cu acestea relația (1-8)' devine :

$$H = 2 \alpha_s \sum_{n=0}^{\infty} J_{2n+1}(\beta_s B_m) \cos (2n+1)(\omega t + \varphi) \quad (1-11)$$

unde  $J_n$  - funcție Bessel de speță I-a și ordinul n, a cărei expresie este :

$$J_n(z) = \sum_{K=0}^{\infty} (-1)^K \cdot \frac{(\frac{z}{2})^{n+2K}}{K! (n+K)!} \quad (1-12)$$

$$J_n(jz) = j^n \sum_{K=0}^{\infty} \frac{(\frac{z}{2})^{n+2K}}{K! (n+K)!}$$

In cazul unui dublor static de frecvență, semnalul de intrare este suma dintre un semnal continuu și un semnal alternativ :

$$B = B_0 + B_m \cos (\omega t + \varphi) \quad (1-13)$$

cu care, pentru H, se obține expresia :

$$H = \alpha_s \text{sh} \beta_s B = \alpha_s \text{sh} [\beta_s B_0 + \beta_s B_m \cos(\omega t + \varphi)] \quad (1-14)$$

Dacă se ține seama că :

$$\operatorname{sh}(a+b) = \operatorname{sha} \cdot \operatorname{ch} b + \operatorname{cha} \cdot \operatorname{sh} b ,$$

atunci pentru intensitatea cîmpului magnetic rezultă o expresie de forma :

$$H = \alpha_s \left\{ \operatorname{sh} \beta_s B_0 \operatorname{ch} [\beta_s B_m \cos(\omega t + \varphi)] + \operatorname{ch} \beta_s B_0 \operatorname{sh} [\beta_s B_m \cos(\omega t + \varphi)] \right\} \\ (1-15)$$

Efectuînd dezvoltările :

$$\operatorname{ch} [\beta_s B_m \cos(\omega t + \varphi)] = J_0(\beta_s B_m) + 2 \sum_{n=1}^{\infty} J_{2n}(\beta_s B_m) \cos 2n(\omega t + \varphi), \\ (1-16)$$

$$\operatorname{sh} [\beta_s B_m \cos(\omega t + \varphi)] = 2 \sum_{n=0}^{\infty} J_{2n+1}(\beta_s B_m) \cos (2n+1)(\omega t + \varphi), \\ (1-17)$$

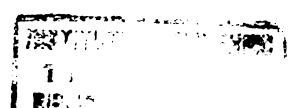
se obține formula finală :

$$H = \alpha_s \operatorname{sh} \beta_s B_0 \cdot \left[ J_0(\beta_s B_m) + 2 \sum_{n=1}^{\infty} J_{2n}(\beta_s B_m) \cos 2n(\omega t + \varphi) \right] + \\ + 2 \alpha_s \operatorname{ch} \beta_s B_0 \cdot \left[ \sum_{n=0}^{\infty} J_{2n+1}(\beta_s B_m) \cos (2n+1)(\omega t + \varphi) \right] (1-18)$$

Din analiza formulei (1-18) se observă că dubloul de frecvență static nu poate exista în lipsa unui semnal continuu deoarece atunci cînd  $B_0=0$ ;  $\operatorname{sh} \beta_s B_0=0$  și  $\operatorname{ch} \beta_s B_0=1$ ; expresia (1-18) se transformă în expresia (1-11), care nu are pentru intensitatea cîmpului magnetic componente de ordin par.

In schimb, la triploarele de frecvență la care se folosește și premagnetizarea în curent continuu, avem în expresia lui H componente de ordin par, care trebuie eliminate prin

.//.



procedee constructive sau de conexiune între înfășurări [5], [7], [63].

S-a demonstrat, deci, pe cale analitică că în spectrul semnalului de răspuns al multiplicatoarelor statice de frecvență de tip electromagnetic, datorită caracterului neliniar pe care îl prezintă caracteristica lor de magnetizare, apar armonici care nu se regăsesc în spectrul semnalului de excitație de la intrare; de fapt, aplicând la intrarea multiplicatorului de frecvență un semnal sinusoidal, vom avea la ieșirea lui un semnal nesinusoidal, semnalul sumă al tuturor armonicilor a căror existență s-a evidențiat pe cale analitică.

1.2.2. Folosirea dezvoltării în serie Fourier la determinarea armonicilor conținute într-un semnal răspuns nesinusoidal.

In subparagraful precedent am subliniat una din proprietățile remarcabile ale circuitelor neliniare și anume aceea de transformare a spectrului de frecvență al semnalului răspuns în raport cu cel al semnalului de excitație. In particular, dacă semnalul de excitație este sinusoidal, se obține un răspuns periodic, dar nesinusoidal.

Procesul de multiplicare al frecvenței prezintă anumite particularități în funcție de conținutul spectrului semnalului de răspuns și de modul în care se selectează unele componente ale acestuia.

In cazul în care se cunoaște expresia analitică a curbei periodice nesinusoidale de răspuns :

$$y = f(t) \quad (1.19)$$

definită în intervalul  $t_1$ ,  $t_1+2\pi$  și în acest interval se îndeplinesc condițiile lui Dirichlet :

1. funcția  $f(t)$  este mărginită;

2. punctele sale de discontinuitate maximale sau minimele sunt în număr limitat (de exemplu, funcțiile  $\frac{1}{t}$  și  $\sin \frac{1}{t}$  nu îndeplinesc, respectiv, condițiile lui Dirichlet pentru un interval în care se află  $t=0$ ), este posibil ca în intervalul menționat funcția să fie reprezentată printr-o serie de forma [1], [2], [3] :

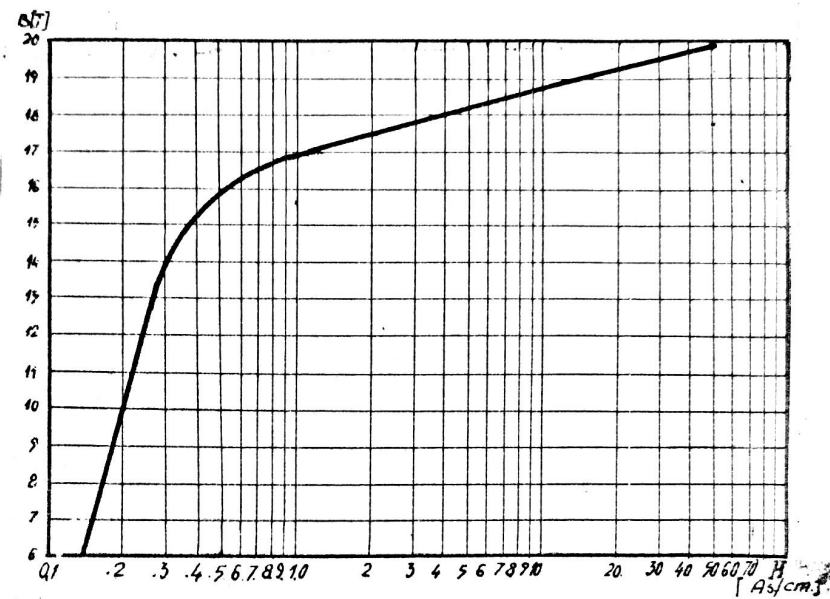


Fig.1-1 Curba de magnetizare,  $B=f(H)$ , pentru tolă ARMCO de 0,35 mm [30].

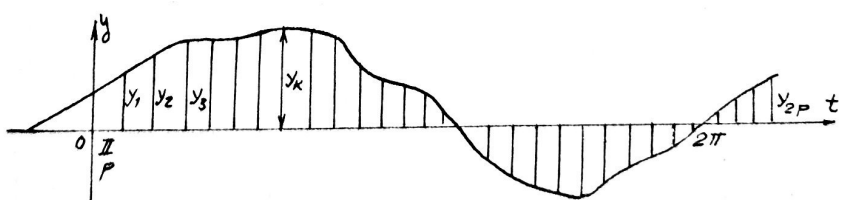


Fig.1-2 Curbă periodică nesinusoidală.

$$f(t) = b_0 + \sum_{n=1}^{\infty} a_n \sin nt + \sum_{n=1}^{\infty} b_n \cos nt \quad (1-20)$$

unde  $b_0$ ,  $a_n$  și  $b_n$  sunt coeficienți definiți de relațiile:

$$a_m = \frac{1}{\pi} \int_{t_1}^{t_1+2\pi} f(t) \sin mt dt ,$$

$$b_m = \frac{1}{\pi} \int_{t_1}^{t_1+2\pi} f(t) \cos mt dt , \quad (1-21)$$

$$b_0 = \frac{1}{2\pi} \int_{t_1}^{t_1+2\pi} f(t) dt$$

In cazul în care nu se cunoaște expresia analitică a curbei de răspuns, ea fiind determinată pe cale experimentală, având, de exemplu forma din fig. 1-2, literatura tehnică de specialitate pune la dispoziție diferite metode practice de calcul a coeficienților seriei Fourier și deci de determinare a amplitudinilor armonicilor de ordin superior conținute de această curbă.

Aceste metode se bazează pe transformarea integralelor în sume finite, adică se înlocuiește aria închisă de curbă și axa abciselor printr-o sumă de arii ale unor dreptunghiuri elementare.

Dintre aceste metode, prezentate în amănunt în [4] și [20] cel mai mult se folosesc :

- metoda Thomson Runge;
- metoda Krug Roth;

Cunoscând în acest fel armonicile semnalului  
•//•

de ieșire, pentru obținerea unui multiplicator static de un anumit ordin se pune problema găsirii mijloacelor tehnice de înăbușire a armonicilor nedorite.

**1.3. Studiul posibilităților de obținere a unor funcții de ieșire sinusoidale la dubloarele și triploarele statice de frecvență [44], [62], [63].**

Dubloarele și triploarele statice de frecvență de tip electromagnetic, indiferent de modul lor de funcționare, pot fi privite ca ansamblu de elemente electrice liniare și nalinieri.

Prin construcție, un multiplicator de frecvență trebuie să realizeze :

- generarea de unde periodice nesinusoidale cu ajutorul reactoarelor saturate; aici trebuie ținut seama că deoarece consumul este reactiv-inductiv, are loc o înrăutățire a factorului de putere, impunându-se îmbunătățirea acestuia prin folosirea condensatoarelor electrice;

- extragerea din spectrul nesinusoidal a undei de frecvență dorită, sinusoidală, deziderat realizat constructiv, prin conectarea într-un anumit fel al înfășurărilor, astfel încât armonicile nedorite să fie înăbusite. Cînd nu se reușește înăbușirea tuturor armonicilor și se dorește o curbă sinusoidală a undei de ieșire, se pot folosi filtrele [7], [26], [27], [28], [44], [49], [62] și [63].

- asigurarea pentru caracteristica exterioară a unui aspect dur, adică la creșterea lui  $I_2$ , tensiunea  $U_2$  să nu varieze mult, rămînind pe cît posibil constantă, deziderat realizat prin compensarea capacativă transversală și longitudinală;

- înlăturarea fenomenelor de rezonanță și auto-excităție, care produc perturbații în buna funcționare a unui multiplicator static de frecvență.

Se pune deci problema în ce măsură se poate obține un răspuns sinusoidal de pulsărie  $n\omega$ , la o excităție sinusoidală de pulsărie  $\omega$ .

Aceasta înseamnă <sup>că</sup> dacă semnalul de excităție  
•//•

are expresia :

$$x = X_m \cos \omega t , \quad (1-22)$$

trebuie să obținem în circuitul de ieșire semnalul de răspuns :

$$y = Y_m \cos n\omega t \quad (1-23)$$

In conformitate cu [51] , folosim notațiile:

$$\alpha = \frac{x}{X_m} = \cos \omega t = \cos \bar{\zeta} ; \beta_n = \frac{y}{Y_m} = \cos n\omega t = \cos n\bar{\zeta}, \quad (1-24)$$

unde  $\alpha$  reprezintă semnalul de excitație normat;  $\beta_n$  reprezintă semnalul răspuns normat, de ordinul  $n$ , iar  $\bar{\zeta}$  - timpul normat.

Semnalul răspuns, la o excitație sinusoidală de formă  $\alpha$ , este periodic și nesinusoidal, în cazul general, iar amplitudinea normată a armonicii sale de rang  $n$  are expresia :

$$\beta_n = \frac{1}{\pi} \int_0^{2\pi} f(\bar{\zeta}) \cos n\bar{\zeta} d\bar{\zeta} \quad (1-25)$$

După cum se poate observa, condiția necesară și suficientă pentru ca un multiplicator de frecvență cu caracteristica de transfer neliniară, excitat cu semnalul sinusoidal, să realizeze o multiplicare a frecvenței de ordinul  $n$ , este :

$$\beta_n = 1 , \quad \beta_m = 0 \quad (n \neq m) \quad (1-26)$$

adică :

$$f(\bar{\zeta}) = \cos n\bar{\zeta} \quad (1-27)$$

Deoarece  $\bar{\zeta} = \arccos \alpha$ , vom avea :

.//.

$$f(\zeta) = \cos n(\text{arc cos} \alpha),$$

ceea ce înseamnă că funcția  $f(\zeta)$  este de forma unui polinom Cebîșev de prima specie și de gradul  $n$ , notat în [51] cu  $T_n$ :

$$T_n(\zeta) = \cos(n \text{arc cos} \alpha) = \cos n\zeta \quad (1-28)$$

Deci, pentru a obține o multiplicare ideală de frecvență, de ordinul  $n$ , este necesar și suficient ca funcția de transfer să se exprime printr-un polinom Cebîșev de specie întâi și gradul  $n$ .

In cazul cînd semnalul răspuns normat are expresia

$$\beta_n = \cos(n\zeta + \gamma), \quad (1-29)$$

dezvoltînd obținem :

$$\beta_n = \cos \gamma \cdot \cos(n \text{arc cos} \alpha) - \sin \gamma \sin(n \text{arc cos} \alpha) \quad (1-30)$$

$$\text{sau } \beta_n = T_n(\alpha) \cos \gamma - U_n(\alpha) \sin \gamma \quad (1-31)$$

unde  $U_n(\alpha)$  este polinomul Cebîșev de specie două și gradul  $n$ .

In Tabelul 1.1 sunt trecute expresiile polinoamelor Cebîșev  $T_n(\alpha)$  și  $U_n(\alpha)$

Tabelul 1.1

Polinomul $T_n(\alpha)$	Expresia $T_n(\alpha)$	Polinomul $U_n(\alpha)$	Expresia $U_n(\alpha)$
$T_1(\alpha)$	$\alpha$	$U_1(\alpha)$	$\pm \sqrt{1-\alpha^2}$
$T_2(\alpha)$	$-1+2\alpha^2$	$U_2(\alpha)$	$\pm 2\alpha \sqrt{1-\alpha^2}$
$T_3(\alpha)$	$-3\alpha + 4\alpha^3$	$U_3(\alpha)$	$\pm (-1+4\alpha^2)\sqrt{1-\alpha^2}$
$T_4(\alpha)$	$1-8\alpha^2+8\alpha^4$	$U_4(\alpha)$	$\pm (-4\alpha+8\alpha^3)\sqrt{1-\alpha^2}$
$T_5(\alpha)$	$5\alpha - 20\alpha^3 + 16\alpha^5$	$U_5(\alpha)$	$\pm (1-12\alpha^2-16\alpha^4)\sqrt{1-\alpha^2}$

Ilustrarea acestui mod de sinteză este valabil pentru orice tip de multiplicator de frecvență monofazat, metoda având caracter general, particularitățile decurgînd din schema de conexiuni folosită.

### 1.3.1. Dublorul static de frecvență.

In capitolul 2 se vor expune mai multe tipuri de dubloare de frecvență. Principal se deosebesc două tipuri de dubloare de frecvență [51] :

- a) Dublorul de frecvență cu bobine neliniare, comandate longitudinal.

Acesta este dublorul static de frecvență numit Joly-Epstein, care va fi tratat în detaliu în capitolele 2 , 3 , 4 și 6 .

Comanda, aşa zisă longitudinală, se realizează cu ajutorul unei înfăşurări suplimentare de curent continuu, deoarece, aşa cum s-a demonstrat, în lipsa acesteia este imposibil să regăsim în expresia semnalului de răspuns armonici pare.

In figura 1-3 este reprezentat un asemenea dublor de frecvență care, constructiv, se compune din două miezuri pe fiecare din ele fiind montate trei înfăşurări :

- înfăşurarea primară, avînd  $W_1$  spire;
- înfăşurarea secundară, avînd  $W_2$  spire;
- înfăşurarea de premagnetizare în curent continuu, cu  $W_p$  spire.

Constructiv, înfăşurarea de premagnetizare în curent continuu poate fi comună ambelor miezuri, aşa cum este reprezentată în fig.1-3 sau ~~să~~ <sup>se poate</sup> să avem cîte o înfăşurare de  $W_p$  spire pentru fiecare miez al dublorului de frecvență.

Alimentarea dublorului de frecvență din fig.1-3 se face aplicînd la bornele 1-1' tensiunea alternativă sinusoidală de frecvență lf. Datorită cuplajului inductiv dintre circuitul de ieșire, în conformitate cu cele prezentate în paragraful 1.2.1 și fig.1-4, se observă că în circuitul de ieșire va fi generată o tensiune sinusoidală de frecvență 2f.

In fig.1-4 s-au reprezentat :

- curba curentului  $i(t)$ , considerat sinusoidal;
- curba  $\Psi''(t) = \Psi_I - \Psi_{II}$  unde prin  $\Psi_I$  și  $\Psi_{II}$  se  $\cdot/\cdot$ .

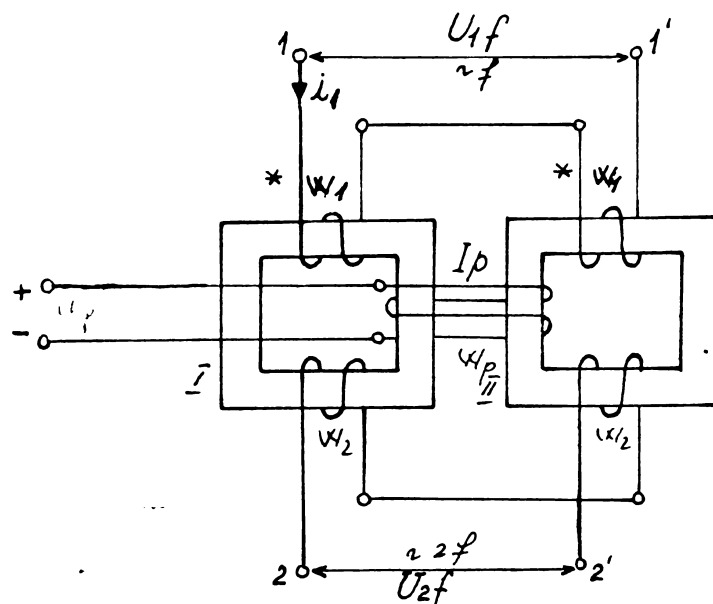


Fig. 1-3 Dublaj de frecvență comandat longitudinal

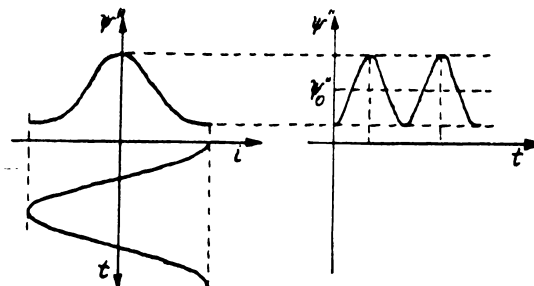


Fig. 1-4 Generarea fluxului sinusoidal de frecvență  $2f$  la dubloarele de frecvență cu comandă longitudinală.

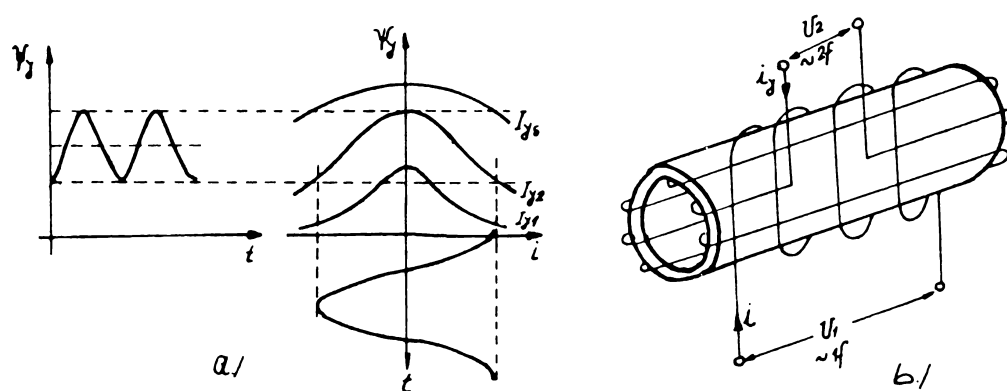


Fig. 1-5 a) Generarea fluxului sinusoidal de frecvență  $2f$  la dubloarele de frecvență cu comandă transversală;

b) Dublaj de frecvență comandat transversal.

înțeleg fluxurile în miezul I , respectiv II;

- cu ajutorul acestor curbe s-a obținut curba

$$\Psi''(t) = \Psi_I - \Psi_{II} \text{ de frecvență } 2f.$$

Acest semnal conține și un termen constant,  $\Psi_0''$ , dar tensiunea de ieșire  $u_2 = \frac{d\Psi''}{dt}$ , este sinusoidală.

b) Dublorul de frecvență cu bobine neliniare comandate transversal, [51].

Aplicând unui miez feromagnetic izotrop un cîmp magnetic de intensitate constantă pe direcția y și un cîmp alternativ de frecvență f pe direcția ortogonală x, se poate realiza un dublor de frecvență. Dacă se consideră drept parametru curentul continuu  $I_y$  cu ajutorul căruia se magnetizează miezul pe direcția y, se poate reprezenta o familie de caracteristici  $\Psi_y(i)$  ca în fig. 1-5a , observînd asemănarea acestor caracteristici cu polinoamele Cebîșev de speță întîi și de gradul al doilea (fig 1-8a).

La variația sinusoidală a curentului i, de frecvență 1f, din înfășurarea solenoidală, fig.1-5b , în înfășurarea toroidală, parcursă de curentul  $I_y$ , va apărea o componentă alternativă a fluxului  $\Psi_y$  de frecvență 2f.

Acest proces este cunoscut și sub denumirea de „efectul Procopiu” descris pentru prima dată de academician St.Procopiu în 1930.

### 1.3.2. Triplorul static de frecvență.

Ca și dublorul de frecvență, triplorul de frecvență este un ansamblu de bobine cu miez feromagnetic, liniare sau neliniare, astfel conectate încît la alimentarea bobinelor circuitului de intrare cu tensiune sinusoidală de frecvență 1f, să se obțină la bornele de ieșire o tensiune de ieșire de frecvență 3f.

Așa cum s-a arătat, triplorul de frecvență poate să fie prevăzut sau nu cu excitație în cc, din care cauză triplorele de frecvență sunt mult mai variate, expunerea detaliată a fiecărui tip făcîndu-se în capituloarele 2 , 3 , 5 și 6.

Triplorul de frecvență static de tip transformatoric, care se prezintă în fig.1-6, se compune din două bobine : una neliniară I și alta liniară II. Infășurările primare avînd  $W_1$  spire conectate în serie adițional, iar cele secundare avînd .//.

$w_2$  spire în serie-diferențial, conf.fig.1-6, [51].

Fiind un reactor saturat, la bornele de ieșire ale reactorului I, pe lîngă fundamentală, apare și armonica de ordinul trei de amplitudine  $1/3$  din cea a fundamentalei, adică tensiunea electromotoare va avea expresia :

$$u_{e2I} = 10 \sin \omega t + 3,3 \sin 3\omega t \quad (1-32)$$

Reactorul II este nesaturat, astfel încît t.e.m. care ia naștere la bornele sale secundare va avea expresia :

$$u_{e2II} = 10 \sin \omega t \quad (1-33)$$

Tensiunea rezultantă în ambele secundare, legate în serie diferențial, are expresia :

$$u_{3f} = u_{e2I} - u_{e2II} = 3,3 \sin 3\omega t \quad (1-34)$$

In practică însă, forma tensiunii rezultante de ieșire  $u_{3f}$  nu este perfect sinusoidală, conținînd un bogat spectru de armonici de rang impar : armonica 5-a, armonica 7-a etc. și o componentă reziduală de frecvență fundamentală, deoarece componenteile de frecvență fundamentală ale tensiunilor  $u_{e2I}$  și  $u_{e2II}$  nu se compensează perfect. Componentele nedorite din curba tensiunii  $u_{3f}$  se pot reduce la minim cu ajutorul unor filtre de frecvență potrivit alese.

Să exemplificăm pe acest tip de triplor de frecvență procedeul de sinteză al multiplicatoarelor de frecvență optimale, expus la începutul paragrafului 1.3.

Din analiza schemei de conexiuni se poate ajunge, pe cale analitică, la concluzia că sinteza unui astfel de triplor poate fi realizată corect, alimentînd cu tensiune sinusoidală la intrare și obținînd un răspuns sinusoidal la ieșire.

Metoda grafo-analitică redată în continuare după [51], permite să se constate că forma caracteristicii intrare- ieșire este asemănătoare unui polinom Cebîșev de speță întâi și ordinul trei.

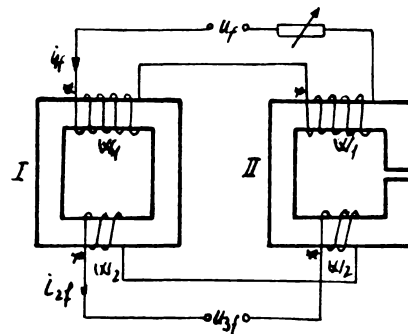


Fig.1-6 Triplorul de frecvență tip transformator cu întrefier.

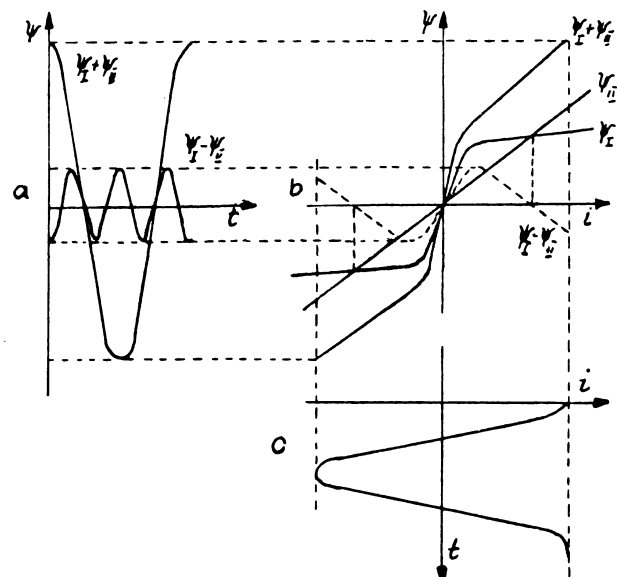


Fig.1-7 Caracteristici de magnetizare a celor două miezuri I și II, ale triplorului de frecvență tip transformator cu întrefier.

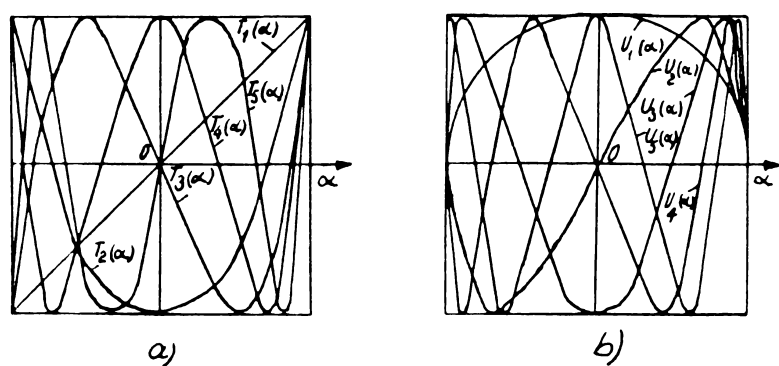


Fig. 1-8 Reprezentarea grafică a polinoamelor Cebîșev  
a) polinoame Cebîșev de speță întâia;  
b) polinoame Cebîșev de speță două.

Dacă  $\psi_I$  și  $\psi_{II}$  sunt valorile instantanee ale fluxurilor în cele două miezuri, și curentul în circuitul primar, în timpul, atunci :

$$u_{3f} = \frac{d(\psi_I - \psi_{II})}{dt} \quad (1-35)$$

In fig.1-7 sunt reprezentate caracteristicile de magnetizare ale celor două miezuri  $\psi_{I(i)}$  și  $\psi_{II(i)}$ ; deasemenea se reprezintă caracteristicile  $\psi_I + \psi_{II} = \psi'$  și  $\psi_I - \psi_{II} = \psi''$ .

Se observă că ultima caracteristică are forma analoagă polinomului Cebîșev de speță întâi și de ordinul al treilea reprezentat în fig.1-8.

Sinteza optimală a triplorului de frecvență din fig.1-6 presupune admise următoarele :

- cind caracteristica de magnetizare crește monoton, atingînd o valoare maximă (extremă), atunci excitația este maximă;

- dacă se aproximează caracteristica de magnetizare printr-un polinom de puteri impare (deci nu printr-o funcție transcendentă), coeficientul termenului de gradul al treilea este negativ în cazul polinomului  $\psi_{(i)}$  și pozitiv în cazul polinomului  $i(\psi)$ .

Dacă semnalul de ieșire , fluxul electromagnetic , trebuie să aibă frecvență triplă, atunci funcțiile de aproximare polinomale pentru cele două miezuri sunt :

$$\beta_I = a_1 \alpha_I + a_3 \alpha_I^3, \quad (1-36)$$

$$\beta_{II} = b_1 \alpha_{II}$$

unde  $\alpha_I = \alpha_{II} = \alpha$ -deoarece bobinele sunt conectate în serie, iar :

$$\beta_I = \frac{\psi_I}{\psi_m}; \quad \beta_{II} = \frac{\psi_{II}}{\psi_m}; \quad \alpha = \frac{i}{I_m} \quad (1-37)$$

•//•

Calculind derivata :

$$\frac{\partial \beta_I}{\partial \alpha} = a_1 + 3a_3\alpha^2 \quad (1-38)$$

și ținând seama că pentru  $\alpha < 1$ ,  $\beta_I(\alpha)$  crește monoton, rezultă  $\frac{\partial \beta_I}{\partial \alpha} > 0$ , iar pentru  $\alpha = 1$ ,  $\beta_I(\alpha)$  atinge valoarea maximă, încât  $\frac{\partial \beta_I}{\partial \alpha} = 0$ , vom avea :

$$a_1 + 3a_3 = 0 ; \quad a_1 = -3a_3 \quad (1-39)$$

Efectuăm diferențele între răspunsurile normate :

$$\beta_I - \beta_{II} = (a_1 - b_1)\alpha + a_3\alpha^3 \quad (1-40)$$

Făcînd substituțiile necesare, obținem expresiile :

$$\begin{aligned} \alpha &= \cos \zeta \\ \beta_I - \beta_{II} &= (a_1 - b_1)\alpha + a_3\alpha^3 = (a_1 - b_1)\cos \zeta + \\ &+ a_3 \cdot \frac{1}{4} (3 \cos \zeta + \cos 3\zeta) = \\ &= (a_1 - b_1 + \frac{3}{4} a_3) \cos \zeta + \frac{a_3}{4} \cos 3\zeta \end{aligned}$$

Considerăm că semnalul de ieșire  $\psi_I - \psi_{II}$  oscilează în opozitie de fază față de curentul i și vom avea expresia :

$$\beta_I - \beta_{II} = - \cos 3\zeta, \quad (1-41)$$

care conduce la următoarele valori ale coeficienților :

$$a_3 = -4; \quad a_1 = 12; \quad b_1 = \frac{3}{4} a_3 + a_1 = 9 \quad (1-42)$$

Rezultă că pentru semnalul de răspuns normat se obține expresia :

$$\beta_I - \beta_{II} = 3\alpha' - 4\alpha^3, \quad (1-43)$$

care în conformitate cu Tabelul 1.1 este un polinom Cebîșev de speță I-a și gradul trei, ceea ce avem de demonstrat .

•//•

#### 1.4. Sistemul mărimilor relative [62], [63].

Pentru analiza funcționării dublorului și tripolarului static de frecvență este favorabil ca toate tensiunile, curenții, fluxurile magnetice și alte mărimi să se prezinte într-un sistem special de mărimi relative.

Se cunosc mai multe sisteme de unități relative, însă cel prezentat este mai frecvent utilizat, datorită simplității lui precum și faptului că se poate folosi la toate regimurile de funcționare.

Prin introducerea acestui sistem se simplifică simțitor toate formulele, din ele eliminându-se anumiți parametrii cum ar fi : mărul de spire al bobinelor, secțiunea transversală activă și înălțimea miezului  $S_m$  și  $h$ , frecvența tensiunii de alimentare, precum și mărimile care caracterizează curba de magnetizare :  $\alpha_s$ ,  $\beta_s$ ,  $H_s$  și  $B_s$ .

Se remarcă faptul că această posibilitate de a alege sistemul de unități relative prin care se elimină unii parametrii, ne arată că nu toți au o influență hotărîtoare asupra caracterului de variație al curenților, tensiunilor și fluxului în multiplicatorul de frecvență.

Mărimile în sistemul de unități relative se bazează superior și se calculează cu formulele :

$$\bar{u} = \frac{U}{2\pi f W \cdot B_{baz} \cdot S_m} \quad (1-44)$$

$$\bar{i} = \bar{F} = \bar{H} = \frac{i \cdot W}{H_{baz} \cdot l} = \frac{H}{H_{baz}}$$

$$\bar{B} = \bar{\phi} = \bar{\psi} = \frac{B \cdot S_m}{B_{baz} \cdot S_m} = \frac{B}{B_{baz}} = \frac{\phi}{B_{baz} \cdot S_m} = \frac{\psi}{W \cdot B_{baz} \cdot S_m}$$

$$\bar{Z} = \frac{Z \cdot H_{baz} \cdot \ell}{2 \pi f \cdot W^2 \cdot B_{baz} \cdot S_m} ;$$

$$\bar{P} = \frac{P}{2 \pi f \cdot B_{baz} \cdot H_{baz} \cdot S_m \cdot \ell} ;$$

$$\bar{r} = \frac{r \cdot H_{baz} \cdot \ell}{2 \pi f \cdot W^2 \cdot B_{baz} \cdot S_m} ;$$

(1-44)

$$\bar{x}_L = \bar{L} = \frac{x_L \cdot H_{baz} \cdot \ell}{2 \pi f \cdot W^2 \cdot B_{baz} \cdot S_m} ;$$

$$\bar{x}_C = \bar{C} = \frac{x_C \cdot H_{baz} \cdot \ell}{2 \pi f \cdot W^2 \cdot B_{baz} \cdot S_m} ;$$

$$\bar{t} = 2 \pi f t ;$$

$$\bar{\mu}_s = \frac{\mu_s \cdot H_{baz}}{B_{baz}} ;$$

unde indicile „baz” arată că este vorba de mărimea de bază respectivă.

In aceste expresii,  $F$  și  $\phi$  sunt valorile instantanee ale tensiunii magnetomotoare și fluxului magnetic în miez;  $W$  – numărul de spire al bobinei respective;  $S_m$  – secțiunea miezului;  $\ell$  – lungimea liniei medii de tensiune m.m. Restul notatiilor sunt cunoscute.

Se specifică faptul că în formulele pentru expresiile mărimilor din circuitul primar ( $u_1, i_1$ ) se admite  $W = W_1$ ; pentru parametrii circuitului de ieșire se admite  $W = W_2$ . //.

$B_{baz}$  și  $H_{baz}$ , în sistemul ales și la aproximarea curbei de magnetizare printr-o funcție transcendentă, sunt definiți de formulele :

$$B_{baz} = \frac{l}{\beta_s}; \quad H_{baz} = \alpha_s, \quad (1-45)$$

unde  $\alpha_s$  și  $\beta_s$  sunt calculați din relațiile (1-7).

În formulele prezentate s-a folosit S.I de măsuri

#### 1.5. Tendințe în tehnica mondială și în R.S.R. privind multiplicatoarele de frecvență statice.

Din analiza literaturii tehnice de specialitate se poate constata că în folosirea multiplicatoarelor statice de frecvență și în ceea ce privește performanțele acestora există două tendințe : una calitativă și alta cantitativă.

1.5.1. Tendința performanțelor calitative privește dubloarea statică de frecvență, în dezvoltarea cărora se pune un mare accent pe creșterea clasei de precizie.

În [2] se prezintă un proiect îmbunătățit al unui compensator de c.c. de finală clasă de precizie, utilizat pentru măsurarea curentilor din bare colectoare între 20.000 — 100.000 A.

În [27] se descrie un modulator de cîmp transversal, care utilizează cîmpuri magnetice suprapuse ortogonale, folosind un miez inelar gol, cu înfășurare inelară de curent alternativ și o înfășurare toroidală de c.c. Pragul limită al acestui modulator este de  $10^{-14}$  A.

Lucrarea [36] se referă la construcția unui compensator de curent continuu, folosind dubloul static de frecvență, utilizat la etalonarea transformatoarelor de curent continuu. Precizia instalației este de 0,0000% .

Modulatoarele cu ieșirea pe armonica două se folosesc, după cum se arată în [29], atunci cînd trebuie să efectuăm măsurători, care în prealabil au fost înregistrate pe bandă, cînd este util un cap de redare sensibil la flux și nu la

.//.

derivata acestuia .

Utilizarea practică a acastui tip special de cap de redare sensibil la flux este, de obicei, limitată la un singur canal, dar în [34] se descrie un patent pe baza căruia se dispune de posibilitatea de înregistrare pe mai multe canale.

Deasemenea, în [27] este descrisă folosirea pe scară largă a dubloarelor statice de frecvență pentru realizarea magnetometrelor cu ferozondă diferențiale și cu schemă de tip transformator.

#### 1.5.2. Tendința performanțelor cantitative.

In unele domenii industriale legate, mai ales, de metalurgie se pune problema să disponem de multiplicatoare statice de frecvență de mare putere.

Acest lucru este posibil prin utilizarea triploarelor de frecvență statice, care se alimentează de la rețea-trifazată, datorită cărui fapt prezintă la ieșire o putere mare.

In conformitate cu [20], frecvența de 150 Hz asigură o încălzire mai bună a metalului, într-un timp mai scurt.

In [7] se arată că s-a construit de către firma Inductoterm un triplor static de frecvență  $S_{2n}=700$  KVA și  $\eta = 95\%$ .

Lucrarea [20] prezintă un triplor de frecvență cu sarcină inclusă în conductorul de nul  $S_{2n}=2,432$  KVA.

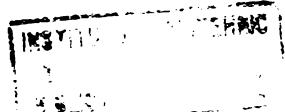
Un triplor de frecvență cu  $S_{2n}=150$  KVA;  $\eta = 8\%$  și un altul cu  $S_{2n}=400$  KVA și  $\eta = 90\%$  sunt descrise în [25].

In [28] se afirmă că pentru cuplajele de inducție s-au construit multiplicatoare de frecvență a căror putere  $S_{2n}=3500$  KVA.

Un triplor de frecvență cu  $S_{2n}=15$  KVA și  $\eta = 82\%$ , al cărui cost reprezintă 80 % din cel al unui generator rotativ similar, este descris în [40], iar un triplor de frecvență cu  $S_{2n} = 25$  KVA și  $\eta = 86\%$  este prezentat în [52].

După cunoștința autorului, cel mai mare triplor de frecvență construit în RSR, începând din anul 1968, este redat în [59] și are  $S_{2n} = 200$  KVA;  $\eta = 91,6\%$ ;  $U_{2n}=800$  V;  $I_{2n}= 250$  A.

•//•



In lucrare se mai prezintă un triplor de frecvență  $S_{2n}=2$  KVA;  $\eta = 99,5\%$  și un dublor de frecvență  $S_{2n}=5,6$  KVA și  $\eta = 80,49\%$ , ambele utilizate la încercarea cu tensiune mărită indușă între spire a transformatoarelor de tensiune cu izolația degresivă în gama 6 – 110 kV.

## CAPITOLUL II.

### TIPURI DE DUBLOARE SI TRIPLOARE STATICE DE FRECVENTA

2.1. Introducere. Utilizarea dubloarelor și triploarelor statice de frecvență în domeniile de vîrf ale științei și tehnicii contemporane ca surse de putere avînd frecvența dublă sau triplă deoarece a rețelei de alimentare sau ca părți componente principale a numeroase aparate de măsură sau sisteme de automatică, suscită un interes deosebit în analiza și sinteza acestora.

In (27) se arată că un studiu teoretic complet asupra performanțelor dublorului static de frecvență este complicat și laborios. Este însă posibil să se obțină concluzii satisfăcătoare, considerind cazuri speciale ale funcționării dublorului, mai ușor accesibil studiului analitic, aşa cum se procedează și în cazurile prezentate în acest capitol.

Similar se pune problema și în cazul triploarelor de frecvență.

La elaborarea acestui capitol monografic de sinteză a studiului actual în teoria dubloarelor și triploarelor statice de frecvență s-a folosit experiența acumulată de diverse școli specializate în problemă și în deosebi cea sovietică, germană și americană, prezentate în lucrările (5), (6), (7), (26), (27) și (49).

De un real folos i-au fost autorului și rezultatele școlii românești, reprezentată în acest sens de lucrările elaborate în cadrul I.P. București, I.P. Iași și I.P. Timișoara (20), (28), (43) și (44).

Colectivele din București sub îndrumarea prof.dr. ing. Al. Fransua și cel din Iași condus de conf.dr.ing. S. Mitrea au aprofundat aspectul teoretic al problemei, de sinteză, colectivul din Timișoara, care și-a desfășurat activitatea în cadrul catedrei de Utilizările Energiei Electrice și Mașini Electrice, condusă de prof.dr.ing. Toma Dordea propunîndu-se să rezolve problemele de analiză a multiplicatoarelor statice

de frecvență și îndeosebi a optimizării proiectării, construc-  
ției și funcționării acestora.

Prezentarea principală a funcționării dubloa-  
relor și triploarelor de frecvență fiind făcută în capitolul I,  
în acest capitol cu caracter monografic se prezintă o sinteză  
a diferitelor tipuri de dubloare și triploare de frecvență,  
cunoscute din literatură, criteriul de selecție fiind cel al  
unei mai largi utilizări a acestora în știință și tehnologie.

#### 2.2. Dubloul static de frecvență cu ieșire monofazată

Aceste dubloare de frecvență se clasifică în  
trei mari grupe :

1. cu intrare monofazată ;
2. cu intrare bifazată ;
3. cu intrare trifazată ;

Dubloarele statice de frecvență cu intrare  
monofazată se folosesc acolo unde puterea de ieșire fiind sufici-  
ent de mică, nu sunt necesare dubloare cu intrare bifazată  
sau trifazată mai complicate și mai scumpe, alimentate de la o  
rete trifazată.

Dubloarele statice de frecvență din grupa două  
se realizează sub forma de scheme speciale de convertire  
a unui sistem trifazat într-un sistem bifazat ; dintre schemele  
folosite enumerăm : schema Scott cu transformatoare, schema Scott  
cu autotransformatoare, schema F. Stern cu două transformatoare  
monofazate speciale, schema Kubler cu transformator trifazat  
special, schema Sons cu transformator bifazat.

Indiferent de schema folosită costul instala-  
ției crește și siguranța în funcționare scade, un asemenea  
sistem neadoptîndu-se decât atunci cînd condițiile de putere  
de ieșire sau de încărcare a sistemului trifazat o impun.

Dubloarele statice de frecvență cu intrare  
trifazată au un consum mare de material activ și de manoperă

și săt complicate, folosirea lor fiind indicată numai la puteri suficient de mari, astfel încât costul specific să fie comparabil cu al dubloarelor cu intrare monofazată.

2.2.1. Dabloarele statice de frecvență cu intrare monofazată și ieșire monofazată.

2.2.1.1. Dublorul static de frecvență Joly-Epstein

Schema de principiu a acestui tip de dublor este reprezentată în fig.2-1. El se compune din două transformatoare monofazate A și B, cu trei înfășurări fiecare.

Înfășurările primare sunt conectate în serie-diferențial, iar cele secundare și de premagnetizare în serie-aditonal.

Înfășurarea de premagnetizare se cuplează la sursa de curent continuu. Pentru obținerea unei caracteristici exterioare dure, în circuitul de sarcină se introduce un condensator, iar pentru înăbușirea armonicilor de ordinul doi în circuitul de curent continuu se conectează un filtru, atunci cînd înfășurarea de premagnetizare nu este comună ambelor miezuri.

Miezurile transformatoarelor A și B se saturează succesiv într-o perioadă, deoarece într-o jumătate de perioadă într-un transformator se adună, iar în altul se scad t.m.m ale înfășurărilor cu  $W_1$  și  $W_p$  spire.

In fig.2-2 se reprezintă formele idealizate ale tensiunilor secundare  $u'_{e2}$  și  $u''_{e2}$  din cele două înfășurări secundare, corespunzător cazului în care caracteristica de magnetizare a miezurilor transformatoarelor A și B are neliniaritate moderată

Tensiunile secundare ale fiecărui transformator în parte, descompuse în serie Fourier, au expresiile :

$$u'_{e2} = 10 \sin \omega t + 3,3 \sin 2\omega t \quad (2-1)$$

$$u''_{e2} = 10 \sin \omega t - 3,3 \sin 2\omega t \quad (2-2)$$

Tensiunea de ieșire aplicată sarcinii Z, va fi :

$$u_{eZ} = u'_{e2} - u''_{e2} = 6,6 \sin 2\omega t \quad (2-3)$$

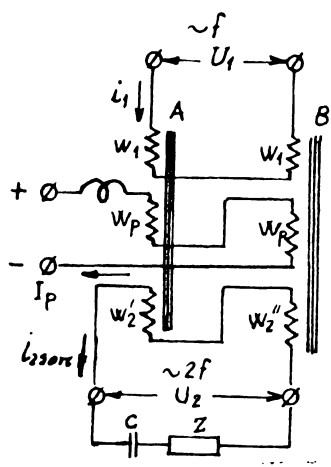


Fig. 2-1 Schema electrică a dublului de frecvență Joly-Epstein

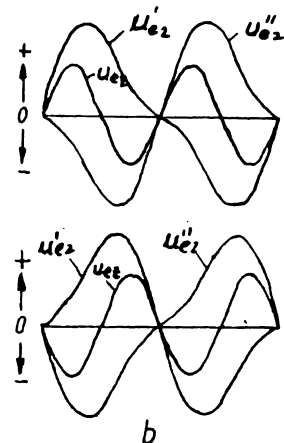


Fig. 2-2 Forme idealizate ale tensiunilor secundare  $u'_e2$ ,  $u''_e2$  și  $u_e2$

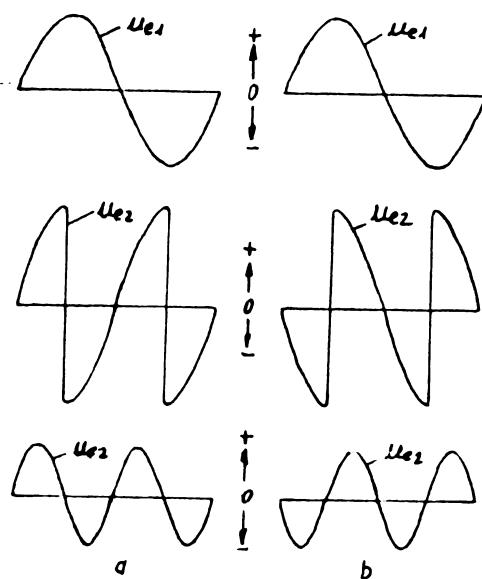


Fig. 2-3 Forme idealizate ale tensiunilor, ilustrând principiul de funcționare al schemei din fig. 2-1 cu miezul din material cu ciclul rectangular, corespunzînd :

- a) la sensul pozitiv al lui  $I_p$ ;
- b) la sensul negativ al lui  $I_p$ ;

Termenii de armonica două din ecuațiile (2-1) sunt pozitivi sau negativi, în funcție de sensul curentului continuu  $I_p$  prin înfășurările de premagnetizare. În astfel de condiții idealizate de funcționare, caracterizate de ecuațiile (2-1) și (2-2), se va obține o tensiune de ieșire pur sinusoidală. În practică apar și frecvențe superioare lui  $2f$ , pentru a căror înăbușire se folosesc filtrele.

Dublorul Joly-Epstein prezintă o mare stabilitate la variația frecvenței și tensiunii de intrare.

#### 2.2.1.2. Dubloarele de frecvență statice în punte.

Când nu este necesară izolarea sarcinii de circuitul de alimentare în curent alternativ și nici adaptarea impedanței înfășurărilor secundare, prin variația numărului de spire, se pot folosi scheme în punte.

La aceste dubloare de frecvență circuitul de sarcină se alimentează de la bornele uneia din diagonalele punții, compus din două reactoare saturate și două condensatoare (fig. 2-4 a și b), sau două jumătăți a unei înfășurări a transformatorului (fig. 2-4 c și fig. 2-4 d) sau, în final, din patru reactoare saturate (fig. 2-4 e).

La dublorul de frecvență din fig. 2-4 e, circuitele de magnetizare a reactorului saturat sunt montate în brațele opuse ale punții, pot fi unite constructiv și ca urmare puntea inductivă poate fi compusă din două elemente cu duble înfășurări. Variantele a și b din fig. 2-4 se disting una de alta prin aceea că sarcina se conectează la diagonalele diferite ale aceleiași punți.

La această diferență de conectare se obțin pentru dubloarele de frecvență caracteristici cu totul diferite. La consumuri de materiale diferite, dublorul din fig. 2-4 a are caracteristică exterioară dură, iar dublorul de frecvență din fig. 2-4 b, deși are puntea compusă din aceleași elemente, are caracteristica exterioară moale.

Circuitul de sarcină în toate dubloarele de frecvență în punte este străbătut de curent, în care nu avem armonica de bază sau armonici fără soț, așa că el este conectat la bornele între care diferența de potențial, în lipsa premagnetizării în c.c este nulă.

//.

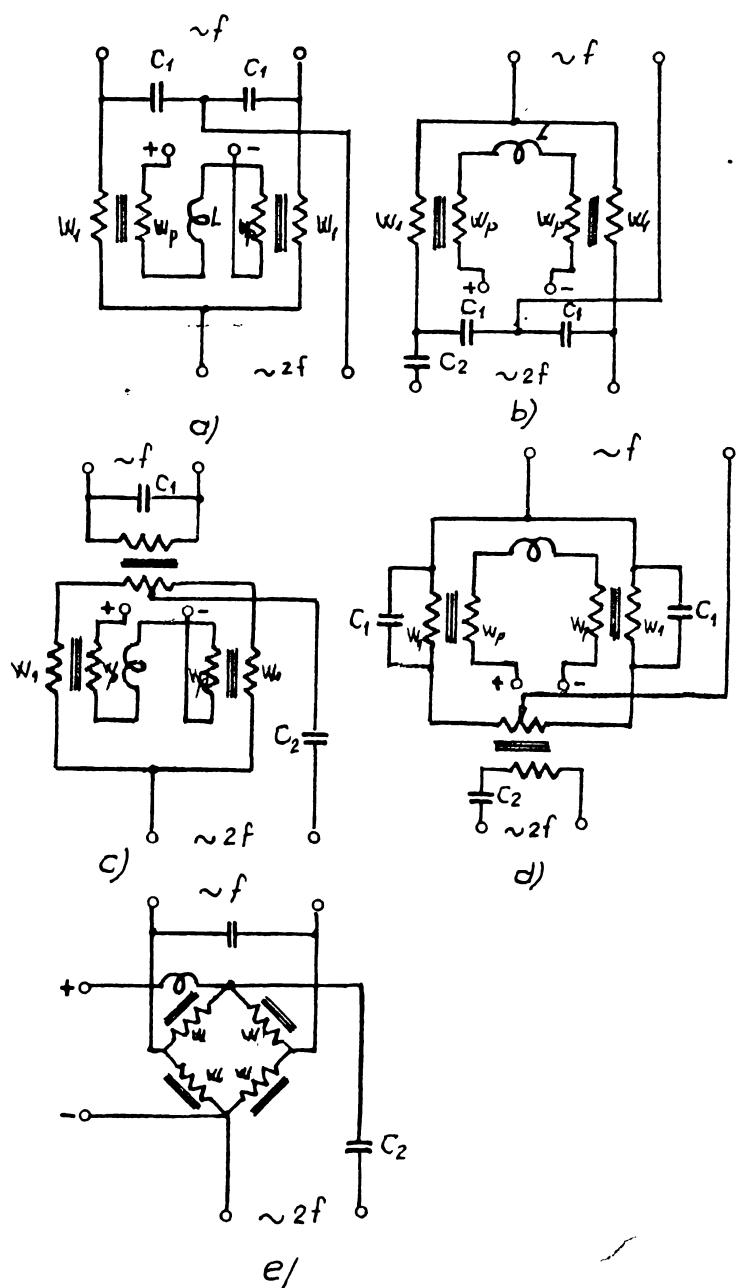


Fig.2-4 Schemele dubloarelor de frecvență în punte.

- a) Dublor de frecvență cu condensator în punte;
- b) Dublor de frecvență cu condensatoare inverse, în punte;
- c) Dublor de frecvență în punte cu transformatoare și și condensator de șuntare;
- d) Dublor de frecvență, în punte, cu transformatoare inverse;
- C<sub>1</sub> – condensator cosφ; C<sub>2</sub> – cond.compensare longitud.
- e) Dublor de frecvență inductiv, în punte, cu bobine grupate.

### 2.2.1.3. Dubloarele de frecvență speciale.

Măsurările cu modulatoare magnetice cu ieșirea pe armonica doua sau cu magnetometre cu ferosondă saturabilă necesită un redresor sau un demodulator sensibil la fază. Dacă folosim o schemă demodulatoare excitată sincron, de tipul în punte-inel, frecvența tensiunii sincrone trebuie să fie dublul frecvenței curentului care circulă prin înfășurările de curent alternativ. Cînd puterea de ieșire necesară este suficient de mică, schemele de măsurări folosesc un modulator magnetic cu ieșirea pe armonica doua sau pe un magnetometru cu ferosondă saturabilă.

In fig.2-5 a este reprezentat un modulator cu ieșirea pe armonica doua, cu un singur miez toroidal, cu circuit de excitație în c.c. avînd un circuit  $L_E R_E$  și înfășurările secundare de  $W_2$  spire (uneori cu priza mediană) alimentate în curent continuu.

In fig.2.5 b este reprezentat un dublu de frecvență cu miez toroidal cu înfășurarea primară cu  $W_1$  spire și înfășurări secundare  $W'_2$  și  $W''_2$  cu priză mediană. In locul excitației suplimentare în c.c. se folosește un magnet permanent, care asigură magnetizarea unidirectională a miezului în formă de inel din aliaj de feronichel.

### 2.2.2. Dublorul de frecvență cu intrare bifazată și ieșire monofazată. (28)

In fig.2-7 este reprezentată schema electrică a unui dublu de frecvență cu intrare bifazată și ieșire monofazată. In fig.2-6 este reprezentată o secțiune printre-un asemenea dublu de frecvență, care se compune din două elemente constructive I și II, fiecare cu două miezuri M și N, deci cu patru miezuri în total.

Pe fiecare miez sunt montate trei înfășurări cu  $W_1$ ,  $W_2$  și  $W_p$  spire. Infășurările primare cu  $W_1$  spire pe două miezuri ale unui element sunt legate în serie diferențial, deci la același curent miezurile au fluxuri opuse și egale.

Tensiunea  $u_1$  se aplică înfășurării primare a primului element constructiv, iar  $u_2$  celui de al doilea element constructiv.

$$u_1 = \sqrt{2} \cdot U_1 \cos \omega t \quad (2-4)$$

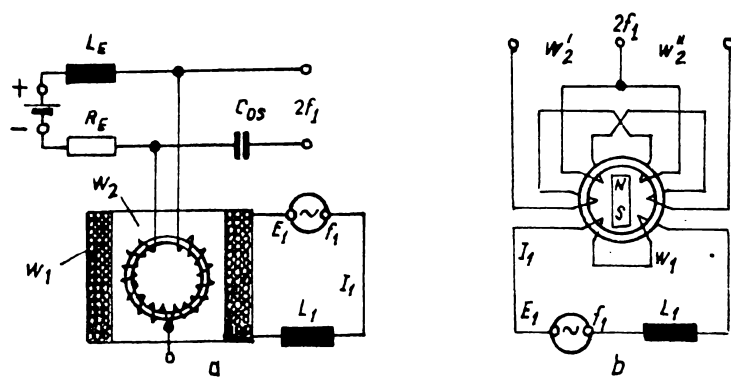


Fig.2-5 Scheme de dubloare de frecvență specială

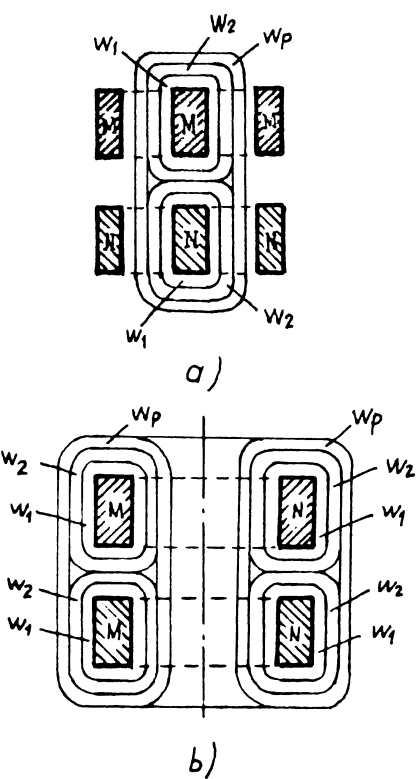


Fig.2-6 Construcția dublorului de frecvență cu intrare bifazată.

- a) cu miezuri paraleipedice;
- b) cu miezuri toroidale;

$$u_2 = \sqrt{2} U_1 \cos(\omega t - \frac{\pi}{2}) = \sqrt{2} U_1 \sin \omega t \quad (2-5)$$

Presupunem că dubloul de frecvență funcționează în gol ( $i_2 = 0$ ). Tensiunea  $u_1$  se repartizează jumătate pe  $W_1$  și miezului M și jumătate pe  $W_p$  din miezul N, elementul constructiv I. Curentul de premagnetizare absorbit produce, evident, fluxuri opuse ca sens în miezurile M și N. La saturarea miezurilor M și N fluxurile fasciculare  $\phi_{IM}$  și  $\phi_{IN}$  nu sunt alternative ci pulsatorii și deformate, deoarece atunci cînd în miezul M solenitaile din  $W_1$  și  $W_p$  se adună, în miezul N acestea se scad.

După o jumătate de perioadă se schimbă rolurile și miezul N este saturat, iar miezul M nesaturat, deci avem relația :

$$\phi_{IN}(\omega t) = \phi_{IM}(\omega t + \pi) \quad (2-6)$$

Dacă  $\phi_{IM}$ , descompus în serie Fourier, are expresia :

$$\begin{aligned} \phi_{IM} = & \phi_0 + \phi_1 \sin \omega t + \phi_2 \sin 2\omega t + \phi_3 \sin 3\omega t + \phi_4 \sin 4\omega t + \phi_5 \sin 5\omega t + \\ & + \phi_6 \sin 6\omega t + \phi_7 \sin 7\omega t + \phi_8 \sin 8\omega t + \dots \end{aligned} \quad (2-7)$$

atunci, conform (2-6) există relația :

$$\begin{aligned} \phi_{IN}(\omega t) = & \phi_{IM}(\omega t + \pi) = \phi_0 - \phi_1 \sin \omega t + \phi_2 \sin 2\omega t - \phi_3 \sin 3\omega t + \\ & + \phi_4 \sin 4\omega t - \phi_5 \sin 5\omega t + \phi_6 \sin 6\omega t - \phi_7 \sin 7\omega t + \phi_8 \sin 8\omega t + \\ & + \dots \end{aligned} \quad (2-8)$$

Datorită modului de conectare și alimentare a elementelor I și II sunt evidente expresiile :

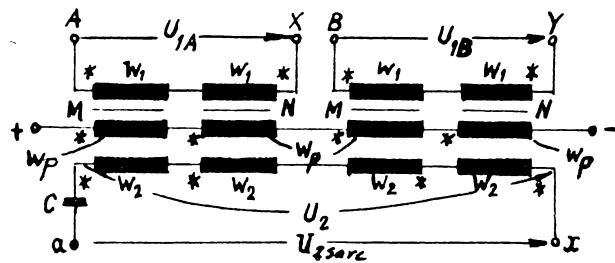


Fig.2-7 Dublorul de frecvență cu intrare bifazată și ieșire monofazată

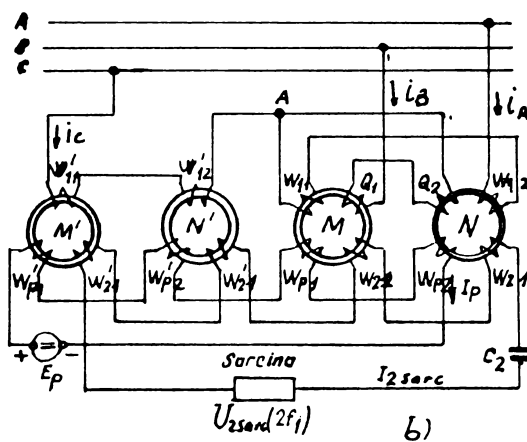
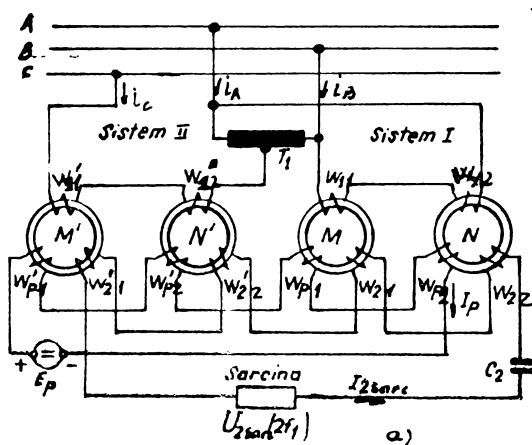


Fig.2-8 Dubloare de frecvență cu intrare trifazată și ieșire monofazată.

- dublor de frecvență Krämer cu divizor inductiv de tensiune;
- dublor de frecvență Krämer cu înfășurări primare duble pe două din cele patru miezuri.

$$\phi_{IIM}(\omega t) = \phi_{IM}(\omega t - \frac{\pi}{2}) \quad (2-9)$$

$$\phi_{IN}(\omega t) = \phi_{IIM}(\omega t + \pi), \quad (2-10)$$

care ne conduc la următoarele descompuneri în serie Fourier pentru  $\phi_{IIM}$  și  $\phi_{IN}$ :

$$\begin{aligned} \phi_{IIM}(\omega t) &= \phi_{IM}(\omega t - \frac{\pi}{2}) = \phi_0 - \phi_1 \cos \omega t - \phi_2 \sin 2\omega t + \\ &+ \phi_3 \cos 3\omega t + \phi_4 \sin 4\omega t - \phi_5 \cos 5\omega t - \phi_6 \sin 6\omega t + \phi_7 \cos 7\omega t + \dots \end{aligned} \quad (2-11)$$

$$\begin{aligned} \phi_{IN}(\omega t) &= \phi_{IIM}(\omega t + \pi) = \phi_0 + \phi_1 \cos \omega t - \phi_2 \sin 2\omega t - \phi_3 \cos 3\omega t \\ &+ \phi_4 \sin 4\omega t + \phi_5 \cos 5\omega t - \phi_6 \sin 6\omega t - \phi_7 \cos 7\omega t + \dots \end{aligned} \quad (2-12)$$

Fluxul total în cele 4 înfășurări  $w_2$ , ținând seama de conectarea lor este:

$$\begin{aligned} \psi_2 &= w_2 [\phi_{IM} + \phi_{IN} - \phi_{IIM} - \phi_{IN}] = 4w_2 [\phi_2 \sin 2\omega t + \\ &+ \phi_6 \sin 6\omega t + \phi_{10} \sin 10\omega t + \phi_{14} \sin 14\omega t + \dots] \end{aligned} \quad (2-13)$$

Neglijind armonicile superioare:

$$u_2 = - \frac{d\psi_2}{dt} = - 8 w_2 \cdot \omega \cdot \phi_2 \sin 2\omega t \quad (2-14)$$

Trebuie observat că fluxurile în miezuri se înlățuie și cu înfășurările  $w_p$ , fluxul total indus fiind:

•/•

$$\Psi_p = w_p (\phi_{IM} + \phi_{IN} + \phi_{IIM} + \phi_{IIN}) = 4w_p (\Phi_0 + \Phi_4 \sin 4\omega t + \Phi_8 \sin 8\omega t + \dots) \quad (2-15)$$

Examinînd această expresie, se poate deduce că în circuitul de premagnetizare se induce o t.e.m. sinusoidală de frecvență 4f (s-au neglijat armonica 8 și cele superioare), care va da naștere unui curent sinusoidal de aceeași frecvență, care se suprapune peste curentul continuu de premagnetizare.

Curentul de frecvență 4f produce un flux de reactie, care reduce fluxul total de armonică 4f, conținut de  $\psi_2$ .

In îmfășurarea primară se induce fluxul  $\psi_{II}$

$$\psi_{II} = w_1 (\phi_{IM} - \phi_{IN}) = 2w_1 (\Phi_1 \sin \omega t + \Phi_3 \sin 3\omega t + \Phi_5 \sin 5\omega t + \dots) \quad (2-15)'$$

Fluxul  $\psi_{II}$  conduce la deformarea curentului de magnetizare, presupus sinusoidal, în circuitul de intrare și produce fluxuri de aceeași frecvență, care anulează fluxurile corespunzătoare produse de curentul sinusoidal de magnetizare.

Curentul  $I_1$  nu este sinusoidal, iar în miezurile M și N ale elementelor I și II nu vor exista fluxuri armonici impare, cu excepția armonicii fundamentale. Pentru anularea reacției produse de  $I_2$  se folosește compensarea capacativă longitudinală, prin montarea condensatorului C.

### 2.2.3. Dubloarele de frecvență statice cu intrare trifazată și ieșire monofazată.

Deoarece dubloarele de frecvență tip Joly-Epstein de putere mare încarcă neuniform rețeaua, în cazul că se impune o putere mare de ieșire se preferă dublorul de frecvență cu alimentare trifazată și ieșire monofazată.

In schema reprezentată în fig. 2-8 a se elimină bobina de soc. deoarece prin conectarea celor 4 bobine cu  $W_p$  spire, aceasta nu mai este necesară. Datorită divizorului de tensiune inductiv  $T_1$ , tensiunile aplicate înfășurărilor  $W_{11}'$  și  $W_{12}'$  inseriate, sunt defazate la  $90^\circ$  față de tensiunile aplicate înfășurărilor  $W_{11}$  și  $W_{12}$  inseriate.

Pentru grupurile de înfășurări secundare  $W_{21}$  și  $W_{22}$  respectiv  $W_{21}'$  și  $W_{22}'$  cu polaritățile indicate în fig. 2-10 a tensiunile de frecvență dublă induse se adună, producind o tensiune de frecvență dublă  $U_2$  și un curent  $I_2$  prin  $C_2$ .

In schema din fig. 2-8 b. divizorul de tensiune este construit chiar din înfășurările primare ale miezurilor M și N.

Având o impedanță internă mare, asemenea dubloare de frecvență se pot folosi pentru sudură. Intensitatea curentului de scurtcircuit,  $I_{2sc}$ , este proporțională cu solenatiile înfășurărilor de c.c. ale miezurilor și se comandă simplu, prin variația lui  $I_p$ .

Condensatorul  $C_2$  face să crească randamentul dublorului de frecvență și ameliorează factorul său de putere, acest lucru fiind important în cazul cînd este vorba de instalații de sudură prin inducție.

2.3. Regimurile de funcționare ale dublorului de frecvență Joly-Epstein (3), (4), (5), (60), (63).

2.3.1. Ecuatiile de funcționare ale dublorului de frecvență Joly-Epstein cu intrare și ieșire monofazată.

Deducerea ecuațiilor fundamentale și analiza lor este analogă pentru toate sistemele de dubloare de frecvență și de aceea ne vom limita la cercetarea teoretică a funcționării celui mai răspândit dublor de frecvență, dublorul de frecvență Joly-Epstein.

În mărimi relative, conform legii inducției electromagnetice, ecuațiile pentru circuitul primar și secundar sănt :

$$\bar{U}_{1m} \sin(\bar{t} + \psi) = \frac{d(\bar{\phi}_A - \bar{\phi}_B)}{d\bar{t}} ; \quad (2-16)$$

$$\bar{u}_2 = \frac{d(\bar{\phi}_A + \bar{\phi}_B)}{d\bar{t}} ; \quad (2-17)$$

$$\bar{u}_2 = \bar{U}_{2m} \sin(2\bar{t} + \psi_2) ; \quad (2-18)$$

$$\bar{U}_2 = \bar{I}_2 \cdot \bar{Z} \quad (2-19)$$

unde fluxurile  $\bar{\phi}_A$  și  $\bar{\phi}_B$  sănt cele din miezul A și miezul B. În ecuațiile (2-16) – (2-19) nu s-au luat în considerație toate pierderile de putere, căderile de tensiune în înfășurări și armănicile superioare ale tensiunii de ieșire, care uneori au la dubloare valori destul de mari.

Se aproximează caracteristica de transfer cu ajutorul sinusului hiperbolic :

$$\bar{i}_A = \operatorname{Sh} \bar{\phi}_A ; \quad \bar{i}_B = \operatorname{Sh} \bar{\phi}_B \quad (2-20)$$

unde  $\bar{i}_A$  și  $\bar{i}_B$  sănt t.m.m rezultante în miezurile A și B.

Din fig.2-1 se obțin expresiile :

$$\begin{aligned}\bar{i}_A &= \bar{i}_2 + \bar{i}_1 + \bar{I}_p \\ \bar{i}_B &= \bar{i}_2 - \bar{i}_1 + \bar{I}_p\end{aligned}\quad (2-21)$$

Din ecuațiile (2-16) și (2-17) se deduc expresiile :

$$\begin{aligned}\bar{\phi}_A - \bar{\phi}_B &= - \bar{U}_{1m} \cos(\bar{t} + \psi) + \bar{\phi}_p \\ \bar{\phi}_A + \bar{\phi}_B &= \frac{1}{2} \bar{U}_{2m} \cos(2\bar{t} + \psi_2) + \bar{\phi}_p\end{aligned}\quad (2-22)$$

Din acest sistem de două ecuații cu două necunoscute obținem expresiile fluxurilor  $\bar{\phi}_A$  și  $\bar{\phi}_B$  :

$$\begin{aligned}\bar{\phi}_A &= \frac{1}{4} \bar{U}_{2m} \cos(2\bar{t} + \psi_2) - \frac{1}{2} \bar{U}_{1m} \cos(\bar{t} + \psi) + \bar{\phi}_p \\ \bar{\phi}_B &= \frac{1}{4} \bar{U}_{2m} \cos(2\bar{t} + \psi_2) + \frac{1}{2} \bar{U}_{1m} \cos(\bar{t} + \psi) + \bar{\phi}_p\end{aligned}\quad (2-23)$$

Dacă se consideră  $\psi = 0$  și ținem seama de relațiile :

$$\begin{aligned}\operatorname{sh}(z \cos \varphi) &= 2 \sum_{n=0}^{\infty} J_{2n+1}(z) \cos(2n+1)\varphi \\ \operatorname{ch}(z \cos \varphi) &= J_0(z) + 2 \sum_{n=1}^{\infty} J_{2n}(z) \cos 2n\varphi\end{aligned}\quad (2-24)$$

precum și de relațiile :

$$\begin{aligned}\operatorname{sh}(a+b) &= \operatorname{sha} \cdot \operatorname{chb} + \operatorname{cha} \cdot \operatorname{shb}; \\ \operatorname{sh}(a-b) &= \operatorname{sha} \cdot \operatorname{chb} - \operatorname{cha} \cdot \operatorname{shb}; \\ \operatorname{ch}(a+b) &= \operatorname{cha} \cdot \operatorname{chb} + \operatorname{sha} \cdot \operatorname{shb}; \\ \operatorname{ch}(a-b) &= \operatorname{cha} \cdot \operatorname{chb} - \operatorname{sha} \cdot \operatorname{shb};\end{aligned}\quad (2-25)$$

atunci, prin considerarea numai a primilor termeni, din seriile (2-24), vom avea :

//.

$$\bar{I}_2 = j\sqrt{2} \left[ \operatorname{ch} \bar{\Phi}_p \mathcal{J}_1\left(\frac{1}{4}\bar{U}_{2m}\right) \mathcal{J}_0\left(\frac{\bar{U}_{1m}}{2}\right) e^{-j\psi_2} - \operatorname{sh} \bar{\Phi}_p \mathcal{J}_0\left(\frac{1}{4}\bar{U}_{2m}\right) \mathcal{J}_2\left(\frac{1}{2}\bar{U}_{1m}\right) \right] \quad (2-26)$$

$$\bar{I}_p = \operatorname{sh} \bar{\Phi}_p \mathcal{J}_0\left(\frac{1}{4}\bar{U}_{2m}\right) \mathcal{J}_0\left(\frac{1}{2}\bar{U}_{1m}\right) - 2 \operatorname{ch} \bar{\Phi}_p \mathcal{J}_1\left(\frac{1}{4}\bar{U}_{2m}\right) \mathcal{J}_2\left(\frac{1}{2}\bar{U}_{1m}\right) \cos \psi_2 \quad (2-27)$$

sau dacă tinem seama că :

$$\bar{U}_{1m} = \bar{\Phi}_{1m} \quad \text{și} \quad \bar{U}_{2m} = 2 \bar{\Phi}_{2m} ;$$

$$\bar{I}_2 = j\sqrt{2} \left[ \operatorname{ch} \bar{\Phi}_p \mathcal{J}_1\left(\frac{1}{2}\bar{\Phi}_{2m}\right) \mathcal{J}_0\left(\frac{\bar{\Phi}_{1m}}{2}\right) e^{-j\psi_2} - \operatorname{sh} \bar{\Phi}_p \mathcal{J}_0\left(\frac{1}{2}\bar{\Phi}_{2m}\right) \mathcal{J}_2\left(\frac{1}{2}\bar{\Phi}_{1m}\right) \right] \quad (2-28)$$

$$\bar{I}_p = \operatorname{sh} \bar{\Phi}_p \mathcal{J}_0\left(\frac{1}{2}\bar{\Phi}_{2m}\right) \mathcal{J}_0\left(\frac{1}{2}\bar{\Phi}_{1m}\right) - 2 \operatorname{ch} \bar{\Phi}_p \mathcal{J}_1\left(\frac{1}{2}\bar{\Phi}_{2m}\right) \mathcal{J}_2\left(\frac{1}{2}\bar{\Phi}_{1m}\right) \cos \psi_2$$

(2-28 a)

### 2.3.2. Ecuatiile de functionare în gol ale dubloarelor de frecvență Joly-Epstein.

Pentru obținerea ecuațiilor la funcționarea în gol a dublorului de frecvență static, tip Joly-Epstein, se consideră în relațiile 2-28) că  $I_2=0$  și deci :

$$\frac{\mathcal{J}_2^2\left(\frac{1}{2}\bar{\Phi}_{1m}\right)}{\mathcal{J}_1\left(\frac{1}{2}\bar{\Phi}_{2m}\right)} - \frac{\mathcal{J}_0^2\left(\frac{1}{2}\bar{\Phi}_{1m}\right)}{\mathcal{J}_0^2\left(\frac{1}{2}\bar{\Phi}_{1m}\right)} = \frac{\left[\mathcal{J}_0^2\left(\frac{1}{2}\bar{\Phi}_{1m}\right) - 2\mathcal{J}_2^2\left(\frac{1}{2}\bar{\Phi}_{1m}\right)\right]^2}{\bar{I}_p^2} \quad (2-29)$$

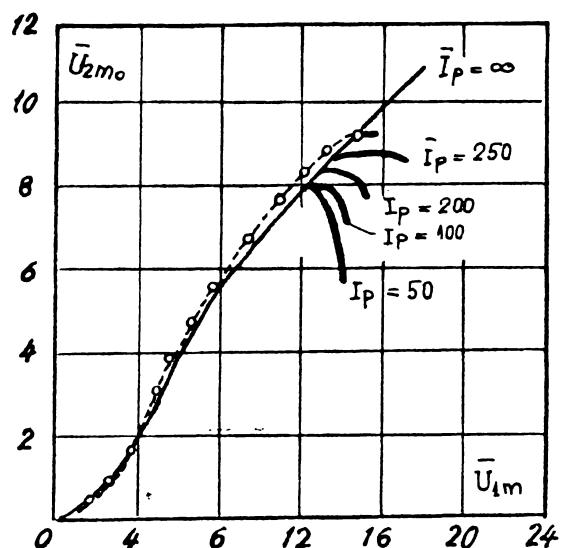


Fig.2-9 Caracteristica de funcționare în gol a dublorului de frecvență.

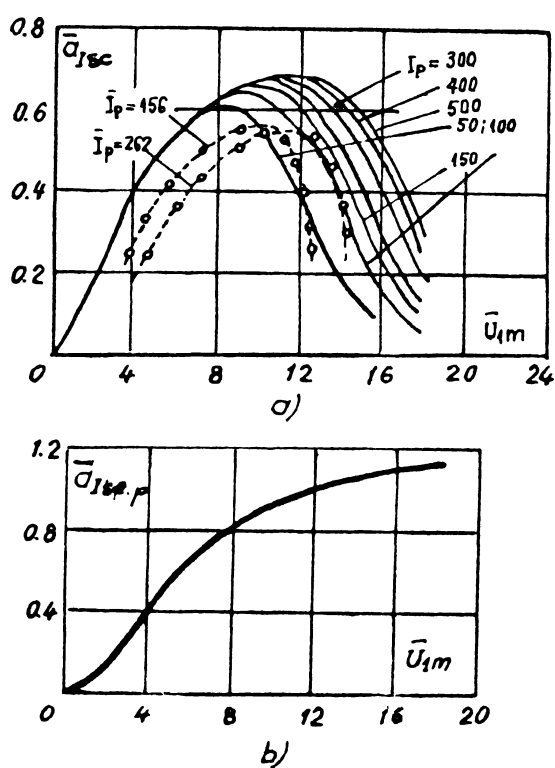


Fig.2-10 Caracteristicile de funcționare în scurtcircuit ale dublorului de frecvență.

In fig.2-9 sînt reprezentate caracteristicile la funcționarea în gol, ținînd seama că  $\bar{U}_{1m} = \bar{\phi}_{1m}$  și  $\bar{U}_{2mo} = 2\bar{\phi}_{2mo}$ . Se observă că pînă la o anumită valoare a lui  $\bar{U}_{1m}$  tensiunea secundară nu depinde de mărimea curentului  $\bar{I}_p$ . Peste aceste valori ale lui  $\bar{U}_{1m}$ , tensiunea secundară, variază diferit la variația lui  $\bar{U}_{1m}$ , depinzînd de valoarea  $\bar{I}_p$ .

Fenomenul se explică, prin faptul că are loc saturația reactoarelor ceea ce conduce la creșterea reluctanței magnetice care micșorează fluxul  $\bar{\phi}_p$ , la aceeași valoare  $\bar{I}_p$ ; deci scade  $\bar{U}_{2mo}$ .

La valori mari ale lui  $\bar{I}_p$ , mărimea  $\bar{U}_{2mo}$  nu depinde de  $\bar{I}_p$ . Curbă tensiunii de ieșire este deformată și conține în afară de armonici 2f și armonici 4f, în raport cu frecvența de bază.

### 2.3.3. Ecuatiile de funcționare în scurtcircuit ale dubloarelor de frecvență Joly-Epstein.

Folosind ecuațiile fundamentale (2-20) – (2-28) în care se consideră  $\bar{U}_{2mo} = 2\bar{\phi}_{2mo} = 0$ , se obțin formulele pentru mărimele relative ale curentului  $\bar{I}_{2sc}$  la curentii  $\bar{I}_{lsc}$  și  $\bar{I}_p$  cunoscuți, reprezentate în fig.2-10.

$$\bar{a}_{I_{lsc}} = \frac{\bar{I}_{2sc}}{\bar{I}_{lsc}} = 2 \frac{\mathcal{J}_2 \left( \frac{1}{2} \bar{\phi}_{1m} \right) \bar{I}_p}{\sqrt{\mathcal{J}_0 \left( \bar{\phi}_{1m} \right) [\mathcal{J}_0^2 \left( \frac{1}{2} \bar{\phi}_{1m} \right) + \bar{I}_p^2]}} \quad (2-29a)$$

$$\bar{a}_{I_{scp}} = \frac{\bar{I}_{2sc}}{\bar{I}_p} = \sqrt{2} \frac{\mathcal{J}_2 \left( \frac{1}{2} \bar{\phi}_{1m} \right)}{\mathcal{J}_0 \left( \frac{1}{2} \bar{\phi}_{1m} \right)} \quad (2-29b)$$

2.3.4. Funcționarea în sarcină a dublorului de frecvență tip Joly-Epstein.

Din ecuațiile (2-28) și (2-29) notînd  $\bar{I} = \frac{I_2}{I_{2sc}}$

și  $\bar{U}_2 = \frac{U_{2m}}{U_{2mo}}$ , notații valabile numai în formularele care urmează, se obține ecuația de funcționare în sarcină :

$$J \cdot \bar{I} = 1 - \bar{U}_2 \cdot K_u \quad (2-30)$$

unde :

$$x = 1 - 2 \frac{\mathcal{J}_1 \left( \frac{1}{2} \bar{\phi}_{2m} \right) \mathcal{J}_2 \left( -\frac{1}{2} \bar{\phi}_{1m} \right) \cos \psi_2}{\mathcal{J}_0 \left( -\frac{1}{2} \bar{\phi}_{2m} \right) \mathcal{J}_0 \left( \frac{1}{2} \bar{\phi}_{1m} \right)} \quad (2-31)$$

$$K_u = \frac{\mathcal{J}_1 \left( \frac{1}{2} \bar{\phi}_{2m} \right) \mathcal{J}_0 \left( \frac{1}{2} \bar{\phi}_{1m} \right)}{\mathcal{J}_0 \left( -\frac{1}{2} \bar{\phi}_{2m} \right) \mathcal{J}_2 \left( -\frac{1}{2} \bar{\phi}_{1m} \right)} \cdot \frac{\bar{U}_{2mo}}{U_{2m}} \quad (2-32)$$

In capitolul privind studiul comportării în sarcină a dublorului de frecvență se vor determina pe bază de măsurători caracteristicile interioare și exterioare  $I_1 = f(I_2)$  și  $U_2 = f(I_2)$  la diferite valori ale inducției magnetice alternative  $B_{1m}$  și continuu  $B_{1m} = \infty$ .

2.4. Triplorul static de frecvență cu ieșire monofazată.

2.4.1. Triplorul de frecvență tip Spinelli.

Un triplor de frecvență tip Spinelli fără premagnetizare în c.c. (fig.2-11) sau cu premagnetizare în c.c. (fig.2-12a) se compune din trei reactoare saturate.



care au o înfășurare primară și alta secundară, astfel legate încit componenta fundamentală a tensiunii lui de ieșire este nulă, iar tensiunea  $u_2$  de frecvență  $3f$  are o valoare corespunzătoare.

Se pot construi triploare de frecvență tip Spinelli cu o singură înfășurare secundară, care să fie comună celor trei mizeuri, rezultind o economie de cupru de 25 %. Mana- pera de realizare este însă mai mare și depanarea mai dificilă,  
[5] .

#### 2.4.1.1. . Ecuatiile de functionare ale triplorului de frecvență cu premagnetizare,[45] .

In fig.2-12a este reprezentat un asemenea tip de triplor de frecvență.

Se notează cu  $F$  factorul de evaluare cu indice „ $a$ ” valorile medii, cu indice „ $m$ ” valorile maxime, cu „ $l$ ” parametrii înfășurării primare, cu „sarc” tensiunea și celelalte elemente ale circuitului de sarcină, cu „ $v$ ” valoarea de vîrf , cu „ $o$ ” sistemul neutral.

Pentru un triplor de frecvență, coeficientul de evaluare  $F$ , pentru un reactor saturat, se definește ca fiind:

$$F = \frac{1}{2} \cdot \frac{\text{suma puterilor tuturor înfășurărilor reactorului}}{\text{puterea maximă de ieșire a unui circuit cu sarcină rezistivă.}}$$

Coefficientul de evaluare total al unui triplor de frecvență este suma coeficienților de evaluare a fiecărui reactor saturat.

In analiza care urmează se fac următoarele ipoteze simplificatoare :

1. materialul circuitului magnetic are curba de magnetizare rectangulară, astfel încit atunci cînd circuitul este saturat intensitatea cîmpului magnetic este nulă (fig.2-12b);

2. rezistența înfășurărilor și reactanța de scăpări se neglijeză;

3. bobina de soc are inductanță foarte mare și nu este saturată, permitînd neglijarea armonicilor de curent, care ar tinde să circule prin sursa de premagnetizare;

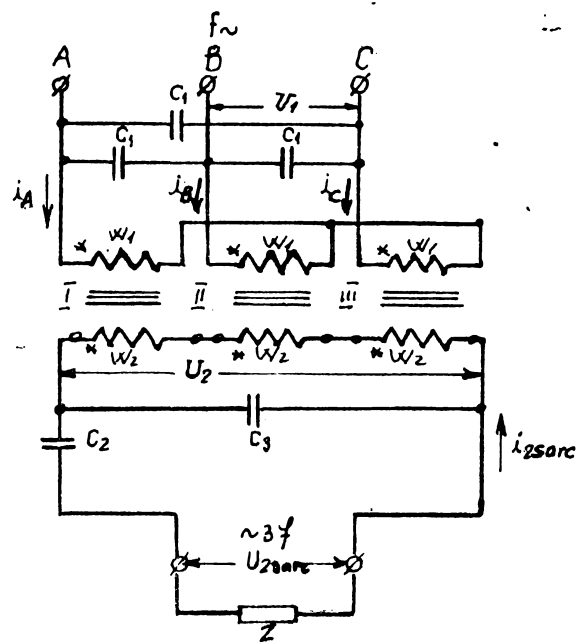


Fig. 2-11 Schema triplorului de frecvență static, tip Spinelli, fără premagnetizare.

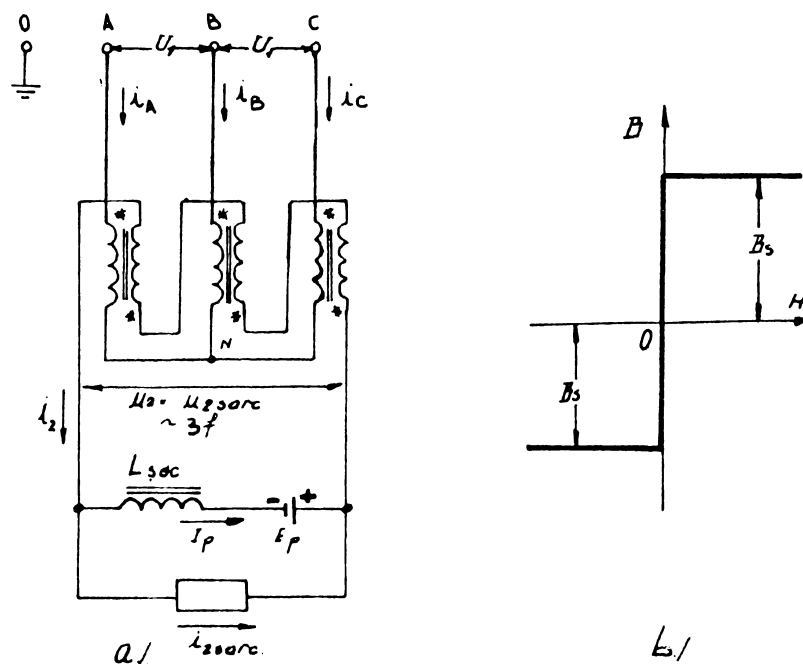


Fig. 2-12a) Schema triplorului de frecvență tip Spinelli cu premagnetizare.

b) Curba de magnetizare rectangulară, idealizată.

4. tensiunile de alimentare sînt sinusoidale cu impedanță sursei egală cu zero la toate frecvențele.

Un curent de premagnetizare  $I_p$  produs de sursa  $E_p$  este aplicat în înfășurările secundare.

1. Regimul staționar de funcționare în gol.

Așa cum reiese din fig.2-12 a, curentul  $I_p$  parcurge înfășurările secundare, mărimele electrice principale la funcționarea în gol fiind reprezentate în fig.2-13.

Curbele de formă celor din fig.2-13 sunt generate cînd condițiile staționare sunt îndeplinite, condiții pe care le putem deduce din considerentele de mai jos.

La un moment dat, cel puțin unul din curentii de intrare trifazat ca circula către punctul de nul N al înfășurărilor primare, tensiunile primare pe fază avînd forma din fig. 2-13A. Deci, cel puțin unul din reactoare este saturat, iar celelalte două sunt nesaturate. Deoarece circuitul este simetric, fiecare reactor saturat pe o treime a fiecărui ciclu, lucru redat în fig.2-13B; 2-13C și 2-13D. Saturația are loc pentru fiecare reactor de la  $\frac{2\pi}{3}$  la  $\frac{4\pi}{3}$  radiani al unui ciclu al tensiunii de fază ( $u_{oA}$ ,  $u_{oB}$ ,  $u_{oC}$ ).

Tensiunea  $u_{oN}$  între „o” și „N”, generată în acest mod și prezentată în fig.2-13A are frecvență triplă și curba în formă de dinti de fierastrău (la fel și în fig.2-15A).

Tensiunea fiecărui reactor se determină cu una din relațiile :

$$u_{NA} = u_{oA} - u_{oN}$$

$$u_{NB} = u_{oB} - u_{oN} \quad (2-33)$$

$$u_{NC} = u_{oC} - u_{oN}$$

Curbele  $u_{NA}$ ,  $u_{NB}$  și  $u_{NC}$  s-au construit plecînd de la legile inducției electromagnetice :

$$u = - \frac{d\phi}{dt}$$

seama de variația fluxurilor magnetice  $\Phi_A$ ,  $\Phi_B$  și  $\Phi_C$  și de curba de magnetizare din fig.2-12b.

Pentru construcția grafică privind funcționarea în sarcină s-a plecat de la fig.2-13 și s-au adăugat curentilor de funcționare în gol  $i_{A0}$ ,  $i_{B0}$  și  $i_{C0}$  componentele necesare pentru creerea lui  $i_{2sarc}$ .

Se observă că pentru  $u_{2sarc}$  avem expresia, valabilă în absența compensării capacitive longitudinale :

$$u_{2sarc} = u_2 = - \frac{W_2}{W_1} (u_{NA} + u_{NB} + u_{NC}) = \frac{W_2}{W_1} (-u_{oA} + u_{oN} - u_{oB} + u_{oN} + u_{oN} - u_{oC}) = \\ = \frac{3W_2}{W_1} u_{oN} \quad (2-34)$$

Din analiza Fourier, aceste tensiuni se pot exprima prin :

$$u_{2sarc} = \frac{W_2 U_m}{W_1} \frac{9\sqrt{3}}{\pi} \sum_{n=1}^{\infty} \frac{3n}{3n^2 - 1} \sin 3\omega t = \frac{W_2}{W_1} U_m [1,861 \sin 3\omega t + \\ + 0,851 \sin 6\omega t + 0,558 \sin 9\omega t + 0,116 \sin 12\omega t + \dots] \quad (2-35)$$

## 2. Regimul stationar de funcționare în sarcină

Dacă la bornele bobinelor secundare se conectează o sarcină, curentul  $i_{2sarc}$  are aceeași formă a curbei ca și tensiunea de sarcină, aşa cum se observă în fig.2-15B și se suprapune peste curentul de premagnetizare din înfășurările secundare, conform fig.2-15C, lucru oglindit și de forma curbelor curentilor primari reprezentate în fig.2-15D,E și F.

Dacă se scad rezistența de sarcină, va fi atins punctul la care valoarea de vîrf a curentului de sarcină este egală cu curentul de premagnetizare.

Această valoare se definește ca valoare critică a rezistenței de sarcină, pentru că la valori mai mici ale rezistenței de sarcină modul de lucru al circuitului se

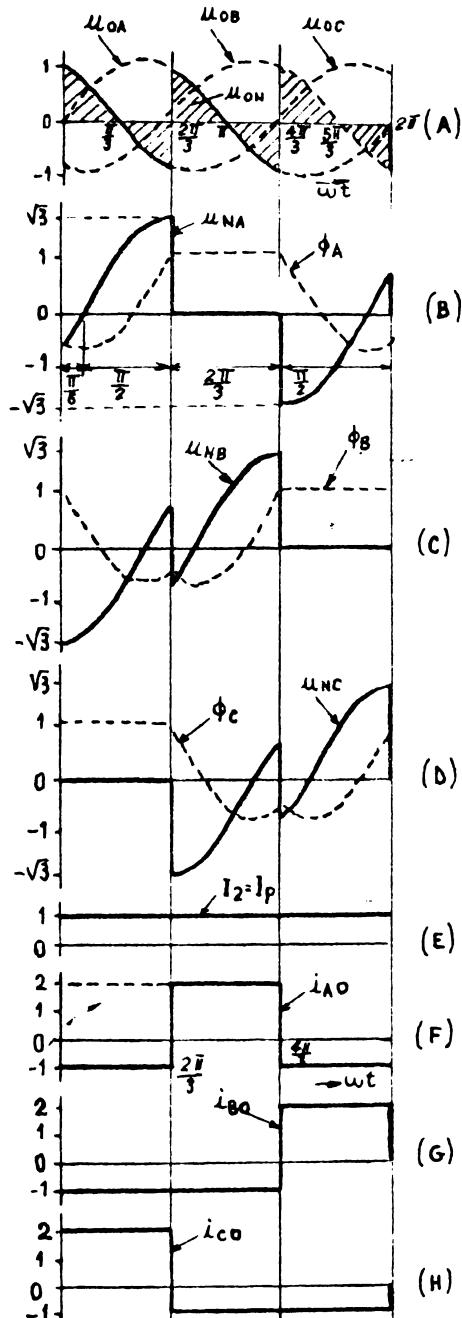


Fig. 2.13 Formele principalelor mărimi electromagnetice la triplorul de frecvență tip Spinelli, cu premagnetizare, la funcționarea în gol.

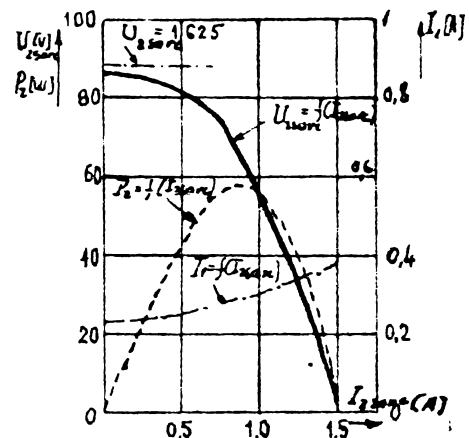


Fig. 2.14 Curbele de sarcină ale triplorului de frecvență tip Spinelli, cu premagnetizare.

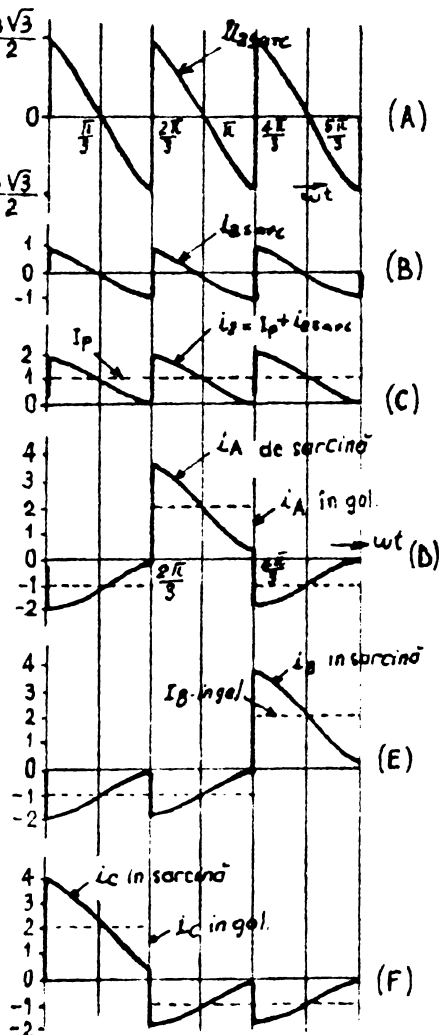


Fig. 2.15 Formele curbelor principalelor mărimi electrice la triplorul tip Spinelli cu premag. la funcționare în sarcină.

schimbă și tensiunea de sarcină scade rapid, conform fig.2.14.

Calculul performanțelor acestui triplor de frecvență va fi efectuat astfel încât să se ilustreze o metodă, care se poate aplica la cele mai multe multiplicatoare de frecvență ce utilizează reactoare saturate prin premagnetizare.

Pentru simplificare se consideră :  $W_1 = W_2$ .

Tensiunea de sarcină, din fig.2.15A, este caracterizată prin :

Valoarea de vîrf :

$$U_{2\text{sarc.v}} = \frac{3\sqrt{3}}{2} U_m = 2,598 U_m; \quad (2-36)$$

Valoarea medie :

$$U_{2\text{sarc.a}} = \frac{3}{\pi} \int_0^{\frac{\pi}{2}} 3U_m \sin \theta \, d\theta = \frac{9}{2\pi} U_m = 1,432 U_m \quad (2-37)$$

Valoarea efectivă:

$$U_{2\text{sarc}} = \sqrt{\frac{3}{\pi} \int_0^{\frac{\pi}{2}} (3U_m \sin \theta)^2 d\theta} = \frac{3U_m}{\sqrt{2}} \sqrt{1 - \frac{3\sqrt{3}}{4\pi}} \quad (2-38)$$

Pentru puterea de ieșire în sarcină, valoarea de vîrf a curentului de sarcină  $I_{2\text{sarc.v}}$ , este egală cu curentul continuu de premagnetizare, rezistența critică fiind calculată cu formula :

$$R = \frac{U_{2\text{sarc.v}}}{I_p} = \frac{2,598 U_m}{I_p} \quad (2-39)$$

Atunci valorile medie și efectivă a curentului de sarcină vor fi :

$$I_{2\text{sarc.v}} = \frac{1,432}{2,598} I_p = 0,511 I_p \quad (2-40)$$

$$I_{2\text{sarc}} = \frac{1,625}{2,598} I_p = 0,625 I_p \quad (2-41)$$

Puterea maximă de sarcină se va calcula cu formulele :

$$S_{2\text{max}} = U_{2\text{sarc}} \cdot I_{2\text{sarc}} = 1,625 U_m \cdot 0,625 I_p = 1,016 U_m I_p \quad (2-42)$$

La funcționarea în gol, curentul prin înfășurarea secundară va fi egal cu cel de premagnetizare ( $I_2 = I_p$ ) și valoarea efectivă a curentului în înfășurarea primară va fi calculată cu expresia :

$$I_1 = \sqrt{\frac{2I_2^2 + (2I_2)^2}{3}} = \sqrt{2} I_2 = 1,414 I_p \quad (2-43)$$

La sarcina maximă, valoarea efectivă a curentului în înfășurările secundare este redată de expresia :

$$I_2 = \sqrt{I_p^2 + (0,625 I_p)^2} = 1,179 I_p, \quad (2-44)$$

iar valoarea efectivă a curentului în înfășurarea de intrare va fi :

$$I_1 = \sqrt{2} I_2 = 1,667 I_p \quad (2-45)$$

Factorul de evaluare al unui reactor este :

$$F = \frac{0,707 U_m (1,179 I_p + 1,667 I_p)}{2 \times 1,016 U_m I_p} = 0,990 \quad (2-46)$$

Factorul total de evaluare al triplorului de frecvență este :

$$\sum F = 3F = 2,970$$

Definim factorul de putere al circuitului :

$$\cos \varphi = \frac{\text{Puterea de ieșire în sarcină}}{3 U_1 f I_1} \quad (2-47)$$

$$\cos \varphi = \frac{1,016 U_m I_p}{3 \cdot 0,707 U_m \cdot 1,667 I_p} = 0,287 \quad (2-48)$$

Valoarea de vîrf a curentului de sarcină, corespunzător puterii maxime de sarcină, este totuși egală cu curentul continuu de premagnetizare :

$$I_{2\text{sarc.v}} = I_p \quad (2-49)$$

Puterea maximă de sarcină a armonicii a treia este, prin urmare :

$$S_{2m} = \frac{1}{2} U_{2\text{sarc.m}} I_{2\text{sarc.m}} \quad (2-50)$$

$$S_{2m} = \frac{1}{2} \cdot 1,861 U_m \cdot I_p = 0,930 U_m I_p$$

La sarcina maximă, valoarea efectivă a curentului din înfășurările secundare este :

$$I_2 = \sqrt{I_p^2 + \frac{1}{2} I_p^2} = \frac{\sqrt{3}}{2} I_p = 1,225 I_p, \quad (2-51)$$

iar în înfășurarea primară are expresia :

$$I_1 = \sqrt{2} I_2 = \sqrt{3} I_p = 1,732 I_p \quad (2-52)$$

Deci, coeficientul de evaluare va fi :

$$F = \frac{0,707 U_m (1,225 I_p + 1,732 I_p)}{2 \times 0,930 U_m I_p} = 1,124, \quad (2-53)$$

pentru triplor el avind expresia :

$$\sum F = 3F = 3,372 \quad (2-54)$$

In cazul cînd se dorește îmbunătățirea caracteristicilor exterioare se recomandă folosirea triplorului de frecvență simetric, tip Spinelli, reprezentat în fig. 2.16 ale cărui caracteristici, ridicate pentru triplorul realizat, sînt redate în fig. 2.17.

In tabelul nr.1 sînt redate, pentru comparație, valorile principalelor mărimi, care caracterizează cele două tipuri de triploare, reprezentate în fig. 2-12a, respectiv 2.16.

#### 2.4 .2. Triplorul de frecvență tip Taylor.

Triplorul de frecvență tip Taylor este reprezentat în fig. 2.18 și se compune din trei transformatoare monofazate și miezurile saturate I, II și III.

Fluxurile de armonică trei ale curenților primari se adună și produc în miezul transformatoarelor fluxul de frecvență 3f, care la rîndul lui produce t.e.m. de ordinul trei în înfășurarea secundară, ceea ce este valabil atît la funcționarea în gol cît și la funcționarea în sarcină.

Triplorul de frecvență de tipul Taylor este voluminos, deoarece prin cele trei înfășurări primare trece un curent mare, de frecvență 1f.

Greutatea triplorului Taylor se poate micșora considerabil dacă i se fac modificări, conform fig. 2.18 b, unde condensatoarele circuitelor de rezonanță servesc și la îmbunătățirea  $\cos \varphi_1$ . Compensarea longitudinală cu ajutorul lui  $C_2$  ajută la obținerea unei caracteristici exterioare dure. Cu toate acestea, el este inferior triplorului Spinelli și de aceea nu se utilizează.

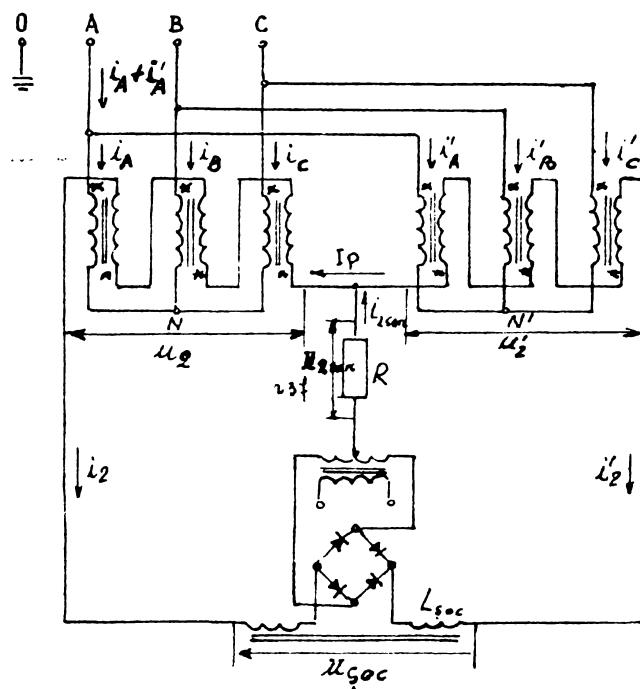


Fig.2-16 Triplorul de frecvență simetric, tip Spinelli

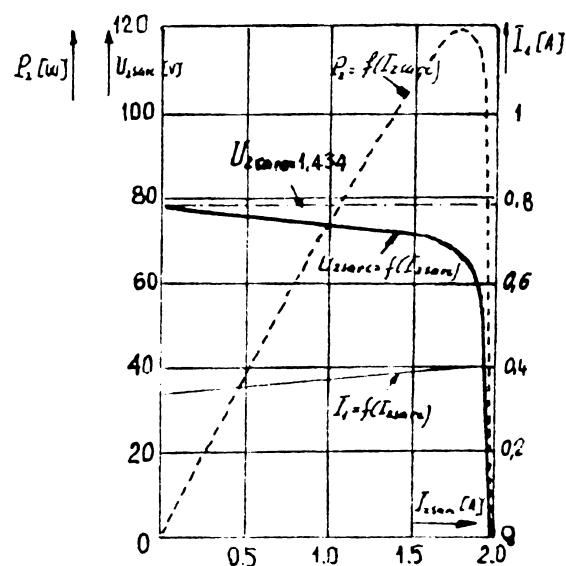


Fig.2.17 Curbele caracteristice ale triplorului de frecvență simetric, tip Spinelli.

Tabel 2.1

Date de calcul a triplorilor magnetice de frecvență

		Triplorul clasic	Triplorul simetric
Tensiunea de lucru	valoare de vîrf	$\frac{3\sqrt{3}}{2}$	2,598
	valoare medie	$\frac{9}{2\pi}$	1,432
	valoare efectivă	$\frac{3}{2}\sqrt{1-\frac{3\sqrt{3}}{4\pi}}$	1,652
	valoarea maximă a componentei fundamentale	$\frac{27\sqrt{3}}{8\pi}$	1,861
Tensiunea nominală a reactorului		$\frac{1}{\sqrt{2}}$	0,707
Rezistența critică de sarcină		$\frac{3\sqrt{3}}{2}$	0,75
Curentul maxim de sarcină (valori relative)		$\sqrt{\frac{2}{3}}\sqrt{1-\frac{3\sqrt{3}}{4\pi}}$	1,912
Puterea maximă de sarcină		$\sqrt{3}\left(1-\frac{3\sqrt{3}}{4\pi}\right)$	2,755
Curentul în infuzoare (val. relative)	în gal	1,000	1,000
	în secundar (val. relative) sarcină max.	$\sqrt{\frac{2}{3}-\frac{\sqrt{3}}{2\pi}}$	1,179
Curentul în infuzoare (val. relative)	în gal	$\sqrt{2}$	1,414
	în primar (val. relative) sarcină max.	$\sqrt{2}\sqrt{\frac{5}{3}-\frac{\sqrt{3}}{2\pi}}$	1,667
Curent linie (val. relative)	în gal	$\sqrt{2}$	1,414
	sarcină max.	$\sqrt{2}\sqrt{\frac{5}{3}-\frac{\sqrt{3}}{2\pi}}$	1,667
Factor de evaluare pe un reactor		$\frac{1+\sqrt{2}}{2\sqrt{3}}\sqrt{\frac{5}{3}-\frac{\sqrt{3}}{2\pi}}$	0,429
Factor total de evaluare		2,970	2,572
$\cos \varphi$		0,287	0,464

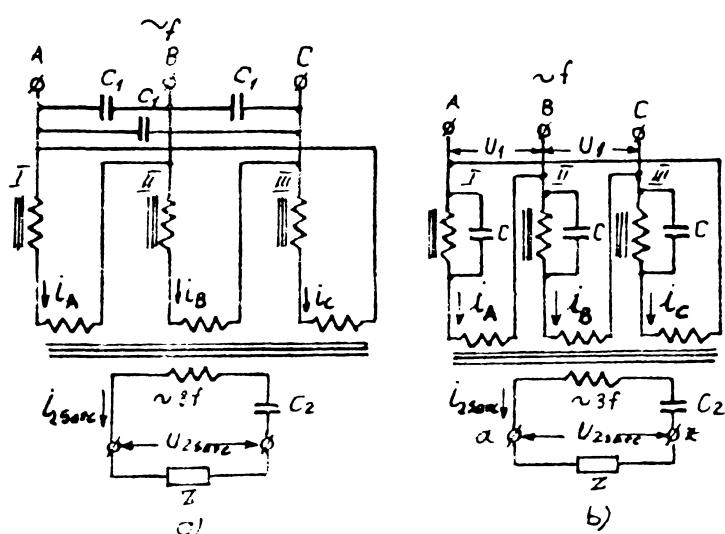


Fig. 2.18 Triplorul de frecvență tip Taylor

2.4.3. Triplorul de frecvență cu sarcină inclusă în conductorul de nul.

Triplorul de frecvență cu sarcină inclusă în conductorul de nul se compune din trei reactoare saturate cu înfășurările legate în stea. Curenții de frecvență triplă, care apar datorită saturației, se adună și se închid prin condensatorul de nul (deci prin sarcină). Triplorul de frecvență cu sarcina inclusă în conductorul de nul nu este competitiv cu triplorul Spinelli sau cu cel autotransformatoric, datorită neajunsurilor pe care le vom prezenta cu ocazia proiectării sale comparative; cel mai mare neajuns este că tensiunea primară și secundată sunt legate printr-o relație rigidă, de forma :

$$U_2 = (0,5 \div 0,6) U_{lf} \quad (2-55)$$

Nu se folosesc separat condensatoare pentru compensare  $\cos \phi$  și pentru compensare longitudinală, principiul de funcționare al acestui triplor permitând folosirea lui  $C_1$  pentru ambele scopuri.

2.4.4. Triplorul de frecvență autotransformatoric.

Schema de funcționare este reprezentată în fig.2-20, Performanțele sale sunt inferioare celor ale triplorului de frecvență Spinelli, așa cum va reeași din proiectarea comparativă.

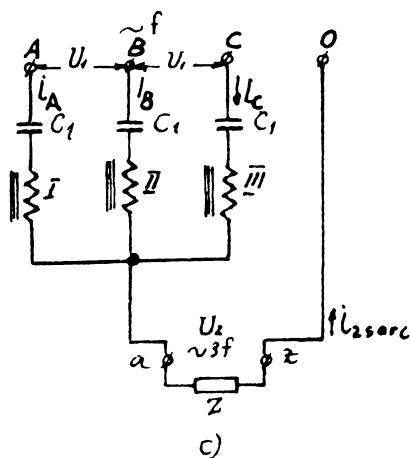


Fig.2-19. Triplorul de frecvență cu sarcină inclusă în conductorul de nul.

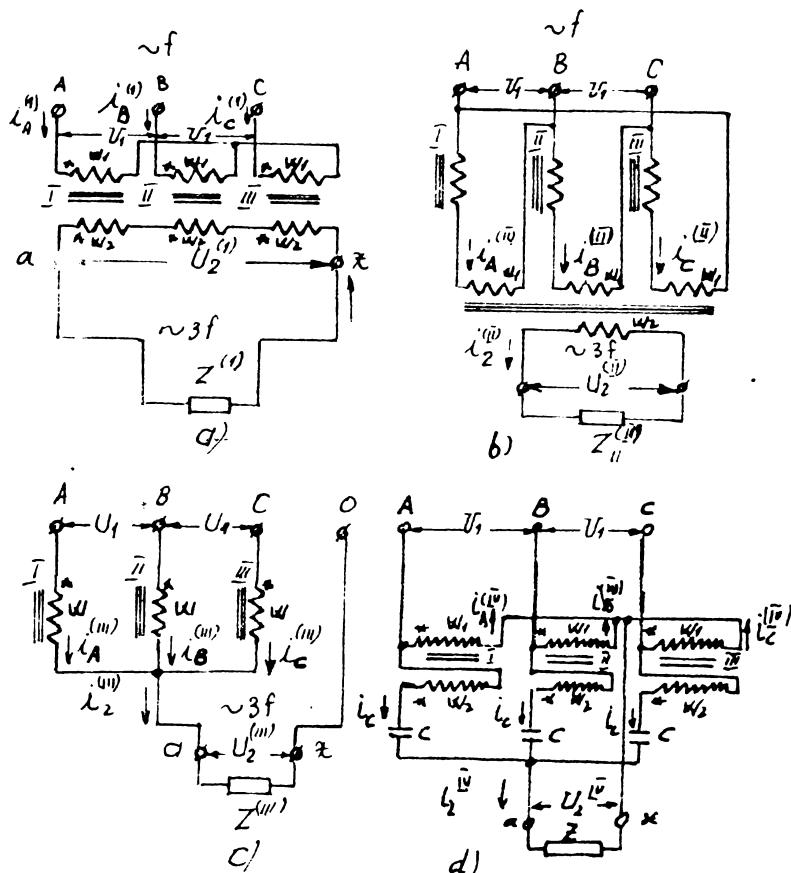


Fig.2-19a. Scheme ale triploarelor de frecvență.

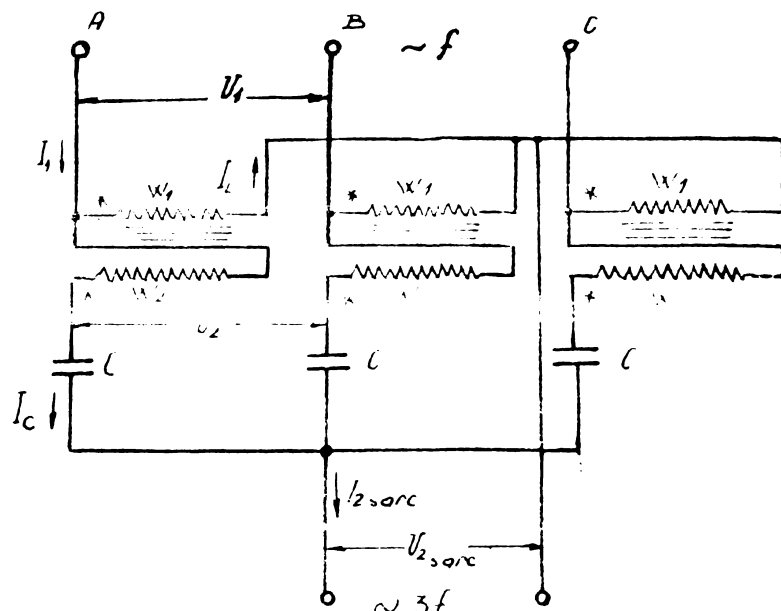
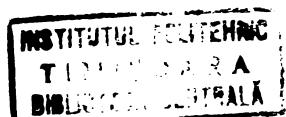


Fig.2-20. Viplerul de frecvență autotransformatoric



2.5 Regimurile de funcționare ale triplorului de frecvență cu intrare trifazată.

2.5.1. Ecuatiile de bază pentru circuitul primar al triplorului de frecvență tip Spinelli (fig. 2-19 a) se scriu în mărimi relative :

$$\begin{aligned} -\bar{U}_{1m} \sqrt{3} \sin(\bar{t} - \frac{5\pi}{6}) &= \frac{d(\bar{\phi}_I - \bar{\phi}_{II})}{dt} \\ -\bar{U}_{1m} \sqrt{3} \sin(\bar{t} - \frac{9\pi}{6}) &= \frac{d(\bar{\phi}_{II} - \bar{\phi}_{III})}{dt} \quad (2-56) \\ -\bar{U}_{1m} \sqrt{3} \sin(\bar{t} - \frac{\pi}{6}) &= \frac{d(\bar{\phi}_{III} - \bar{\phi}_I)}{dt} \end{aligned}$$

$$\bar{i}_A^{(')} + \bar{i}_B^{(')} + \bar{i}_C^{(')} = 0 \quad (2-57)$$

unde :  $\bar{\phi}_I$ ,  $\bar{\phi}_{II}$  și  $\bar{\phi}_{III}$  sunt fluxuri în miezurile I, II și III;

$\bar{U}_{1m}$  - amplitudinea tensiunii de fază;

Se negligează pierderile și căderile de tensiune în transformator.

Tensiunea la bornele circuitului secundar se determină cu formula :

$$-\bar{u}_2^{(')} = \frac{d\bar{\phi}_I}{d\bar{t}} + \frac{d\bar{\phi}_{II}}{d\bar{t}} + \frac{d\bar{\phi}_{III}}{d\bar{t}} \quad (2-58)$$

Dacă se negligează armonicile de ordin superior lui trei, obținem :

$$\bar{u}_2' = \bar{U}_{2m} \sin(3\bar{t} - \gamma) \quad (2-59)$$

Valoarea efectivă a curentului în circuitul secundar va fi :

$$I_2' = \frac{\bar{U}_2^{(1)}}{\bar{Z}}, \quad (2-60)$$

unde  $\bar{Z}$  este impedanța întregului circuit secundar.

Curba de magnetizare o aproximăm cu ajutorul sinusului hiperbolic. Ecuatiile pentru circuitul magnetic sunt următoarele (la triplorul Spinelli cu premagnetizare) :

$$\begin{aligned} \bar{i}_A^{(1)} + \bar{i}_2^{(1)} + \bar{I}_p &= \operatorname{sh} \bar{\Phi}_I \\ \bar{i}_B^{(1)} + \bar{i}_2^{(1)} + \bar{I}_p &= \operatorname{sh} \bar{\Phi}_{II} \\ \bar{i}_C^{(1)} + \bar{i}_2^{(1)} + \bar{I}_p &= \operatorname{sh} \bar{\Phi}_{III} \end{aligned} \quad (2-61)$$

Din ecuațiile (2-56) și (2-59) se deduc expresiile fluxurilor în miezuri, în unități relative :

$$\begin{aligned} \bar{\Phi}_I &= \frac{1}{9} \bar{U}_{2m}^{(1)} \cos(3\bar{t} - \psi) - \bar{U}_{1m} \cos \bar{t} + \bar{\phi}_p \\ \bar{\Phi}_{II} &= \frac{1}{9} \bar{U}_{2m}^{(1)} \cos(3\bar{t} - \psi) - \bar{U}_{1m} \cos(\bar{t} - \frac{\pi}{3}) + \bar{\phi}_p \\ \bar{\Phi}_{III} &= \frac{1}{9} \bar{U}_{2m}^{(1)} \cos(3\bar{t} - \psi) - \bar{U}_{1m} \cos(\bar{t} - \frac{4\pi}{3}) + \bar{\phi}_p \end{aligned} \quad (2-62)$$

Generalizarea ecuațiilor triploarelor de frecvență (fig.2-19a) poate fi făcută în felul următor :

$$\begin{aligned}\bar{\phi}_I &= \frac{1}{9} \bar{U}_{2m} \cos(3\bar{t} - \psi) - \bar{U}_{1m} \cos \bar{t} + \bar{\phi}_p \\ \bar{\phi}_{II} &= \frac{1}{9} \bar{U}_{2m} \cos(3\bar{t} - \psi) - \bar{U}_{1m} \cos(\bar{t} - \frac{2\pi}{3}) + \bar{\phi}_p \\ \bar{\phi}_{III} &= \frac{1}{9} \bar{U}_{2m} \cos(3\bar{t} - \psi) - \bar{U}_{1m} \cos(\bar{t} - \frac{4\pi}{3}) + \bar{\phi}_p\end{aligned}\quad (2-63)$$

$$\begin{aligned}3\bar{i}_2 + 3\bar{i}_p &= \operatorname{sh} \bar{\phi}_I + \operatorname{sh} \bar{\phi}_{II} + \operatorname{sh} \bar{\phi}_{III} \\ \bar{i}_1 + \bar{i}_2 + \bar{i}_p &= \operatorname{sh} \bar{\phi}_I \\ \bar{i}_2 &= \frac{\bar{U}_2}{Z}\end{aligned}\quad (2-64)$$

In [62] și [63] se demonstrează că există relațiiile :

$$\bar{U}_{1m} = \bar{\phi}_{1m} \quad (2-65)$$

$$\bar{U}_{2m} = 3 \bar{\phi}_{3m}, \quad (2-66)$$

precum și că dacă folosim relațiile (1-9); (1-10); (2-63); (2-64); (2-65) și (2-66), se obțin expresiile curentilor  $\bar{i}_1$ ,  $\bar{i}_2$  și  $\bar{i}_p$ :

$$\bar{i}_2 = \sqrt{2} \left[ -j J_3(\bar{\phi}_{1m}) J_0(\frac{1}{3} \bar{\phi}_{3m}) + j J_0(\bar{\phi}_{1m}) J_1(\frac{1}{3} \bar{\phi}_{3m}) e^{j\psi} \right] \quad (2-67)$$

$$\bar{i}_1 = \sqrt{2} \left[ -j J_1(\bar{\phi}_{1m}) J_0(\frac{1}{3} \bar{\phi}_{3m}) + j J_2(\bar{\phi}_{1m}) J_1(\frac{1}{3} \bar{\phi}_{3m}) e^{j\psi} \right] \quad (2-68)$$

$$\bar{i}_p = \operatorname{sh} \bar{\phi}_p \left[ J_0(\bar{\phi}_{1m}) J_0(\frac{1}{3} \bar{\phi}_{3m}) - 2 J_3(\bar{\phi}_{1m}) J_1(\frac{1}{3} \bar{\phi}_{3m}) \cos \psi \right] \quad (2-69)$$

In aceste expresii  $J_{n(Z)}$  este definit de relația (1-12), ca funcție Bessel de speță I-a și ordinul n. In [62] s-a efectuat demonstrația pentru expresia (1-12).

**2.5.2. Funcționarea în gol a triploarelor de frecvență cu intrare trifazată.**

La funcționarea în gol  $\bar{I}_2 = 0$  și deci ecuația (2-67) devine

$$\frac{\mathcal{J}_1(\frac{1}{3}\bar{\Phi}_{3m})}{\mathcal{J}_0(\frac{1}{3}\bar{\Phi}_{3m})} = \frac{\mathcal{J}_3(\bar{\Phi}_{1m})}{\mathcal{J}_0(\bar{\Phi}_{1m})} \quad (2-70)$$

In fig.3-18 s-a reprezentat caracteristica teoretică la funcționarea în gol, determinată cu relația (2-70), cînd lipsește a doua armonică de flux ( $\bar{\Phi}_{2m} = 0$ ). Se observă că începînd cu  $\bar{\Phi}_{1m} = 5$ ,  $\bar{\Phi}_{3m}$  se mărește la creșterea lui  $\bar{\Phi}_{1m}$ , deci amplificarea efectivă a frecvenței începe odată cu creșterea inducției în miez.

**2.5.3. Funcționarea în scurtcircuit a triploarelor de frecvență cu intrare trifazată.**

In cazul unui scurtcircuit avem :  $\bar{U}_{2m} = 3\bar{\Phi}_{3m} = 0$

și deci :

$$\begin{aligned} \mathcal{J}_0(\bar{\Phi}_{3m}) &= \mathcal{J}_0(0) = 1 \\ \mathcal{J}_1(\bar{\Phi}_{3m}) &= \mathcal{J}_1(0) = 0, \end{aligned} \quad (2-71)$$

prin urmare curentii primar și secundar vor avea la scurtcircuit expresiile :

$$\bar{I}_{2msc} = \sqrt{2} \mathcal{J}_3(\bar{\Phi}_{1m}); \quad \bar{I}_{2sc} = \mathcal{J}_3(\bar{\Phi}_{1m}) \quad (2-72)$$

$$\bar{I}_{1msc} = \sqrt{2} \mathcal{J}_1(\bar{\Phi}_{1m}); \quad \bar{I}_{1sc} = \mathcal{J}_1(\bar{\Phi}_{1m}) \quad (2-73)$$

Cu ajutorul acestor relații s-au reprezentat caracteristicile de scurtcircuit din fig. (2-20).

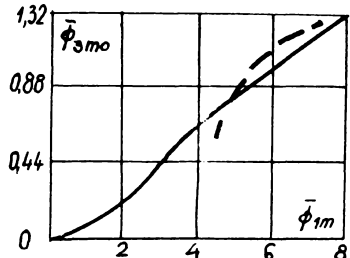


Fig.2.21 Caracteristica de funcționare în gol a triploarelor de frecvență.

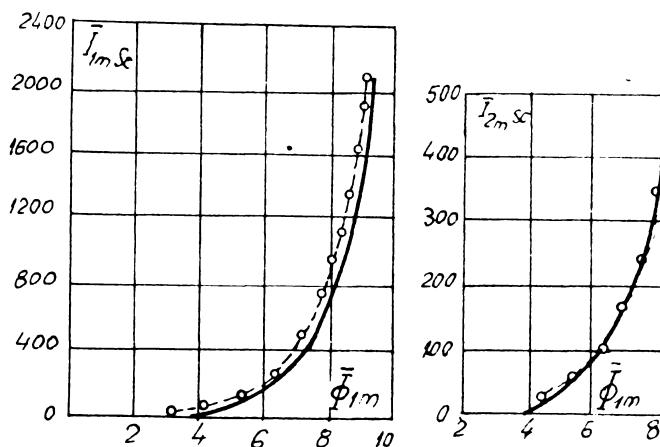


Fig.2.22 Caracteristicile de funcționare în scurtcircuit a triploarelor de frecvență.

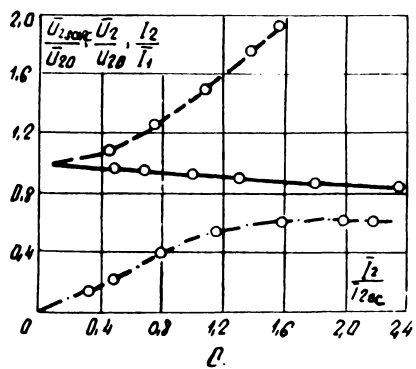
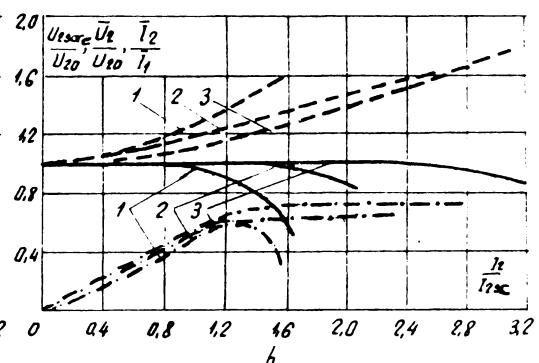
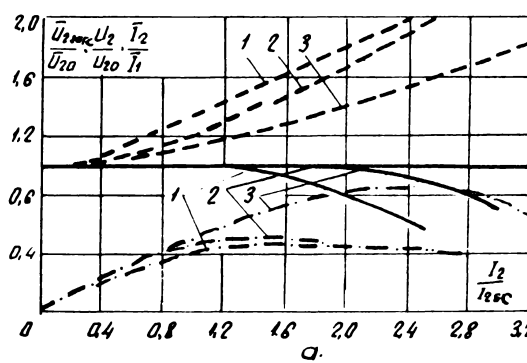


Fig.2.23 Caracteristicile exterioare ale triplorului de frecvență

- a)  $\bar{U}_{1m} = 6$  (curba 1:  $\bar{x}_c = 1$ ; curba 2:  $\bar{x}_c = 0,8$ ;  $\bar{z}_c = 0$ )
- b) idem  $\bar{U}_{1m} = 8$
- c) curbe experimentale pentru  $\bar{U}_{1m} = 8$  și  $\bar{x}_c = 0,6$

**2.5.4. Funcționarea în sarcină a triploarelor de frecvență cu intrare trifazată.**

La funcționarea în sarcină sînt valabile relațiile (2-67), (2-68) și (2-69). Din relația (2-67) rezultă că  $\bar{I}_2$  este proporțional cu un vector, care a rămas în urmă cu  $90^\circ$  față de diferența a doi vectori, din care unul coincide ca fază cu tensiunea de ieșire a triplorului de frecvență la funcționarea în gol, iar celălalt coincide ca fază cu tensiunea de ieșire în sarcină.

In [63] s-au demonstrat relațiile :

$$\bar{x}_{int} = 3\bar{\phi}_{3m} / \sqrt{2} J_0(\bar{\phi}_{1m}) \cdot J_1(\bar{\phi}_{3m}) \quad (2-74)$$

$$a_u = \frac{J_3(\bar{\phi}_{1m}) J_0(\bar{\phi}_{3m})}{J_0(\bar{\phi}_{1m}) J_1(\bar{\phi}_{3m})} \cdot \frac{\bar{\phi}_{3m}}{\bar{\phi}_{3mo}} \quad (2-75)$$

unde  $\bar{x}_{int}$  este reactanța inductivă internă a triplorului, care se determină cu formula (2-74), iar  $a_u$  este raportul de transformare al t.e.m. a generatorului echivalent la trecerea de la funcționarea în gol, la funcționarea în sarcină.

Se poate demonstra că avem [63] :

$$\bar{U}_{2sarc} = a_u \bar{U}_{20} - j \bar{x}_{int} \bar{I}_2, \quad (2-76)$$

din care reiese că se poate înlocui circuitul de ieșire al unui triplor de frecvență cu un generator echivalent de t.e.m.  $a_u \bar{U}_{20}$ .

Folosind schema echivalentă reprezentată în fig. 2.25 a și diagrama fazorială din fig. 2.25b, se determină caracteristica exteroară a triplorului de frecvență. Pentru aceasta se folosesc formulele de mai jos, care se deduc ușor din schema echivalentă :

$$\bar{I}_2 = \frac{a_u \bar{U}_{20}}{\sqrt{(\bar{x}_{int} + \bar{x}_{sarc} - \bar{x}_c)^2 + \bar{R}_{sarc}^2}} \quad (2-77)$$

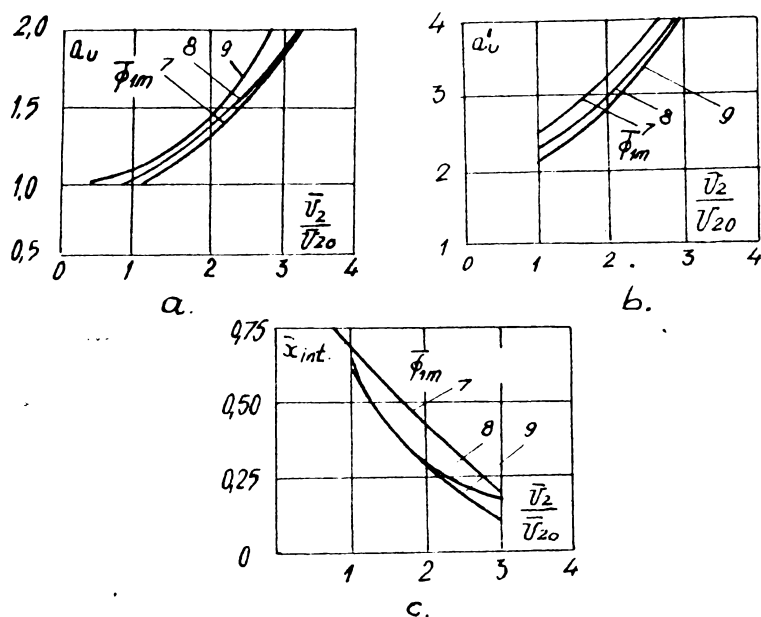


Fig 2.24 Caracteristicile de calcul ale triplorului de frecvență : a)  $a_u$  funcție de  $U_2/U_{20}$ ; b)  $a'_u$  funcție de  $\frac{U_2}{U_{20}}$ ; c)  $x_{int}$  funcție de  $U_2/U_{20}$ .

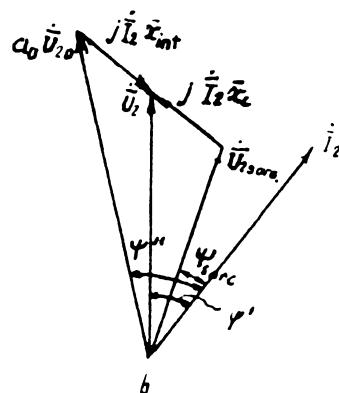
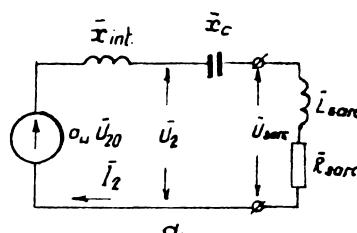


Fig. 2.25 Schema echivalentă , (a) și diagrama fazorială, (b), a triplorului de frecvență cu intrare trifazată și compensare capacitive longitudinală.

$$\bar{U}_{2sarc} = \bar{I}_2 \cdot \bar{Z}_{2sarc} = a_u \bar{U}_{20} \sqrt{\frac{\bar{x}_{sarc}^2 + \bar{R}_{sarc}^2}{(\bar{x}_{int} + \bar{x}_{sarc} - \bar{x}_c)^2 + \bar{R}_{sarc}^2}} \quad (2-78)$$

$$\bar{U}_2 = \bar{I}_2 \sqrt{(\bar{x}_{sarc} - \bar{x}_c)^2 + \bar{R}_{sarc}^2} = a_u \bar{U}_{20} \sqrt{\frac{(\bar{x}_{sarc} - \bar{x}_c)^2 + \bar{R}_{sarc}^2}{(\bar{x}_{int} + \bar{x}_{sarc} - \bar{x}_c)^2 + \bar{R}_{sarc}^2}} \quad (2-79)$$

Cu ajutorul formulelor (2-77); (2-78) și (2-79) și a graficelor din fig. 2.24 se pot reprezenta caracteristicile exterioare  $\bar{U}_2 = f(\bar{I}_2)$  și  $\bar{U}_{2sarc} = f(\bar{I}_2)$ , conform fig. 2.23.

In [63] s-a dedus pentru prima dată caracteristica interioară :

$$\frac{\bar{I}_1}{\bar{I}_2} = \frac{\bar{I}_{1sc}}{\bar{I}_{2sc}} \cdot \frac{a_u}{\bar{U}_{20}} \cdot \sqrt{\frac{(a'_u \cdot \bar{U}_{20})^2 + \bar{U}_2^2 - 2\bar{U}_2 \bar{U}_{20} a'_u \cos \psi_3}{(a_u \bar{U}_{20})^2 + \bar{U}_2^2 - 2\bar{U}_2 \bar{U}_{20} a_u \cos \psi_3}} \quad (2-80)$$

unde :

$$a'_u = \frac{\mathcal{J}_1(\bar{\phi}_{1m}) \cdot \mathcal{J}_0(\bar{\phi}_{3m}) \phi_{3m}}{\mathcal{J}_2(\bar{\phi}_{1m}) \cdot \mathcal{J}_1(\bar{\phi}_{3m}) \cdot \phi_{3m}}; \quad \psi_3 = \psi' - \psi'' \quad (2-81)$$

$$\psi' = \text{arc cos} \frac{\bar{U}_{2sarc} \cos \varphi_{sarc}}{\bar{U}_2} \quad (2-82)$$

$$\psi'' = \text{arc cos} \frac{\bar{U}_{2sarc} \cdot \cos \varphi_{sarc}}{a_u \bar{U}_{20}} \quad (2-83)$$

Cu ajutorul relațiilor (2-77); (2-78); (2-79); (2-80); (2-81); (2-82) și (2-83) se reprezintă caracteristicile interioare și exterioare ale triploarelor de frecvență cu intrare trifazată, care sunt cele mai răspândite.

### CAPITOLUL III

=====

## UTILIZAREA CALCULATORULUI NUMERIC LA PROIECTAREA OPTIMALĂ

### A MULTIPLICATOARELOR ELECTROMAGNETICE, STATICE, DE FRECVENTA. -

#### 3.1. Introducere

In literatura de specialitate [5], [6], [7], se prezintă relațiile de calcul ale multiplicatoarelor de frecvență stabilite din condițiile de optim tehnico-economic privind greutatea materialelor active întrebuințate, îndeplinindu-se simultan mai multe condiții :

- să posede în circuitul de intrare parametrii de adaptabilitate la rețea existentă;

- să prezinte la ieșire parametrii impuși de procesul tehnologic ;

- prin funcționarea multiplicatorului de frecvență să nu se perturbe rețea de alimentare;

- forma curbelor tensiunii de sarcină  $U_2$  și  $I_2$  - currentul de sarcină să fie cît mai apropiată de sinusoidă ;

- factorul de putere  $\cos \varphi_1$  să aibă valorile impuse de normativele în vigoare;

- caracteristica exteroară să fie cît mai dură, adică să nu fie căzătoare la creșterea lui  $I_2$ .

In condițiile extinderii utilizării multiplicatoarelor de frecvență de mare putere, o problemă de o deosebită importanță care se cere a fi rezolvată este cea a reducerii pierderilor de putere, care în ultimă instanță conduce la scăderea consumurilor tehnologice de energie electrică, cu respectarea consumului de materiale. Această problemă este mai puțin abordată în literatura de specialitate și de aceea autorul prezintă în capitolurile III. IV și V din această lucrare o metodă de optimizare pe calculator din acest punct de vedere.

Este necesară folosirea calculului numeric deoarece în studiul de optimizare trebuie să se analizeze un număr foarte mare de variante, ceea ce nu se poate face, practic, prin întrebuițarea calculelor obișnuite.

In literatură se indică formulele cu calcul al pierderilor, rândamentului și incalzirii, parametrii care pot

oglindă gradul de optimizare.

Tinând seama că un multiplicator de frecvență are randamentul ridicat, consumă de la sursă de alimentare mai puțină energie în unitatea de timp, autorul și-a propus să elaborze un program pe baza căruia acesta să se poată optimiza din punct de vedere al randamentului și al încălzirii - de fapt optimizarea pierderilor în cupru și fier.

Programul întocmit se poate utiliza de către calculatorul IRIS-50 sau FELIX-256, aflate în dotarea unităților de calcul din țara noastră.

Deasemenea programul permite ca atunci când se trece la proiectarea optimală și să analizează multiple varianțe, aceasta să se facă foarte rapid.

In plus, programul permite să se studieze optimizarea dubloarclor de frecvență Joly-Epstein și triplorclor de frecvență Spinelli într-o gamă largă de puteri, de inducție și curenți de premagnetizare (la dublor), într-un timp foarte scurt, cu o exactitate în afara oricărei îndoieseli.

In subcapitolul 3.3 autorul prezintă un algoritm de calcul, care cuprinde ansamblul formulelor necesare pentru alcătuirea unui program de optimizare, în sensul expus.

La alcătuirea algoritmului autorul a utilizat principalele formule cunoscute din literatură și formule adaptate special scopului propus, prelucrate pe calculator a datelor.

Se consideră că prin alcătuirea unui program care să fost rulat pe calculatorul IRIS-50 (FELIX-256) cu bune rezultate, se pune la îndemâna celor care doresc să-l utilizeze un instrument util de cercetare și proiectare.

### 3.2. Relațiile pentru calculul optimal al multiplicatoarelor de frecvență în densitatea curentului cuprinsă în [5], [6], [7], [62], [63].

Alegerea densității electrice de curent a multiplicatoarelor de frecvență statice, cu elemente electromagnetice, este determinată de modul de răcire, de putere, de construcție, clasa de izolație, de felul conductorului înfășurărilor și a altor factori tehnologici.

In continuare se prezintă [5], un sistem de relații optimale între principalele mărimi electrice, magnetice și dimensionale ale unui multiplicator de frecvență, având cunoscută densitatea curentului electric în înfășurări.

In fig.3-1 sunt reprezentate diverse tipuri de construcții de multiplicatoare de frecvență.

Problema se tratează desuprunită că avem și înfășurare de premagnetizare.

Se fac notațiile :

- $m$  - numărul miezurilor multiplicatorului;
- $n$  - numărul de coloane ale unui miez;
- $W_1$  - numărul de spire al înfășurării primare la un singur miez și străbătut de curentul  $I_1$ ;

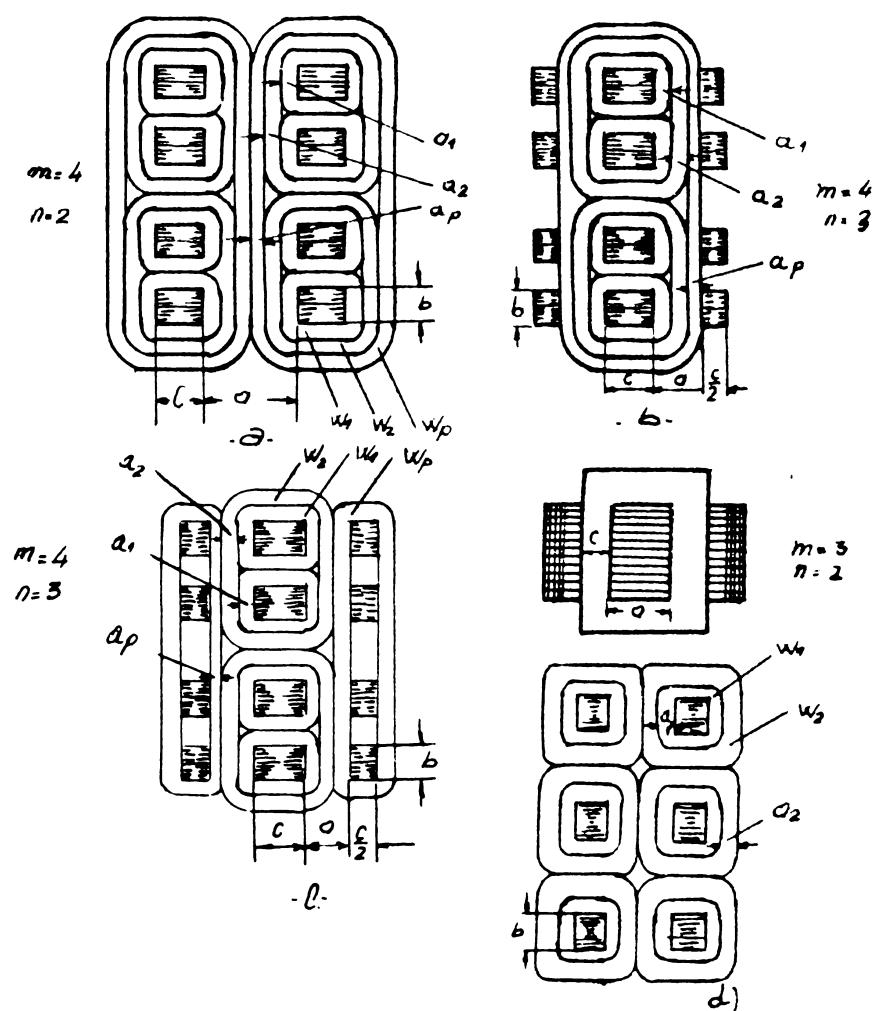


Fig. 3-1 Construcția multiplicatorului de frecvență :

- construcția cu miezuri;
- construcția blindată;
- construcția blindată cu bobine separate;
- construcția triplorului Spinelli  $S_{2n}=200$  KVA;

$w_2$  - idem pentru înfășurarea secundară;

$w_p$  - idem pentru înfășurarea de premagnetizare;

$U_1$  - tensiunea la bornele circuitului de intrare;

$U_2$  - tensiunea la bornele circuitului de ieșire;

In [7] se arată că rapoartele de transformare ale unui multiplicator de frecvență static au expresiile :

$$K_{Il} = \frac{I_1 \cdot w_1}{I_2 \cdot w_2}; \quad K_{Ip} = \frac{I_p \cdot w_p}{I_2 \cdot w_2} \quad (3-1)$$

$$K_{U1} = \frac{U_2}{w_2} : \frac{U_1}{w_1} \quad (3-2)$$

Pentru densitățile de curent avem relațiile :

$$J_1 = \frac{I_1}{q_1}; \quad J_2 = \frac{I_2}{q_2}; \quad J_p = \frac{I_p}{q_p}, \quad (3-3)$$

unde  $J$  este densitatea de curent,  $I$  intensitatea curentului,  $q$  este secțiunea conductorului în înfășurările primară, secundară și de premagnetizare ale multiplicatorului de frecvență.

Se observă că există relațiile :

$$q_1 : q_2 : q_p = \frac{I_1}{J_1} : \frac{I_2}{J_2} : \frac{I_p}{J_p} \quad (3-4)$$

$$q_{total} = w_1 q_1; \quad q_{2total} = w_2 q_2; \quad q_{ptotal} = w_p q_p \quad (3-5)$$

Prin efectuarea unor calcule simple, obținem :

$$q_{2total} : q_{1total} : q_{ptotal} = \frac{1}{J_2} : \frac{K_{Il}}{J_1} : \frac{K_{Ip}}{J_p} \quad (3-6)$$

Notînd cu  $K_0$  coeficientul de umplere al ferestrei și prin  $h$  înălțimea bobinei vom obține lățimea înfășurărilor primară, secundară și de premagnetizare notate  $a_1$ ,  $a_2$  și  $a_p$ :

$$a_1 = \frac{q_{1\text{total}}}{K_0 h}, \quad a_2 = \frac{q_{2\text{total}}}{K_0 h}, \quad a_p = \frac{q_{p\text{total}}}{K_0 h} \quad (3-7)$$

Formula (3-6) devine:

$$a_2 : a_1 : a_p = \frac{1}{J_2} : \frac{K_{I1}}{J_1} : \frac{K_{Ip}}{J_p} \quad (3-8)$$

Din analiza fig.3.1 se deduce că volumul conducto-rului neizolat și al otelului se pot calcula cu formulele:

$$V_{Cu} = 2K \cdot K_0 a_2 [m b t_1^2 + m c t_2^2 + a_2 t_3] h;$$

$$V_{Fe} = 2m \cdot K_{Fe} d^2 t_1 \left[ \frac{t_2}{t_1} h + K(a_2 t_1 t_2 + c \frac{t_1}{t_2}) \right] \quad (3-9)$$

In aceste formule:

$$t_1 = \sqrt{\frac{K_{I1} J_2}{J_1} + 1 + \frac{J_2 \cdot K_{Ip}}{J_p}}; \quad d = \sqrt{S_m}$$

$$t_2 = \sqrt{\frac{J_2 \cdot K_{I1}}{J_1} + \frac{1}{n} + \frac{J_2 \cdot K_{Ip}}{m J_p}}; \quad t_3 = 2m t_1^2 t_2^2 \quad (3-10)$$

unde:

$S_m$  - secțiunea miezului;

$K$  - coeficient constructiv, egal cu 1 pentru fig.3-1 b; 3-1 c și 3-1 d și egal cu 2 pentru fig.3-1 a;

• / •

| BDU |

$K_{Fe}$  - coeficient umplere tole;

$$c = \frac{s_m}{b}; b, c - \text{dimensiunile secțiunii miezului};$$

Dacă se calculează derivata parțială  $\frac{\partial V}{\partial b}$  și se ține seama că :  $b = \frac{s_m}{c}$ , obținem valorile optime pentru  $b$  și  $c$ .

$$b_{\text{optim}} = d \frac{t_2}{t_1} \quad (3-11)$$

$$c_{\text{optim}} = d \frac{t_1}{t_2}$$

Tinem seama de (3-9) și (3-11) și avem :

$$V_{Cu} = 4mhaK \cdot K_o(d+a); \quad (3-12)$$

$$V_{Fe} = 2mK_{Fe}d^2 \frac{t_1}{t_2} \left[ \frac{t_2}{t_1} h + K(d+a) \right]$$

$$\text{unde : } a = a_2 t_1 t_2$$

În aceste condiții, secțiunea totală a înfășurării secundare de Cu, se calculează cu relația :

$$q_{2\text{total}} = \frac{I_2 W_2 10^{-2} / 10^{-4}}{K \cdot J_2} [m^2]. \quad (3-13)$$

sau ținând seama de (3-2), se obține :

$$q_{2\text{total}} = \frac{I_2 U_2 10^6 \cdot 10^{-4}}{4,44 K_f B_{lm} S_m K_{ul} J_2} [m^2] \quad (3-14)$$

Făcind cîteva transformări, vom obține :

$$ahd^2 = \frac{A}{K \cdot K_o \cdot K_{Fe}} \cdot \frac{t_1}{t_2} \quad (3-15)$$

unde :

$$A = \frac{t_2^2}{K_{ul}} \cdot \frac{s_2 \cdot 10^6}{4,44 f_B l_m J_2} \quad (3-16)$$

Din formulele (3-12) și (3-15) se obțin expresiile pentru greutatea materialelor active :

$$G_{Cu} = 4m \frac{A}{K_{Fe} \cdot d^2} \cdot \frac{t_1}{t_2} (d+a) \gamma_{Cu}; \quad (3-17)$$

$$G_{Fe} = 2m K_{Fe} d^2 \frac{t_1}{t_2} \left[ K(d+a) + \frac{A}{ad^2 K \cdot K_{Fe} \cdot K_0} \right] \gamma_{Fe},$$

unde  $\gamma_{Fe}$  și  $\gamma_{Cu}$  sunt greutățile specifice ale materialelor respective.

Greutatea totală a materialelor active pentru multiplicatorul de frecvență va fi :

$$G_{total} = 2m \frac{t_1}{t_2} \left[ \left( 2A \frac{\gamma_{Cu}}{\gamma_{Fe} d^2} + K_{Fe} K \gamma_{Fe} d^2 \right) (d+a) + \frac{A \gamma_{Fe}}{a \cdot K \cdot K_0} \right]. \quad (3-18)$$

Calculăm derivata parțială  $\frac{\partial G_{total}}{\partial d}$  și o egalăm cu zero. Rezolvând ecuația se obține :

$$d_{optim} = \sqrt[4]{\frac{A}{K \cdot K_{Fe}^2} \cdot \frac{\gamma_{Cu}}{\gamma_{Fe}}} \quad (3-19)$$

unde :

$$\Gamma = \sqrt[4]{\frac{2+4 \frac{a}{d}}{3+2 \frac{a}{d}}} \quad (3-20)$$

Efectuind derivata parțială  $\frac{\partial G_{total}}{\partial a}$ , pe care o egalăm cu .//.

zero, vom obține :

$$\frac{\left(\frac{a}{d}\right)^2 \cdot \left(1 + \frac{a}{d}\right)}{3 + 2\frac{a}{d}} = 0,125 \frac{K_{Fe}}{K \cdot K_0} \cdot \frac{\gamma_{Fe}}{\gamma_{Cu}} \quad (3-21)$$

expresia (3-21) poate fi restrânsă sub formă :

$$\frac{a}{d} = 0,57 \sqrt{\frac{K_{Fe}}{K \cdot K_0} \cdot \frac{\gamma_{Fe}}{\gamma_{Cu}}} \quad (3-22)$$

Dacă se consideră  $\Gamma \approx 1$ , se obține pentru  $d_{optim}$  expresia :

$$d_{optim} = \sqrt[4]{\frac{A}{K \cdot K_{Fe}^2} \cdot \frac{\gamma_{Cu}}{\gamma_{Fe}}} \quad (3-23)$$

Inlocuim aceste expresii obținute din condițiile de optim în formulele principalelor mărimi ale circuitului magnetic al multiplicatorului de frecvență și vom obține pentru acestea din urmă valorile optimale :

$$S_m = \sqrt{\frac{A}{K \cdot K_{Fe}^2} \cdot \frac{\gamma_{Cu}}{\gamma_{Fe}}} = 470 \sqrt{\frac{t_2^2}{B_{lm} \cdot J_2 K_{ul}}} \cdot \frac{S_2}{K_f} 10^{-4} [\text{m}^2] \quad (3-24)$$

$$h = 1,65 \frac{t_1}{t_2} \sqrt[4]{\frac{A \cdot K^2}{K_0^2} \cdot \frac{\gamma_{Fe}}{\gamma_{Cu}}} = (2,4 \div 2,8) c \sqrt[4]{\frac{\gamma_{Fe}^2}{\gamma_{Cu}^2} \cdot 10^{-2}} [\text{m}] \quad (3-25)$$

unde  $S_m$  și  $h$  sunt secțiunea activă a coloanei miezului, respectiv înălțimea acesteia, în cazul infășurărilor executate din conductor de Cu.

In cazul infășurărilor executate din conductor de aluminiu formulele sunt similară, dar coeficienții sunt diferenți deoarece  $\gamma_{Al} < \gamma_{Cu}$  și vom avea expresiile :

- 81 -

$$s_m = 280 \sqrt{\frac{t_2^2}{B_{lm} J_2 K_{ul}}} \frac{s_2}{Kf} 10^{-4} \quad [m^2] \quad (3-26)$$

$$h = (3,1 \div 3,6) c \sqrt{K \cdot 10^{-2}} \quad [m] \quad (3-27)$$

Din aceste formule cu caracter general se vor obține formulele specifice fiecărui dublor și triplor de frecvență în parte, pe care le vom aplica la aplicarea algoritmului pentru dimensionarea multiplicatoarelor respective.

Pentru calculul de verificare a infășurărilor, după ce s-au calculat dimensiunile principale ale miezului și infășurărilor, este valabilă relația :

$$J = \frac{2N_B \cdot K_T \cdot q_T \cdot h_{bob}}{\sum I \cdot w} 10^6 \quad [A/m^2] \quad (3-28)$$

unde :

$N_B$  - numărul de canale pentru răcirea bobinelor;

$K_T$  - coeficientul de obturare al canalelor de răcire datorită distanțoarelor, egal cu 0,75 la suprafețe interioare și egal cu 1 la axele exterioare ;

$\beta$  - rezistență specifică a materialului respectiv, în  $A/m^2$ ;

$q_T$  - flux termic specific în  $W/m^2$ ;

$h_{bob}$  - înălțimea bobinei în m;

Capacitatea condensatoarelor de îmbunătățire a factorului de putere se determină cu formula :

$$C_1 = \frac{1,6 Q \cdot 10^5}{m_1 f U_1^2} [F]; Q = \frac{s_{2n}}{\gamma} \left[ \sqrt{\left( \frac{K_{II}}{K_{ul}} \right)^2 - 1 - \operatorname{tg} \varphi_1} \right] \cos \varphi_{sarc} [Var] \quad (3-29)$$

// .

unde:  $\gamma$  - randamentul;

$K_{ul}$ ,  $K_{ll}$  - rapoarte de transformare curent și tensiune;

$Q$  - puterea reactivă totală în condensatoare, legate în stea sau în punte;

$\cos \varphi_1$  - valoarea necesară a factorului de putere la intrare;

$\varphi_{sarc}$  - unghiul de defazaj între curentul și tensiunea de ieșire;

Pentru determinarea dimensiunilor unui multiplicator de frecvență trebuie să cunoaștem :

- 1) factorul de multiplicare al frecvenței;
  - 2) frecvența rețelei de alimentare și valorile limită ale abaterii ei de la valoarea nominală  $f$  (în Hz);
  - 3) numărul de faze al tensiunii de intrare;
  - 4) valoarea nominală și limitele tensiunii de intrare  $U_{lnom}$ ,  $U_{lmax}$ ,  $U_{lmin}$ ;
  - 5) idem pentru tensiunea de ieșire  $U_2$ ;
  - 6) puterea nominală de ieșire  $S_2$ ;
  - 7) valoarea nominală a factorului de putere al sarcinii,  $\cos \varphi_{2sarc}$  și caracterul său;
  - 8) durata de funcționare,  $t_f$ ;
  - 9) condițiile de răcire;
  - 10) cea mai mică valoare a curentului de sarcină  $I_{2min}$ ;
  - 11) materialele active pe care le avem la dispoziție;
  - 12) tipul constructiv;
  - 13) tipul de condensatoare de care dispunem;
- După dimensionarea multiplicatorului de frecvență, randamentul său se calculează cu formula :

$$\gamma = \frac{S_2 \cos \varphi_2 \sqrt{t_f}}{S_2 \cos \varphi_2 \sqrt{t_f} + \sum \Delta P} \quad (3-30)$$

unde  $\sum \Delta P$  - suma pierderilor multiplicatorului de frecvență, celelalte mărimi fiind cunoscute.

In final se face un calcul termic de control al multiplicatorului de frecvență numai pentru miez, deoarece .//.

Formula de verificare, valabilă pentru toate tipurile de multiplicatoare este :

$$q_{TFe} = \frac{\Delta P_{Fe}}{A_{Fe}} \leq 450 \text{ [W/m}^2\text{]} \quad (3-31)$$

unde  $\Delta P_{Fe}$  sunt pierderile în fier, iar  $A_{Fe}$  - aria de răcire a miezului, care este cu atât mai mare cu cât se prevăd mai multe canale de răcire în miez.  $\Delta P_{Fe}$  se poate micșora folosind tole cât mai subțiri, mergînd pînă la 0,1 mm.

### 3.3. Algoritmul de calcul al multiplicatoarelor de frecvență în vederea optimizării pierderilor în cupru și în fier, care să conduce la randament și la încălziri optime.

In acest subcapitol se va prezenta un subcapitol de calcul pe baza căruia se vor elabora programele concrete, în limbaj FORTRAN IV, utilizate pentru optimizarea parametrilor dublorului de frecvență Joly-Epstein în gama de puteri  $S_{2n}=4 \div 20 \text{ KVA}$  și pentru optimizarea parametrilor triplorului de frecvență Spinelli în gama de puteri  $S_{2n} = 150 \div 300 \text{ KVA}$ , din punct de vedere al pierderilor și implicit a randamentului și încălzirii.

La elaborarea algoritmului se propun ca date cunoscute ale problemei de rezolvat următoarele :

- tensiunea rețelei de alimentare -  $U_{1f}$  ;
- tensiunea de ieșire a multiplicatorului respectiv frecvența -  $U_2$  - ;
- frecvența tensiunii în rețea de alimentare a multiplicatorului -  $f_1$  - și frecvența de ieșire  $f_2$ ;
- factorul de putere în circuitul de ieșire al multiplicatorului -  $\cos \varphi_2$  - ;

Fiind cunoscute datele problemei, pentru o anumită gamă de puteri de ieșire ale multiplicatorului -  $S_2$ , s-au ales mărimi care pot fi variate prin program :

1. inducția magnetică în miez,  $B_{1m}$ ;
2. curentul de premagnetizare  $I_p$  (la dubluri) ;
3. densitățile de curent :  $J_1, J_2, J_p$  (la dubluri);
4. regimul de funcționare permanent sau cu un anumit grad de intermitență, cu răcire în aer, prin varierea lui  $t_e$ , timpul efectiv de lucru ;

///.

5. numărul de canale de răcire al înfășurării -  $N_B$ ;
6. numărul de canale de răcire în miez -  $N$  ;

Optimizarea pierderilor în cupru și fier la dublărele și triploarele de frecvență analizate și implicit a randamentului și încălzirii acestora se realizează, pentru o variantă dată prin varierea următoarelor mărimi : variația densității de curent variația factorului de intermitență, variația inducției în miez. Asupre încălzirii multiplicatorului, pe lîngă reducerea pierderilor, se poate acționa și asupra suprafeteelor de răcire, care pot fi mărite prin creșterea numărului de canale de răcire la înfășurări  $N_B$  și canale de răcire în miez  $N$  .

O variantă de dublor sau de triplor de frecvență se obține pentru o anumită putere de ieșire  $S_2$  (contorul  $S_2$ ) o anumită inducție în miez  $B_{lm}$  (contorul I) și anumite valori inițiale ale densităților de curent  $J_1, J_2, J_p$  (contorul  $I_j$ ). Programul permite studierea tuturor variantelor, calculând parametrii multiplicatoarelor de frecvență respective, impunindu-se ca acestea să prezinte un randament mai mare decât cel considerat optim, iar încălzirea să nu depășească limitele optime din punct de vedere al unei funcționări corespunzătoare.

Algoritmul de calcul care se redă în continuare utilizează formulele din literatură, cu adaptările impuse valorilor coeficienților de realizarea miezului din tole ARMCO de 0,35mm.

Deasemenea, în cadrul algoritmului a trebuit să se impună calculatorului prin program modul de alegere al secțiunilor conductoarelor dintr-un tabel STAS pus lui la dispoziție și să se adapteze și alte formule cunoscute la modul de lucru pe calculator: calculul înălțimii miezului, calculul lățimii ferestrei, calculul lungimii medii a spirei și altele.

Pe baza algoritmului se pot elabora schemele logice - proprii fiecărui subprogram - de la care se trece la întocmirea programului propriu zis.

Secțiunea coloanei miezului  $S_{ml}$  se calculează cu formula :

$$S_{ml} = K_{Sml} \sqrt{S_2 / K_{fl}} \cdot 10^{-4} [m^2] \quad (3-32)$$

unde :

$K_{Sml}$  - coeficient de calcul, care se va da pe cartelă funcție de tipul multiplicatorului respectiv ;

•//•

$K = 1$  - coeficient constructiv ;  
 $S_{m2}, f_1$  - semnificație cunoscută ;

Secțiunea coloanei ,  $S_{m2}$ , ținând seama de coeficientul de izolație a toșelor,  $K_{Fe} = 0,97$  (pentru toșe ARALCO de 0,35 mm), va fi :

$$S_{m2} = S_{ml}/K_{Fe} \quad [m^2] \quad (3-33)$$

Diametrul echivalent al coloanei miezului magnetic se calculează cu relația :

$$D_{col\ 1} = \sqrt{\frac{4}{\pi} \cdot \frac{S_{m2}}{\gamma_c}} \quad [m] \quad (3-34)$$

unde  $\gamma_c$  , funcție de numărul de trepte ales, este coeficientul de umplere al miezului.

Numărul de spire al înfășurărilor primară, $w_1$ , și secundară, $w_2$ , se calculează cu formulele :

$$w_1 = K_{w1} \cdot \frac{U_{lf}}{f_1 \cdot B_{lm} \cdot S_{ml}} \quad \text{și} \quad (3-35)$$

$$w_2 = K_{w2} \cdot \frac{U_2}{U_{lf}} \cdot w_1 \quad (3-36)$$

unde  $K_{w1}$  și  $K_{w2}$  sunt coeficienți de calcul și se dau pe cartelă funcție de tipul multiplicatorului de frecvență, celelalte mărimi având semnificații cunoscute. Algoritmul propus permite obținerea lui  $w_1$  și  $w_2$  ca numere întregi.

Curenții : secundari  $I_2$  și primar  $I_1$  se calculează astfel :

$$I_2 = \frac{S_2}{U_2} [A] \quad \text{și} \quad I_1 = K_{Il} \frac{I_2 \cdot w_2}{w_1} [A] \quad (3-37)$$

unde  $K_{Il}$  - coeficient de calcul, dat pe cartelă, funcție de tipul multiplicatorului de frecvență,  $K_{Il} = 2 \div 3,5$  la dubloare de frecvență și  $K_{Il} = 0,6 \div 1,2$  la triploare de frecvență.

Dacă înălțimea coloanei miezului se calculează cu formula :

$$h = K_h \sqrt{S_{m2} \cdot K} \quad [m] \quad (3-38)$$

unde prin  $K_h$  se înțelege un coeficient de calcul, care variază între anumite limite, funcție de tipul multiplicatorului și de construcția acestuia, atunci, pentru elaborarea programului, după cum se va vedea în cele ce urmează, se impune să se calculeze :

$$h_{\min} = K_h \min \sqrt{S_{m2} K} \quad [m] ; \quad h_{\max} = K_h \max \sqrt{S_{m2} K} \quad [m]$$

$$h_{\text{med}} = \frac{h_{\min} + h_{\max}}{2} \quad [m] \quad (3-39)$$

$h_{\text{med}}$  se calculează numai la dublorul de frecvență. Pentru o anumită valoare a curentului de premagnetizare  $I_p$ , numărul de spire al acestei înfășurări  $w_p$ , se calculează cu formula :

$$w_p = \frac{K_{w_p} \cdot w_2 \cdot I_2}{I_p} \quad (3-40)$$

$K_{w_p} = 2,1 \div 3,10$  - coeficient dat pe cartelă.

In continuare, autorul trebuie să găsească algoritmul de calcul al secțiunilor conductoarelor de cupru, utilizat pentru construcția înfășurărilor multiplicatorului de frecvență, știind că în conformitate cu standardele în vigoare secțiunile variază în trepte.

Algoritmul ales, pe baza căruia s-a întocmit un program, care pus la dispoziția calculatorului, permite determinarea secțiunii conductoarelor  $q_1$ ,  $q_2$  și  $q_p$  a plecat de la faptul că între secțiunea calculată a conductorului  $q_{\text{calc}} = \frac{I}{J}$  și secțiunea din standard  $q_{\text{STAS}}$ , ținând seama și de numărul de conductoare în paralel, trebuie să se stabilească o relație.

Notind cu  $\varepsilon_{\text{imp}}$  - valoarea impusă a erorii determinată, ținând seama de experiența de proiectare, de secțiunea din standarde și de testarea programului pe calculator, se poate trece la calculul secțiunii conductoarelor de cupru ale înfășurărilor,

•//•

determinind totodată și numărul de conductoare în paralel. Pentru infășurarea primară și cea secundară, prin program se impune "citirea" secțiunilor  $a_{STAS}$ , dintr-un tabel memorat în calculator (tabel conform STAS-2873-68 la secțiuni dreptunghiulare). Pentru infășurarea de premagnetizare se întrebuintează același procedeu, pentru conductoare rotunde. Programul trebuie să țină seama de faptul că secțiunile  $a_{STAS}$  sunt redate în standarde în  $\text{mm}^2$  și  $\text{m}^2$  (conform SI), iar dimensiunile conductoarelor  $a, b$  respectiv  $d$ , sunt redate în  $\text{mm}$  și  $m$  (conform SI).

Se declară densitățile de curent  $J_1$ ,  $J_2$  și  $J_p$ .

Calculul secțiunii conductorului de cupru al infășurării primare decurge astfel :

- se obține  $a_1 \text{ calc}$  o sarcină de calcul :

$$a_1 \text{ calc} = \frac{I}{J_1} \quad [\text{m}^2] \quad (3-41)$$

Se calculează, pentru fiecare secțiune  $a_1 \text{ STAS}$  din tabelul memorat (în program se va stabili modul de parcursere al tabelului - de sus în jos, începând cu prima coloană, pînă la ultima) eroarea în valoare absolută  $\varepsilon_1$  și se compară cu  $\varepsilon_1 \text{ impus}$ :

$$\varepsilon_1 = \left| \frac{a_1 \text{ STAS} \cdot 10^{-6}}{a_1 \text{ calc}} - \frac{a_1 \text{ calc}}{n_1} \right| \cdot 100 < \varepsilon_1 \text{ imp} \quad (3-42)$$

$$\frac{a_1 \text{ calc}}{n_1}$$

unde :

$n_1 = 1, 2, 3, 4$  (5) numărul de conductoare în paralel ale infășurării primare pentru dubluri ( și pentru triplor ) ;

$\varepsilon_1 \text{ imp} = 1,3\%$  la dubluri și  $\varepsilon_1 \text{ imp} = 0,5\%$  la triplorul de frecvență.

Dacă nu este îndeplinită condiția la  $n_1 = 1$  se repetă calculele pentru toate valorile  $n_1$  și dacă pentru niciuna nu se îndeplinește, se afișează "condiție depășită", trecindu-se la altă variantă (variantele obținute prin schimbare lui  $S_2$ ,  $B_{lm}$  sau  $J$  ).

In momentul cînd pentru un anumit  $a_1 \text{ STAS}$  se

îndeplinit condiția (3-42), se calculează  $q_1$  și se afișează  $q_1$  și  $n_1$ , unde :

$$q_1 = n_1 \cdot q_1 \text{ STAS}^{10^6} [m^2] \quad (3-43)$$

Totodată se determină din tabel, pentru  $q_1 \text{ STAS}$ , respectiv și dimensiunile conductorului dreptunghiular a și b, care se înmulțesc cu  $10^{-3}$  pentru a rezulta în m, deoarece în tabel sunt redate în mm.

Deasemenea programul "știe" să aleagă dintre cele două mărimi care se declară a și care b, din condiția că a este mai mic decât b, condiție tehnologică legată de greutatea execuției bobinei cînd îndoirea se face pe cant.

Cunoscind dimensiunile secțiunii conductorului, grosimea izolației acestuia, izolația capetelor bobinei  $h_{cb}$ , izolația suplimentară între spire (după caz), tipul multiplicatorului și construcția acestuia, se calculează înălțimea înfășurării primare,  $h_{bob\ 1}$ :

$$h_{bob\ 1} = h_{c.bl} + \frac{n_1 \cdot b_1 \cdot W_1 + 2n_1 W_1 0,0003 + (n_1 W_1 - 1) 0,001}{n_{ls}} \quad [m] \quad (3-44)$$

unde :

- $n_{ls} = 1, 2, 3, 4, 5$  - număr de straturi;
- $n_1 b_1 W_1$  - înălțimea conductoarelor;
- $2n_1 W_1 0,0003$  - grosimea izolației conductoarelor;
- $(n_1 W_1 - 1) 0,001$  - izolația <sup>suplimentară</sup> între spire, numai la triplorul de frecvență;
- $h_{c.bl} = 0,02$  la dubluri și  $h_{c.bl} = 0,038$  la triplor;

Pentru fiecare valoare  $n_{ls}$ , de la 1 la 5 se calculează  $h_{bob\ 1}$ , verificîndu-se condiția :

$$h_{min} < h_{bob\ 1} < h_{max} \quad (3-45)$$

Se tipărește  $n_{ls}$ , care conduce pentru prima dată la o valoare  $h_{bob\ 1}$ , care satisface condiția (3-45) și se continuă calculul.

Pentru determinarea secțiunii conductorului înfășurării secundare se repetă raționamentele și calculele de la înfășurarea primară a multiplicatorului de frecvență.

Se calculează :

$$q_2 \text{ calc} = \frac{I_2}{J_2} \quad [\text{m}^2] \quad (3-46)$$

Pentru fiecare secțiune  $q_1 \text{ STAS}$  din tabelul memorat de calculator, se calculează eroarea  $\varepsilon_2$  și se compară cu  $\varepsilon_{2\text{imp}}$

$$\varepsilon_2 = \frac{\left| q_1 \text{ STAS}^{10^{-6}} - \frac{q_2 \text{ calc}}{n_2} \right|}{\frac{q_2 \text{ calc}}{n_2}} \cdot 100 < \varepsilon_{2\text{imp}} \quad (3-47)$$

unde :

- $n_2 = 1, 2, 3, 4(5)$  - numărul de conductoare în paralel ale înfășurării secundare pentru dublor (și pentru triplor).
- $\varepsilon_{2\text{imp}} = 0,7\%$  la dublor și  $\varepsilon_{2\text{imp}} = 0,35\%$  la triplorul de frecvență.

Cînd se ajunge la valoarea lui  $n_2$  (începînd de la  $n_2 = 1$  și terminînd cu  $n_2 = 4(5)$ ), pentru care este satisfăcută condiția (3-47), se calculează  $q_2$  și se afișează  $q_2$  și  $n_2$ .

$$q_2 = n_2 \cdot q_1 \text{ STAS}^{10^{-6}} [\text{m}^2] \quad (3-48)$$

In același mod ca la înfășurarea primară se determină și pentru înfășurarea secundară  $a_2$  și  $b_2$ .

Se calculează înălțimea înfășurării secundare  $h_{\text{bob } 2}$ , după același raționament de la înfășurarea primară :

$$h_{\text{bob } 2} = h_{c.b_2} + \frac{n_2 b_2 w_2 + 2n_2 w_2 0,0003 + (n_2 w_2 - 1) 0,001}{n_{2s}} \quad [\text{m}] \quad (3-49)$$

unde :

- $n_{2s} = 1, 2, 3, 4, 5$  - este numărul de straturi al  $(6, 7, 8, 9, 10)$  înfășurării secundare pentru dublor (și triplor).

Ceilalți termeni din formula (3-49) au, respectiv, aceeași semnificație ca în formula (3-44) cu precizarea că  $h_{cb2} = 0,02$  și pentru  
•//•

dublorul și pentru triplorul de frecvență. Calculul se oprește la acel  $n_{2s}$ , la care se îndeplinește condiția (se începe cu  $n_{2s} = 1$ , continuind, după caz, pînă la  $n_{2s} = 5(10)$ ).

$$h_{\text{bob } 2} \leq h_{\text{bob } 1} \quad (3-50)$$

Să tipărește  $n_{2s}$  și să se continuă calculul, determinînd secțiunea conductorului de cupru al triploru/cei trei de premagnetizare (numai pentru dublorul de frecvență tip Spinelli nefiind prevăzut cu o asemenea înfășurare).

$$q_p \text{ calc} = \frac{I_p}{J_p} \quad [\text{m}^2] \quad (3-51)$$

Tabelul de conductoare rotunde, memorat în calculator, este parcurs de la secțiuni mici la secțiuni mari, pînă se ajunge la o secțiune  $q_p \text{ STAS}$ , pentru care se îndeplinește condiția :

$$10^6 \cdot q_p \text{ STAS} > q_p \text{ calc} \quad (3-52)$$

Atunci se calculează și realizează  $q_p$  și  $d_p$  (diametrul) ale conductorului, trecîndu-le în SI.

$$q_p = q_p \text{ STAS} \cdot 10^{-6} \quad [\text{m}^2];$$

$$d_p = d_p \text{ STAS} \cdot 10^{-3} \quad [\text{m}] \quad (3-53)$$

Pentru calculul înălțimii înfășurării de premagnetizare să utilizăzi formula :

$$h_{\text{bob } p} = 0,01 + \frac{n_p \cdot d_p \cdot w_p + 2n_p \cdot w_p \cdot 0,0003}{n_{ps}} \quad [m] \quad (3-54)$$

unde :

$n_p = 1$  - numărul de conductoare în paralel;

$d_p$  - diametrul conductorului înfășurării [ $m$ ];

$n_{ps} = 1 \div 50$  - numărul de straturi ale înfășurării;

Ceilalți termeni ai expresiei (3-54) au semnificație cunoscută. Calculul se execută de la  $n_{ps} = 1$ , pînă se îndeplinește condiția (cînd se tipărește  $n_{ps}$ ) :

$$h_{bob\ p} < 0,3 \cdot h_{mediu} \quad (3-55)$$

Inălțimea coloanei mișzului  $h$  se calculează cu formula :

$$h = h_{bob\ l} + h_{bob\ p} \quad [m] \quad (3-56)$$

La triplorul de frecvență  $h_{bob\ p} = 0$ .

Pentru calculul dimensiunilor mișzului trebuie calculată lățimea ferestrei,  $B_f$ .

Pentru dublorul de frecvență  $B_f$  se calculează ca fiind valoarea cea mai mare dintre  $B_{fl+2}$  și  $B_{fp}$ , calculate cu formulele :

$$\begin{aligned} B_{fl+2} = & 3 \cdot 8 \cdot 10^{-3} + n_{ls} \cdot a_1 + 2n_{ls} \cdot 0,0003 + (n_{ls}-1)0,001 + n_{2s} \cdot a_2 + \\ & + 2n_{2s} \cdot 0,0003 + (n_{2s}-1)0,001 \quad [m] \end{aligned} \quad (3-57)$$

$$B_{fp} = 2 \cdot 8 \cdot 10^{-3} + n_{ps} \cdot d_p + 2n_{ps} \cdot 0,0003 + (n_{ps}-1)0,0005 \quad [m]$$

Pentru triplorul de frecvență se utilizează formula :

$$\begin{aligned} B_f = & 0,030 + 3 \cdot 10 \cdot 10^{-3} + n_{ls} a_1 + 2n_{ls} \cdot 0,0003 + (n_{ls}-1)0,001 + n_{2s} a_2 + \\ & + 2n_{2s} \cdot 0,0003 + (n_{2s}-1)0,001 \quad [m] \end{aligned} \quad (3-58)$$

Verificarea la încălziră infășurărilor se face din condiția că fluxul termic  $q_T$  al acestora să fie mai mic decît  $450 \text{ W/m}^2$ , cît impun normele.

Fluxul termic  $q_T$  se calculează din formula (3-28) :

$$q_T = \frac{J_T \cdot (W_1 I_1 + W_2 I_2 + W_p I_p)}{2 N_B \cdot K_T \cdot h}, \quad [W/m^2] \quad (3-59)$$

unde :  $J_T = \frac{J_1 + J_2}{3} + \frac{J_p}{A/m^2}$  pentru dublorul de frecvență;

$$J_T = \frac{J_1 + J_2}{2} \quad [A/m] \text{ pentru triplorul de frecvență;}$$

$$\rho = 0,0175 \cdot 10^{-6} \frac{\Omega \cdot m^2}{m}, \text{ rezistivitatea cuprului;}$$

$K_T = 1$ , coeficient de obturare, conform (3-28);

$N_B = 1, 2, 3 \dots , 5(10)$ , nr. canale de răcire;

Se calculează  $q_T$  luând pentru început  $N_B = 1$ . Se continuă calculul, crescînd  $N_B$ , pînă se obține :

$$q_T < 450 \text{ A/m}^2 \quad (3-59a)$$

Se afisează valoarea lui  $N_B$ , care îndeplinește această condiție.

Programul va trebui să permită ca în cazul în care la calculul încălzirii miezului numărul de canale în miez  $N \neq 0$  să se calculeze dimensiunile acestuia, utilizînd formulele :

- pentru dubloul de frecvență :

$$S_m = S_{m2} + N \cdot D_{col 1} \cdot 0,002 \quad [m^2] \quad (3-60)$$

$$D_{col 1} = \sqrt{\frac{4}{\pi}} \cdot \frac{S_m}{l_c} \quad [m] \text{ pentru coloana centrală} \quad (3-61)$$

$$b = 0,685 \sqrt{S_m / 2} \quad [m] ; \quad \left. \begin{array}{l} \text{pentru cele două coloane} \\ \text{laterale} \end{array} \right\} \quad (3-62)$$

$$c = 1,9 \sqrt{S_m / 2} \quad [m] ; \quad (3-63)$$

$$l_m = 2h + 2b_F + 4 D_{col 1} \quad [m] ; \quad (3-64)$$

- pentru triplorul de frecvență :

$$S_m = S_{m2} + N \cdot D_{col\ 1} \cdot 0,005 \quad [m^2] \quad (3-65)$$

$$D_{col\ 1} = \sqrt{\frac{4}{\pi}} \cdot \frac{S_m}{b_c} \quad [m] \quad (3-66)$$

$$l_m = 2h + 2Bf + 4D_{col\ 1} \quad [m] \quad (3-67)$$

unde  $l_m$  este lungimea medie a liniei de flux în miezul magnetic al multiplicatorului de frecvență, iar  $b$  și  $c$  sunt dimensiunile secțiunii dreptunghiulare a miezului magnetic al dublorului de frecvență.

Tot în această fază a calculului impunem și determinarea capacității condensatorului de compensare longitudinală, cu expresia :

$$C_2 = K_{c2} \cdot I_2 / f \cdot U_2 \quad [F] \quad (3-68)$$

În (3-68)  $K_{c2}$  este un coeficient care se reține pe cartele și are valori definite pentru dublorul și triplorul de frecvență.

$K_{c2} = (0,03 \div 0,05)$  pentru dublorul de frecvență;

$K_{c2} = (0,016 \div 0,026)$  pentru triplorul de frecvență;

Tensiunea la funcționarea în gol, o mărime care caracterizează un multiplicator de frecvență se determină, având cunoscut numerele de spire :

$$U_{20} = K_{u2} \cdot U_1 \cdot \frac{N_2}{N_1} \quad [V] \quad (3-69)$$

Coefficientul  $K_{u2}$  are valori care depind de inducția magnetică în miez. Valurile lui sunt în limitele :

$K_{u2} = (0,451 \div 0,528)$  la dublorul de frecvență;

$K_{u2} = (1,10 \div 1,505)$  la triplorul de frecvență;

După ce s-a calculat  $\lambda_m$  se poate trece la calculul curenților de scurtcircuit ca valori relative în înfășurarea primară și secundară a multiplicatorului  $\bar{I}_{lsc}$  și  $\bar{I}_{2sc}$ . Pentru multiplicatoarele de frecvență care au curent de premagnetizare se calculează mai întâi  $\bar{I}_p$  - valoarea relativă a acestuia :

$$\bar{I}_p = \frac{I_p \cdot w_p}{H_{baz} \cdot \lambda_m} \quad (3-70)$$

In formula (3-70)  $H_{baz}$  este intensitatea cîmpului magnetic în miez, pentru diferite valori ale inducției magnetice, calculată din curba de magnetizare, conform expresiei :

$$H_{baz} = \alpha_s = \frac{H_s}{200} [A \cdot sp/m] \quad (3-71)$$

Desemenea, pentru calculul curenților de scurtcircuit sunt necesare valorile funcțiilor Bessel :  $J_0(\bar{U}_{lm})$ ;  $J_0(\frac{1}{2}\bar{U}_{lm})$ ;  $J_2(\bar{U}_{lm})$  pentru dubloarele de frecvență, precum și  $J_1(\bar{U}_{lm})$  și  $J_3(\bar{U}_{lm})$  pentru triploarele de frecvență. Deoarece  $\bar{U}_{lm}$  este funcție de frecvență și inducție se poate calcula *a priori*, precum și funcțiile Bessel de care avem nevoie, introducerea lor în program neprezentînd o problemă deosebită la întocmirea acestuia, trecînd astfel la determinarea lui  $\bar{I}_{lsc}$  și  $\bar{I}_{2sc}$  :

$$\bar{I}_{lsc} = K_{Iscl} \cdot \frac{\sqrt{2}}{2} \cdot \frac{\sqrt{J_0(\bar{U}_{lm}) [J_2(\frac{1}{2}\bar{U}_{lm}) + \bar{I}_p^2]}}{J_0(\frac{1}{2}\bar{U}_{lm})}, \quad (3-72)$$

pentru dublorul de frecvență, și :

$$\bar{I}_{lsc} = K_{Iscl} \cdot 10^3 J_1(\bar{U}_{lm}), \quad (3-73)$$

pentru triplorul de frecvență, unde :

unde  $K_{Iscl}$  este un coeficient care depinde de valoarea inducției în miez, determinat de autor prin cercetarea pe modele, în laboratorul de încercări ;

$K_{Iscl} = (0,88 \div 1,7)$  la dublorul de frecvență;

$K_{scl} = (1,25 \div 2,265)$  la triplorul de frecvență;

Urmează calculul curentilor de scurtcircuit în înășurarea secundară a multiplicatorului de frecvență :

$$\bar{I}_{2sc} = K_{Isc2} \cdot \sqrt{2} \cdot \bar{I}_p \cdot \frac{\mathcal{J}_2(\frac{1}{2}\bar{U}_{lm})}{\mathcal{J}_0(\frac{1}{2}\bar{U}_{lm})}, \quad (3-74)$$

pentru dublorul de frecvență, și :

$$\bar{I}_{2sc} = K_{Isc2} \cdot 10^3 \cdot \mathcal{J}_3(\bar{U}_{lm}), \quad (3-75)$$

pentru triplorul de frecvență, unde valorile coeficientului  $K_{Isc2}$  au fost deasemenea stabilite de autor pe baza cercetării de laborator :

$K_{Isc} = (0,283 \div 0,450)$  pentru dublorul de frecvență, și :

$K_{Isc2} = (1,58 \div 1,81)$  pentru triplorul de frecvență.

Trecerea de la mărimi relative la mărimi fizice se face cu ajutorul formulelor :

$$I_{lsc} = \frac{\bar{I}_{lsc} \cdot H_{baz} \cdot l_m}{w_1} \quad [A] \quad (3-76)$$

și :

$$I_{2sc} = \frac{\bar{I}_{2sc} \cdot H_{baz} \cdot l_m}{w_2}, \quad [A] \quad (3-77)$$

toate mărimele fiind deja calculate.

Pentru explicitarea algoritmului au fost necesare formule pentru calculul lungimilor medii ale spirelor înășurărilor:  $l_{w1}$ ;  $l_{w2}$  și  $l_{wp}$ .

$$l_{w1} = \pi [v_{col1} + n_{ls}(a_1 + 0,0016) + c_1] \quad [m] \quad (3-78)$$

$$l_{w2} = \pi [v_{col1} + 2n_{ls}(a_1 + 0,0016) + n_{ls}(a_2 + 0,0016) + c_2] \quad [m] \quad (3-79)$$

$$l_{wp} = 4,14 \frac{l_{w2}}{\pi} + 2 \cdot 10 \cdot 10^{-3} \quad [m] \quad (3-80)$$

$C_1$  și  $C_2$  sunt constante constructive, care țin seama de mărimea distanțelor electroizolante, la multiplicatoarele respective :

$$C_1 = 15 \cdot 10^{-3} \text{ m la dublorul de frecvență;}$$

$$C_1 = 11 \cdot 10^{-3} \text{ m la triplorul de frecvență;}$$

$$C_2 = 29 \cdot 10^{-3} \text{ m la ambele multiplicatoare de frecvență;}$$

Greutatea înfășurării primare (numai Cu) va fi determinată cu formula :

$$G_{Cu1} = n_t \cdot \gamma_{Cu} \cdot l_{w1} \cdot q_1 \cdot w_1 \quad [kg] \quad (3-81)$$

unde :  $n_t = 2$  sau  $3$  pentru dublor sau triplor;

$$\gamma_{Cu} = 8900 \text{ kg/m}^3 \text{ greutatea specifică a cuprului.}$$

Greutatea cuprului înfășurării secundare :

$$G_{Cu2} = n_t \cdot \gamma_{Cu} \cdot l_{w2} \cdot q_2 \cdot w_2 \quad [kg], \quad (3-82)$$

iar greutatea cuprului înfășurării de premagnetizare va fi :

$$G_{CuP} = \gamma_{Cu} \cdot l_{wp} \cdot q_p \cdot w_p \quad [kg], \quad (3-83)$$

greutatea totală a cuprului înfășurărilor, calculată cu formula:

$$G_{Cu..} = G_{Cu1} + G_{Cu2} + G_{CuP} \quad [kg] \quad (3-84)$$

se afișează de calculator.

Având calculate greutățile înfășurărilor se pot calcula pierderile în cupru :

$$\Delta P_{Cu1} = 2,4 J_1^2 \cdot G_{Cu1} \cdot 10^{-12} \quad [W] \quad (3-85)$$

$$\Delta P_{Cu2} = 2,4 J_2^2 \cdot G_{Cu2} \cdot 10^{-12} \quad [W] \quad (3-86)$$

$$\Delta P_{CuP} = 2,4 J_p^2 \cdot G_{CuP} \cdot 10^{-12} \quad [W] \quad (3-87)$$

•/•

$$\Delta P_{Cu} = \Delta P_{Cu1} + \Delta P_{Cu2} + \Delta P_{CuP} \quad [W] \quad (3-88)$$

Pentru calculul pierderilor în fier, se calculează mai întâi greutatea miezului de fier :

$$G_{Fe\ col} = \gamma_{Fe} \cdot S_{ml} \cdot h \quad [kg] \quad (3-89)$$

$$G_{Fe\ jug} = \gamma_{Fe} \cdot S_{ml} [B_f + 2D_{col\ 1}] \quad [kg] \quad (3-90)$$

$$G_{Fe} = 2n_t(G_{Fe\ jug} + G_{Fe\ col}) \quad [kg] \quad (3-91)$$

unde :

$\gamma_{Fe}$  = 7800 Kg/m<sup>3</sup> greutatea specifică a fierului;

$n_t$  = 2 pentru dubloare și  $n_t$  = 3 pentru triploare.

Greutatea totală a părții active :

$$G_{total} = G_{Fe} + G_{Cu} \quad [kg] \quad (3-92)$$

este afișată prin program.

Pierderile în fier, atât pentru dublorul cât și pentru triplorul de frecvență, se calculează cu formula :

$$\Delta P_{Fe} = p_{Fe} \cdot G_{Fe} \cdot \sqrt{t_e} \quad [W] \quad (3-93)$$

unde :  $p_{Fe}$  - pierderi specifice în fier, funcție de inducția în miez  $B_{lm}$  și frecvență;  $t_e$  - timpul de lucru.

$$\sum \Delta P = \Delta P_{Cu} + \Delta P_{Fe} \quad [W] \quad (3-94)$$

se calculează și se afișează.

Programul este astfel alcătuit încât randamentului  $\eta$  i se pot impune valori mai mari, decât o valoare limită inferioară, acceptată,  $\eta_{impus}$ , ținând seama de condițiile impuse de cercetare, proiectare și exploatare :

$$\eta = \frac{s_2 \cdot \cos \varphi_2 \cdot \sqrt{t_e}}{s_2 \cdot \cos \varphi_2 \sqrt{t_e + \sum \Delta P}} \cdot 100 \quad (\%) > \eta_{impus} \quad (3-95)$$

unde :  $\zeta_{\text{impus}} = 75\%$  la dublorul de frecvență;  $\zeta_{\text{impus}} = 80\%$  la triplorul de frecvență.

Dacă  $t_f$  este mai mare de 0,1 atunci acesta se micșorează în trepte de 0,3, efectuindu-se din nou calculele de la formula (3-93), pînă se realizează condiția (3-95).

Dacă  $t_f = 0,1$  atunci se impune modificarea densităților de curent, scăzîndu-se valoarea lor, în trepte de  $0,2 \cdot 10^6 \text{ A/m}^2$ , începînd însă calculele de la formula (3-41), pînă se realizează condiția (3-95).

După aceea se verifică, în final, încălzirea miezului magnetic al multiplicatorului de frecvență, utilizînd formula (3-31) :

$$q_{T \text{ Fe}} = \frac{\Delta P_{Fe}}{A_{Fe}} \quad [\text{W/kg}] \quad (3-31)$$

Algoritmul stabilit permite îndeplinirea condiției (3-31) :

$$q_{T \text{ Fe}} \leq 450 \text{ W/m}^2, \quad (3-31a)$$

deoarece aria laterală de răcire a miezului,  $A_{Fe}$ , poate fi mărită prin prevederea în miez a unui număr de canale de răcire :

$$N = 1, 2, 3, 4, 5.$$

Aria laterală de răcire a miezului se poate calcula cu formula :

$$A_{Fe} = 2n_t \left[ (\pi + 2N) \cdot D_{col} \cdot (h + B_f + 2 D_{col}) \right] \text{ [m}^2\text{]} \quad (3-96)$$

Se recomintește că, la schimbarea lui N, algoritmul stabilit permite reluarea calculelor începînd cu relația (3-60).

Pe baza algoritmului expus, se poate trece la întocmirea programului pentru calculator.

### 3.4. Programul unitar de calcul al unui multiplicator de frecvență în vederea optimizării pierderilor în cupru și în fier, care să conduce la răundament și la încălziri optime.

Din prezentarea algoritmului de calcul al multiplicatoarelor de frecvență și din experiența utilizării programului FORTAN la calculatoarele numerice de tip IRIS-50, s-a impus

elaborarea unui program unitar specific, compus din programul principal și două subruteine externe.

Programul alcătuit are avantajul că în gama de puteri și de inducții pentru care a fost testat, poate lucra cu orice seturi de date de intrare, permîțînd aflarea soluției optime dintr-un punct de vedere (încălzire redusă, randament mare, anumiți parametrii de ieșire impuși) într-un timp foarte scurt.

Programul unitar care permite calculul dublorului și triplorului de frecvență se împarte în trei părți :

1. programul principal numit segmentul A prezentat în fig. 3.2 și fig. 3.3.

2. subprogramul (segmentul) B care apare ca o subrutină externă, constituind o structură independentă din punct de vedere al compilării, introducerea sa efectuîndu-se ~~separat~~ de cea a programului principal.

Denumirea acestei subruteine este DUBLR, iar definirea ei cuprinde și lista de argumente convenționale - argumente care corespund valorilor pe care programul principal le transferă subruteinei , ceea ce se poate observa din parcursarea programului principal la eticheta 60.

Subruteina DUBLR [K(1), K(2), K(3), K(4), K(5), K(6), K(7), Q1, A, B, ~~QSTAS, L<sub>P</sub>~~] permite calculul dublorului de frecvență, după ce s-au făcut operațiile din programul principal și s-a chemat subruteina prin instrucțiunea de chemare CALL.

Instrucțiunea RETURN din cadrul acestei subruteine permite revenirea în programul principal la instrucțiunea care urmează după CALL, adică la 61 CALL TRIPL [K(1), K(2), K(3), K(4), K(5), Q1, A, B], care corespunde după cum vom vedea triplorului de frecvență.

3. subprogramul (segmentul C) - care este tot o subrutină externă, pentru triplorul de frecvență, chemată de instrucțiunea CALL TRIPL. După ~~permite reinvoacarea~~ terminarea calculelor, instrucțiunea RETURN din această subrutină în programul principal la STOP - ultima instrucțiune operantă a programului - cînd se termină execuția programului unitar.

Utilizarea subprogramelor (segmentelor) aduce următoarele avantaje :

- economie de timp și muncă prin scrierea o singură dată a acelor instrucțiuni care se repetă în aceeași ordine, în diverse locuri din program;

- compilarea independentă a subprogramului și verificarea sa;

- se pot utiliza variabile și marcaje cu semnificație "locală", care pot fi folosite în altă subrutină sau în programul principal.

#### 3.4.1. Programul principal de calcul al optimizării unui multiplicator de frecvență, în FORTRAN

Programul principal a căruia schemă logică este prezentată în fig.3-2 permite realizarea pe baza unor instrucțiuni, a operațiilor principale de calcul comune dublorului și triplorului de frecvență studiat.

Subrutinele externe pentru calculul propriuzis al dublorului, respectiv al triplorului de frecvență, împreună cu schemele logice respective, vor fi expuse în capituloare 4 și 5.

Din analiza programului principal redat în fig.3.3 elaborat pe baza schemei logice din fig.3.2; se observă că acesta se compune dintr-o serie de declarații și comenzi realizate pe baza de instrucțiuni inoperante sau operante. În ordinea programului, acestea sunt :

1. declarația de tip REAL, cu ajutorul căreia s-au declarat mărimi reale :dp, Q<sub>STAS</sub>, Q<sub>1</sub>, A și B, etc;

2. declarația de alocare tip DATA, impusă de faptul că în program se vor utiliza constante și variabile cu indici. În asemenea cazuri se creează aceste valori prin instrucțiunea DATA și se atribuie în faza de compilare. Desemnează se declară un tablou înainte de prima instrucțiune de tip operant din program, care în programul principal - seg.A - va fi o instrucțiune de intrare de tipul READ.

S-au declarat V<sub>min</sub>, V<sub>imp</sub>, V<sub>max</sub> pentru coeficienții variabili cu indici, prezentați la descrierea algoritmului: KSM1, KW1, KW2 K11, KWp și Ip.

3. instrucțiunea operantă de intrare, READ(105,1). Deci numărul 105 precizează tipul unității periferice implicate în transfer - cititorul de cartele - iar numărul 1 indică instrucțiunea inoperantă ajutătoare de tipul 1 FORMAT (10F8,4), de 10 ori cîte 8 cifre, din care 4 după virgulă.

Urmează lista identificatorilor variabilelor ale căror valori se transferă de la unitatea periferică la unitatea centrală. Sunt de fapt secțiunile, diametrele și dimensiunile

//.

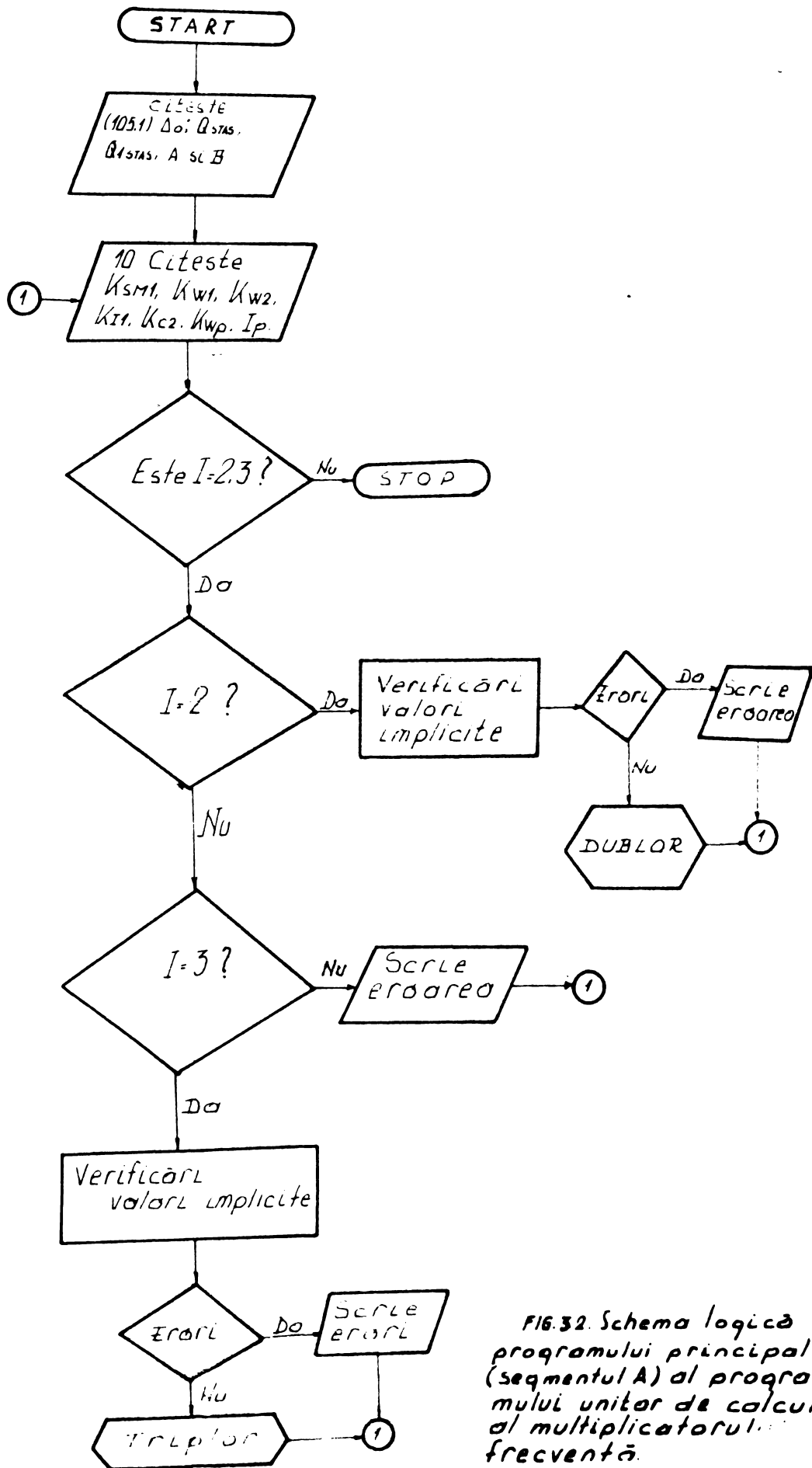


FIG.32. Schema logică a programului principal (segmentul A) al programului unitar de calcul al multiplicatorului frecvență.

conductoarele din care se poate confectiona multiplicatorul, în conformitate cu STAS - 2873 - 68.

4. instrucțiunea operantă de extragere WRITE (108,4). care înseamnă că la extragere folosim imprimantă 108 și 4 FORMAT – redat la sfîrșitul programului principal.

Programarea FORTRAN prevede două moduri de scriere în program a tipului de format, la locul de referință sau grupat la sfîrșitul programului.

S-a ales ultima variantă.

5. instrucțiunea de ciclare L09 I = 1,8, ne permite verificarea cartelelor. Ea grupează operațiile de inițializare și de avans asupra contorului I, la care 1 este valoarea inițială a contorului, iar 8 valoarea finală a acestuia. Pasul său fiind egal cu unitatea, nu s-a menționat acest lucru în instrucțiune.

6. instrucțiunea operantă de intrare READ (105,2 END 99) prin care calculatorului îi se dă comanda să stabilească prin citirea cartelelor, dacă este vorba de dublorul sau triplorul de frecvență și funcție de aceasta, cu ajutorul salturilor condiționate IF se ieșe forțat din ciclu, ajungîndu-se prin instrucțiunile de salt necondiționat GO TO 20 și GO TO 30 la N = 7 (dublorul de frecvență, cu 7 cîmpuri de cartele în "MACHETA CARTELL DATE"), respectiv la N = 5 (triplorul de frecvență cu 5 cîmpuri de cartelă în "MACHETA CARTELL DATE").

Dacă L = 1 semnalizează erori la I, adică nu este nici dublor, nici triplor de frecvență ;

7. instrucțiunea de salt GO TO 50 , care se dă cînd L = 1, comandîndu-se I = I + 1, adică se află care cartelă a dat erori și în continuare prin instrucțiunea operantă de extragere WRITE (108,3) se imprimă eroarea.

8. instrucțiunea GO TO 40 - de salt necondiționat permite ca atunci cînd N = 7 sau N = 5 să inițializăm pe L (L=0) și pe baza instrucției de ciclare DO 42 J = 1,N , calculatorul să execute instrucțiunile din program pînă la eticheta 42 inclusiv.

Conform programului, în acest ciclu, calculatorul verifică, pentru dublor sau triplor (deinde de unde a venit comanda, de la eticheta 20 sau eticheta 30) valorile înscrise pe cartele și introduse conform tabelului alocare DIMENSIÖN. Programul permite și de această dată să se constată erorile și să se afle cum se cheamă cîmpul eronat. Se evită în acest fel introducerea în calcul a cartelelor cu date care nu corespund dublorului sau triplorului.

```

REAL DP(50),QSTAS(50),VIMP(2,7),VMIN(2,7),VMAX(2,7),E(9),T(8)
DATA S/ 1 /
D      ID/'N'/'KSM1'/'KW1'/'KW2'/'KIT'/'KC1'/'KC2'/'KC3'/'KC4'/'KC5'/
1      !   KSM1   !   KW1   !   KW2   !   KC1   !
2      !   KC2   !   KC3   !   KC4   !   KC5   !
1      VMIN/3.80,2.60,0.1300,0.2000,1.40,0.50,0.07,0.0000,0.0/
2      0.0300,0.0150,2.10,0.00,1.0,0.0000,0.0,0/
1      VIMP/4.46,3.29,0.1385,0.2110,1.45,0.55,0.07,4.471,0.6/
2      0.0350,0.0209,2.12,0.00,2.0,0.0000,0.0,0/
1      VMAX/5.50,3.60,0.1500,0.2300,1.60,0.70,0.03,5.000,1.3/
2      0.0500,0.0200,3.10,0.00,3.0,0.0000,0.0,0/
REMD(105,1) (DP(I),I=1,50), (QSTAS(I),I=1,50), ((Q1(I,J),J=1,40),I=1
C,40), (A(I),I=1,40), (B(T),T=1,48)
WRITE(108,4) (DP(I),I=1,50), (QSTAS(I),I=1,50), ((Q1(I,J),J=1,40),I=1
C,40), (A(I),I=1,40), (B(T),T=1,48)
DO 9 I=1,8
9 E(*)=S
10 REMD(105,2,END=99) I, (K(J),J=1,7)
T=L-1
IF(T.EQ.1) GO TO 20
IF(T.EQ.2) GO TO 30
L=7
E(1)=ID(1)
GO TO 50
20 N=7
GO TO 40
30 N=5
40 L=5
DO 42 J=1,N
IF(K(J).EQ.0) GO TO 47
IF(K(J).GE.VMIN(I,J).AND.K(J).LE.VMAX(I,J)) GO TO 42
L=L+1
E(L)=ID(J+1)
GO TO 49
41 K(J)=VIMP(T,J)
42 CONTINUE
50 T=T+1
WRITE(108,3) T, (K(J),J=1,7), (E(J),J=1,8)
IF(L.EQ.0) GO TO 60
DO 51 T=1,L
51 E(*)=S
GO TO 10
60 IF(T.EQ.3) GO TO 61
CALL DUBLR(K(1),K(2),K(3),K(4),K(5),K(6),K(7),99,A,B,QSTAS,DP)
GO TO 10
61 CALL TRIPLE(K(1),K(2),K(3),K(4),K(5),K(6),21,A,B)

```

CALOUT 28/09/74 14.12°32

```

90 STUP
1 FORMAT(10F8.4)
2 FORMAT(1,7F10.5)
3 FORMAT(1,1,1,7(1,1,F8.4),8(1,1,A6))
4 FORMAT(10'X,F10.5)
ENU

```

CALOUT 28/09/74 14.12°32

Fig.3. JOB CALOUT, AN 0550. Programul principal de calcul  
 (Seg. A) al multiplicatorului de frecvență.

de frecvență. Se observă că aici s-au folosit cicluri incluse, ciclul DO 42  $J = 1, N$  fiind inclus în ciclul "exterior" DO 9  $I = 1, 8$ . Pentru fiecare valoare a contorului I, care a condus la două sau la triplor, se execută în întregime ciclul contorului J. În prealabil N a luat valoarea maximă corespunzătoare dublorului ( $N = 7$ ) respectiv triplorului ( $N = 5$ ).

9. instrucțiunea CONTINUL, care nu determină efectuarea vreunui calcul. Ea încheie ciclul DO 42  $J = 1, N$  comandând executarea verificărilor de 7, respectiv 5 ori.

10. instrucțiunea IF (L, EQ.0) GOTO 60, comandă un salt condiționat la eticheta 60 unde IF(IEQ.3)GOTO 61, care se cheamă subrutina externă TRIPL, dacă nu, se cheamă subrutina externă DUBLR, efectuându-se calcule pentru triplorul respectiv pentru dublorul de frecvență.

După fiecare din aceste două variante GOTO 10, adică se citește altă cartelă.

11. instrucțiunea 99 STOP este ultima instrucțiune operantă a programului, având drept scop oprirea executării programului și transferarea comenzi către programul monitor. Leci STOP este activă în faza de execuție.

12. instrucțiunea END, care indică compilatorului terminarea unui text FORTRAN, este activă în faza de compilare din limbaj FORTRAN, în limbajul mașinii (programul obiect).

In esență, programul principal permite ca după prealabile verificări, comune pentru calculul dublorului și triplorului de frecvență, să se cheame subrutele externe :

1. DUBLR (K(1), K(2), K(3), K(4), K(5), K(6), K(7),  
Q1, A, B Q<sub>STAS</sub>, B<sub>p</sub>)

2. TRIPL (K(1), K(2), K(3), K(4) K(5), Q1, A,B) și să se efectueze calculele de optimizare specifice acestor tipuri de multiplicatoare de frecvență, conform subprogramelor (segmentelor) B și C.

## CAPITOLUL IV

---

### PROIECTAREA OPTIMALA A DUBLOARELOR STATICE DE FRECVENTA, PRIN UTILIZAREA CALCULATORULUI NUMERIC.

#### 4.1. Introducere.

In capitolul 3 s-au expus, in general, care sunt considerentele de la care se pleaca atunci cind se demonstreaza necesitatea introducerii studiului optimizarii multiplicatorului de frecventa cu ajutorul calculului numeric.

In subcapitolul 4.2 se face sinteza recomandariilor din literatură pentru calculul dubloarelor de frecvență de alt tip decit Joly-Epstein, cu unele din acestea cele în punte condensatorică și în punte inductivă, urmând să se facă o proiectare comparativă pentru a vedea care se preferă, la parametrii identici în circuitul de ieșire :  $E_2$ ,  $I_2$ ,  $U_2$ ,  $f_2$ .

Subcapitolul 4.3 este cel mai dezvoltat. In paragraful 4.3.1 se prezintă programul de calcul al optimizarii dublorului de frecvență Joly-Epstein, elaborat pe baza algoritmului din subcapitolul 3.3. Trebuie arătat că în cadrul algoritmului s-au păstrat formulele recomandate de literatură, însă, ca o contribuție originală, rezultat al cercetărilor aplicative efectuate asupra performanțelor dublorului de frecvență Joly-Epstein în laborator, se propune o metodică de proiectare adaptată cazului în care miezul este executat din tole ARMCO de 0,35 mm, în sensul că se stabilesc valorile cele mai potrivite pentru unii coeficienți, întrucâtva diferite de cele din literatură.

In paragraful 4.3.2 se demonstrează pe bază de calcule cu referiri la rezultatele cercetării de laborator, că utilizarea în unele formule a coeficienților din literatură indicări pentru execuții de miezuri din alte tole, decit tolă ARMCO de 0,35 mm, ar conduce la dubloare de frecvență Joly-Epstein ai căror parametrii diferă mult de cei măsurăti în laborator, pe modelul executat conform acestor indicații. Spre deosebire de acest caz, utilizând coeficienții cu aplicabilitate în cadrul execuției miezului din tolă ARMCO de 0,35 mm se poate observa din Tabelul 4.1 coloanele 4 și 5 că varianta astfel realizată prezintă parametrii măsurabili în laborator, aproape identici cu cei prezumați în calculul .//.

teoretic.

In paragraful 4.3.2 se face demonstrația faptului că la aceiași parametrii de ieșire :  $S_2$ ,  $I_2$ ,  $U_2$  și  $f_2$  dublorul de frecvență Joly-Epstein este superior dubloarelor de frecvență în punte condensatorică și punte inductivă, lucru care nu se evidențiază în mod deosebit în literatură, dar care se impune în cazul în care se cere să se aleagă cel mai eficient dintr-o suită de oferte. Dacă se iau în considerare numai pierderile de energie în transferatorul de adaptare , care trebuie să însoțească aceste dubloare, superioritatea dublorului Joly-Epstein este evidentă.

In subcapitolul 4.4 se prezintă cîteva considerații asupra optimizării pierderilor de putere a randamentului la dubloarele de frecvență Joly-Epstein, utilizînd calculul numeric la proiectarea acestora, într-o anumită gamă de puteri  $S_2$  și de inducție  $S_{1m}$ .

4.2. Sinteza recomandărilor din literatură privind dimensionarea dubloarelor statice de frecvență [5, 7, 49].

4.2.1. Calculul dublorului static de frecvență Joly-Epstein

Așa cum s-a expus încă din introducere , formulele recomandate de literatură pentru calculul dublorului de frecvență Joly- Epstein , la care pentru o parte din coeficienții cu valori variabile, s-au adaptat de către autor valori noi, valabile pentru execuția miezului dublorului din tablă ARMCO de 0,35 mm, sunt cele din capitolul 3. Cînd se vor utiliza în acest capitol se vor face referirile necesare.

4.2.2. Calculul dublorului static de frecvență cu condensatoare în punte (fig.2-4a și fig.4-1).

Secțiunea activă  $S_{ml}$  trebuie calculată cu relația:

$$S_{ml} = (3,8 \div 5) \sqrt{\frac{S_2}{Kf}} \cdot 10^{-4} \quad [\text{m}^2] \quad (4-1)$$

$$h = (2,7 \div 3,3) \sqrt{S_m \cdot K} \cdot 10^{-2} \quad [\text{m}] \quad (4-2)$$

Lățimea b și grosimea c a secțiunii miezului vor fi calculate cu formulele :

$$b = 0,95 \sqrt{S_m \cdot 10^{-2}} \quad [\text{m}] \quad (4-3)$$

$$c = 1,15 \sqrt{S_m \cdot 10^{-2}} \quad [\text{m}] \quad (4-4)$$

.//.

Numărul de spire al înfășurării primare se va calcula cu formula :

$$w_1 = (0,1 \div 0,11) \frac{U_1}{f_{\text{Lm}} \cdot S_m} \quad (4-5)$$

Se folosește tabla ARMO de 0,35 mm, la care se recomandă  $B = 2T$ . Curentul primar se calculează cu formula :

$$I_1 = (0,8 \div 1) I_2 [\text{A}] \quad (4-6)$$

Tensiunca secundară a dublorului de frecvență în punte condensatorică se calculează cu formula :

$$U_2 = (0,3 \div 0,4) U_1 \quad [\text{V}] \quad (4-7)$$

Numărul de spire al înfășurării de preamagnetizare este calculat cu formula :

$$w_p = (0,75 \div 0,85) \frac{w_1 I_1}{I_p} \quad (4-8)$$

Mărimea capacității condensatoarelor  $C_1$  incluse în brațele punții se determină din formula :

$$C_1 = (0,04 \div 0,06) \frac{I_2}{f U_2} \quad [\text{F}] \quad (4-9)$$

In cazul că se impune un transformator de adaptare, acesta se va calcula la 100 Hz.

Pentru calculul încălzirii și al randamentului se folosesc aceleasi formule ca în subcapitolul 3.2.

#### 4.2.3. Calculul dublorului static de frecvență în punte inductivă . =

Un asemenea dublu este reprezentat ca schemă în fig.2.4e, iar constructiv în fig.4.1.

Secțiunea activă  $S_{m1}$ , înălțimea miezului și dimensiunile secțiunii miezului se calculează cu formulele :

$$S_m = (3,2 \div 4) \sqrt{\frac{S_2}{K \cdot f}} \cdot 10^{-4} \quad [\text{m}^2] \quad (4-10)$$

- 107 -

$$h = (2,5 \div 2,3) \sqrt{k \cdot S_m} \cdot 10^{-2} \quad [m] \quad (4-11)$$

$$b = 0,95 \sqrt{S_m} \cdot 10^{-2} \quad [m] \quad (4-12)$$

$$c = 1,15 \sqrt{S_m} \cdot 10^{-2} \quad [m] \quad (4-13)$$

Numărul de spire al bobinei primare a reactorului saturat se calculează cu formula :

$$w = (0,1 \div 0,11) \frac{U_1}{f \cdot S_{lm} + S_m} \quad (4-14)$$

Curentul primar al unui asemenea dublor se calculează cu formula

$$I_1 = (1,05 \div 1,3) I_2 \quad [A] \quad (4-15)$$

Curentul în înfășurarea  $w$  este calculat cu formula :

$$I = 0,5 \sqrt{I_1^2 + I_2^2} \quad [A] \quad (4-16)$$

Tensiunea de ieșire a dublorului :

$$U_2 = (0,65 \div 0,75) U_1 \quad [V], \quad (4-17)$$

nu poate niciodată depăși pe  $U_1$ .

Capacitatea condensatorului de compensare longitudinală se calculează conform relației :

$$C_2 (0,05 \div 0,07) \frac{I_2}{f U_2} \quad [F] \quad (4-18)$$

#### 4.2.4. Calculul dublorului de frecvență trifazat cu 6 coloane.

Un asemenea dublu de frecvență se reprezintă ca schemă și constructiv în fig.4.2.

Secțiunea activă  $S_m$ , înălțimea coloanei, lățimea și lungimea secțiunii miezului să se calculeze cu formulele :

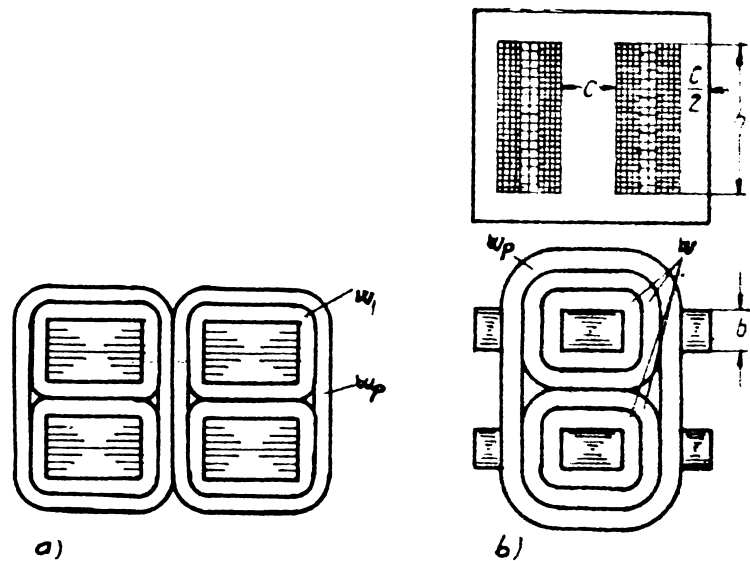


Fig. 4-1 Construcția dubloarelor de frecvență în punte :  
a) miez cu coloane;  
b) miez în montă (blindat);

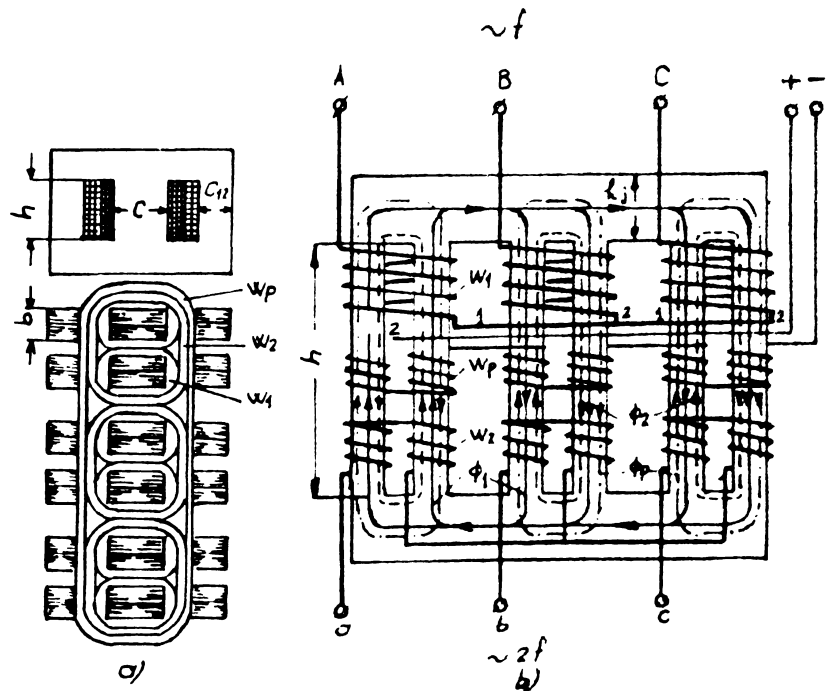


Fig. 4-2 Construcția dublorului de frecvență trifazat,  
cu 6 coloane.

$$S_m = (2,5 \div 3) \sqrt{\frac{S_f}{fK}} \cdot 10^{-4} \quad [m^2] \quad (4-19)$$

$$h = 4,8 \div 5 \sqrt{S_m K} \cdot 10^{-2} \quad [m] \quad (4-20)$$

$$b = 0,95 \sqrt{S_m} \cdot 10^{-2} \quad [m] \quad (4-21)$$

$$c = 1,15 \sqrt{S_m} \cdot 10^{-2} \quad [m] \quad (4-22)$$

Inălțimea jugului se calculează cu formula :

$$h_{jug} = 2,1 \sqrt{S_m \cdot K} \quad [m] \quad (4-23)$$

iar numărul de spire al înfășurării primare la coloanele marginale:

$$w_1 = 0,1 \frac{U_{lf}}{f \cdot B_{lm} \cdot S_m} \quad (4-24)$$

Să notăm că numărul de spire al înfășurării primare pe mijloc din miezul, trebuie să fie cu (5-8) % mai mic decât la miezurile din margine.

Numărul spirelor din înfășurarea secundară și înfășurarea de premagnetizare se calculează cu formulele :

$$w_2 = (1,3 \div 1,5) \frac{U_{2f}}{U_{lf}} w_1 \quad (4-25)$$

$$w_p = (0,9 \div 1,0) \frac{I_2}{I_p} w_2 \quad (4-26)$$

Curentul în înfășurarea primară se poate calcula, folosind formula:

$$I_1 = (1,05 \div 1,3) \frac{w_2}{w_1} I_2, \quad [A] \quad (4-27)$$

iar capacitatea condensatorului de compensare longitudinală se calculează cu formula :

$$C_2 = (0,05 \div 0,07) \frac{I_2}{fU_2} \quad [F] \quad (4-28)$$

•/•

Verificarea încălzirii se face cu formulele (3-28) și (3-31), iar randamentul se calculează cu formula (3-30).

4.3. Proiectarea optimă și comparativă a dubloșilor de frecvență utilizând calculatorul numeric pentru dublorul de frecvență Joly-Epstein.

Pentru studiul aprofundat într-o anumită gamă de puteri și de inducții a parametrilor dublorului de frecvență, precum și al regimurilor sale de funcționare, în vederea optimizării, este indispensabilă utilizarea calculului numeric. Pentru utilizarea eficientă a calculului numeric este însă necesar să existe un algoritm și un program adecvat, care nu pot fi alcătuite dacă nu s-au realizat prototipurile necesare, pe care să se verifice în ce măsură coeficienții cu valori variabile indicați de literatură conduc prin utilizarea formulelor din care ei fac parte la parametrii, care să corespundă celor determinați prin cercetarea de laborator.

Pe baza cercetării asupra prototipurilor construite, autorul a putut să adapteze valorile coeficienților pentru tipul de dublor realizat prin utilizarea la construcția miezului a tolei ARMCO de 0,35 mm coeficienți folosiți la elaborarea algoritmului și a programului care se prezintă în această lucrare.

4.3.1. Programul de calcul al optimizării dublorului de frecvență Joly-Epstein (în FORTRAN).

Din punct de vedere al celor prezentate în paragraful 3.4.1, în realitate, este vorba de un subprogram (subrutină exterioară) de calcul, numită în programul unitar, segmentul B - DUBLR, care este chemat la eticheta 60 prin "CALL DUBLR (K(1), K(2), K(3), K(4), K(5), K(6), K(7), Q1, A,B, Q<sub>STAS</sub>, D<sub>p</sub>)".

Dacă se analizează structura subruteinei DUBLR, definită sub forma unui program în FORTRAN, elaborat pe baza schemei logice din fig.4.3(a) se constată că ea se compune dintr-o serie de instrucțiuni scrise în limbajul respectiv, adică FORTRAN.

În ordinea logică din subrutina DUBLR, aceste instrucțiuni sunt :

1. declarația de definiție a subruteinei, care cuprinde denumirea acesteia - DUBLR - și lista de argumente convenționale.

2. declarația de tip INTEGER : S<sub>2</sub>, W<sub>1</sub>, W<sub>2</sub>, W<sub>p</sub> se  
•//•

face deoarece variabilele respective nu încep cu una din literele: I, J, K, L, M, N. După cum se observă identificatorii de variabilă se separă între ei prin virgulă variabilele declarate întrege rămîn astfel în tot cursul programului;

3. declarația tip REAL KSM<sub>1</sub>, KW<sub>1</sub>, KW<sub>2</sub> . . . L<sub>p</sub>, KU<sub>2</sub>, P<sub>Fe</sub> pentru restul variabilelor, deoarece o parte din ele încep cu literele I, J, K, L, M, N.;

4. declarația de alocare DATA pentru valorile constante ale unor mărimi utilizate în program, cum sunt : K<sub>Isc1</sub>, K<sub>Isc2</sub>, U<sub>lm</sub>, Y<sub>ou</sub>, Y<sub>ou2</sub>, Y<sub>2U2</sub>, K<sub>u2</sub>, B<sub>lm</sub>, H<sub>baz</sub>, P<sub>Fe</sub> și pi;

5. instrucțiunea operantă de extragere WRITE(108,1) prin care se comandă imprimantei, ca în conformitate cu 1 FORMAT să se afișeze denumirea lucrării : PROIECTAREA OPTIMALĂ A DUBLORULUI DE FREVENTA JOLY-EPSTEIN" , înainte de afișarea datelor calculate;

6. instrucțiunea de ciclare DO 800 S<sub>2</sub> = 4000, 20000, 16000, prin care se comandă executarea tuturor instrucțiunilor pînă la eticheta 800, inclusiv aceasta, adică se calculează toate variantele pentru S<sub>2</sub>, care în cazul acesta a devenit un contor a cărui valoare inițială este 4000, valoare finală 20000 cu pasulegal cu 1600;

7. instrucțiunile de atribuire de tip aritmetic pentru calculul lui ETA, SM1, SM2, Dcol<sub>1</sub>, I<sub>2</sub>, H<sub>MIN</sub>, H<sub>MAX</sub>, H<sub>MED</sub>;

8. instrucțiunea de ciclare (primul ciclu în ciclul de la punctul 5) DO 800 I = 1,5, prin care se comandă o anumită valoare a lui S<sub>2</sub>, să se lucreze cu cele cinci valori alocate inducției magnetice în miez B<sub>lm</sub>;

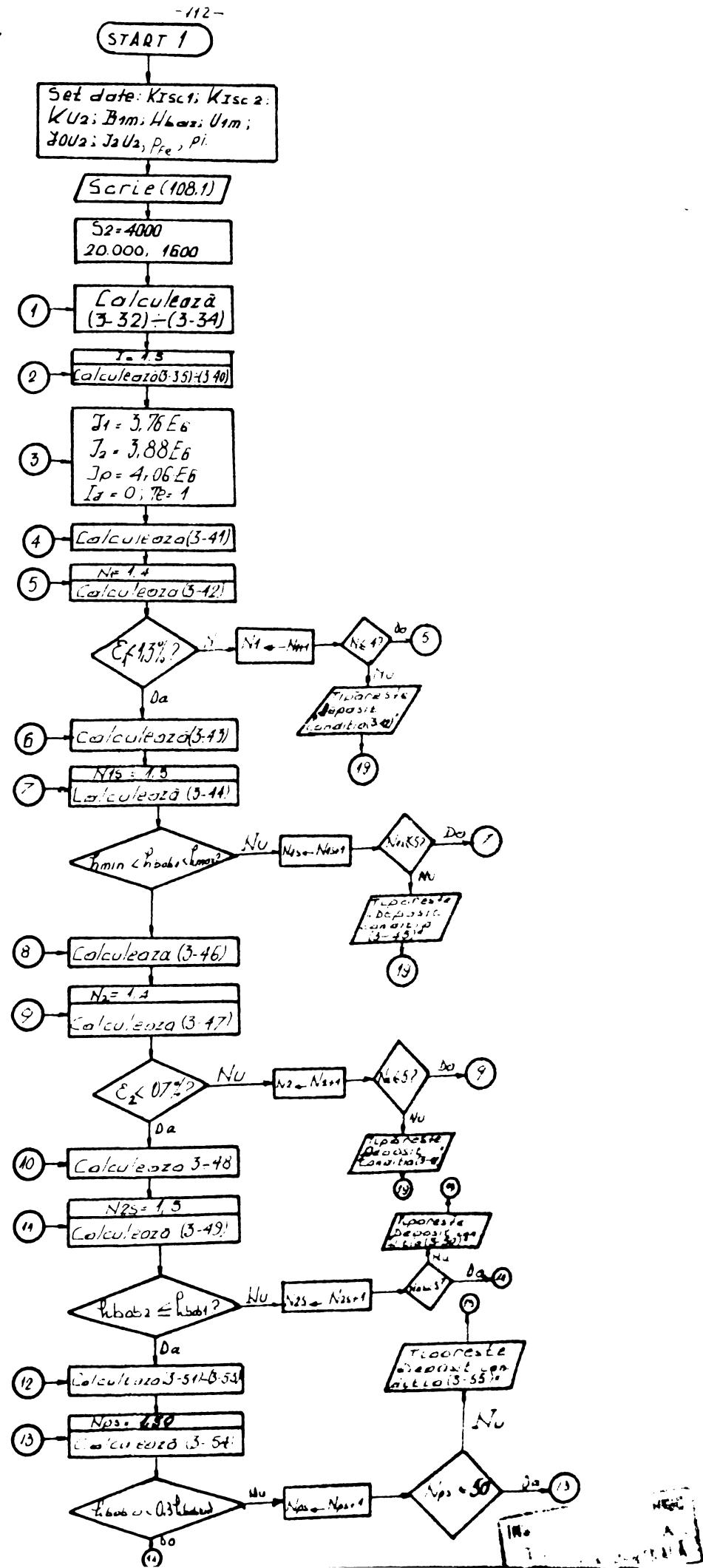
9. instrucțiunile de atribuire de tip aritmetic, permit în continuare să se calculeze : W<sub>1</sub>, W<sub>2</sub>, I și W<sub>p</sub>, pentru valoarea respectivă a inducției magnetice în miez;

10. instrucțiunile de atribuire aritmétice, cînd J<sub>1</sub>, J<sub>2</sub> și J<sub>p</sub> capătă valori corespunzătoare lui I J = 0 și t<sub>f</sub> = 1;

11. instrucțiunea de atribuire etichetată 100 permite calculul lui q<sub>calc</sub>, conform formulei (3-41);

12. instrucțiunile de ciclare DO 100 N<sub>1</sub> = 1,4 ; DO 100 K = 1,40 și DO 100 J = 1,48, comandă calculele și verificăile impuse de formula (3-42) din algoritm, cînd se variază N<sub>1</sub> și se citesc valourile lui Q<sub>1ESTAS</sub> din tabel, pînă cînd  $\xi < 1,3\%$  ;

13. instrucțiunile de salt condiționat IF și de salt necondiționat GOTO incluse în ciclurile de la punctul 12



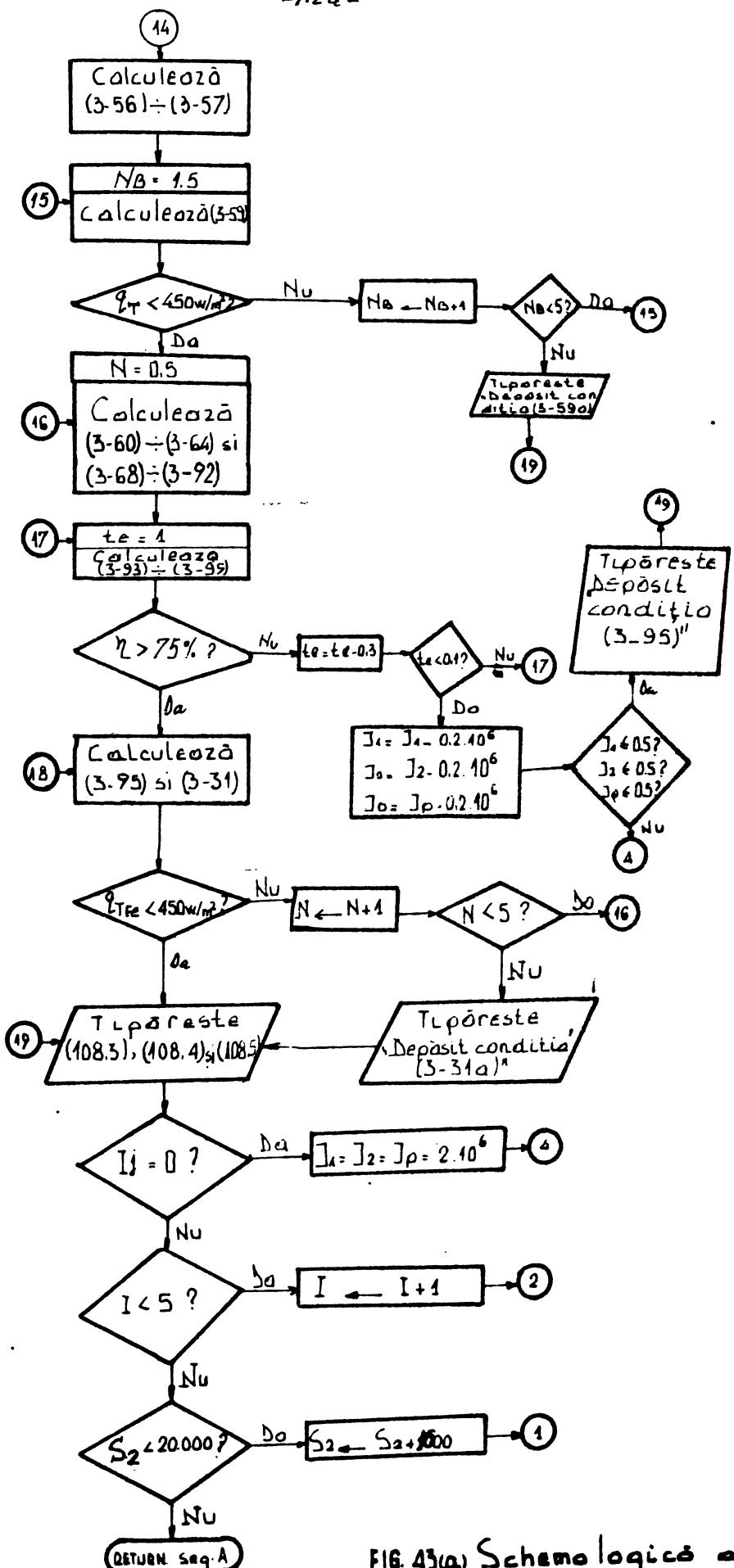


FIG. 43(a) Schema logică a programului de calcul al duilor lui de frecvență JOLY-EPSTEIN.  
 $S_2 = (4 \div 20) \mu\text{VA}$

TIUN (PLUS HAUT NIVEAU D'ERREUR RENCONTRE = U)

14.13°08

TRAN

CALCUT 28/09/74 14.13°10

```

SUBROUTINE DUBLR(KSM1,KW1,KW2,KI1,
S          QPSTAS,RP)
  INIFGER SP,W1,W2,WP
  REAL KSM1,KW1,KW2,KI1,KU2,KCD,KWP,IP,U1M(5),HRAZER,KISCI(5),
R      KISCI(5),JOU(5),JOU(5),J2U2,S1,QTSTAR(4R,6R,A(4R),B(4R)),
R      QPSTAS(50),DP(50),KT1,I1,I2,IP,IPB,TSC1,TSC2,TSC3,TSC4,
P      I2,JP,TSCP,B1M(5),I1,LM,LW1,IWP,KU2(5),PFE(5)
  DATA KISCI/00.8800.01.0560.01.2300,01.5750.01.7000/,
D      KISCI/00.2830.00.3110.00.3050.00.3870.00.4500/,
D      J1M/13.5000.13.9000.14.2000.14.5000.15.0000/,
D      J0U/00.2150.00.1830.00.1410.00.0875.00.0685/,
D      J0U/00.2851.00.2981.00.2991.00.2951.00.2668/,
D      J2U2/00.3135.00.3082.00.2921.00.2801.00.2302/,
D      KU2/00.4510.00.4720.00.4960.00.5070.00.5280/,
D      B1M/01.9000.01.9500.02.0000.02.0300.02.1000/,
D      HRAZ/07.5000.17.5000.25.0000.35.0000.50.0000/,
D      PFE/02.4000.02.7700.03.0000.03.4300.03.5500/,
D      PT/03.14156/
  WRATE(108,1)
  DO R00 S2=4000,20000,1600
  ET=S2/50
  SM1=KSM1*SQRT(ETA)*1E-4
  SM2=SM1/0.07
  DCU1=SQRT(4./PI*SM2/0.78)
  I2=S2/180
  HM+N=2.8*SQRT(SM2)
  HMAX=5.5*SQRT(SM2)
  HMED=(HMIN+HMAX)/2
  DO R00 T=1,5
  W1=KW1*220^5/50./B1M(I)/SM1+0.5
  W2=KW2*180^5/220.*V1+0.5
  I1=KI1*I2+W2/W1
  WP=KWP+W2*T2/IP+0.9999
  TU=1
  J=3.74E6
  J2=3.8E6
  JP=4.0E6
  IJ=0
100  Q1C=I1/J1
  DO 101 N1=1,4
  QCN=Q1C/N1
  DO 101 K=1,40
  DO 101 J=1,40
  IF(Q1STAS(J,K).EQ.0) GO TO 101
  IF(Abs(Q1STAS(J,K)*1E-6/QCN-1).LT.1.3E-2) GO TO 110
101  CONTINUE
  N=URN=11

```

CALCUT 28/09/74 14.13°10

```

WRATE(108,2)INFORM,Q1C
GO TO 700
110 Q1STAS(J,K)=N1*1E-6
A(J,K),A(I1,J),A(I1,K),A(I2,J),A(I2,K),A(J1,J),A(J1,K),A(J2,J),A(J2,K)

```

```

51      B1=AMAX1(A(K),B(J))*1E-3 -114-
52      DO 120 N15=1,5
53      HBUB1=0.02+(N1*BT*W1+2*N1*W1*0.0003)/N15
54      IF(HMIN.LT.HBUB1.AND.HROR1.LT.HMAX)GO TO 130
55      120 CONTINUE
56      NFURM=12
57      WRATE(108,2)NFORM,HBUR1
58      GO TO 700
59      130 Q2=I2/I2
60      DO 131 N2=1,4
61      QCN=Q2C/N2
62      DO 131 K=1,40
63      DO 131 J=1,48
64      IF(Q1STAS(J,K).EQ.0) GO TO 151
65      IF(ABS(Q1STAS(J,K)*1E-6/QCN-1).LT.0.7E-2) GO TO 160
66      131 CONTINUE
67      NFURM=14
68      WRATE(108,2)NFORM,Q2C
69      GO TO 700
70      140 Q2=Q1STAS(J,K)*N2*1E-6
71      A2=AMIN1(A(K)+B(J))*1E-3
72      B2=AMAX1(A(K),B(J))*1E-3
73      DO 151 N24=1,5
74      HBUB2=0.02+(N2*B2*W2+2*N2*W2*0.0003)/N24
75      IF(HBUB2.LT.HBUB1)GO TO 160
76      151 CONTINUE
77      NFURM=15
78      WRATE(108,2)NFORM,HBUB2
79      GO TO 700
80      160 QPC=IP/JP
81      DO 170 J=1,49
82      IF(QPSTAS(J)*1E-6.GE.0.0C)GO TO 175
83      170 CONTINUE
84      NFURM=17
85      WRATE(108,2)NFORM,UPC
86      GO TO 700
87      175 DPG=DPF(J)*1E-3
88      QP=QPSTAS(J)*1E-6
89      DO 180 NPS=1,50
90      HBURP=0.01+(DPG*WP+2*WP*0.0003)/NPS
91      IF(HBURP.LT.0.3*HMED) GO TO 181
92      180 CONTINUE
93      NFURM=18
94

```

```

95      WRATE(108,2)NFCRM,HBURP
96      GO TO 700
97      181 H=NROB1+HRORB
98      C   BF1=3*8* 1E-3+N15*A1+2*N15*0.0003+(N15-1)*0.001+
99      C   +N2S*A2+2*N2S*0.0003+(N2S-1)*0.001
00      C   BF1=0.022+N15*(A1+0.0016)+N2S*(A2+0.0016)
01      C   BF =2*8*10*1E-3+NPS*DPG+2*4PS*0.0003+(NPS-1)*0.0005
02      C   BF =0.0155+NPS*(DPG+0.0011)
03      IF(RF.LT.RF1)BF=BF1
04      JT=(J1+J2+IP)/3
05      DO 220 NB=1,5
06      QT=JT*0.0175E-6*(W1*I1+W2*I2+WP*IP)/2/NB/H
07      IF(QT.LT.450) GO TO 230
08      220 CONTINUE
09      NFURM=22
10      WRTP(108,2)NFCRM,UT
11      GO TO 700
12      230 DO 530 J=1,6
13      NB=1
14      SM=SM2+N*DCOL1*0.002
15      DCOL1=SORT(4./D*SM/0.78)
16      R2D=0.695*SORT(SM/2)
17      C2D=2.000*SORT(SM/2)

```

~~C2=KC2\*I2/50/180~~ - 115 -  
~~U2U=KUP(I)\*220.\*W2/W1~~  
~~IPB=IP+WP/HBAZ(I)/LM~~  
~~ISU1B=KISC1(I)\*SQRT(JOU(I)\*(JOU2(I)+JOU2(I)+IPB+IPB)/2)/JOU2(I)~~  
~~ISU1=ISCP1B\*HBAZ(I)\*LM/W1~~  
~~ISU2B=KISC2(I)\*SQRT(2.)\*IPB\*J2U2(I)/JOU2(I)~~  
~~ISU2=ISCP2B\*HBAZ(I)\*LM/W2~~  
~~LW1=PI\*(DCOL1+16E-3+N1S\*41+(N1S-11\*0.001+N1S\*0.0006))~~  
~~LW1=PI\*(DCOL1+15E-3+N1S\*(A1+0.0016))~~  
~~LW2=PI\*(DCOL1+16E-3+2\*(N1S\*41+(N1S-11\*0.001+N1S\*0.0006)+~~  
~~+16E-3+(N2S\*A2+(N2S-11\*0.001+N2S\*0.0006)))~~  
~~LW2=PI\*(DCOL1+29E-3+2\*N1S\*(A1+0.0015)+N2S\*(A2+0.0016))~~  
~~LWP=4.14\*LW2/PI+20E-3~~  
~~GCU1=2\*8900\*LW1\*Q1\*W1~~  
~~GCU2=2\*8900\*LW2\*Q2\*W2~~  
~~GCUP=8900\*LWP\*QP\*WP~~  
~~GCU=GCU1+GCU2+GCUP~~  
~~DPCU1=2.4\*J1\*J1\*GCU1\*1E-12~~  
~~DPCU2=2.4\*J2\*J2\*GCU2\*1E-12~~  
~~DPCUP=2.4\*JP\*JP\*GCUP\*1E-12~~  
~~DPCU=DPCU1+DPCU2+DPCUP~~  
~~GFFC=7800\*SM1\*H~~  
~~GFFE=7800\*SM1\*2.0\*(BF+DCOL1)~~

CAIUT 28/09/74 16.13'10

GFE=4\*(GFEc+GFEj)  
 GTUT=GCU+GFE  
 490 DPF=PF(E)\*GFE\*SQRT(TL)  
 SDP=DPFII+DPFE  
 ETM=52\*0.8\*SQRT(TL)/(S2\*0.8\*SQRT(TL)+SUP)  
 IF(ETA>GT\*75E-2) GO TO 520  
 IF(TL<0.7) GO TO 510  
 TL=TL-0.3  
 GO TO 400  
 510 IF(J1.LT.0.5E6) GO TO 515  
 J1=J1-0.2E6  
 J2=J2-0.2E6  
 JP=JP-0.2E6  
 GO TO 100  
 515 NFURM=51  
 WR+TE(108,2)NFORM,ETA  
 GO TO 700  
 520 AFF=4\*(PI+2\*N)\*DCOL1\*(H+2\*UCUL1+RF)  
 QTF=DPF/EFE  
 IF(QTF.LT.450)GO TO 700  
 530 CONTINUE  
 NFURM=53  
 WR+TE(108,2)NFORM,QTF  
 540 WR+TE(108,3)S2,B1M(I).TL,SM1,GTOT,UPG  
 WR+TE(108,4)J1,W1,I1,01,A1,R1,N1,N1S,ISC1.  
 W J2,W2,I2,02,A2,B2,N2,N2S,ISC2.  
 W JP,WP,IPB,OP,  
 WR+TE(108,5)H,BF,C2,U20,ETA,NB,GCU,GFE,DPCU,DPFE,QTF,E  
 WR+TE(108,6)R25,C25  
 IF(IJ.NE.0)GO TO 800  
 IJ=1  
 J1=2E6  
 J2=2E6  
 JP=2E6  
 TU=1  
 G TO 100  
 580 CONTINUE  
 RETURN  
 1 FORMAT(//2UX,'\*\*\*\*\* PROIECTAREA OPTIMALA A DISLOBOULUI DE PRECUPERI  
 TA "JOLY-EPSTEIN" \*\*\*\*\*')  
 2 FORMAT('\*\*\*\*\* DEPASIRE LA CONDITIA 1.12.1 \*\*\*\*\* E95.1')  
 3 FORMAT(AX,S2=15.10V, R1M=,E95.8, TL=,E95.9, E95.6)  
 5.8\*\* GTOT=,E95.9, DP=,E73.7  
 4 FORMAT(A1Y,10.11X,W,11Y,1,1AY,9.16X,8.16Y,6.9E1X,5.

\* ,8X\*'ISC\*/  
1' 1 ' .E15.8,I7.4(2X,E15.8),2I3,2Y,E15.8/  
1' 4 ' .E15.8,I7.4(2X,F15.8),2I3,2Y,E15.8/

CALDIT 28/09/76 16.13'13

1' r ' .E15.8,I7.2(2X,E15.8),57X,I3)  
5 FORMAT(5X,' H=.E15.8,' BF=.F15.8.' C2=.E15.8,' 0PF=.,E15.  
.8.' ETA=.E15.8.' NB=.I1/  
1' 6X,'RCU=.E15.8,' GFE=.E15.8.' DDCU=.E15.8.' D  
DPFE=.E15.8.' QTFE=.F15.8.' N=.I1)  
6 FORMAT(5X,' B2=.E15.8,' C2=.F15.8//)  
ENU

CALUUT 28/09/76 16.13'10

tipărit depășirile de condiții;  
19. instrucțiunea de atribuire etichetată 181 permite calculul finalității  $h = h_{bob\ 1} + h_{bob\ p}$ ;  
20. instrucțiunile de atribuire pentru calculul  $B_p$  al ferestrei miezului magnetic și a densității medii de curent  $J_p$  (pentru calcul  $q_T$ , care urmează);  
21. instrucțiunea 10 220  $N_B = 1.5$ , comandă ciclarea calculelor pentru  $q_T$ , pînă cînd se îndeplinește condiția  $q_T \leq 4.5$   $\text{W/m}^2$ . În caz contrar se afișează depășirea condiției prin instrucțiunea WRITE (108,2) și prin instrucțiunea STOP 700 se stăndoașă varianta, trecîndu-se la următoarea

permite citirea tabelului STAS cînd anumite rubrici sunt albe (nu sunt etichete) și saltul la calculul lui  $Q_1 = Q_{1STAS} \cdot N_1 \cdot 10^{-4} \text{ m}^2$  (comandă etichetei 110), odată cu calculul lui  $A_1$  și  $B_1$ , corespunzătoare lui  $Q_{1STAS}$ :

14. instrucțiunea 101 CONTINUE comandă continuarea ciclurilor DO 101  $N_1 = 1,4$ ; DO 101  $A = 1,40$ ; DO 101  $J = 1,48$ ;

15. instrucțiunea de extragere WRITE (108,2) comandă afișarea "Depășit condiția (3-42)", iar instrucțiunea de salt GOTO 700 comandă abandonarea calculului pentru această variantă, cu condiția depășită și scrierea rezultatelor de pînă acum, completează cele de la varianta precedentă;

16. instrucțiunea de ciclare L0120  $N_{1S} = 1,5$  comandă calculul lui  $h_{bob\ 1}$ , pentru  $N_{1S} = 1 \div 5$  și verificarea îndeplinirii condiției (3-45), cu ieșirea din ciclu prin instrucțiunea 120 CONTINUE, afișarea "Depășit condiția (3-45)" pe 2 FORMATE (deci nu s-a realizat (3-45) după 5 cicluri) și abandonarea variantei prin GOTO 700;

17. instrucțiunile cuprinse de la eticheta 170 inclusiv, pînă la 170 exclusiv, de ciclare, de atribuire și de salt comandă executarea calculelor aceleasi mărimi în modul descris de la punctul 11 la punctul 16, pentru înfășurarea secundară a duotorului de frecvență Joly-Lipstein :  $q_2$  calc,  $q_2$ ,  $N_2$ ,  $N_{2S}$ ,  $h_{bob\ 2}$ ,  $A_2$ ,  $B_2$ . Bineînțeles că și aici s-au prevăzut instrucțiunile de abandonare de variantă prin GOTO 700, inclusiv afișările de depășiri, conform WRITE (108,2);

18. instrucțiunile cuprinse între eticheta 170 inclusiv și eticheta 181 exclusiv, permit calculul similar pentru sp.  $D_p$ ,  $N_{sp}$ ,  $h_{bob\ p}$ , ale infășurării de premagnetizare. Se prevăd și aici instrucțiunile de abandonare varianta (GOTO 700), după ce sunt tipărit depășirile de condiții;

19. instrucțiunea de atribuire etichetată 181 permite calculul înălțimii  $h = h_{bob\ 1} + h_{bob\ p}$ ;

20. instrucțiunile de atribuire pentru calculul  $B_p$  al ferestrei miezului magnetic și a densității medii de curent  $J$  (pentru calcul  $q_T$ , care urmează);

21. instrucțiunea 10 220  $N_B = 1,5$ , comandă ciclarea calculelor pentru  $q_T$ , pînă cînd se îndeplinește condiția  $q_T < 100 \text{ W/m}^2$ . În caz contrar se afișează depășirea condiției prin instrucțiunea WRITE (108,2) și prin instrucțiunea GOTO 700 se abandonă varianta, trecîndu-se la următoarea.

22. instrucțiunea DO 530  $J = 1$ , e comandă ciclarea calculelor, care preced calculul optim al randamentului și al fluxului termic în fier  $\alpha_{TFe}$ , prin introducerea acanale de racire în fier, al căror număr  $N$  este dat de relația  $N = J - 1$ . Înainte de calculul lui  $\eta$  (randamentul), instrucțiunile de atribuire din program comandă calculul următoarelor mărimi :  $S_w$ ,  $L_w$ ,  $C_2$ ,  $U_{20}$ ,  $I_{sc1}$ ,  $I_{sc2}$ ,  $I_{scp}$ ,  $G_{Cu}$ ,  $G_{Fe}$ ,  $\Delta P_{Cu}$ ,  $\Delta P_{Fe}$  și  $\sum \Delta P$ .

Dacă randamentul rezultat din calcul nu îndeplinește condiția :  $\eta > 75\%$ , programul permite micșorarea lui  $t_f$  (până la  $t_f = 0,1$ ) și reluarea calculelor de la instrucțiunea etichetată 490. Dacă micșorind  $t_f$  pînă la  $t_f = 0,1$  nu s-a realizat condiția respectivă pentru  $\eta$ , atunci se micșorează și densitățile de curînt în trepte de  $0,2 \cdot 10^6 A/m^2$ , relizîndu-se calculele de la formula (3-41) conectorul ④ din [ ] schema logică. Dacă nici prin micșorarea densităților de curent nu s-a ajuns la un randament corespunzător atunci instrucțiunea WRITE (loc,2) afișează depășirea condiției, iar prin instrucțiunea GOTO 700 se abandonează varianta, după ce s-au scris rezultatele obținute pînă acum, completate cu rezultatele din varianta precedentă.

Instrucțiunea GOTO 520, de salt, comandă dacă randamentul  $\eta > 75\%$ , calculul secțiunii laterale a miezului  $A_{Fe}$ , din pînă lui  $N = J - 1$ , valori de la  $N = 0$  la  $N = 5$  pînă cînd  $\eta_{Fe} \leq 45\% W/m^2$ . Dacă nu se obține o încălzire care să se încadreze în normă prin instrucțiunea WRITE (108,2) se afișează depășirea condiției.

23. instrucțiunile de extragere WRITE (108,1); WRITE (108,3) și WRITE (108,5) de la eticheta 700 permit afișarea rezultatelor.

24. instrucțiunea IF(LINE 0)GOTO 800, comandă (adică da) cu același  $S_2$  și  $B_{lm}$  la care se schimbă  $J_1 = J_2 = J_p = 2 \cdot 10^6 A/m^2$ , o nouă variantă, sau(dacă nu) revenirea în contorul  $I = 1,5$  (la  $I \leq 5$ ) cu o altă valoare pentru  $S_2$  - revenire în contorul  $S_2 = 40000$ , 20000, 1600 (dacă  $S_2 < 20000$ );

25. instrucțiunea RETURN comandă revenirea în programul principal, prezentat în paragraful 3.4.1

Programul prezentat, rulat pe calculator, permite ca în cîteva minute să se calculeze 110 variante de dublare de frecvență Joly Epstein, optimizate conform celor prezentate din punct de vedere al randamentului și deci ai pierderilor.

In plus, analiza datelor din LISTING va permite autorului să facă comparația din paragraful 4.3.2 și cele cîteva considerații din subcapitolul 4.4, care lămureșc noi aspecte

asupra proiectării, execuției și funcționării dubloarelor de frecvență Joly - Epstein.

Fără utilizarea calculului numeric toate acestea ar fi fost practic imposibile.

4.3.2. Comparatie între varianta de dublor de frecvență Joly-Lpstein calculată uind coeficienților valorii conform recomandărilor din literatură și varianta de dublor de frecvență dând coeficienților valorile adaptate de autor cauzului concret de realizare a miezului din tolă ARMCO de 0,35 mm.

In proiectarea dubloarelor de frecvență, care lucrează în regim meliniar, o fază importantă o constituie realizarea modelelor, pe care trebuie să se efectueze cercetări de laborator pentru a avea certitudinea că relațiile dimensionale utilizate corespund realității fizice.

Autorul a întreprins cercetări de laborator în acest sens, stabilind valori adaptate pentru coeficienții formulelor din literatură, valabile ~~pentru~~ construcția miezului din tablă ARMCO, în gama de puteri respectivă.

Pentru a evidenția importanța pe care o au valorile adaptate, se prezintă sub formă de tabel rezultatele optimale, calculând un dublor de frecvență cu valori ale coeficienților indicate de literatură și altul calculat cu valori ale coeficienților stabilite de autor, comparîndu-se rezultatele teoretice cu rezultatele cercetării de laborator (pentru parametrii măsurabili -  $U_1$ ,  $I_1$ ,  $U_2$ ,  $I_2$ ,  $U_{20}$ ,  $I_{1sc}$ ,  $I_{2sc}$ ) efectuată asupra modelelor respective. Parametrii dublorului de frecvență calculat, realizat și încercat în laborator, în aceste două variante sunt :

1. tensiunea primară  $U_1 = 220$  V;
2. tensiunea secundară  $U_2 = 180$  V;
3.  $f_1 = 50$  Hz;  $f_2 = 100$  Hz;
4.  $I_{2n} = 31$  A;  $\cos \varphi_2 = 0,8$ ;
5. curentul de premagnetizare  $I_p = 20$  A;
6. caracterul sarcinii : nominală, permanentă;
7. răcire în aer, naturală;
8. materiale folosite : tolă ARMCO de 0,35 mm și conductor izolat B.B.

Formulele utilizate sunt cele din literatură, redante la prezentarea algoritmului de calcul. La varianta calculată cu valori ale coeficienților conform indicațiilor din literatură s-a //.

Baza de date

$$f_1 = 504 Hz; \quad I_1 = 3.72 \cdot 10^{-4} A/m^2; \quad J_1 = 3.72 \cdot 10^{-4} A/m^2$$

Nr. ord. de aparț. Fiz.	Nr.formule de aparț. Fiz.	Varianta cu valoarea coeficientilor conf.indicatorilor din literatură [5-55]	Varianța cu valoarea de apărare de autor pentru coeficientii formulatori	
0	4	Rezultatele teoretice [conf. calculelor]	Rezultatele măsurători LABORATOR	Rezultate teoretice (conf. calculelor) și controale TESTING
1	1	$S_{m1} = 4.46 \sqrt{5600/1.50} = 472 \cdot 10^{-4} m^2$	-	-
2	[3-33]	$S_{m2} = \frac{47.2}{0.97} \cdot 48.67 \cdot 10^{-4} m^2$	-	$S_{m2} = \frac{47.2}{0.97} = 48.67 \cdot 10^{-4} m^2$
3	[3-34]	$D_{cal} = \sqrt{\frac{4}{\pi} \cdot \frac{48.67}{0.78}} = 8.9 \cdot 10^{-2}$	-	$D_{cal} = \sqrt{\frac{4}{\pi} \cdot \frac{48.67}{0.78}} = 8.9 \cdot 10^{-2} m$
4	Se observă că rezultatul acelor secțiuni a miezului de la judecarea ceretorii de laborator și conform teoriei este corect.			
5	[3-35]	$W_1 = \frac{0.105}{50} \cdot 220 = 4.72 \cdot 10^{-4} m^3$	-	$W_1 = \frac{0.105}{50} \cdot 220 = 4.72 \cdot 10^{-4} m^3$
6	[3-36]	$W_2 = \frac{1.45}{220} \cdot 180 \cdot 4.9 = 64 \text{ spire}$	-	$W_2 = \frac{1.45}{220} \cdot 180 \cdot 64 = 76 \text{ spire}$
7	[3-37]	$I_2 = \frac{5600}{180} = 31 A$	$I_2 = 31 A \cdot Cu$ $U_2 = 120V [C_1, C_2, A_F]$	$I_2 = \frac{5600}{180} = 31 A$
8	[3-37]	$I_1 = \frac{4.425}{4.9} \cdot 31.64 = 58 A$	$I_1 = 279 A \cdot Lo$ $U_{sum} = 120V [C_1, C_2, A_F]$	$I_1 = \frac{2.4431 \cdot 31.76}{64} = 89.93664 A$
9	[3-39]	$I_{max} = 29 \sqrt{48.67 \cdot 10^{-4} \cdot 20.2 \cdot 10^{-2}}$ $I_{max} = 29 \sqrt{48.67 \cdot 10^{-4} \cdot 24.4 \cdot 10^{-2}}$ $I_{max} = 0.3202 \cdot 24.4 \cdot 10^{-2} \cdot 0.06025 m$	-	$I_{max} = 2.8 \sqrt{48.67 \cdot 10^{-4} \cdot 19.5 \cdot 10^{-2}}$ $I_{max} = 5.5 \sqrt{48.67 \cdot 10^{-4} \cdot 28.4 \cdot 10^{-2}}$ $I_{max} = 0.3195 \cdot 28.4 \cdot 10^{-2} \cdot 0.06025 m$
10	[3-40]	$W_p = \frac{1.45}{20} \cdot 31 = 64 \cdot 189 \text{ spire}$	-	$W_p = \frac{21.76}{20} \cdot 290 \text{ spire}$
11	[3-44]	$Q_{max} = \frac{21}{3.72} = 5.67 \cdot 10^4 A$ $A_1 = 2.4431 \cdot 31.64 = 75.89 A$	-	$Q_{max} = \frac{21}{3.72} = 5.67 \cdot 10^4 A$ $A_1 = 2.4431 \cdot 31.64 = 75.89 A$

12	[3-44]	$h_{\text{bobs}1} = 0,024 \cdot 1,8 \cdot 10^{-3} \cdot 49 + 2 \cdot 1 \cdot 1,6 \cdot 0,0003 = 0,2307 \text{ m}$ $N_{15}=2$	-	$h_{\text{bobs}2} : 0,02 + \frac{1,64 \cdot 6,7 \cdot 10^{-3} \cdot 2 \cdot 1 \cdot 1,6 \cdot 0,0003}{2} = 0,2408 \text{ m}$ -
13	[3-45]	$0,202 < 0,2307 < 0,244 \text{ m}$	-	$0,195 \text{ m} < 0,2408 \text{ m} < 0,2895 \text{ m}$ .
14	[3-46]-[3-48]	$Q_{\text{calc}}: \frac{3,88}{10^6} \cdot 10^6 = 0,10^{-6} \text{ m}^4 \rightarrow Q_{\text{stars}}: 0,04 \cdot 10^{-6} \text{ m}^2 = Q_2$ $N_2=1 ; A_2 = 2,24 \cdot 10^{-3} \text{ m} ; B_2 = 3,75 \cdot 10^{-3} \text{ m}$	-	$Q_{\text{calc}}: \frac{3,88 \cdot 10^6}{10^6} = 8 \cdot 10^{-6} \text{ m}^4 \rightarrow Q_{\text{stars}}: 8,04 \cdot 10^{-6} \text{ m}^2 = Q_2$ $N_2=1 : A_2 = 2,24 \cdot 10^{-3} \text{ m} ; B_2 = 3,75 \cdot 10^{-3} \text{ m}$ .
15	[3-49]-[3-50]	$h_{\text{bobs}2} = 0,024 \cdot \frac{1,275 \cdot 10^{-3} \cdot 64 + 2 \cdot 1 \cdot 1,6 \cdot 0,0003}{2} = 0,1592 \text{ m}$	-	$h_{\text{bobs}2} = 0,02 + \frac{1,375 \cdot 10^{-3} \cdot 76 + 2 \cdot 1 \cdot 1,6 \cdot 0,0003}{2} = 0,1734 \text{ m}$ $N_{25}=2$
16	[3-51]-[3-53]	$Q_{\text{calc}}: \frac{2,0}{4,06 \cdot 10^6} = 4,92 \cdot 10^{-6} \text{ m}^2 \rightarrow Q_{\text{stars}}: 5,309 \cdot 10^{-6} \text{ m}^2$ $D_P = 2,6 \cdot 10^{-3} \text{ m} ; N_P = 1$	-	$Q_{\text{stars}}: \frac{2,0}{4,06 \cdot 10^6} = 4,92 \cdot 10^{-6} \text{ m}^2 \rightarrow Q_{\text{stars}}: 5,309 \cdot 10^{-6} \text{ m}^2$ $D_P = 2,6 \cdot 10^{-3} \text{ m} ; N_P = 1$
17	[3-54]	$h_{\text{bobs}1} = 0,01 \cdot 12,6 \cdot 10^{-3} \cdot 109 + 21 \cdot 1,6 \cdot 0,0003 = 0,0681 \text{ m}$ $N_{P1}=6$	-	$h_{\text{bobs}2} = 0,01 \cdot \frac{12,6 \cdot 10^{-3} \cdot 250 + 1,2 \cdot 250 \cdot 0,0003}{4,1} = 0,083 \text{ m}$ $N_{P2}=6$
18	[3-55]	$0,0681 < 0,06825 \text{ m}$	-	$0,083 \text{ m} < 0,0685 \text{ m}$
19	[3-56]	$h = 0,2307 \text{ m} + 0,0681 \text{ m} = 0,2988 \text{ m}$	-	$h = 0,2408 \text{ m} + 0,083 \text{ m} = 0,3235 \text{ m}$
20	[3-57]	$D_P \cdot 2,6 \cdot 10^{-3} \cdot 625 \cdot 10^{-3} + 2,6 \cdot 0,0003 \cdot 1,00005 \cdot 37,7 \cdot 10^{-3} \text{ m}$	-	$D_P \cdot 2,6 \cdot 10^{-3} \cdot 2,41 \cdot 0,0003 \cdot 10 \cdot 0,0005 = 0,0562 \text{ m}$
<hr/>				
21				
<hr/>				
22				
<hr/>				
23				

2	[3-58]	$589 \text{ W/m}^2 < 450 \text{ W/m}^2$	$1600 \text{ W/m}^2 > 450 \text{ W/m}^2$	$340 \text{ W/m}^2 < 450 \text{ W/m}^2$	$340 \text{ W/m}^2 < 450 \text{ W/m}^2$
3	[3-60]	$b = 0.9 \sqrt{\frac{48.6 \cdot 10^{-4}}{2}} = 4.44 \cdot 10^{-2} \text{ m}$	-	$\Sigma_m = 48.67 \cdot 10^4 \cdot 0.89 \cdot 10^2 \cdot 0.002 = 48.67 \cdot 10^3 \text{ m}^2$ Δ = $\sqrt{4.4867 \cdot 10^{-4} / \pi \cdot 0.78} = 8.9 \cdot 10^{-2}$ $b = 0.685 \sqrt{48.67 / 2} = 9.37 \cdot 10^{-2} \text{ m}$ $C = 1.9 \sqrt{48.67 / 2} = 3.378 \cdot 10^{-2} \text{ m}$	-
4	[3-64]	$l_m = 2(0.2988 + 0.0377 \cdot 0.089) = 1.029 \text{ m}$	-	$l_m = 2(0.3255 + 0.0562 + 2.890 \cdot 10^{-2}) = 1.1158 \text{ m}$	-
5	[3-68]	$C_2 = \frac{0.06 \cdot 31}{70 \cdot 180} = 205 \cdot 10^{-6} \text{ F}$	$C_2 = \frac{0.035}{50 \cdot 180} = 171.98 \cdot 10^{-6} \text{ F}$	$C_2 = 122.10^6 \text{ F}$	$C_2 = 122.10^6 \text{ F}$
6	[3-69]	$U_{20} = 0.7220 \cdot \frac{64}{49} = 200 \text{ V}$	$U_{20} = 66 \text{ V}$	$U_{20} = 0.498 \cdot 220 \cdot \frac{76}{64} = 129.58 \text{ V}$	$U_{20} = 130 \text{ V}$
7	[3-70]	$I_p = \frac{20}{25.0} \cdot \frac{102}{1.029} = 84.7$	-	$I_p = \frac{230}{25.0} \cdot \frac{20}{1.1158} = 179.21$	-
8	[3-72]	$I_{ac} = \frac{\sqrt{3}}{2} \cdot \frac{0.6114(0.2221 \cdot 0.45)}{0.2991} = 74.7$	-	$I_{ac} = \frac{693}{2} \cdot \frac{\sqrt{3} \cdot 0.6114(0.2221 \cdot 0.45)}{0.2991} = 196$	-
9	[3-76]	$I_{ac} = \frac{74.7 \cdot 250 \cdot 1.029}{49} = 99 \text{ A}$	$I_{ac} = 100 \text{ A}$	$I_{ac} = \frac{196 \cdot 22 \cdot 1.1158}{64} = 85.42 \text{ A}$	$I_{ac} = 85 \text{ A}$
10	[3-78]	$I_{ac} = \frac{74.7 \cdot 84.5}{64} \cdot \frac{2.2921}{0.2991} = 146$	-	$I_{ac} = 0.85 \sqrt{2} \cdot \frac{179.21}{0.2991} = 90.5$	-
11	[3-77]	$I_{ac} = \frac{119}{64} \cdot \frac{220 \cdot 1.029}{64} = 47 \text{ A}$	$I_{ac} = 26.9 \text{ A}$	$I_{ac} = \frac{25}{64} \cdot \frac{1.1158}{0.2991} = 33.16 \text{ A}$	$I_{ac} = 33 \text{ A}$
12	[3-79]	$I_{ac} = \frac{8(0.91)^2 \cdot 0.045 \cdot 2(0.004 \cdot 0.0016)}{0.719} = 0.556 \text{ A}$	-	$I_{ac} = \frac{8(0.91)^2 \cdot 0.045 \cdot 2(0.004 \cdot 0.0016)}{0.719} = 0.556 \text{ A}$	-
13	[3-79]	$I_{ac} = \frac{8(0.89)^2 \cdot 0.045 \cdot 2(0.004 \cdot 0.0016)}{0.719} = 0.556 \text{ A}$	-	$I_{ac} = \frac{8(0.91)^2 \cdot 2(0.004 \cdot 0.0016)}{0.719} = 0.556 \text{ A}$	-

		0	1	2	3	4	5
34	[3-80]	$\Delta w_p = \frac{44}{114} \cdot 0.442 + 0.020 = 0.606 \text{ m}$	-	-	$\Delta w_p = \frac{4.14}{\pi} \cdot 0.465 + 0.020 = 0.635 \text{ m}$	-	-
35	[3-81]	$G_{cw1} = 2.8900 \cdot 0.319 \cdot 155 \cdot 10^5 \cdot 49 \cdot 4.53 \text{ kg}$	-	-	$G_{cw1} = 2.8900 \cdot 0.316 \cdot 24.3 \cdot 10^6 \cdot 64 = 9.35 \text{ kg}$	-	-
36	[3-82]	$G_{cw2} = 2.8900 \cdot 0.442 \cdot 8.04 \cdot 10^5 \cdot 64 = 4.05 \text{ kg}$	-	-	$G_{cw2} = 2.8900 \cdot 0.463 \cdot 8.04 \cdot 10^6 \cdot 76 = 9.05 \text{ kg}$	-	-
37	[3-83]	$G_{cw3} = 8900.0606 \cdot 5.309 \cdot 10^4 \cdot 109 = 7.12 \text{ kg}$	-	-	$G_{cw3} = 8900.0635 \cdot 5.309 \cdot 10^5 \cdot 250 = 8.17 \text{ kg}$	-	-
38	[3-84]	$G_{cw4} = 6.93 \text{ kg} + 4.05 \text{ kg} + 5.12 \text{ kg} = 11.68 \text{ kg}$	-	-	$G_{cw4} = 9.35 \text{ kg} + 5.05 \text{ kg} + 8.17 \text{ kg} = 22.57 \text{ kg}$	-	-
39	[3-85]	$\Delta P_{cw} = 2.4 \cdot 3.74^2 \cdot 10^{12} \cdot 4.53 \cdot 10^{-2} = 153 \text{ w}$	$\Delta P_{cw} = 2200 \text{ w}$ [ $a, b = 14.2 \cdot 10^6 \text{ A/m}^2$ ]	$\Delta P_{cw} = 2.4 \cdot 3.72^2 \cdot 10^{12} \cdot 9.35 \cdot 10^{-2} = 306.72 \text{ w}$	$\Delta P_{cw} = 2.4 \cdot 3.88^2 \cdot 10^9 \cdot 5.05 \cdot 10^{-2} = 184 \text{ w}$	$\Delta P_{cw} = 2.4 \cdot 3.89^2 \cdot 10^9 \cdot 8.17 \cdot 10^{-2} = 325 \text{ w}$	-
40	[3-86]	$\Delta P_{cw5} = 24.388^2 \cdot 0.4.05 \cdot 10^{-2} = 146 \text{ w}$	$\Delta P_{cw5} = 146 \text{ w}$	$\Delta P_{cw5} = 306.72 \text{ w} + 184 \text{ w} + 325 \text{ w} = 815.72 \text{ w}$	-	-	-
41	[3-87]	$\Delta P_{cw6} = 2.4 \cdot 4.06^2 \cdot 10^9 \cdot 3.02 \cdot 10^{-2} = 124 \text{ w}$	$\Delta P_{cw6} = 124 \text{ w}$	$\Delta P_{cw6} = 2.4 \cdot 4.06^2 \cdot 10^9 \cdot 8.17 \cdot 10^{-2} = 325 \text{ w}$	-	-	-
42	[3-88]	$\Delta P_{cw7} = 153 \text{ w} + 146 \text{ w} + 124 \text{ w} = 423 \text{ w}$	$\Delta P_{cw7} = 2470 \text{ w}$	$\Delta P_{cw7} = 306.72 \text{ w} + 184 \text{ w} + 325 \text{ w} = 815.72 \text{ w}$	-	-	-
43	[3-89]	$G_{cw8} = 7800 \cdot 47.2 \cdot 10^4 \cdot 29.88 \cdot 10^3 \cdot 11 \text{ kg}$	-	$G_{cw8} = 7800 \cdot 47.2 \cdot 10^4 \cdot 0.3235 \cdot 12.05 \text{ kg}$	-	-	-
44	[3-90]	$G_{cw9} = 7800 \cdot 47.2 \cdot 10^4 \cdot 2(0.0577 + 0.9 \cdot 10^{-2}) \cdot 9.2 \text{ kg}$	-	$G_{cw9} = 7800 \cdot 47.2 \cdot 10^4 \cdot 2(0.0562 + 8.90 \cdot 10^{-2}) \cdot 10.56 \text{ kg}$	-	-	-
45	[3-91]	$G_{cw10} = 4.11 \cdot 4.92 \cdot 80.8 \text{ kg}$	-	$G_{cw10} = 4.12.05 \cdot 4.10.56 = 90.44 \text{ kg}$	-	-	-
46	[3-92]	$G_{cw11} = 80.8 \text{ kg} \cdot 13.7 \text{ kg} \cdot 94.51 \text{ kg}$	-	$G_{cw11} = 22.57 \cdot 190.64 \text{ kg} = 413.02 \text{ kg}$	-	-	-
47	[3-93]	$\Delta P_{cw12} = 3.80.64 \cdot 2424 \text{ w}$	$\Delta P_{cw12} = 228 \text{ w}$	$\Delta P_{cw12} = 3.90.64.4 = 271.38 \text{ w}$	-	-	-
48	[3-94]	$\sum \Delta P = 473 \text{ w} + 242.4 \text{ w} + 65.6 \text{ w}$	$\sum \Delta P = 2775 \text{ w}$	$\sum \Delta P = 815.72 \text{ w} + 271.38 \text{ w} = 1087.06 \text{ w}$	-	-	-
49	[3-95]	$\eta = \frac{5500 \text{ kg} \cdot 100}{5500 \text{ kg} \cdot 1466.4} = 87.22\% > 75\%$	$\eta = \frac{5500 \text{ kg} \cdot 100}{5500 \text{ kg} \cdot 1.466.4} = 80.47\% > 55\%$	-	-	-	-
50	[3-96]	$A_{w1} = 4(18.9 \cdot 10^3 \cdot 0.3705 \cdot 2.19 \cdot 10^3 \cdot 32.7 \cdot 10^{-3}) \cdot 1.577 \text{ m}^2$	-	$A_{w1} = 4(18.9 \cdot 10^3 \cdot 0.3705 \cdot 2.19 \cdot 10^3 \cdot 0.0367) \cdot 0.633 \text{ m}^2$	-	-	-
51	[3-97]	$Q_{T1} = \frac{2624}{0.573} \cdot 624 \text{ W/m}^2 < 650 \text{ W/m}^2$	-	$Q_{T1} = \frac{271.32}{0.623} \cdot 436.2 \text{ W/m}^2 < 650 \text{ W/m}^2$	-	-	-

utilizat rigla de calcul, iar la varianta cu valori stabilite de autor, s-a utilizat calculatorul electronic IKLs-50 care a lucrat pe baza unui program în FORTRAN, prezentat în paragraful 4.3.1. Aceste rezultate se regăsesc în LISTING-ul livrat de calculator care poate fi pus la dispoziție de către autor, din motive de volum - împreună dublor + triplor LISTING-ul are 152 pagini - nu este redat în lucrare).

Analizînd rezultatele calculului comparativ se observă că la varianta de dubluri de frecvență calculată utilizând coeficienții indicați de literatură, apar diferențe mari între unii parametrii prezentați (deduși prin calcul și reduți în coloana 2) și parametrii măsuiați în cadrul cercetării de laborator. Astfel:

1. la  $I_{2sarc} = 31$  A nu s-a putut obține o tensiune  $U_{2sarc}$  mai mare de 130 V, oricără s-a variat compensarea capacitive longitudinală ( $C_2$ ), deși din calcul rezultase  $U_{2sarc} = 180$  V (la  $U_1 = 220$  V;  $I_2 = 31$  A și  $C_2 = 205 \cdot 10^{-6}$  F);

2. cu toate că din calcul a rezultat  $C_2 = 205 \cdot 10^{-6}$ , cercetarea de laborator a indicat  $C_2$  optim  $= 122 \cdot 10^{-6}$  F. Prin valoarea optimă a lui  $C_2$  se înțelege acea valoare care asigură tensiunii  $U_{2sarc}$  o valoare maximă la  $I_2 = I_{2n}$  (tensiunea  $U_{2sarc}$  este cea măsurată cu voltmetrul  $V_2$  din schema prezentată în fig.4.4);

3. la :  $U_{2sarc}$  max  $= 130$  V;  $I_{2sarc} = I_{2n} = 31$  A și a măsurat  $I_1 = 219$  A, adică un curent primar de  $219/58 = 3,78$  ori mai mare.

Deci în stadiul acesta, cînd dublerul de frecvență era deja realizat, cînd conductorul înfășurării primare, ales utilizând coeficienții din literatură pentru calculele lui  $\Psi_1$ ,  $\Psi_2$  și  $I_1$  avea secțiunea  $Q_1 = N_p Q_{ISTAS} = 1 \cdot 15,5 \cdot 10^{-6} = 15,5 \cdot 10^{-6} \text{ m}^2$ , rezultă :

$$J_1 = \frac{219}{15,5 \cdot 10^{-6}} = 14,2 \cdot 10^6 \text{ A/m}^2,$$

care este o densitate de curent practic inadmisibilă decărăce are drept consecințe :

a) o încălzire excesivă a înfășurărilor ; se observă că teoretic, utilizând indicațiile din literatură, s-a calculat  $q_p = 1600 \text{ W/m}^2$ , la construcția bobinajului deja realizat cu un anumit număr de canale de răcire  $N_3 = 2$ ; la mărirea lui  $N_3$ ,  $q_p$

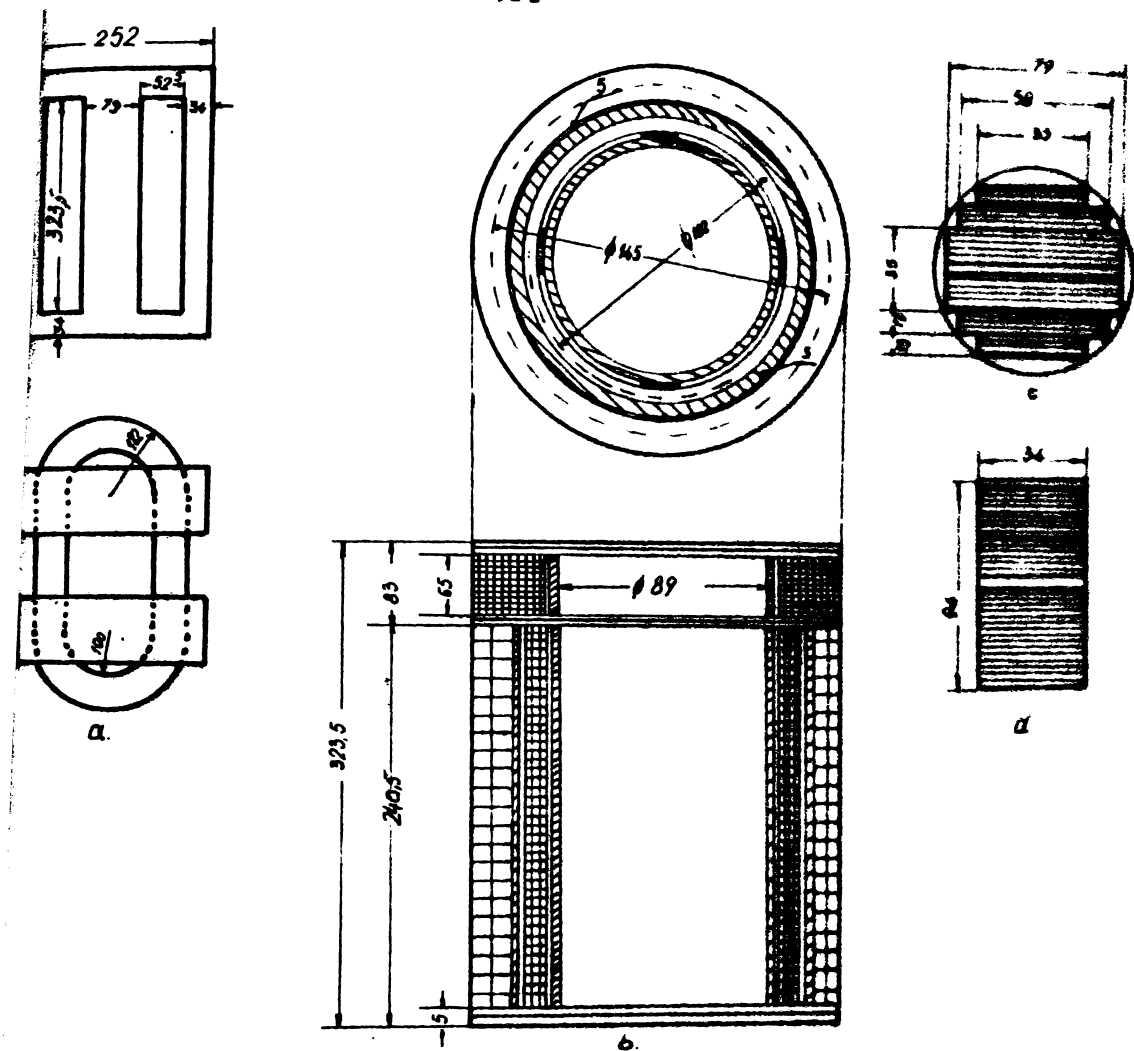


FIG.4.3 Constructia dublorului de frecventa de 5,6 kVA; 220/100 v; I<sub>p</sub>=20A.  
 a/ Constructia miezului; b/ Dispozitia infagurilor  
 c/ Sectiune orin coloana centrala. d/ Sectiune prin coloana laterala

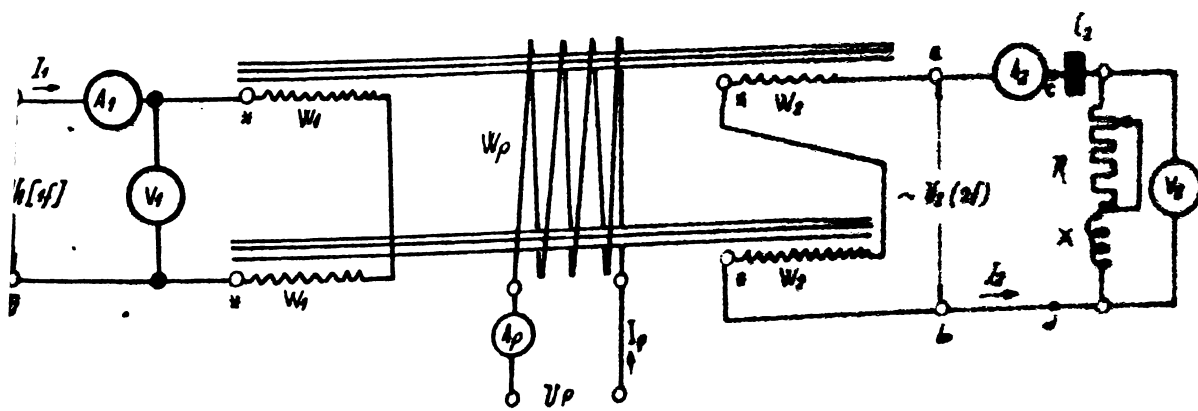


FIG.4.4. Schema electrică folosită la determinarea caracteristicilor dublorului de frecvență de 5,6 kVA, 220/100 v; I<sub>p</sub>=20A  
 a/ La funcționarea în gol voltmetrul V<sub>1</sub> este legat la a-b;  
 b/ La funcționarea în scurtcircuit, se scurtează  
 bornele c-d;  
 c/ Schema este desenată pentru determinarea caracteris-  
 ticilor interioare și exterioare.

scade, dar aceasta presupune *reconsiderarea* problemei și *reconstrucția* dublorului analizat);

b) creșterea pierderilor în cupru, în infăptuirea primară de la  $\Delta P_{Cu\ 1} = 153\ W$ , cît se calculase, la  $\Delta P_{Cu\ 1\ real} = 2200\ W$ , deoarece ele cresc cu pătratul densității de curent;

c) scăderea randamentului la  $\eta = 54\%$ , fără ca  $= 87,2\%$ , cît s-a prezentat prin calcul;

4. se observă că în aceleși condiții, puterea debitată în circuitul de ieșire  $S_2$  nu mai este cea nominală  $S_2 = S_{2n} = 5600\ VA$ , ci :

$$S_2 = 130 \cdot 31 = 4060\ VA,$$

valoare care s-a luat în calculul randamentului real :  $\eta = 54\%$ .

5. dacă tensiunea  $U_2 = 180\ V$  este impusă de procesul tehnologic, se poate deduce că dubloul de frecvență realizat este inutilizabil și din acest punct de vedere.

6. tensiunea de funcționare în gol rezultată din calcul era :  $U_{20} = 200\ V$ . Prin măsurători, în laborator, s-a determinat :  $U_{20} = 66\ V$ ;

7. curentii de scurtcircuit, calculați :

$I_{1sc} = 39\ A$  și  $I_{2sc} = 47\ A$ , să se vedea aceste valori, ci :

$$I_{1sc} = 108\ A \text{ și } I_{2sc} = 24,5\ A$$

Studiind rezultatele cercetării de laborator, autorul a putut să ajungă la concluzia că datorită răptului că se utilizează la realizarea miezului magnetic tolă ARICO de  $0,35\ mm$ , se impune adaptarea valorii coeficienților din literatură la noile condiții pentru a pune la dispoziția proiectării formule, care să conducă la rezultatele scontate.

Acești coeficienți au fost folosiți la calcularea variantei de dubluri de frecvență ai cărui parametrii dimensionali și electromagnetici sunt recați în coloana 4 din calculul comparativ, redat în tabelul 4.1, iar dubloul se reprezintă în fig.4.3.

În acest caz, datorită adaptării valorii coeficienților formulelor din literatură, nu există, practic, diferențe

între valorile prezumute prin calcul și cele furnizate prin cercetarea de laborator. Aceasta permite să se afirme că o proiectare pe baza indicațiilor din literatură, fără studierea caracteristicilor pe modele, în condițiile regimului neliniar, conduce la rezultate, care se dovedesc a nu corespunde celor prezентate prin calcul și fac inutilizabil ca esența dublor de frecvență, așa cum s-a demonstrat prin calculul și cercetarea prezentată.

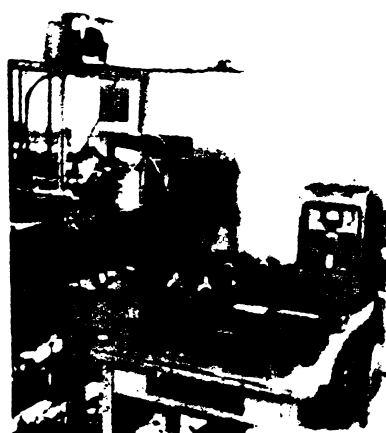


Fig. 4-5 Dublор de frecvență  $S_2=5,6$  KVA;  $U_1=220$  V;  $U_2=180$  V.

#### 4.3.3. Proiectarea comparativă a dubloarelor de frecvență.

Este normal ca atunci cind se cere să se furnizeze o sursă de frecvență dublă, un dublor de frecvență - să se pună întrebarea: ce tip de dublor de frecvență este mai convenabil, deoarece din literatură se cunoaște că există multe tipuri de dublare de frecvență?

In cele ce urmează se face o comparație între parametrii dublorului de frecvență Joly-Epstein  $S_{2n}=5600$  VA;  $U_1=220$  V;  $I_2=31$  A;  $U_2=180$  V, neja proiectat și alte tipuri de dublare de frecvență statice, de tip electromagnetic, la care

se presupune că se cer aceiași parametrii de ieșire redați în paragraful precedent.

**4.3.2.1. Proiectarea dublorului de frecvență statică în punte condensatorică.**

Se impun aceiași parametrii ca la dublorul de frecvență Joly-Epstein :  $S_{2n} = 5600 \text{ VA}$ ;  $U_2 = 180 \text{ V}$ ;  $I_2 = 31 \text{ A}$ . Calculurile se efectuează conform indicațiilor din literatură, prezentate în paragraful 4.2.2.

Secțiunea activă a miezului (formula 4-1) :

$$S_{ml} = (3,8 \div 5) \sqrt{\frac{5600}{150}} = (40,4 \div 53) 10^{-4} \text{ m}^2$$

Presupunem, pentru comparație, că se lucraza cu același miez, deci  $S_{ml} = 47,2 \cdot 10^{-4} \text{ m}^2$ , unde se determină cu formula (4-5) :

$$w_1 = \frac{0,105 \cdot 515 \cdot 10^8}{50,2 \cdot 47,2} = 115 \text{ spire}$$

$U_1 = 515 \text{ V}$ , rezultă după cum se va demonstra din relația (4-7) :

$$U_1 = \frac{U_2}{0,35} = \frac{180}{0,35} = 515 \text{ V}$$

Lucrînd cu aceiași parametrii, ca la dublorul Joly-Epstein, rezultă :

$$S_2 = 5600 \text{ VA} ; I_2 = 31 \text{ A} ; U_2 = 180 \text{ V};$$

$I_1$  se calculează cu formula (4-6) :

$$I_1 = K_{11} \cdot I_2 = 1 \cdot 31 = 31 \text{ A},$$

iar cu formula (4-7) :

$$U_2 = 0,35 \cdot 515 = 180 \text{ V}$$

Acasă înseamnă că dacă se impune  $U_2 = 180 \text{ V}$ , este necesar un autotransformator sau transformator de adaptare între rețea și dublorul de frecvență respectiv, pentru a ridica tensiunea de la 220 V la 515 V.

Soluția unui autotransformator (sau transformator) de adaptare în circuitul de ieșire de raportul :

$$K = \frac{180}{0,35 \cdot 220} = \frac{180}{77} = 2,34$$

care să crească tensiunea secundară de la 77 V, cît rezultă din calcul, la 180 V cît o impune procesul tehnologic, nu este indicată deoarece acesta ar lucra la frecvență dublă, cu toate consecințele nefavorabile, care docurg de aici pentru proiectare și construcție.

Se adoptă soluția cu transformator de adaptare, de 220/515 V, montat între rețea și circuitul de intrare a dublorului de frecvență .

Presupunând că se lucraază cu  $I_p = 20 \text{ A}$ , se calculează numărul de spire al înfășurării de premagnetizare  $N_p$ , cu formula (4-8) :

$$N_p = \frac{0,8 \cdot 51 \cdot 115}{20} = 145 \text{ spire}$$

Calculul capacitatei condensatorului  $C_1$  se efectuează utilizând formula (4-9) :

$$C_1 = \frac{0,05 \cdot 51}{50 \cdot 180} = 1720 \cdot 10^{-6} \text{ F}$$

Calculul din acest paragraf demonstrează că dublorul de frecvență în puncte condensatorică, având aceleși parametrii la ieșire ca și dublorul Joly-Epstein, prezintă următoarele dezavantaje, față de acesta din urmă :

1. necesită un transformator sau autotransformator de adaptare de putere egală cu a dublorului de frecvență plus pierderile lui proprii, montat între rețea și circuitul de intrare al acestuia (al dublorului);

2. necesită condensatoare  $C_1$  a căror capacitate este cu  $2 \cdot 1720 \cdot 10^{-6} / 122 \cdot 10^{-6}$  ori = 28 ori, mai mare decât în cazul dublorului de frecvență Joly-Epstein.

Se poate afirma, în concordanță cu cele expuse, că dublorul de frecvență Joly-Epstein este superior dublorului de

•//•

frecvență în punte condensatorică.

4.3.3.2. Proiectarea dublorului de frecvență în punte inductivă.

Și în acest caz se impun aceiași parametrii de ieșire ca la dubloul Joly-Epstein :  $S_{2n} = 5600 \text{ VA}$ ;  $I_2 = 31 \text{ A}$ ;  $U_2 = 180 \text{ V}$ ;  $f_2 = 100 \text{ Hz}$ ;  $\cos \varphi_2 = 0,8$ .

Calculul se efectuează conform formulelor indicate de literatură, redate în paragraful 4.2.5 :

Secțiunea activă a miezului - formula (4-10) :

$$S_{ml} = 3,6 \sqrt{5600 \cdot 180} = 38,2 \cdot 10^{-4} \text{ m}$$

Calculul numărului de spire - formula (4-14) :

$$W = \frac{0,105 \cdot 315}{50 \cdot 2 \cdot 38,2 \cdot 10^{-4}} = 85 \text{ spire}$$

$U_1 = 315 \text{ V}$ , rezultă din condiția ca  $U_2 = 180 \text{ V}$ , conform relației (4-17) :

$$U_1 = \frac{U_2}{0,7} = \frac{220}{0,7} = 315 \text{ V}$$

Curentul  $I_1$  se calculează cu formula (4-15) :

$$I_1 = 1,2 \cdot 31 = 37,2 \text{ A}$$

Curentul în înfășurarea  $W$  se calculează, utilizând formula (4-16) :

$$I = 0,5 \sqrt{31^2 + 37,2^2} = 24,2 \text{ A}$$

Tensiunea de ieșire a dublorului - formula (4-17) :

$$U_2 = 0,7 \cdot 315 = 180 \text{ V}$$

Din considerențele prezentate în paragraful anterior, se preferă soluția unui transformator (sau autotransformator).

• / •

de adaptare de 220/315 V, montat între rețea și circuitul de intrare al dublorului de frecvență.

Se calculează cu formula (4-18), capacitatea condensatorului  $C_2$ :

$$C_2 = \frac{0,05 \cdot 31}{50 \cdot 180} = 1720 \cdot 10^{-6} F$$

Din ceea ce expuse este evident că și dublorul de frecvență în punte inductivă, față de dublorul Joly-Epstein, are următoarele dezavantaje, deoarece necesită:

1. transformator(sau autotransformator) de adaptare de 220/315 V, montat între rețea și circuitul de intrare al dublorului de frecvență;

2. condensatoare  $C_2$  a căror capacitate este de  $2 \cdot 1720 \cdot 10^{-6} / 122 \cdot 10^{-6} = 28$  ori, mai mare decât în cazul dublorului de frecvență Joly-Epstein.

#### 4.4. Considerații asupra optimizării dubloarelor de frecvență Joly-Epstein, utilizând calculul numeric

##### 4.4.1. Volumul de lucrări efectuat pentru optimizare.

Pentru a studia care sunt tendințele de variație ale parametrilor dublorului de frecvență Joly-Epstein optimizat din punct de vedere al pierderilor de putere și implicit al răndamentului lui său, programul a fost prevăzut să permită:

1. variația puterii de ieșire  $S_2$  de la 4000 VA la 20000 VA, cu un pas de 1600 VA.

Se prevăd deci:

$$\frac{20000 - 4000}{1600} + 1 = 11 \text{ variante de putere } S_2;$$

2. în cadrul fiecărei variante de putere, se variază inducția  $B_{1m}$  în trepte, ea putând lua valoriile: 1,9 T; 1,95 T; 2 T; 2,03 T și 2,1 T.

3. pentru fiecare variantă de putere  $S_2$  și inducție  $B_{1m}'$  s-au prevăzut două seturi de valori inițiale pentru densitățile de curent  $J_1, J_2, J_p$  (se remarcă că programul permite doar ./).

-rîrea valorilor densităților de curent în trepte de  $0,2 \cdot 10^6 A/m^2$ , cu reluarea de fiecare dată a calculelor, în cazul în care nu se obține randamentul presupus cu valorile inițiale pentru  $J_1$ ,  $J_2$ ,  $J_p$ .

Primul set de valori al densităților de curent corespunde celui care a fost utilizat la calculul modelului asupra căruia s-au efectuat cercetări de laborator :  $J_1 = 3,74 \cdot 10^6 A/m^2$ ;  $J_2 = 3,88 \cdot 10^6 A/m^2$ ;  $J_p = 4,06 \cdot 10^6 A/m^2$ .

Al doilea set de valori al densităților de curent, corespunde unor valori pe care literatura de specialitate le recomandă :

$$J_1 = J_2 = J_p = 2 \cdot 10^6 A/m^2$$

S-au obținut deci, la  $I_p = 20 A$  și valori ale coeficienților dați pe cartele cu valorile lor implicate :

$$11 \cdot 5 \cdot 2 = 110 \text{ variante dubioare de frecvență.}$$

Pentru fiecare variantă, comunitatea programului prezentat, calculatorul a realizat optimizarea din punct de vedere al pierderilor, al randamentului și a încălzirii, calculind de fapt în cadrul fiecăreia din cele 110 variante, altele zeci și sute subvariante. Astfel, pentru  $S_2 = 4000 VA$  și  $B_{1m} = 1,9 T$ , aşa cum reiese din LISTING, calculatorul a mai calculat pentru stabilirea lui  $N_1$ ,  $N_2$ ,  $N_{15}$ ,  $N_{25}$ ,  $N_{ps}$ ,  $N_B$ ,  $N$  încă 1.1.2.2.11.5=132 subvariante parțiale (la primul set de valori ale lui  $J_1$ ,  $J_2$ ,  $J_p$ ) și 1.1.5.4.14.2 = 560 subvariante parțiale, pentru al doilea set de valori ale densităților de curent.

Parcurgând LISTING-ul, pentru dublourul de frecvență Joly-Epstein se constată că numărul de subvariante nu scade sub 120.

Se calculează deci, pentru dublourul de frecvență Joly-Epstein circa 15000 de variante, ceea ce demonstrează utilitatea întocmirii programului pentru studiul de optimizare al dublourului de frecvență.

4.4.2. Studiul caracteristicilor  $\zeta = f(B_{1m})$ ;  $S_2 = \frac{ct}{J \cdot ct}$   
și al caracteristicilor  $\zeta = f(S_2)$ ;  $B_{1m} = \frac{ct}{J \cdot ct}$

Utilizând datele furnizate de calculator s-au trasat :

1. caracteristicile  $\zeta = f(B_{lm})$ ;  $J_1 = 3,74 \cdot 10^6 A/m^2$ ,  $J_2 = 3,88 \cdot 10^6 A/m^2$ ;  $J_p = 4,06 \cdot 10^6$  pentru cele 11 valori ale puterii de ieșire  $S_2$ , reprezentate în fig.4.6a.

Din studiul acestor caracteristici se observă următoarele :

a) la creșterea inducției magnetice în miez  $B_{lm}$ , randamentul  $\zeta$  scade, la  $J = ct$ ,  $S_2 = ct$ , deoarece odată cu creșterea inducției, așa cum a demonstrat calculul numeric, deși pierderile în cupru scad (deoarece scade numărul de spire) creșterea pierderilor în fier conduce la creșterea pierderilor totale;

$$\sum \Delta P = \Delta P_{Cu} + \Delta P_{Fe} \text{ și deci la scăderea randamentului (conform relației 3.30);}$$

b) odată cu creșterea puterii de ieșire  $S_2$  randamentul  $\zeta$  crește, pentru toate valorile inducției în miez  $B_{lm}$ , la  $J = ct$ ,

c) la aceeași inducție magnetică în miez  $B_{lm}$  și putere de ieșire  $S_2$ , randamentul  $\zeta$  este mai mare la densități de curent mai mici, cu toate că pierderile în fier și puțin odată cu scăderea densității de curent (cresc dimensiunile ferestrei miezului la creșterea secțiunii conductoarelor).

Se remarcă faptul că prin calculul clasic nu s-ar fi putut obține datele pentru trasarea acestor caracteristici într-o gamă așa de largă de puteri, ceea ce ar fi implicat calculul a 55 variante de dubluri de frecvență.

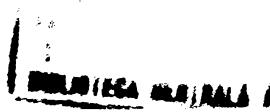
2. caracteristicile  $\zeta = f(B_{lm})$ ;  $J_1 = J_2 = J_p = 2 \cdot 10^6 A/m^2$  pentru cele 11 variante de putere de ieșire  $S_2$ , reprezentate în fig.4.6b.

Studiind aceste caracteristici, traseute după ce s-a efectuat calculul, conform programului elaborat, pentru site 5 variante de dubluri de frecvență, se pot observa următoarele aspecte mai importante :

a) deoarece densitatea de curent s-a redus substanțial, randamentul  $\zeta$ , la aceeași inducție  $B_{lm}$  și putere  $S_2$ , este mai mare cu circa patru procente decât în primul caz, un rol hotăritor în acest sens avându-l reducerea pierderilor în cupru  $\Delta P_{Cu}$ ,

b) randamentul  $\zeta$  scade odată cu creșterea inducției  $B_{lm}$  cu toate că pierderile în cupru  $\Delta P_{Cu}$  scad;

c) randamentul  $\zeta$  crește odată cu creșterea puterii de ieșire  $S_2$  la  $B_{lm} = ct$  și  $J = ct$ ;



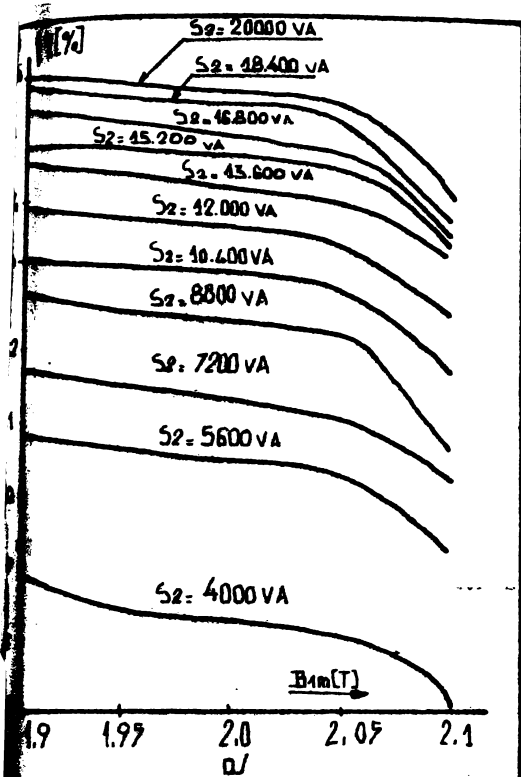
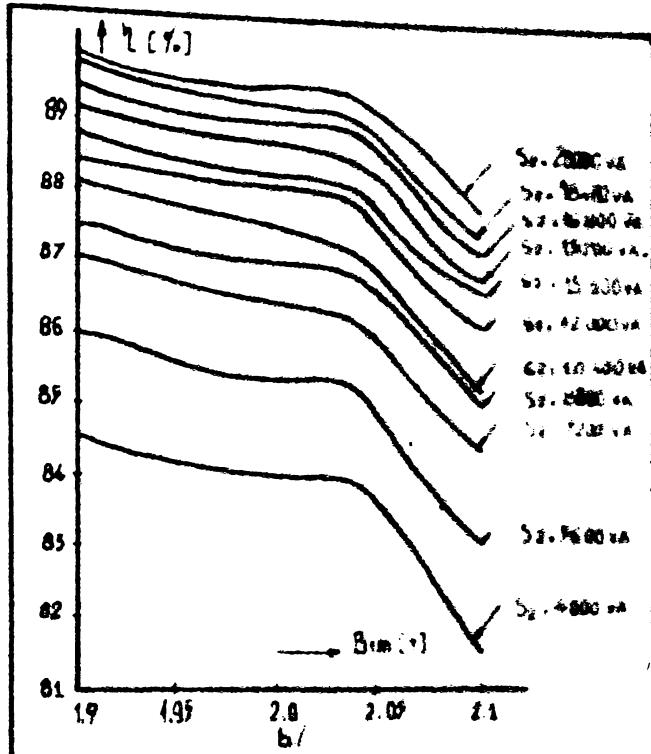


FIG.4.6 Caracteristicile  $\eta$ -f(B<sub>1m</sub>) ale dubloului de frecvență JULY-EPSTEIN.  
U<sub>1</sub>=220V; U<sub>2</sub>=180V;



a/ J<sub>1</sub>=3.74 10<sup>6</sup> A/m<sup>2</sup>; J<sub>2</sub>=5.83 10<sup>6</sup> A/m<sup>2</sup>; J<sub>p</sub>=4.06 10<sup>6</sup> A/m<sup>2</sup>  
b/ J<sub>1</sub>=J<sub>2</sub>=J<sub>p</sub>=2 10<sup>6</sup> A/m<sup>2</sup>

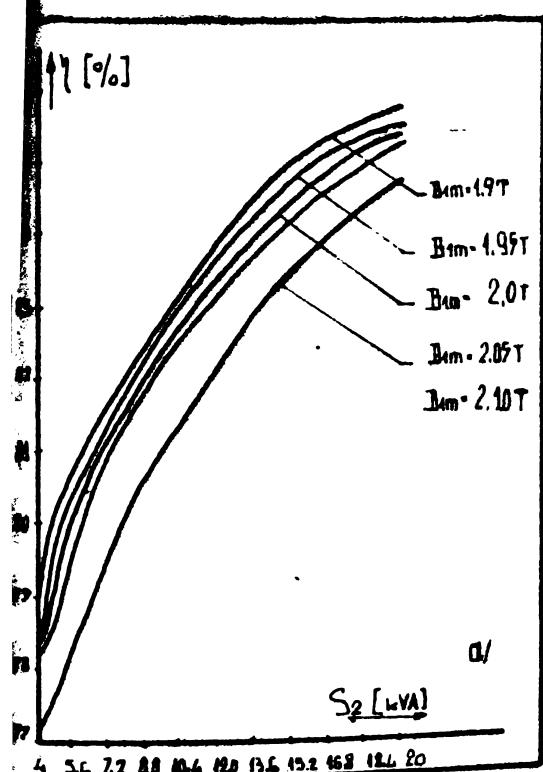
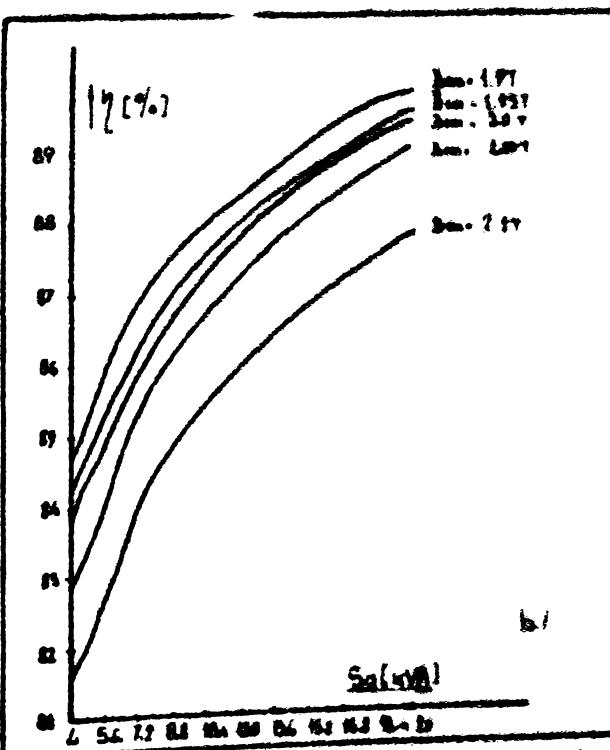


FIG.4.7 Caracteristicile  $\eta$ -f(S<sub>2</sub>)  
Idem 4.6



a/ J<sub>1</sub>=3.74 10<sup>6</sup> A/m<sup>2</sup>; J<sub>2</sub>=5.83 10<sup>6</sup> A/m<sup>2</sup>; J<sub>p</sub>=4.06 10<sup>6</sup> A/m<sup>2</sup>  
b/ J<sub>1</sub>=J<sub>2</sub>=J<sub>p</sub>=2 10<sup>6</sup> A/m<sup>2</sup>

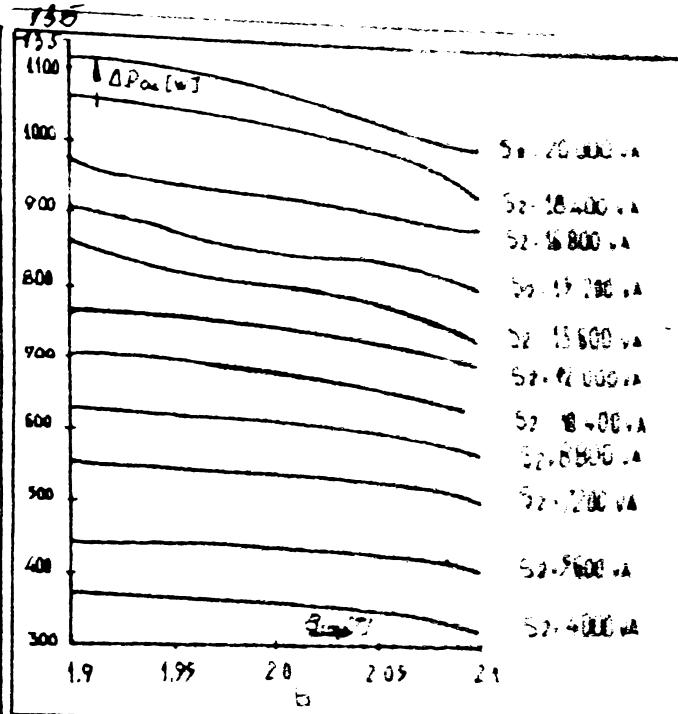
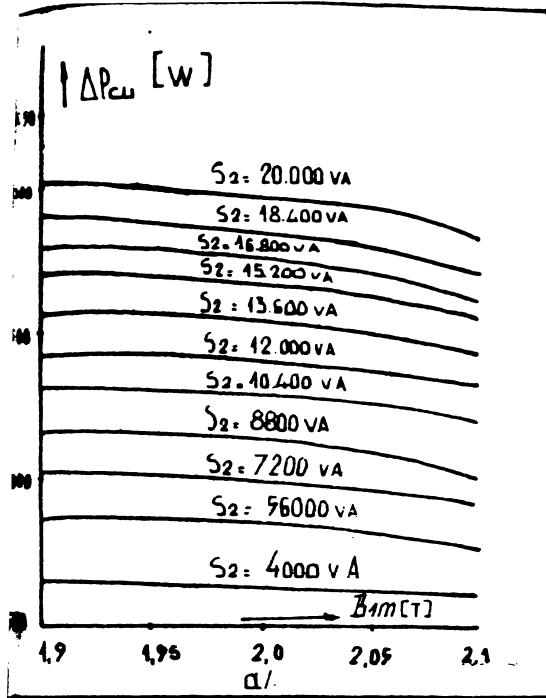


FIG. 4.8. Caracteristicile  $\Delta P_{cu} = f(B_{1m})$ :  
ale dulorului de frecvență  
JOLY-EPSTEIN.  
 $U_1 = 220 \text{ V}$ ;  $U_2 = 180 \text{ V}$ .

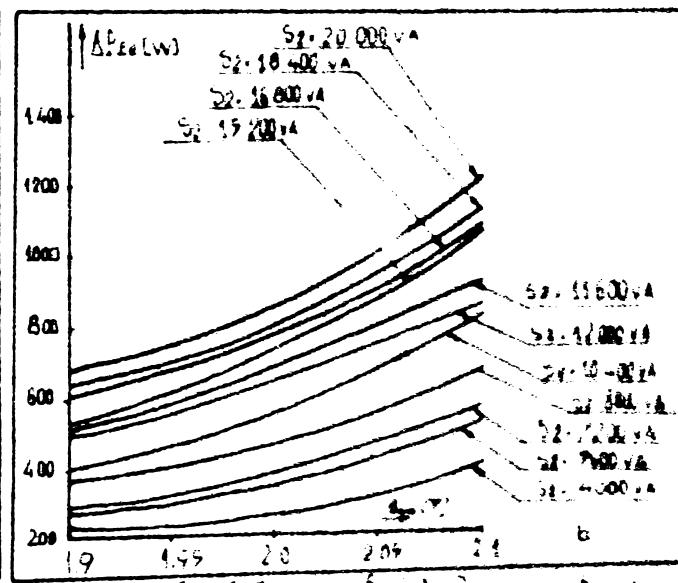
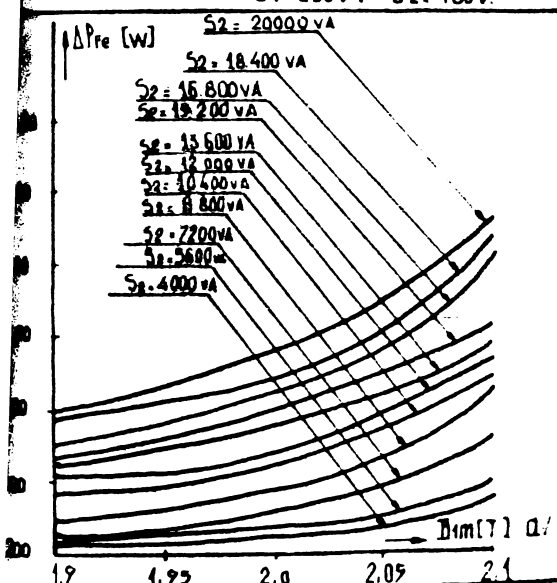


FIG. 4.9 Caracteristicile  $\Delta P_{re} = f(B_{1m})$   
Idem 4.8

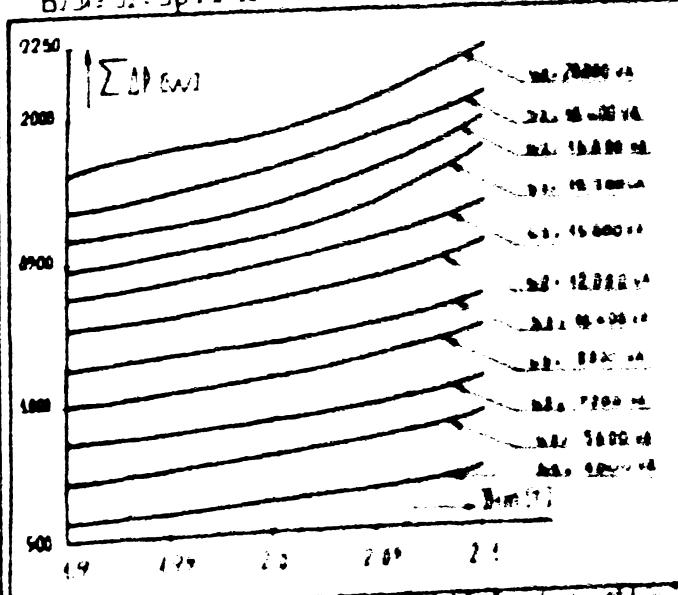
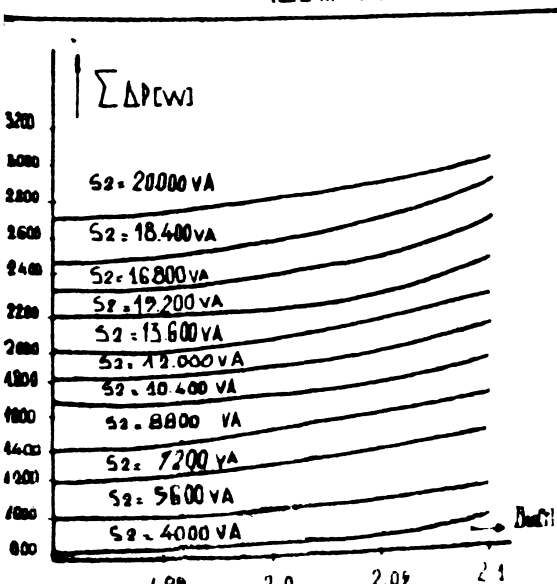


FIG. 4.10. Caracteristicile  $\Sigma \Delta P = f(B_{1m})$ :  
Idem 4.8

Caracteristicile  $\zeta = f(B_{1m})$  pot fi utilizate într-o determinarea randamentului la anumite inducții  $B_{1m}$  în miez, pentru anumite valori ale densităților de curent și puteri de ieșire  $S_2$ , în cazul dublorului de frecvență Joly-Epstein. Asemenea caracteristici se prezintă pentru prima dată, după cunoștința autorului.

3) caracteristicile  $\zeta = f(S_2)$  la  $B_{1m} = ct$  și  $J = ct$ , fig. 4.7a și b.

S-au trasat aceste caracteristici pentru a studia variația randamentului  $\zeta$  la variația puterii de ieșire  $S_2$ , pentru care se proiectează dubloul-de frecvență.

Caracteristicile pot fi utile în cercetare și proiectare, ele fiind deasemenea rezultatul optimizării pierderilor și al randamentului, prin folosirea calculului numeric.

4) caracteristicile  $\Delta P_{Cu} = f(B_{1m})$ ,  $\Delta P_{re} = f(B_{1m})$  și  $\sum \Delta P = f(B_{1m})$ , pentru valori ale lui  $S_2 = 4000 \div 20000$  VA și două seturi de valori ale densităților de curent  $J_1$ ,  $J_2$  și  $J_3$ , se prezintă deasemenea pentru prima dată, ele fiind utile în cercetare și proiectare (fig.4.8, fig.4.9 respectiv fig.4.10).

Studiul acestor caracteristici permite să se traga următoarele concluzii:

a) la creșterea inducției  $B_{1m}$  în miez, pierderile în cupru  $\Delta P_{Cu}$  scad. Pentru fiecare valoare  $S_2$  s-a trasat o caracteristică;

b) pierderile în cupru  $\Delta P_{Cu}$ , la inducție constantă  $B_{1m}$  și  $J = ct$ , cresc la creșterea lui  $S_2$ ;

c) pierderile totale  $\sum \Delta P$ , cresc la creșterea inducției  $B_{1m}$ , la  $S_2 = ct$ ;  $J = ct$ ;

d) pierderile sunt mai mari pentru primul set de valori ale lui  $J$  la  $S_2 = ct$  și  $B_{1m} = ct$ ;

In concluzie, se poate spune că utilizarea calculului numeric la studiul de optimizare al dublorului de frecvență Joly-Epstein, a permis trasarea unor caracteristici utile într-o anumită gamă de puteri de ieșire, în cazul utilizării tolei ARMCO de 0,35 mm pentru confectionarea miezului magnetic.

## CAPITOLUL V

### PROIECTAREA OPTIMALĂ A TRIPLOAREI STATIONARĂ DE FRECVENTĂ PRIN UTILIZAREA CALCULATORULUI NUMERIC.

#### 5.1. Introducere

Algoritmul de calcul al triplorului de frecvență Spinelli s-a prezentat în capitolul 3.

Formulele care alcătuiesc algoritmul său nu sunt recomandate de literatură; însă, o contribuție originală, autorul <sup>ea</sup> a adaptat valorile coeficientilor variabili ai formulelor la ceea ce executării triplorului Spinelli din tehn. ADAC de 0,35 kva.

Pentru coeficienți s-au propus valoriile cele mai potrivite, întrucâtva diferite de cele din literatură, conform cu însă la parametrii ai triplorului de frecvență, care corespund celor măsurăți în cadrul cercetării de laborator, ale căror rezultate se prezintă în capitolul VI.

Ca urmare a faptului că la expunerea algoritmului s-au redat formulele de calcul pentru triplorul Spinelli, în subcapitolul 5.2 se vor reda numai formulele pentru celelalte tipuri de triploare analizate : triplorul de frecvență cu surse inclusă în conductorul de nul și triplorul de frecvență autotransformatoric.

In subcapitolul 5.3 se prezintă proiectarea optimativă a triploarelor de frecvență utilizând calculul numeric.

In paragraful 5.3.1. se expun schema logică și programul de calcul (de fapt o subrutină externă a programului principal), utilizate la proiectarea pe calculatorul IML-50 a triplorelor de frecvență Spinelli.

In paragraful 5.3.2. se prezintă o comparație între parametrii obținuți cînd se folosesc valorile adaptate pentru coeficientii variabili, utilizând calculatorul electronic și cei obținuți cînd s-ar folosi coeficienții din literatură.

Autorul a realizat triplorul de frecvență Spinelli de 200 KVA, la 5 inducții diferențiale, triplorul de frecvență auto-transformatoric de 80 KVA la 5 inducții; triplorul Spinelli de 2 KVA, la 5 inducții și a determinat parametrii dimensiunilor și

triplorului de frecvență cu sarcină inclusă în conductorul de nul. Comparația între parametrii acestor triploare de frecvență se prezintă în paragraful 5.3.3.

In subcapitolul 5.4 se prezintă cîteva considerații asupra optimizării pierderilor de putere la triplorul de frecvență Spinelli în gama de puteri  $S_2 = 150000 \div 300000$  VA,  $U_2 = 800$  V;  $U_{lf} = 220$  V utilizînd calculul numeric și trăsîndu-se caracteristicile  $\zeta = f(B_{lm})$  la  $S_2 = ct$  și  $J = ct$ ;  $\zeta = f(S_2)$  la  $B_{lm} = ct$  și  $J = ct$ . Se studiază deasemenea variația pierderilor funcție de inductie, trăsîndu-se curbele:  $\Delta P_{Cu} = f(B_{lm})$ ;  $\Delta P_{Fe} = f(B_{lm})$  și  $\sum \Delta P = f(B_{lm})$ .

### 5.2. Sinteză recomandărilor din literatură privind dimensionarea triploarelor statice de frecvență [5-6, 7, 49].

#### 5.2.1. Calculul triplorului static de frecvență Spinelli

In conformitate cu cele expuse în introducere, nu se mai revine asupra triplorului de frecvență Spinelli.

Se menționează că la o bună parte din coeficienții cu valori variabile, s-au adaptat valorile pentru cazul execuției miezului triplorului de frecvență din tolă ARACO de 0,35 mm și ele sînt redate în capitolul 3, cu ocazia expunerii algoritmului de calcul.

#### 5.2.2. Calculul triplorului static de frecvență cu sarcina inclusă în conductorul de nul.

Schema electrică a triplorului cu sarcină inclusă în conductorul de nul este reprezentată în fig.2.19 și fig.2-19a-c.

Secțiunea activă și înălțimea coloanei miezului se calculează cu formulele :

$$S_{ml} = (2,6 \div 3,4) \sqrt{\frac{S_2}{f \cdot K}} \cdot 10^{-4} \text{ [m}^2\text{]} \quad (5-1)$$

$$h = (2,50 \div 3,4) \sqrt{S_{m2} \cdot K} \cdot 10^{-2} \text{ [m]}$$

unde  $S_{ml}$  și  $S_{m2}$  au aceeași semnificații ca la triplorul tip Spinelli.

Numărul de spire al înfășurării fiecărui reactor saturat va fi calculat cu formula :

$$W = (0,2 \div 0,23) \frac{U_1 f}{f \cdot B_{lm} \cdot S_{mf} \cdot n_{cl}}, \quad (5-2)$$

unde folosim aceleasi notatii ca la triplorul tip Spinelli :

Calculul tensiunii  $U_2$ , la ieșire, se face folosind relația :

$$U_2 = (0,5 \div 0,6) U_1 f \quad [V] \quad (5-3)$$

Mărimea capacității unuia din condensatoarele care servesc pentru obținerea punctului de nul artificial  $C_1$  și în același timp pentru compensarea longitudinală, se obține cu formula :

$$C_1 = (0,03 + 0,05) \frac{I_2}{fU_2} \cdot 10^{-6} \quad [F] \quad (5-4)$$

Verificarea incălzirii conductoarelor, calculul răndamentului și verificarea incălzirii miezului se vor face folosind formulele (3-28), respectiv (3-30) și (3-31).

Curentul în înfășurare se poate calcula folosind relația :

$$I = 0,7 I_2 \quad [A]; \quad I_2 = S_{2n}/U_{2n} \quad [A] \quad (5-5)$$

### 5.2.3. Calculul triplorului static de frecvență tip autotransformatoric.

Triplorul de frecvență tip autotransformatoric este reprezentat în fig.2-19a-d și 2-2e.

Calculul său este puțin deosebit de al celorlalte două tipuri de triploare prezентate : Spinelli și cu sarcină inclusă în conductorul de nul, datorită principiului său de funcționare.

Calculul capacității condensatoarelor legate în stea se recomandă a se efectua cu formula :

$$C = \frac{1,6 I_0^2 \cdot 10^5}{3f_2 \cdot Q} \cdot 10^{-6} \quad [F] \quad (5-6)$$

In [7] se recomandă pentru tipul de triploare de frecvență analizat :

$$\frac{Q/S_2}{\cos \varphi_{n \text{ sarc}} + \sin \varphi_{n \text{ sarc}}} = (2 \div 2,3) \quad (5-7)$$

de unde :

$$Q = (2,0 \div 2,3)S_2 [\cos \varphi_{n \text{ sarc}} + \sin \varphi_{n \text{ sarc}}] [\text{Var}] \quad (5-8)$$

$$I_c = (0,4 \div 0,45) \frac{Q}{U_{2n}} = (0,4 \div 0,45)(2,0 \div 2,3) \frac{S_2(0,95+0,31)}{U_{2n}} \quad (\Delta) \quad (5-9)$$

Pentru calculul secțiunii active a miezului se introduce conceptul de putere gabaritică, care se calculează cu formula :

$$S_g = \frac{1}{m \cdot K_u} S_{2n} \sqrt{t_e} \quad [\text{VA}] \quad (5-10)$$

Puterea gabaritică ne dă o imagine privind folosirea materialelor active ( $K_u = 0,5$  pentru triplorul de frecvență tip autotransformatoric).

Secțiunea activă a miezului se calculează cu formula :

$$S_{ml} = (5,3 \div 6,2) \left[ \frac{S_g \cdot f_u}{f \cdot K \cdot B_{lm} \cdot t_e} \right]^{4/3} \cdot \left[ \frac{\rho \cdot 10^{10}}{K_T \cdot q_T \cdot n_T} \right]^{2/3} [\text{m}^2] \quad (5-11)$$

Semnificația mărimilor din expresia (5-11) este următoarea :

$K$  = 1 - coeficient constructiv;

$q_T$  = valoarea medie a fluxului termic specific;

$\rho_{Fe}$ ,  $\rho_{Cu}$  : greutăți specifice;

$K_T$  - coeficient de obturare al canalelor de răcire, egal cu 0,75 la suprafete interioare;

$B_{lm}$  - inducția magnetică;

$n_T$  - numărul canalelor de răcire în bobine;

Numerele de spire al înfășurărilor primare și secundare se vor calcula cu formulele :

$$w_1 = \frac{0,22 \cdot U_{1f}}{f \cdot B_{lm} \cdot S_{ml} \cdot K_{ncl}} \quad (5-12)$$

$$w_2 = \left( \frac{U_{2n}}{K_u U_{1f}} - 1 \right) w_1 \quad (5-13)$$

Curenții prin înfășurările secundară și primară au expresiile :

$$I_{2n} = \frac{S_{2n}}{U_{2n}} \quad [A] \quad (5-14)$$

$$I_{lm} = K_l \frac{w_1 + w_2}{w_2} \cdot I_{2n} \quad [A] \quad (5-15)$$

Si la acest tip de triplor de frecvență se pot folosi formulele (3-28) – (3-31) la calculul de verificare încălzire conductoare, respectiv calculul capacității condensatoarelor  $C_1$ , rândament și verificare încălzire miez, adaptate la tipul respectiv de triplor de frecvență.

5.3. Proiectarea optimală și comparativă a triplorilor de frecvență, utilizând calculatorul numeric pentru triplorul de frecvență tip Spinelli.

Studiul triplorului de frecvență și al regimurilor posibile de funcționare presupune studierea tuturor variantelor posibile pentru o gamă largă de puteri, de inducții și de densități de curent.

Acest lucru este, practic, imposibil dacă nu se utilizează calculatorul numeric, care poate fi la dispoziția cercetătorului varianta dorită.

In același timp trebuie să se țină seama de importanța pe care o are în studiul pe calculator, cercetarea de laborator a performanțelor triplorului de frecvență, deoarece după cum se știe caracteristica de intrare-iesire a acestuia este liniară.

Ideal ar fi să se realizeze fizic toate variantele obținute pe calculator și să facă verificarea performanțelor acestora prin cercetare în laborator, însă aceasta este practic imposibil din punct de vedere tehnico-economic.

Pentru triplorul Spinelli de 200 kVA, autorul a întocmit algoritmul și schema logică de calcul, pe baza căreia s-a putut întocmi un program de calcul în FORTRAN, pentru calculatorul IRIS-50.

Programul permite variația puterii  $S_2$  de la 150000 VA la 300000 VA, a inducției de la 1,79 T la 2,13 T iar a densității de curent în limitele de la  $0,5 \cdot 10^6$  A/m<sup>2</sup> la densitățile alese inițial ( $J_1 = 1,94 \cdot 10^6$  A/m<sup>2</sup> și  $J_2 = 3,62 \cdot 10^6$  A/m<sup>2</sup>). Programul impune calculul timpului efectiv de lucru al triplorului de frecvență,  $t_f$ , funcție de randamentul aleș de acestuia.

Utilizând la elaborarea programului coeficienții variabili cu valori adaptate execuției miezului din tole ARMO de 0,35 mm și comparind rezultatele obținute pe calculator cu rezultatele obținute din cercetarea de laborator, se poate afirma că utilizarea lor în asemenea cazuri conduce la obținerea unor variante de calcul, apropiate de realitatea fizică.

Analiza celor 160 variante va permite ca în subcapitolul 5.4 să se reprezinte pentru prima dată caracteristicile

$\zeta = f(B_{1m})$ ;  $\zeta = f(S_2)$ ;  $\Delta P_{Cu} = f(B_{1m})$ ;  $\Delta P_{Fe} = f(B_{1m})$ ;  $\sum \Delta P = f(B_{1m})$ , care pot fi utilizate de către cercetare și proiectare la analiza funcționării triploarelor de frecvență tip Spinelli.

#### 5.3.1. Programul de calcul al optimizării triplorului de frecvență Spinelli în FORTRAN.

Mărimile de intrare ale programului sunt următoarele :  $U_1 f = 220$  V;  $U_2 = 800$  V;  $f_1 = 50$  Hz;  $f_2 = 150$  Hz;  $\cos \phi_1 = 1$ ;

Mărimile variabile, care sunt asociate unui conter

care lucrează pe baza unor instrucțiuni de ciclare de tipul DO sint :  $S_2 = 150000, 300000, 10000$  VA,  $B_{1m} = (1,79 + 2,13)T$ ;  $J_1$  și  $J_2$ ;  $t_f$ ;  $N_{B1}$ ;  $N_1$ ;  $N_2$ ;  $N_{1s}$ ;  $N_{2s}$ .

Programul de calcul al triplorului de frecvență

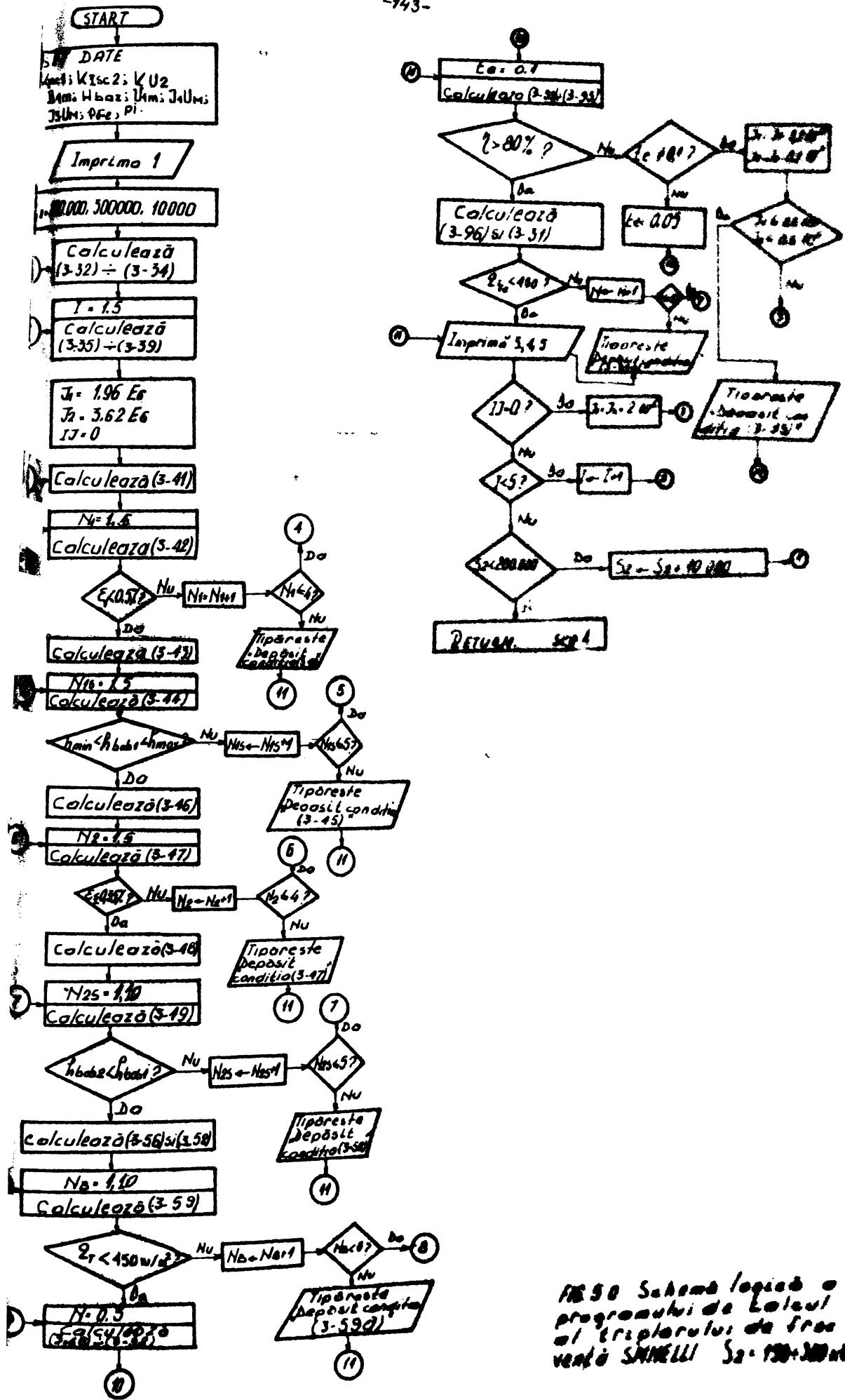


FIG. 50 Schema logica a programului de calcul cu cripotarul de frachete SANELLI S2 = 120+300000

Spinelli  $S_2 = (150 \div 200)$  kVA este, conform paragrafului 3.4.1, o subrutină externă (segmentul C) a programului unitar de calcul, care se cheamă de către programul principal la eticheta 61 :  
"CALL TRIPLL (K(1), K(2), K(3), K(4), K(5), Q<sub>1</sub>, A, B)" .

Schema logică a programului, reprezentată în fig.5.0 s-a întocmit conform algoritmului de calcul prezentat în subcapitolul 3.3.

După elaborarea schemei logice s-a trecut la detalierea programului, care se compune dintr-o serie de instrucții scrise în limbaj FORTRAN, pentru a putea fi preluate de compilatorul mașinii de calcul.

In ordinea programului, aceste instrucții sunt :

1. instrucțiunea inoperantă de declaratie a subruteinei, care cuprinde denumirea acesteia - TRIPLL - urmată de lista coeficientilor convenționali.

2. instrucțiunile inoperante de tip declaratie : INTEGER, REAL și DATA, care se adresează compilatorului punind la dispoziția acestuia informațiile necesare organizării programului, informându-l care sunt mărimele întregi reale și valorile concrete pe care le iau în program : K<sub>Isc1</sub>, K<sub>Isc2</sub>, J<sub>1m</sub>, J<sub>2m</sub>, B<sub>lm</sub>, H<sub>baz</sub>, P<sub>Fe</sub> și P<sub>I</sub>,

3. urmează instrucțiunea operantă PRINT 1, prin care se comandă direct imprimantei să facă afișarea conform I FORMAT , adică "PROIECTAREA OPTIMALĂ A TRIPLORULUI DE FRECUENȚĂ SPINELLI".

4. instrucțiunea de ciclare DO 600 S<sub>2</sub> = 150000 , 300000 , 10000 prin care se comandă , executarea în mod repetat de n ori, instrucțiunile care urmează imediat după DO pînă la 600 inclusiv. Aici prin n se înțelege :

$$n = 16 = \frac{300000 - 150000}{10000} + 1$$

Avem deci 16 variante pentru S<sub>2</sub>. În cadrul fiecărei variante a lui S<sub>2</sub> se calculează după cum se observă , alte 10 variante provenite din cele 5 variante ale lui B<sub>lm</sub> și 2 variante ale lui J<sub>1</sub>, J<sub>2</sub>. Se calculează, în total, 160 variante în circa 1 minut și jumătate, de unde rezultă extraordinara rapiditate de execuție a mașinii de calcul.

5. instrucțiunile de atribuire pentru calculul

•//•

```

SUBROUTINE TRIPLE(KSM1,KW1,KW2,KI1, KC2,CSRTS,L,R)
  INTEGER S2,W1,W2
  REAL   KSM1,KW1,KW2,KI1, KC2,CSRTS(48,40),A(40),B(68),B94(3),
R      HPAZ(5),J1UM(5),J3UM(5),K1S(5),K1S2(5),K1S3(5),K1S4(5),
R      I4,I2,LW1,LW2,KU2(5),PEE(5)
  DATA KISCI/2.2550+0.1490,1.4000+0.5500+1.2500/,
D      KISCI/1.5800+1.6000,1.7000+1.7500+1.8400/,
D      J1UM/0.2737+0.2647,0.1700+0.1776+0.0760/,
D      J3UM/0.2603+0.1505,0.0510+0.0409+0.0342/,
D      KU2/1.1800+1.2500,1.2950+1.3400+1.3850/,
C      P1M/1.7900+1.8600,1.9450+2.0300+2.1300/,
D      HBA/1.4500+4.0000,10.800+38.000+55.000/,
D      PFE/08.4500,09.7500,10.5000,12.0000,13.5000,
D      PT/3.14159

PRINT 1
DO 600 S2=150000,500000,10000
ETA=S2/50
SM1=KSM1+SQRT(ETA)*1E-4
SM2=SM1/10^7
DCUL1=SQRT(4./PI*SM2/0.865)
DO 600 T=1,5
W1=PV1+220./50.,P1M(I)/SM1+0.5
W2=PV2+800./220.,W1+0.5
T2=S2/800.
I1=KI1*I2*W2/W1
HM+N=1.0*SQRT(SM2)
HMAY=3.0*SQRT(SM2)
J1=1.94E6

PRINT 2,NRFORM,FBUBZ
GO TO 500
149 H=NP0B4
C     B = 0.030+3.10+1E-5+N1S+A1+2*N1S=0, 0003*(413-9)+0.003+
C           +42e+A2+2*N2S=0, 0003+42e-9+0.001+
BF=0.058+N1S*(A1+0.0016)+N2S*(A2+0.0010)
U2U=KU2/I1+220.*V2/W1
ETA=(J1+J2)*0.0125E-0*(W1+I1+H2*I2)/6./H
DO 190 NR=1,10
IF(ETA/NR.LT.450.) GO TO 191
190 CONTINUE
NR=OPN=19
PRINT 2,NRFORM,ETA
GO TO 500
191 DO 450 IN=1,6
NR=N-1
S =SM2+N*DCUL1*0.0005
S =SM2+N*DCUL1*0.0005
DCUL1=SQRT(4./PI*SM2/0.865)
DCUL1=(U+RE+2.*PFC1)**(13+L4)/-1
LM=2;*(U+RE+2.*PFC1)**(13+L4)/-1
TSU1=K1S1/I1+J1

```

J2=3.67E6

-146-

```

IJ=0
90 Q1=I1/J1
ETA=0.5E-2
I (S2,F0,280000) ETA=1.2E-2
DO 100 N1=1,5
DO 100 K=1,40
DO 100 J=1,48
IF\01STAS(I,K),EQ.0.,) GO TO 100
IF\ABS(Q1STAS(J,K)*1E-6/Q1*N1-1.),LT.,ETA) GO TO 109
100 CONTINUE
NRFORM=10
PRINT 2,NRFORM,Q1
GO TO 500
109 Q1=Q1STAS(J,K)*N1*1E-6
A1=AMIN1(A(K),B(J))*1E-3
B1=AMAY1(A(K),B(J))*1E-3
ETM=N1*B1*(1+2.*N1*K1*0.0003*(N1+U1-1)*0.001
DO 110 N1S=1,5

```

CALCUT 28/09/74 14.17\*50

```

HBUB1=0.038+ETA/N1S
IF(HMIN(LT,HBUB1) AND,HBUB1,LT,MMAY) GO TO 120
110 CONTINUE
NRFORM=11
PRINT 2,NRFORM,HBUB1
GO TO 500
120 Q2=I2/J2
ETA=0.35E-2
IF(S2,F0,290000) ETA=1.5E-2
DO 130 N2=1,5
DO 130 K=1,40
DO 130 J=1,48
IF\01STAS(I,K),EQ.0.,) GO TO 130
IF\ABS(Q1STAS(J,K)*1E-6/Q2*N2-1.),LT.,ETA) GO TO 119
130 CONTINUE
NRFORM=13
PRINT 2,NRFORM,Q2
GO TO 500
139 Q2=Q1STAS(J,K)*N2*1E-6
A2=AMIN1(A(K),B(J))*1E-3
B2=AMAY1(A(K),B(J))*1E-3
ETM=N2*B2*(1+2.*N2*K2*0.0003*(N2+U2-1)*0.001
DO 140 N2S=1,10
HBUB2=0.02+ETA/N2S
IF(HBUB2,LT,HBUB1) GO TO 144
140 CONTINUE
NRFORM=14
PRINT 2,NRFORM,HBUB2
GO TO 500
149 HBUB1
B =0.038+3.70*1E-3+N1S*(A1+2*N1S*0.0003*(N1S-1)*0.001+
+42e+A2+2*N2S*0.0003*(N2S-1)*0.001+
BF=0.058+N1S*(A1+0.0016)+N2S*(A2+0.0010)
U2U=KU2(I)*220.*U2/W
ETA=(J1+J2)*0.0125E-0*(W1+U1+U2+I2)/4./H
DO 150 NB=1,10
IF\ETA/NB,LT,450,) GO TO 141
150 CONTINUE
NRFORM=19
PRINT 2,NRFORM,ETA
GO TO 500
151 DO 150 N=1,5
NB=N-1
S =SM2+N*DCOL1*0.0005
DCU1=SOFT*4./F1 SM/U:R65)
DCU1*=DCU1*4./F1
LH=2.+(U+R2+2)*DCU1*4.
TSU1=K15C1*I1*J1

```

```

ISU2=KISG(I)*J3UM(I)+1EZ*HBAZ(I),LM/W2
C2=KC2*I2/4E4
LW1=PI*(DCOL1+12E-3+N1S*A1+(N1S-1)*0.001+V99*0.0006)
LW1=PI*(DCOL1+11E-3+N1S*(A1+0.0014))
LW2=PI*(DCOL1+12E-3+2*N1S*A1+(N1S-1)*0.001+V99*0.0006)+412E-3+
    (V2S*A2+(N2e-1)*0.001+V99*0.0006)
LW3=PI*(DCOL1+29E-3+2*N1S*(A1+0.0014)+(N2e-1)*0.001+V99*0.0006)
GCU1=3.*8900.*LW1*Q1*W1
GCU2=3.*8900.*LW2*Q2*W2
DPWU1=2,4E-12*J1*J1*GCUI1
DPWU2=2,4E-12*J2*J2*GCUI2
DPWU=DPWU1+DPWU2
GFE=7800.*SM1*H
GFEJ=7800.*SM1*(BF+2.*DCOL1)
GFE=6*(GFEc+GFEJ)
TL=0.1
GCU=GCUI1+GCU2
GTUT=GCU+GFE
100 DPFE=PFE(I)*GFE*SQRT(TL)
SDP=DPFU+DPFE
ETA=S2*SQRT(TL)/(S2*SQRT(TL)+SDP)+100.
IF(ETA.GT.80) GO TO 440
IF(TL.NE.1E-1) GO TO 431
TL=0.05
GO TO 400
31 IF(J1.LE.0.5E6) GO TO 432
J1=J1-0.2E6
J2=J2-0.2E6
GO TO 90
32 NRFORM=43
PRINT 2,NRFORM,ETA
GO TO 500
40 AFE=6.+(PI+2*N)*DCUL1*(H+2.*960L1+BF)
QTFF=DPFE/AFE
IF(OTFF.LT.450.) GO TO 500
50 CONTINUE
NRFORM=45
PRINT 2,NRFORM,QTFF
900 PRINT 3,S2,R1M(I),TL,SM1,GTOT
PRINT 4,J1,W1,I1,Q1,A1,B1,N1S,TSC1,
    J2,W2,I2,Q2,A2,B2,V2,N2S,TSC2
PRINT 5,H,RF,C2,U20,ETA,MR,GCU,GFE,SDP,DPFE,QTFF,+
    IF(IJ.EQ.1) GO TO 600
    IJ=1
    J1=2.E6
    J2=2.E6
    GO TO 90

```

CA,VUT 28/09/74 14.15'30

```

000 CONTINUE
RETURN
1 FORMAT(//2UX,'***** PROIECTAREA OPTIMALA A TOTPLORULUI DE FRECVEN-
    TAI "SPINELI I" *****')
2 FORMAT(/' *** DEPASIRE LA CONDITIA ',I2,'*** ',F99.7)
3 FORMAT(6X,' S2=',F6.9,Y,' B14=',F45.8,' T14=',E15.8,' S14=',E15.8,
    ' GTOT=',E15.8)
4 FORMAT(11Y,' J1',16X,' W1',16X,' I1',16Y,' 0',16X,' A1',16Y,' 0',10Y,' H',4E',
    ' RF',15.8,4Y,' T7',8X,' 6(F45.8,2Y),217(3Y,099.8)/',E15.8)
5 FORMAT(6Y,' H=',E15.8,' RF',F45.8,' T21',E15.8,' U300',E75.8,
    ' R,',E15.8,' NBR',71/
    / 6Y,' GCU',E15.8,' GFE',E15.8,' SDP',E15.8,' D9
    DFE',E15.8,' QTFF',E15.8,' H',71//)
ENV

```

$\Sigma_2$

lui  $EIA = \frac{E_{12}}{R_{12}}$ ; c. v;  $R_{12}$  și  $D_{12}$  col 1, cind  $E_{12} = 100$  și  
 $(3-32) \div (3-33)$ , cind algoritmul este:

•  $E_{12} = 100$

primul ciclu intrare 00

300000, 10000 pri se setează în

contorului  $S_2$  să se calculeze  $E_{12}$  conform

(corespunzătorul celor 3 variabile).

7. instrucțiune 00

inițierea valoare a lui  $E_{12}$  ca sătul valoare 1

$E_{12}, E_2, I_2, J_1, K_1$  și  $R_{12}$ ; în cind  
 $(3-35) \div (3-39)$ , din algoritm

8., instrucțiune 00

12  $I_2 = 0$        $J_1 = 1,00 \cdot 10^{-6} \text{ A/m}^2$  și  $K_1 = 1$ ,

cărora

prin astă instrucțiune se atrag:

• i setare, i

1, 5

DO 100  $K_2 = 1,40$  și DO 100  $J_1 = 1$ ,

și se parcurgă tabelul 00

care are  $K = 40$  coloane și 100 rânduri.

se parcurge  $J = 1 \div 48$  și

$K=2$  și din nou  $J = 1 \div 48$ .

Pentru

calculează  $E_1$ , conform (3-42)

10. instrucție de salt

IF (Q1STAS (J, K) . E00)

IF (ABS (Q1STAS (J, K) \* 1E-6 / Q1 \* Nj)

comandă continuarea citirii tabelului. cind cititorul de cartele întâlneste spații albe, respectiv (dacă da) continuarea calculului sau (dacă nu) afișarea condiției depășite și abandonarea verificării prin saltul GO TO 500, la PRINT3, PRINT4 și PRINT5, cind se tipăresc rezultatele obținute pînă acum, completate cu rezultatele variantei precedente, pentru mărimele care nu s-au calculat încă

11. instrucția 100 CONTINUE comandă continuarea ciclurilor de la punctul 9, chiar dacă se întâlnesc spații albe

12. instrucția 109, de atribuire

comandă calculul: Distas  $H_1 \cdot 10^6 = Q_1$

13. instrucțiunile de atribuire pentru  $A_1$  și  $B_1$  comandă calculul în m a lui  $A_1$  și  $B_1$ , care în tabel sunt redate în ms.

14. instrucțiunea de ciclare DO 110  $N_{1s} = 1,5$ , comandă calculul lui  $h_{bob1}$  și compararea lui, conform relației (3-45) din algoritm. În cadrul ciclului, prin instrucțiunea de salt :

IF ( $H_{MIN} \cdot LT \cdot H_{BOPl}$  AND  $\cdot H_{BOB1} \cdot LT \cdot H_{MAX}$ ) GOTO 120

(dacă da) se continuă calculul la eticheta 120 și (dacă nu) se continuă ciclul prin llo CONTINUE.

Dacă și după  $N_{1s}^5$  nu s-a îndeplinit condiția (3-45), se afișează depășirea acesteia și prin GOTO 500 se abandonează varianta, cu afișarea rezultatelor obținute pînă acum și completarea cu valori de la varianta precedentă, pentru mărimele care nu au fost calculate încă.

15. instrucțiunile de atribuire, de ciclare și de salt (care fac parte din contorul  $S_2$ , contorul I și pentru valorile alocate la  $J_1$  și  $J_2$ ) cuprinse între eticheta 120 (inclusiv) și 149 (exclusiv), comandă aceleasi operații de la punctele 8 + 14, dar pentru înfășurarea secundară, adică se calculează și se verifică rezultatele obținute, conform relațiilor (3-46) + (3-50) din algoritmul de calcul :  $q_2^{calc}$ ;  $\epsilon_2$ ;  $N_2$ ;  $q_2$ ;  $q_{GRAS}$ ;  $h_{bob2}$  și  $N_{2s}$ . Sînt prevăzute în program instrucțiunile necesare pentru afișarea depășirii condițiilor (3-47) și (3-50), abandonarea variantei în caz de depășire a condițiilor respective și ~~rezultatelor~~ rezultatelor obținute la calculator pînă în acel moment, complete cu valorile din varianta precedentă, pentru mărimele care nu au fost calculate încă.

16. instrucțiunile de atribuire care comandă calculul lui  $h$  și  $B_f$  - înălțimea și lățimea ferestrei miezului magnetic - precum și calculul lui  $ETA = (J_1 + J_2) \cdot 0,0175 \cdot B \cdot 6 \cdot (I_1 + I_2)^2$  sînt prevăzute în continuare în program.

17. instrucțiunea de ciclare DO 190  $N_B = 1,10$  comandă calculul de la  $N_B = 1$  la  $N_B = 10$  a expresiei :  $ETA / N_B$ , iar instrucțiunile de salt :

IF ( $ETA / N_B \cdot LT 450$ ) GOTO 191

comandă continuarea calculului dacă (da) nu îndeplinește condiție (3-59a) din algoritmul de calcul, sau (dacă nu) se comandă prin .//.

190 CONTINUE continuarea ciclului (la  $N_B = 10$ ) sau abandonarea variantei (la  $N_B \leq 10$ ), cu afişarea depăşirii condiţiei (3-59a). Deci se depăşeşte încălzirea admisă a infăşurărilor.

Prin GOTO 500 se comandă tipărirea rezultatelor obținute pînă în momentul depăşirii condiţiei, completate cu cele din varianta precedentă;

18. instrucţiunea de ciclare DO 450 .JN = 1,6 comandă ciclarea calculelor pentru determinarea lui  $N = JN - 1$ , numărul de canale în miez. Cu rezultatele obținute pînă acum și începînd cu  $N = 0$ , printr-o serie de instrucţiuni de atribuire se continuă calculele conform formulelor (3-65) + (3-92) din algoritm de calcul, determinîndu-se în final pierderile totale :

$$\sum \Delta P = \Delta P_{Fe} + \Delta P_{Cu}$$

pentru  $t_f = 0,1$  , cît s-a ales pentru triplorul de frecvenţă.

Se calculează randamentul triplerului de frecvenţă și se pune condiţia (3-95) care dacă este îndeplinită, se continuă calculele prin instrucţiunea de salt :

IF (ETA GT 80) GOTO 440

Dacă  $\eta < 80\%$  și  $t_f = 0,1$  se aloch  $t_f = 0,05$  și se reia calculul de la eticheta 400 (calcul  $\Delta P_{Fe}$ ). Dacă și acum  $\eta < 80\%$  și dacă pentru  $J_1$  și  $J_2$  valori mai mici cu  $0,2 \cdot 10^6 A/m^2$  (se prevede că se poate merge, în trepte, pînă la  $J_1 = 0,5 A/m^2$  și  $J_2 = 0,5 A/m^2$ ) și se reia calculul de la formula (3-41) din algoritm, adică de la eticheta 90 din programul FORTRAN (segmentul C analizat).

Programul comandă afişarea depăşirii condiţiei (3-95) , dacă la  $t_f = 0,05$  și  $J_1 = J_2 = 0,5 \cdot 10^6 A/m^2$  nu se obține încă  $\eta \geq 80\%$ .

La fel ca și în cazurile precedente de depăşire, programul comandă abandonarea variantei și scrierea rezultatelor în modul prezentat deja.

19. instrucţiunea de atribuire etichetată 440 comandă pentru prima valoare a lui  $N(N=0)$  calculul ariei laterale a miezului magnetic  $A_{Fe}$ . În continuare se comandă calculul fluxului termic  $Q_{TFe}$ , instrucţiunea de atribuire:

$$Q_{TFe} = \Delta i_{Fe} / A_{Fe}$$

// .

20. instrucțiunea de salt :

IF( $\omega_{TF}$  LT 450) GOTO 500

comandă verificarea condiției (3-31a) din algoritmul de calcul.

Dacă este îndeplinită condiția (3-31a) prin GOTO 500 se comandă afișarea rezultatelor. Calculul se termină pentru varianta respectivă a triplerului de frecvență.

Dacă nu este îndeplinită condiția (3-31a) prin instrucțiunea 450 CONTINUE se comandă reîntrarea în ciclu de contor  $JN = 1,6$  de la eticheta 191, cind se face  $N = 1$  și apoi mai departe pînă la  $N = JN - 1 = 6 - 1 = 5$ .

Dacă nu se îndeplinește condiția (3-31a) nici la  $N = 5$ , atunci programul comandă afișarea depășirii condiției respective, abandonarea variantei și tipărirea rezultatelor, după procedeul expus cu ocazia descrierii celorlalte depășiri.

21. instrucțiunile PRINT 3, PRINT 4 și PRINT 5 comandă tipărirea rezultatelor pe formularele 3 FORMAT, 4 FORMAT și 5 FORMAT.

22. După terminarea unei variante  $S_2$  și I( $s_{1m}$ ) prin instrucțiunea de salt :

IF ( IJ . LT. 1) GOTO 600

se verifică dacă  $IJ = 1$ . Dacă  $IJ = 1$  se reîntră în contorul I (dacă  $I < 5$ ) sau se reîntră în contorul  $S_2$  (dacă  $I \geq 5$  și  $S_2 \leftarrow 500000$ ).

Dacă  $IJ = 0$ , atunci la varianta  $S_2$  și I respectivă se alocă :  $J_1 = J_2 = 2 \cdot 10^6 \text{ A/m}^2$  și se reiau calculele de la eticheta (3-41) din algoritmul de calcul.

23. Dacă la ultima varianță calculată  $S_2 = 500000$  și  $I = 5$  ( $B_{1m} = 2,13 \text{ T}$ ), iar  $IJ = 1$ , înseamnă că s-au epuizat cele 160 variante și prin instrucțiunea RETURN se comandă revenirea în programul principal, conform celor expuse în paragraful 1.1.1.

5.5.2. Comparatie între varianta de tripler de frecvență Spinelli calculată din coeficientilor valori conform recomandările din literatură și varianta de tripler de frecvență din coeficientilor valori adaptate de autor la cazul concret de rezonanță a miezului din tola ANFO cu 0,15 m.  
Ca și în cazul dublorului se trucvență Joly-Pastor.

(paragraful 4.3.2.), autorul a întreprins cercetări pentru a putea stabili în ce măsură coeficienții formulelor indicate în literatură satisfac și în cazul miezului realizat din tôle ARCO de 10,35 mm, la triplorul de frecvență Spinelli.

Sub formă tabelară, pentru a se putea compara rezultatele calculului, se prezintă un triplor de frecvență  $S_2 = 200 \text{ Hz}$ ;  $U_{1f} = 220 \text{ V}$ ;  $U_2 = 800 \text{ V}$  calculat în două cazuri (Tabelul 5.1)

1) utilizând coeficienții (s-a lucrat cu valoarea medie a acestora) indicați în literatură: [5, 6 și 7];

2) utilizând coeficienții adaptăți, rezultați în urma cercetării aplicative întreprinse de autor în cadrul acestei lucrări.

Studiind rezultatele obținute se pot observa următoarele :

1. pentru o comparație mai sugestivă s-a adăugat coeficient  $K_{SM1} = 3,29$ , la calculul secțiunii  $S_{ml}$  a miezului, ținând seama și de faptul că autorul nu a propus adaptarea acestei valori, păstrând-o pe cea recomandată din literatură;

2. prima diferență apare la numărul de spire al înșurării secundare  $W_2$  rezultând pentru varianta 1 :  $W_2 = 126$  spire.

Dacă se ține seama că la varianta 2, care a fost realizată de autor și cercetată în laborator, s-a realizat pentru  $W_2 = 44$  spire și  $W_1 = 22$  spire o tensiune  $U_2 = 800 \text{ V}$ , se întâlege că la varianta 1, tensiunea  $U_2$  care va apărea la borne (se observă că și la varianta 1,  $W_1 = 22$  spire) ar putea avea valoarea :

$$U_2 = 800 \frac{126}{44} = 2290 \text{ V}$$

Este mai mult dacă sigur că astăzi s-ar întâmpla, deoarece la ambele variante s-a lucrat cu aceeași secțiune a miezului, cu aceeași inducție și deci raportul de transformare  $K_{ul}$ , definit de formula (3-2) în literatură ar fi același :

$$K_{ul} = \frac{800}{44} : \frac{220}{22} = 1,815 \quad \text{în varianta cercetată în laborator (varianta 2, în tabelul 5.1)}$$

$$K_{ul} = \frac{U_2}{126} : \frac{220}{22} \quad \begin{array}{l} \text{varianta 1, calculată} \\ \text{pentru cercetarea prezentă.} \end{array}$$

$$U_2 = 1,815 \cdot 126 \cdot \frac{220}{22} = 2290 \text{ V}$$

Tabel 5-1	
Nr crt	Principoliu parametrici dimensionali si electromagnetici ai triplorului de frecventa Spinelui. Varianta 2 calculata conform undicatiilor din literatura, accordindu-se coefficientilor valoarea media indicate pe calculul lor cu valori variante, variantele fiind obtinute prin calculul cu valoarea media.
0	
1 (3-32)	$S_{m_1} = 3.29 \sqrt{\frac{200000}{1.50}} = 208.07 \cdot 10^{-4} m^2$
2 (3-33)	$S_{m_2} = 208 \cdot 10^{-4} \cdot 10.97 = 216 \cdot 10^{-4} m^2$
3 (3-34)	$b_{011} = \sqrt{4 \cdot 214 \cdot 10^{-4} / \pi \cdot 0.865} = 17.7 \cdot 10^{-2} m$
4 (3-35)	$W_1 = 0.215 \cdot \frac{220}{50 \cdot 2.03 \cdot 208 \cdot 10^{-4}} \approx 225 \text{ spire}$
5 (3-36)	$W_2 = 1.575 \cdot \frac{800}{220} \cdot 22 = 126 \text{ spire}$
6 (3-37)	$I_2 = \frac{200000}{800} = 250 A; I_1 = 1.7 \cdot 250 \cdot \frac{126}{22} = 2420 A$
7 (3-38) 2	$h_{min} = 2.9 \sqrt{216 \cdot 10^{-4}} = 425 \cdot 10^{-2} m; h_{max} = 35 \sqrt{216 \cdot 10^{-4}} = 514 \cdot 10^{-2} m$
8 (3-41)-(3-42)	$Q_{max} = \frac{2220}{35 \cdot 10^{-2}} = 6250 \cdot 10^3 \text{ A}^2; N_1 = 7 \cdot 110 \cdot 10^3 \text{ spire}$ $A_1 = 4.75 \cdot 10^{-3} m; A_2 = 36 \cdot 10^{-3} m$ $h_{bod_1} = 0.038 + 2.26 \cdot 10^{-3} \cdot 22 \cdot 2.7 \cdot 22 \cdot 0.000347 \cdot 22 \cdot 1 / 0.001 = 0.563 m$
9 (3-45)-(3-46)	Se observa ca dateaza de la h=0.563 m cu 20% slabeste in algoritru $N_1 = 7 \cdot 110 \cdot 10^3 \text{ spire}$
10 (3-47)-(3-49)	$Q_{max} = \frac{2220}{35 \cdot 10^{-2}} = 6250 \cdot 10^3 \text{ A}^2; N_1 = 7 \cdot 110 \cdot 10^3 \text{ spire}$ $G_{max} = 69.1 \text{ N} \cdot A^{-2}; G_{min} = 69.1 \text{ N} \cdot A^{-2}$ $b_{011} = 0.038 + 2.35 \cdot 10^{-3} \cdot 10.97 \cdot 1.77 \cdot 1.77 = 0.519 m$
11 (3-49)	$b_{011} = 0.038 + 2.35 \cdot 10^{-3} \cdot 10.97 \cdot 1.77 \cdot 1.77 = 0.519 m$
12 (3-50)	$b_{011} = 0.038 + 2.35 \cdot 10^{-3} \cdot 10.97 \cdot 1.77 \cdot 1.77 = 0.519 m$
13 (3-51)	$B_F = 0.03 + 11.495 \cdot 10^{-3} \cdot 1.77 \cdot 1.77 \cdot 1.77 = 0.0005 \cdot 10.97 \cdot 1.77 \cdot 1.77 = 0.00112032$ $B_F = 0.00112032 m$
14 (3-52)	$C_2 = 41 \cdot 230 \cdot 60 \cdot 800 = 625 \cdot 10^{-6} F$

	1	2	3
15	(3 - 69)	$U_{20} = 1575 \cdot 220 \frac{126}{22} = 2000 \text{ V}$	$U_{20} = 1.34 \cdot 220 \cdot 44/22 = 590 \text{ V}$
16	(3 - 59)	$g_T = \frac{278 \cdot 10^6 \cdot 0.0175 \cdot 10^{-6} \cdot (22 \cdot 2620 + 126 \cdot 250)}{2 \cdot 1 \cdot 0.563 \cdot 9} = 405 \text{ W/m}^2 = 430 \text{ W/m}^2 = 405 \text{ W/m}^2 = 385 \text{ W/m}^2 = 650 \text{ W/m}^2$	$g_T = \frac{278 \cdot 10^6 \cdot 0.0175 \cdot 10^{-6} \cdot (22 \cdot 300 + 66 \cdot 250)}{2 \cdot 3 \cdot 1 \cdot 0.38} = 385 \text{ W/m}^2 = 650 \text{ W/m}^2$
17	(3-65) : (3-67)	$S_m = (2 \cdot 16 \cdot 10^{-4} + 3 \cdot 0.005 \cdot 17.7 \cdot 10^{-2}) m^2 = 240.21 \cdot 10^{-4} \text{ m}^2$ $I_{cool} = \sqrt{\frac{L}{\eta}} \cdot \frac{26021 \cdot 10^{-3}}{0.865} = 18.85 \cdot 10^{-2} \text{ m}$ $L_m = 2 \cdot 0.563 + 2 \cdot 0.13745 + 4 \cdot 18.85 \cdot 10^{-2} = 29.549 \text{ m}$	$S_m = (2 \cdot 14 \cdot 10^{-4} + 3 \cdot 0.005 \cdot 19.7 \cdot 10^{-3}) m^2 = 240.21 \cdot 10^{-4} \text{ m}^2$ $I_{cool} = 18.85 \cdot 10^{-2} \text{ m}$ $L_m = 2 \cdot 0.38 + 2 \cdot 0.0856 + 4 \cdot 18.85 \cdot 10^{-2} = 16.852 \text{ m}$
18	(3-73) : (3-77)	$\bar{I}_{150} = 0.076 \cdot 10^3 \cdot 776 : \bar{I}_{150} = 0.0409 \cdot 10^3 = 40.9$ $I_{150} = \frac{72.6 \cdot 35 \cdot 2.1549}{22} = 257 \text{ A} ; \bar{I}_{150} = \frac{40.9 \cdot 35 \cdot 2.1549}{120} = 243 \text{ A}$	$\bar{I}_{150} = 0.0776 \cdot 10^3 = 104.5 ; \bar{I}_{150} = 0.0409 \cdot 10^3 = 71.7$ $I_{150} = \frac{104.5 \cdot 35 \cdot 1.0852}{22} = 280 \text{ A} ; \bar{I}_{150} = \frac{71.7 \cdot 35 \cdot 1.0852}{44} = 96.1$
19	(3-78) : (3-79)	$\ell_{150} = \pi \left( 185 \cdot 10^{-2} + 11 \cdot 10^{-3} + 11 \left( 4/475 \cdot 10^{-3} + 0.00016 \right) \right) = \pi \cdot 0.26935 = 0.847 \text{ m}$ $\ell_{150} = \pi \left( 1885 \cdot 10^{-2} + 29 \cdot 10^{-3} + 2 \cdot 11 \left( 4/475 + 0.00016 \right) \right) = 1.243 \text{ m}$	$\ell_{150} = \pi \left( 1485 \cdot 10^{-2} + 29 \cdot 10^{-3} + 2 \cdot 11 \left( 4/475 + 0.00016 \right) \right) = 1.251 \text{ m}$ $G_{150} = 3 \cdot 1800 \cdot 0.847 \cdot 1.170 \cdot 10^{-2} = 592 \text{ kg}$ $\Delta P_{150} = 2.4 \cdot (196 \cdot 10^6 / 592 \cdot 10^{-2}) = 5400 \text{ W}$
20	(3-81) : (3-87)	$G_{150} = 3 \cdot 1800 \cdot 1245 \cdot 69 / 10^6 = 290 \text{ kg} ; G_{150} = 592 + 290 = 882 \text{ kg}$ $\Delta P_{150} = 2.4 \cdot (362 \cdot 10^6)^2 / 66.3 \cdot 10^{-12} = 2085 \text{ W}$	$G_{150} = 3 \cdot 1800 \cdot 0.67 \cdot 195 / 10 \cdot 5 \cdot 2.2 \cdot 66.2 \text{ kg}$ $\Delta P_{150} = 2.4 \cdot (196 \cdot 10^6 / 66.3 \cdot 10^{-2}) = 592.5 \text{ W}$ $G_{150} = 3 \cdot 8900 \cdot 0.812 \cdot 69 / 10^6 = 66.3 \text{ kg} ; G_{150} = 66.3 + 66.3 = 132.6 \text{ kg}$
21	3 - 88	$\delta P_{20} = 15600 + 9200 / 4 = 16600 \text{ W}$	$\delta P_{20} = 552.5 \text{ W} + 2085 \text{ W} = 2637.5 \text{ W}$
22	(3-82)	$G_{2000} = 1800 \cdot 208.07 \cdot 10^{-2} \cdot 0.343 \cdot 915 \text{ kg}$ $G_{2000} = 208.07 \cdot 10^{-4} \cdot 1100 \cdot 0.657 \cdot 2.115 \cdot 10^{-2} \cdot 0.34 = 63.5 \text{ kg}$	$G_{2000} = 7800 \cdot 208.07 \cdot 10^{-2} \cdot 0.343 = 61.96 \text{ kg}$ $G_{2000} = 208.07 \cdot 10^{-4} \cdot 1900 \cdot 0.662 = 75 \text{ kg}$
23	(3-89)	$G_{2000} = 6.915 + 6.653 \cdot 1080 \text{ kg}$	$\delta P_{20} = 121.87 \cdot 42 \cdot 0.346 = 3198.16 \text{ W}$

TABLE 3-1

0	1	2	3
24 (3-94)	$\Sigma \Delta P = 9200 \text{ W} + 4000 \text{ W} = 13200 \text{ W}$	$\Sigma \Delta P = 26375 \text{ W} + 31180 \text{ W} = 57563 \text{ W}$	
25 (3-95)	$\eta = \frac{200000 \cdot 0,316 \cdot 100}{200000 \cdot 0,316 + 13200} = 82,5\%$	$\eta = \frac{200000 \cdot 0,316 \cdot 100}{200000 \cdot 0,316 + 575630} = 94,65\%$	
26 (3-96)	$A_{Fe} = 6[(\pi + 2 \cdot 3) 18,85 \cdot 10^{-2} (0,563 + 0,337 + 2 \cdot 18,85 \cdot 10^{-2})] = 11,15 \text{ m}^2$	$A_{Fe} = 6[(9,14 \cdot 18,85 \cdot 10^{-2} (0,38 + 0,377 + 0,0856))] = 8,73 \text{ m}^2$	
27 (3-31 si 3-31a)	$q_{Fe} = \frac{4000}{11,15} = 358 \text{ W/m}^2 \approx 450 \text{ W/m}^2$	$q_{Fe} = \frac{3118,80}{8,73} \approx 356,76 \text{ W/m}^2 \approx 450 \text{ W/m}^2$	

Deci dacă s-ar construi triplorul de la varianta 1 cu  
 $S_{ml} = 208,07 \cdot 10^{-4} \text{ m}^2$ ;  $N_1 = 22$  spire ( $s_{lm} = 2,05\text{m}$ );  $\rho_p = 116 \text{ m}\Omega$   
în loc să apară la bornale circuitului de ieșire  $U_2 = 600 \text{ V}$ , apără  
 $U_2 = 2290 \text{ V}$ , cu toate consecințele care decurg de atei.

3. o altă diferență apreciabilă între cele două variante  
o prezintă curentul  $I_1$ , care rezultă din calcul, pentru varianta 1  
 $I_1 = 2420 \text{ A}$ . În mod normal, cel puțin în realizarea prezentată,  
în vederea cercetării pe model, ar trebui să se țină seama de  
acest rezultat și să se dimensioneze în continuare triplorul, pînă cînd  
cînd de la această valoare, ceea ce s-a și făcut în calculul  
prezentat.

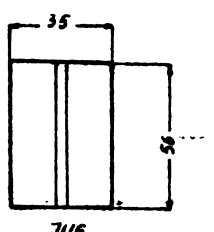
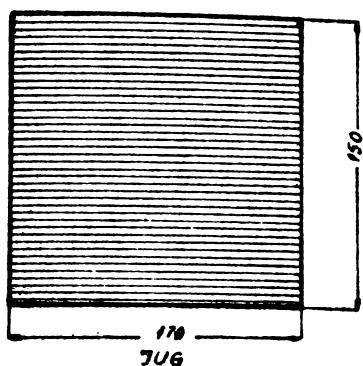
Această valoare  $I_1 = 2420 \text{ A}$  a condus la următoarele  
consecințe imediate :

- a crescut secțiunea conductorului înfășurării  
 $Q_1 = 7 \cdot 170 \cdot 10^{-6} \text{ m}^2$ , numărul de conductoare fi paralel  $N_1$  și  
înățimea ferecetrii mișzulul h .
- b) a crescut numărul de straturi  $N_{ls}$  al înfășurării  
primare și implicit lățimea ferecetrii Br.
- c) a crescut pătura de curent și pentru a încălzire în  
limitele admisibile ale înfășurărilor sunt necesare  $N_B = 9$  esențe  
de răcire în loc de  $N_B = 3$ , în varianta 2, ceea ce reprezintă  
o creștere a manoperei;

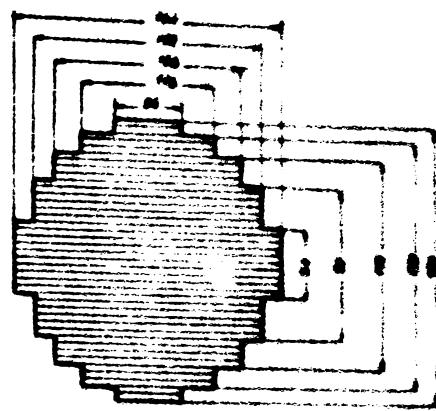
4. ca urmare a creșterii secțiunii conductorului înfășurării primare  $Q_1$  și a numărului de straturi  $N_{ls}$ , a crescut și  
înățimea conductorului de cupru a acestei înfășurări, care a devenit  
 $G_{Cu1} = 592 \text{ kg}$  în această variantă cercetată de autor (varianta 1  
din tabelul 5.1)

5. datorită creșterii numărului de spire  $N_2$ , la același  
curent  $I_2 = 250 \text{ A}$  în ambele variante a crescut și creutatea  
cuprului înfășurării secundare ( $G_{Cu2}$  a crescut și datorită creșterii  
lungimii spirei și a straturii  $N_{ls}$ ), care a devenit  $G_{Cu2} = 490 \text{ kg}$ , fără de  $G_{Cu2}^{max}$ , și  
straturi  $N_{ls}$  ), care a devenit  $G_{Cu2} = 490 \text{ kg}$ , fără de  $G_{Cu2}^{max}$ , și  
în varianta cercetată în laborator (varianta 1, din Tabelul 5.1);

6. odată cu creșterea greutății înfășurării primare  
și secundară, în condițiile în care s-a păstrat același vîrfi  
pentru densitățile de curent  $J_1$  și  $J_2$ , pierderile în cupru la  
prima variantă au devenit  $\Delta P_{Cu} = 14600 \text{ W}$ , adică că  $\frac{14600}{2637,5} = 5,54$   
ori mai mari, decît în varianta calculată, realizată și crește  
în laborator (varianta 2 din Tabelul 5.1).

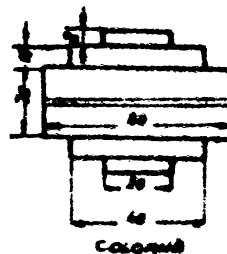


a/



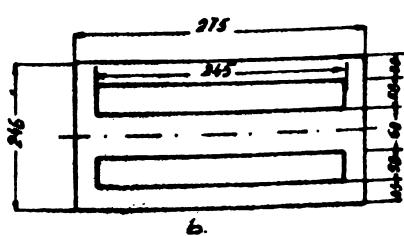
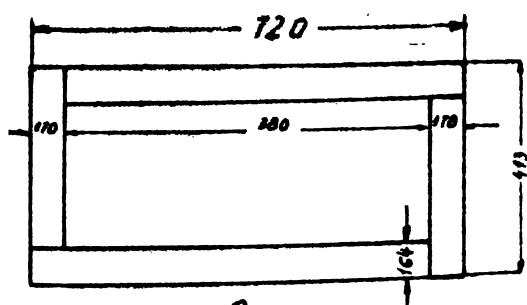
COLONAS

b/



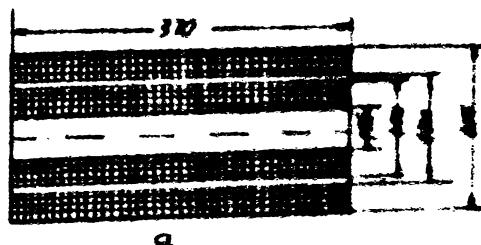
COLONAS

Fig. 5.1 Secțiune transversală prin coloană și juguri triplorului de frecvență tip Spinelli  
a- Triplor 200 kVA ; 400/800 v , 50/150 Hz ; 755/230 A  
b- Triplor 2 kVA ; 400/220 v , 50/150 Hz , 10/31 A



b.

Fig. 5.2 Dimensiunile mărzuții unui singur transformator saturat al triplorului de frecvență tip Spinelli  
a- Triplor 200 kVA ; 400/800 v; 50/150 Hz.  
b- Triplor 2 kVA ; 400/220 v; 50/150 Hz



a

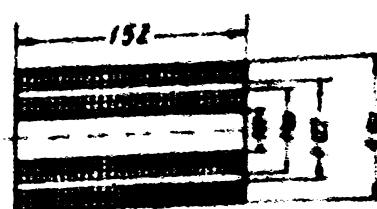


Fig. 5.3 Dispozitiv bobinajelor la triplorul de frecvență tip Spinelli  
a- Triplor 200 kVA ; 400/800 v; 50/150 Hz  
b- Triplor 2 kVA ; 400/220 v; 50/150 Hz

7) ca urmare a creșterii dimensionale a ferestrei miezului magnetic, din cauzele expuse anterior are loc o creștere a greutății miezului, astfel încât  $G_{Fe} = 1050 \text{ kg}$  în prima variantă, și de  $G_{Fe} = 821,87 \text{ kg}$ . În varianta realizată (varianta 2, vîndată la 5.1). Creșterea greutății miezului atrage după sine creșterea pierderilor în fier, care devin  $\Delta P_{Fe} = 4000 \text{ W}$  în prima variantă, față de  $\Delta P_{Fe} = 318 \text{ W}$ , în ceea ce a doua variantă.

8. datorită creșterii pierderilor în cupru și în fier la varianta 1, răndamentul  $\eta$  a scăzut de la  $\eta = 91,65 \text{ \%}$  la  $\eta = 82,5 \text{ \%}$ .

9. tensiunea de funcționare în gol  $U_{20} = 2000 \text{ V}$ , în prima variantă;

10. capacitatea condensatorului  $C_2$  la compensare capacitive longitudinală a rezultat mai mare de aproape 5 ori;

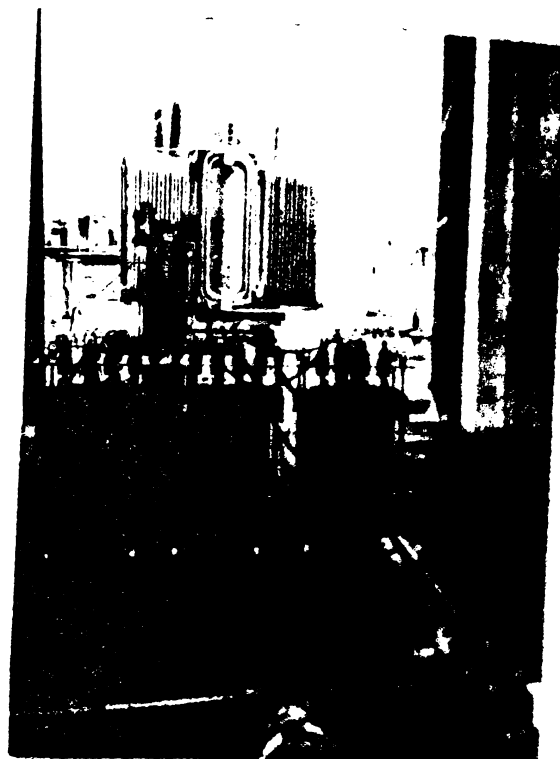
Toate acestea permit să se impună concluzia că triplorul de frecvență realizat - fig.5.1a, fig.5.2a, fig.5.3a și fig.5.4. utilizând valorile adaptate pentru coeficienții formulelor din literatură, este eficient și prezintă parametrii propuși la începutul calculelor, corespunzind în același tip uneia din variantele optimizată pe calculator.

### 5.3.3. Proiectarea comparativă a triplorilor de frecvență.

In acest paragraf se face o comparație între patru triploruri de frecvență Spinelli realizat de autor,  $S_{2n} = 200 \text{ KVA}$  deja proiectat și prezentat în paragraful 5.3.1, triplorul de frecvență cu sarcina inclusă în conductorul de fier și triplorul de frecvență autotransformatoric.

Autorul a realizat triplorul de frecvență autotransformatoric, folosind pentru coeficienți valori adaptate pentru cazul cînd se utilizează la construcția miezului tolă  $Al_{Cu}$  și  $0,35 \text{ mm}$ .

Deasemenea, autorul a cercetat diferite reținări de funcționare ale triplorului de frecvență autotransformatoric, însă, din motive de spațiu nu au fost redate în capitolul 6 - "de vîndată și lucrarea [6]."

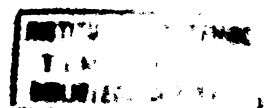


**Fig.5.4.** Triplor de frecvență tip Spinelli  $S_{2L} = 200 \text{ kVA}$ ;  $3 \times 220/800 \text{ V}$ , utilizat la încercarea unui transformator  $S = 5,6 \text{ kVA}$ ;  $22/6 \text{ KV}$ ;

**5.3.3.1. Proiectarea triplerului de frecvență cu gaze înălțări inclusă în conductoarele de nul.**

Pentru proiectarea sa vor fi date relațiile stabilită în paragraful 5.2.2.

•/•



O comparație echitabilă între acest triplor și triplorul de frecvență tip Spinelli nu se poate face decât dacă se admite că se cere aceeași putere de ieșire, alimentarea înțepurii primare efectuându-se de la rețeaua industrială  $3 \times 400/220$ .

In aceste condiții, dacă se ține seama că triplorul de frecvență tip Spinelli se folosește pentru incercarea cu  $2U_n = 2 \times 400 = 800$  V a transformatoarelor de putere și dacă avem în vedere relația (5-3), care ne spune că tensiunea maximă pe care o putem obține de la un triplor de frecvență cu sarcină inclusă în conductorul de nul este  $U_2 = 0,6 U_{1f} = 132$  V (la o rețea de 220 V), reiese clar inferioritatea acestuia din urmă față de triplorul de frecvență tip Spinelli.

Tensiunea  $U_2 = 132$  V nefiind utilă Laboratorului de înaltă tensiune, nu s-au făcut cercetări experimentale cu un asemenea triplor.

Vom efectua totuși, calcule pentru acest tip de triplor pentru a putea să facem o comparație fundamentată între diferite tipuri de triplcare de frecvență și a demonstra dacă s-a preferat un anumit tip de triplor, în spate triplorul de frecvență Spinelli.

Parametrii triplorului de frecvență trebuie să fie :

1. Frecvența rețelei primare și secundare  $f_1 = 50$  Hz;  
 $f_2 = 150$  Hz;
2. Tensiunea primară pe fază  $U_1 = 220$  V;
3. Tensiunea secundară  $U_2 = 120$  V;
4. Puterea secundară  $S_2 = 200$  KVA;
5. Caracterul sarcinii, intermitentă, 10 %;
6. Răcire naturală, în aer;
7. Material pentru miez, tablă texturată ARNCO de  $0,35$  mm grosime;

#### 5.3.3.1.1. Calculul dimensiunilor miezului și parametrilor principali.

Calculul secțiunii coloanei miezului  $S_m$  și înălțimea acesteia,  $h$ , se face folosind formulele (5-1), cind obținem aceleasi dimensiuni principale ale miezului ca și la triplorul Spinelli  $S_{2n} = 200$  KVA :

$$S_{ml} = 3,29 \sqrt{\frac{200.000}{1 \cdot 50}} = 208 \cdot 10^{-4} \text{ m}^2$$

$$S_{m2} = \frac{208 \cdot 10^{-4}}{0,97} = 214 \cdot 10^{-4} \text{ m}^2$$

$$h = 2,59 \sqrt{214 \cdot 1} = 38 \cdot 10^{-2} \text{ m}$$

Pentru realizarea miezului sint valabile fig. 5-1 a și fig. 5-2 a.

Numărul de spire al bobinei fiecărui reactor saturat se calculează cu formula (5-2) :

$$W = \frac{0,211 \cdot 220 \cdot 10^8}{50 \cdot 20 \cdot 300 \cdot 208} = 22 \text{ spire}$$

Tensiunea  $U_2$  la ieșire se calculează cu formula (5-3) :

$$U_2 = 0,545 \cdot U_1 f = 0,545 \cdot 220 = 120 \text{ V}$$

Pentru calculul curentului în înfășurarea triplorului folosim relația (5 - 5) :

$$I_2 = \frac{S_2}{U_2} = \frac{200.000}{120} = 1670 \text{ A}$$

$$I = 0,7 I_2 = 1170 \text{ A}$$

$$S_1 = 3U_1 f \cdot I = 3 \cdot 220 \cdot 1170 = 800 \text{ kVA}$$

Calculele efectuate pînă aici ne arată următoarele :

a) curentul în înfășurarea reactorului este de 4 ori mai mare, deci și secțiunea conductorului va crește de 4 ori. De remarcată, considerind același diametru mediu ca la înfășurările triplorului tip Spinelli, că pentru triplorul cu sarcină inclusă în conductorul de nul, avem un consum de cupru de cel puțin două ori mai mare, cu toate că înfășurarea secundară,  $S_2$ , nu există;

b) odată cu creșterea consumului de cupru, var crește și dimensiunile ferestrei miezului ;

c) este necesar un transformator de adaptare, care să funcționeze la 150 Hz. de  $S = 200 \text{ kVA}$  și  $120/800 \text{ V}$ , ceea ce scumpește mult instalația ;

d) mărimea capacitatei uneia din condensatoare care se folosesc pentru obținerea punctului de nul artificial

este, conform (5-4) :

$$C_1 = (0,03 \div 0,05) \frac{1670}{50 \cdot 120} = (8.300 \div 13.900) \cdot 10^{-6}$$

Pentru trei condensatoare  $C_1$  vom avea :

$$3C_1 = 3(8300 \div 13900) \cdot 10^{-6} F$$

Deci capacitatea condensatoarelor este mult mai mare decât în cazul triplorului de frecvență tip Spinelli, unde :

$$3C_1 + C_2 = (3 \cdot 3150 + 131) \cdot 10^{-6} F = 9581 \cdot 10^{-6} F$$

adică de circa trei ori.

e) se observă că dacă se scurtează circuitul condensatorul  $C_1$ , tensiunea care se aplică sarcinii va fi de 2 ori mai mare, ceea ce la 50 Hz. înseamnă că prin receptor va trece un curent  $I_2$  de 6 ori mai mare dacă acesta este inducțiv sau de  $\frac{2}{3}$  ori mai mare dacă este capacativ.

Analizându-se toate aceste dezavantaje nu se mai efectuează calculele mai departe, triplorul de frecvență cu sarcina inclusă în conductorul de nul fiind inferior din toate punctele de vedere triplorului de frecvență tip Spinelli.

### 5.3.3.2. Proiectarea triplorului de frecvență auto-transformatoric.

Schema unui asemenea triplor de frecvență este reprezentată în fig.2-2e, iar pentru proiectare se vor folosi relațiile din paragraful 5.2.3 dind coeficienților valori adaptate cazului cind miezul se execută din tel. AMMCO de 0,35 mm rezultate din cercetarea aplicativă întreprinsă de autor.

Acest triplor s-a realizat plecind de la triplorul Spinelli calculat în parag. 5.3.1, 5.3.2 ale cărui dimensiuni principale s-au păstrat și prin studiul de laborator s-a constatat că el nu poate avea decât următorii parametri:

1. frecvența tensiunii rețelei și a tensiunii de ieșire  $f_1 = 50$  Hz;  $f_2 = 150$  Hz;

2. Tensiunea primară de fază  $U_{1f} = 220$  V;

3. Valoarea nominală a tensiunii de ieșire

$U_{2n} = 400$  V;

///.

4. Puterea nominală de ieșire  $S_{2n} = 80 \text{ kVA}$ ;
5. Factorul de putere al sarcinii  $\cos\varphi_2 \text{ sarc} = 0,95$ ;
6. Durata de funcționare  $10\%$ ;
7. Răcire naturală, în aer;
8. Materialele : idem paragraful 6.4.1.

#### 5.3.3.2.1. Calculul dimensiunilor miezului și parametrilor principali.

Pentru calculul curentului în condensatorare vom folosi relația (5-9), cu coeficient adaptat :

$$I_c = 0,267 \cdot 1,26 \frac{80 \cdot 10^3}{400} = 67,5 \text{ A}$$

Calculul capacității condensatorului C se face cu formula (5-6), cu coeficient adaptat :

$$C = \frac{17,5 \cdot 67,5^2 \cdot 10^5 \cdot 10^{-6}}{3 \cdot 150 \cdot 80 \cdot 10^3 \cdot 1,26} = 175 \cdot 10^{-6} \text{ F}$$

Puterea gabaritică se calculează cu formula (5-10)

$$S_g = \frac{1}{3 \cdot 0,5} 80 \cdot 10^3 \sqrt{0,1} = 16,9 \text{ kVA}$$

Pentru calculul secțiunii active a miezului folosim formula (5-11) din metodica propusă, coeficientul având deasemenea valoarea adaptată 14,12 :

$$S_{m1} = 14,12 \left( \frac{16,9 \cdot 10^3 \cdot 8,9}{50 \cdot 2 \cdot 1 \cdot 7,65} \right)^{\frac{4}{7}} \cdot \left( \frac{0,0214 \cdot 10^{-6} \cdot 10^{10}}{0,75 \cdot 360 \cdot 2} \right)^{\frac{2}{7}} \cdot 208 \cdot 10^{-4}$$

Secțiunea reală a miezului se calculează luând  $K_{Fe} = 0,97$

$$S_{m2} = \frac{S_{m1}}{K_{Fe}} = \frac{208 \cdot 10^{-4}}{0,97} = 214 \cdot 10^{-4} \text{ m}^2$$

Deci este un miez identic celui de la paragraful 5.3.2, dar puterea de ieșire este de  $\frac{200}{80} = 2,5$  ori mai mică.

Numărul de spire al înfășurării primare se calculează cu formula (5-12) :

$$w_1 = \frac{0,211 \cdot 220 \cdot 10^4}{50 \cdot 2 \cdot 208 \cdot 1 \cdot 1} = (22 \pm 4\%) \text{ spire.}$$

iar numărul de spire al înfășurării secundare se calculează cu formula (5-13) :

$$W_2 = \left( \frac{400}{0,605 \cdot 220} - 1 \right) 22 = 44 \text{ spire}$$

Valoarea efectivă a curentilor prin înfășurăriile primară și secundară se calculează cu relațiile (5-14) și (5-15) :

$$I_{2n} = \frac{80 \cdot 10^3}{400} = 200 \text{ A}$$

$$I_{1n} = 0,52 \cdot 200 \frac{66}{22} = 312 \text{ A}$$

Se observă că la același consum de tablă silicionată și de cupru,  $S_{2n}$  este de 2,5 ori mai mică în cazul triplorului autotransformatoric față de triplorul Spinelli  $S_{2n} = 200 \text{ kVA}$ ; tensiunea  $U_2$  este de 2 ori mai mică și curentul  $I_2$  cu 20% mai mic, deci nu ducem calculele mai departe.

In concluzie, triplorul de frecvență tip Spinelli este superior triplorului de frecvență cu sarcină inclusă în conductorul de nul și triplorului autotransformatoric.

#### 5.4. Proiectarea triplorului de frecvență tip Spinelli. $S_{2n} = 2 \text{ kVA}$ ; $3 \times 220/220 \text{ V}$

In „Normativul de încercări și măsurători la echipamente și instalații electrice” PE-116/73 al MEE în capitolul 7, punctul 7.5 se prevede încercarea izolației înfășurărilor primare a transformatoarelor de tensiune alternativă sărită.

Pentru a se evita următoarele incercări prin înlocuirea secundară, se recomandă ca tensiunea de încarcare să fie cuprinsă între 100 - 200 Hz, decifările fiind stabilite în funcție de punzătoare normativă.

In aceste condiții, durata încercării se calculează cu formula :

$$t = 2f_n / f_1 \quad (s) \quad (5-52)$$

în care :

$$f_n = 50 \text{ Hz}$$

$f_1$  = frecvența tensiunii de încercare.

Deoarece la periodicitate se prevede ca proba să fie efectuată la puneri în funcție, adică în stații de transformare ale sistemului, sursa de frecvență mărită trebuie să fie portabilă și transportabilă manual de membrii echipelor PRAM pînă la locul de montaj al transformatoarelor de tensiune, unde de multe ori nu pot pătrunde autodubele PRAM.

Plecind de la aceste considerente, s-a impus construcția la Secția PRAM Cîmpina a unui triplor de frecvență cu care să se poată încerca transformatoarele de tensiune în gama 6 - 110 KV.

Pentru transformatoarele de tensiune de 220 KV, încercarea nu se poate face din secundar, deoarece principiul lor de funcționare, cu divizor capacativ de tensiune, nu permite acest lucru.

Triplorul de frecvență construit din considerentele arătate, are următorii parametrii :

1. Frecvența rețelei primare și secundare  $f_1 = 50$  Hz;  
 $f_2 = 150$  Hz;
2. Tensiunea primară pe fază  $U_{1fn} = 220$  V;
3. Tensiunea secundară  $U_{2n} = 220$  V;
4. Puterea secundară  $S_{2n} = 2$  KVA;
5. Curentul secundar  $I_{2n} = 9,1$  A;
6. Caracterul sarcinii, intermitentă 10 %;
7. Răcire naturală, în aer;
8. Materialul pentru miez, tabă ARMCO, de 0,35 mm grosime;

Constructiv, acest triplor de frecvență este reprezentat în fig.5-1 b; fig.5-2 b; fig.5-3 b; și fig.5-5.

#### 5.4.1. Calculul dimensiunilor miezului și transformatorilor principali.

Si în acest caz cercetarea de laborator a permis utilizatorului să dea coeficientelor valorii adaptate execuției miezului din tolă ARMCO de 0,35 mm.

Secțiunea activă a coloanei miezului se calculează

cu formula (3-32), lufind  $K_{SML} = 3,2$ , valoare acceptată:

$$S_{ml} = 3,2 \sqrt{\frac{2000}{50 \cdot 1}} = 20,2 \cdot 10^{-4} \text{ m}^2$$

$$S_{m2} = \frac{S_{ml}}{K_{Fe}} = \frac{20,2 \cdot 10^{-4}}{0,97} = 20,8 \cdot 10^{-4} \text{ m}^2$$

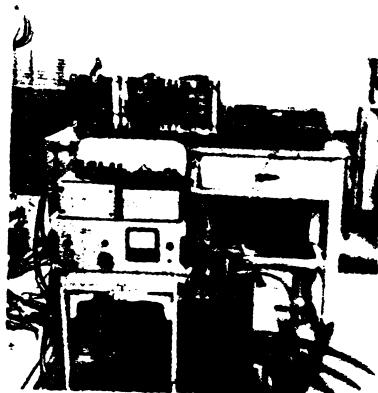


Fig. 5.5 Triplor de frecvență :  $S_{2n} = 2 \text{ kVA}$ ;  $3x220/220 \text{ V}$ .

Diametrul coloanei, luind coeficientul de umplere al ferestrei  $\gamma_c = 0,575$  are valoarea :

$$D_{\text{col}} = \sqrt{\frac{4}{\pi}} \cdot \frac{20,8}{0,575} = 6,8 \cdot 10^{-2} \text{ m}$$

Inăltimea coloanei miezului se va calcula cu formula (3-38) :

$$h = 3,83 \sqrt{20,8 \cdot 1} = 17,5 \cdot 10^{-2} \text{ m}$$

Calculăm numărul de spire al înfășurării primare cu

$$W_1 = \frac{0,207 \cdot 220 \cdot 10^8}{50 \cdot 20000 \cdot 20,2} = 226 \text{ spire}$$

Pentru studiul influenței inducției magnetice asupra caracteristicilor de funcționare ale triplorului de frecvență s-au prevăzut prize suplimentare : 180 sp; 188 sp; 196 sp; 205 sp; 215 sp; 226 sp; 238 sp; 250 sp; 265 sp; 282 sp și 300 sp.

inducția variind cu 0,1 T de la 1,5 T la 2,5 T ( $1 \text{ A } B_{1m} = 2$ )

$$W_1 = 226 \text{ sp}.$$

Pentru calculul numărului de spire al înfășurării secundare s-a folosit formula (3-36) :

$$W_2 = 0,55 \frac{220}{220} \cdot 226 = 124 \text{ spire}$$

Curentul primar s-a calculat cu formula (3-37) :

$$I_{1n} = \frac{1,725 \cdot 9,1 \cdot 124}{226} = 8,6 \text{ A}$$

$$I_{2n} = \frac{2000}{220} = 9,1 \text{ A}$$

Tensiunea secundară la funcționarea în gol se calculează cu formula (3-69) :

$$U_{20} = 1,78 \cdot 220 \frac{124}{226} = 220 \text{ V}$$

Curenții la funcționarea în scurtcircuit în unități fizice și relative se calculează cu formulele (1-7) : (1-44) și (3-72)÷(3-77), unde  $H_{bas} = 7,5$  și  $f_m = 0,761 \text{ m}$ :

$$\bar{U}_{1m} = 0,043 U_1 f = 9,5$$

Din [3] avem :  $\mathcal{J}_1(9,5) = 0,161$  și  $\mathcal{J}_3(9,5) = 0,2$

$$\bar{I}_{1sc} = 1,77 \cdot 0,161 = 0,285 ; I_{1sc} = 7,2 \text{ A}$$

$$\bar{I}_{2sc} = 0,785 \cdot 0,2 = 0,158 ; I_{2sc} = 7,3 \text{ A}$$

Incercările de laborator efectuate au ales în evidență că la  $U_1 = 220 \text{ V}$  ( $B_{1m} = 2T$ ), acestea sunt rezultatele care se obțin prin măsurare directă.

Dacă se aleg :  $J_1 = 1,76 \cdot 10^6 \text{ A/m}^2$  și  $J_2 = 1,86 \cdot 10^6 \text{ A/m}^2$ , atunci secțiunile conductoarelor se vor calcula astfel :

$$q_1 = \frac{I_{1n}}{J_{1n}} = \frac{8,6}{1,76} = 4,9 \cdot 10^{-6} \text{ m}^2$$

$$q_2 = \frac{I_2}{J_{2n}} = \frac{9,1}{1,86} = 4,9 \cdot 10^{-6} \text{ m}^2$$

✓/✓

Pentru ambele înfășurări realizate conform fig. 6.3b, se alege conductor de cupru rotund, izolat 288,  $\rho = 2,5 \cdot 10^{-8} \Omega \cdot m$ .

Calculul capacității condensatorului  $C_2$  de compensare capacitive longitudinală se efectuează cu formula (3-68) :

$$C_2 = \frac{0,148 \cdot 9,1 \cdot 10^6}{50 \cdot 220} = 122 \cdot 10^{-6} F$$

Pentru calculul lățimii ferestrei,  $B_f$ , calculăm :

$$S_{Cu} = (W_1 q_1 + W_2 q_2) = (226 \cdot 4,9 + 124 \cdot 4,9) \cdot 10^{-6} m^2 = 17,18 \cdot 10^{-6} m^2$$

$$S_f = \frac{17,18 \cdot 10^{-6}}{0,169} = 10150 \cdot 10^{-6} m^2$$

Se lucrează cu un coeficient de utilizare al ferestrei trei  $K_0 = 0,169$ , pentru a avea condiții optime de răcire a miezului și înfășurărilor.

Lățimea ferestrei  $B_f$  :

$$B_f = \frac{S_f}{h} = \frac{10 \cdot 150 \cdot 10^{-6}}{17,5 \cdot 10^{-2}} = 5,8 \cdot 10^2 m$$

Verificăm dacă la densitățile de curent alese, fluxul termic specific  $q_T \leq 450 \text{ W/m}^2$ , cu formula (3-28) :

$$q_T = \frac{1,81 \cdot 3070 \cdot 0,0175}{2 \cdot 1 \cdot 1 \cdot 0,152} = 520 \text{ W/m}^2$$

$$\sum I \cdot W = 8,6 \cdot 226 + 124 \cdot 9,1 = 3070 A \cdot sp.$$

Rezultă că un singur canal de răcire este suficient; S-a prevăzut însă trei canale de răcire, pentru ca indiferent de solicitare să nu existe pericolul unei încălziri ridicate.

#### 5.4.2 . Calculul pierderilor, al randamentului și verificarea încălzirii miezului.

Calculăm greutățile înfășurărilor de cupru și ale miezurilor din tablă ARMO, după care calculăm pierderile în cupru și fier.

$$G_{Cu 1} = 3,8,9 \pi \cdot 14 \cdot 1,5 \cdot 5 \cdot 226 \cdot 10^{-6} = 1 //$$

$$G_{Cu\ 2} = 3 \cdot 8,9 \cdot 7,95 \cdot 5 \cdot 124 \cdot 10^{-6} = 5 \text{ kg.}$$

$$\Delta P_{Cu\ 1} = 2,4 J_1^2 \cdot G_{Cu\ 1} = 2,4 \cdot 1,76^2 \cdot 15,5 = 100 \text{ W}$$

$$\Delta P_{Cu\ 2} = 2,4 J_2^2 \cdot G_{Cu\ 2} = 2,4 \cdot 1,86^2 \cdot 5 = 41,5 \text{ W}$$

$$\Delta P_{Cu} = 141,5 \text{ W}$$

Greutatea miezului :

$$G_{Fe} = 3G_{Fe\ col_1} + 6G_{Fe\ col_2} + 6G_{Fe\ jug} = 3 \cdot 3,9 + 6 \cdot 3,24 + 6 \cdot 1,58 = 30 \text{ kg}$$

$$G_{Fe\ col_1} = 7,65 \cdot 20,8 (175 + 2 \cdot 35) \cdot 10^{-4} = 3,9 \text{ kg.}$$

$$G_{Fe\ col_2} = 7,65 \cdot 17,3 (175 + 2 \cdot 35) \cdot 10^{-4} = 3,24 \text{ kg.}$$

$$G_{Fe\ jug} = 7,65 \cdot 17,8 (58 + 58) \cdot 10^{-4} = 1,58 \text{ kg.}$$

$$\text{La } B_{1m} = 2T \text{ și } f = 150 \text{ Hz; } \rho_{Fe} = 4 \text{ W/Kg , [7]}$$

$$\Delta P_{Fe} = \rho_{Fe} \cdot G_{Fe} \cdot \sqrt{t_p} = 4 \cdot 30 \cdot 0,316 = 38 \text{ W}$$

Randamentul triplorului de frecvență se calculează cu formula (3-30), pentru  $\cos \varphi_2 = 1$ :

$$\eta = \frac{2 \cdot 10^3 \cdot 0,316 \cdot 100}{2 \cdot 10^3 \cdot 0,316 + 38 + 141,5} = \frac{63 \cdot 200}{63 \cdot 379} = 99,5 \%$$

Dimensiunile de gabarit ale unuia din cele trei reactoare saturate, care compun triplorul de frecvență sunt, conform fig. 5.2b și 5-3b.

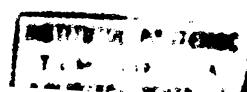
$$H_{total} = 245 \cdot 10^{-3} \text{ m}$$

$$L_{total} = 246 \cdot 10^{-3} \text{ m}$$

$$B_{total} = 161 \cdot 10^{-3} \text{ m}$$

Pentru calculul termic de control al miezului vom utiliza formula (3-31).

//.



Suprafața totală de răcire a miezului este :

$$A_{\text{m}} = 3 [8 \cdot 246.35 + 2 \cdot 246.51 + 2 \cdot 245.51 + 8 \cdot 55.175 + 4 \cdot 60.175 + 4 \cdot 175 + 14 \\ + 4 \cdot 51.58] \cdot 10^{-6} \text{ m}^2 = 0,2573 \text{ m}^2$$

Suprafața este, relativ mare, deoarece s-a prevăzut canel de răcire în miez.

$$q_{\text{TFE}} = \frac{38}{0,2573} = 148 \text{ W/m}^2$$

Sci, triplorul de frecvență calculat are fluxul termic specific mai mult decât 450 W/m<sup>2</sup> și se încadrează în norme din acest punct de vedere.

Prin cercetarea de laborator s-au obținut valoările adaptate ale coeficientilor din formulele de calcul indicate în literatură, astfel încât metodica de calcul propusă în acest capitol să fie verificată întocmai.

Fig.5.5 redă un aspect din tipul probelor efectuate. Rezultatele cercetărilor au constituit subiectul unui proiect de specialitate, susținut în oct.1975, la Secția a II-a a Conferinței Naționale a Energeticienilor din RSR.

### 5.5. Considerații asupra optimizării triplorului de frecvență spinelii, utilizând calculul numeric.

#### 5.5.1 Volumul de lucru efectuat pentru optimizarea triplorului de frecvență.

Studiul optimizării triplorului de frecvență spinelii în gama de puteri  $S_2 = 150 \pm 300 \text{ kVA}$ , nu este practic posibil fără utilizarea calculului numeric, în care scop s-a întocmit programul pentru calculator al cărui mod de lucru s-a expus în subcapitolul 5.3.

Se reamintește că programul este astfel conceput încât în gama de puteri amintită, la  $U_{lf} = 400 \text{ V}$  și  $U_{\text{c}} = 800 \text{ V}$ , poate efectua orice variante sănătoase pentru cercetarea efectuată, livrind variantele constructive care satisfac condițiile de optimizare impuse prin randament, pierderi și încălzire.

LISTING-ul din care s-au extras valoările pentru  $G_{\text{Cu}}$ ,  $G_{\text{Fe}}$ ,  $\Delta P_{\text{Cu}}$ ,  $\Delta P_{\text{Fe}}$ ,  $\sum \Delta P$  și  $Z$ , poate fi văzut în fig.5-6(1)...(10), unde la dispoziție 160 asemenea variante, care sunt răspunzătoare programului prezentat.

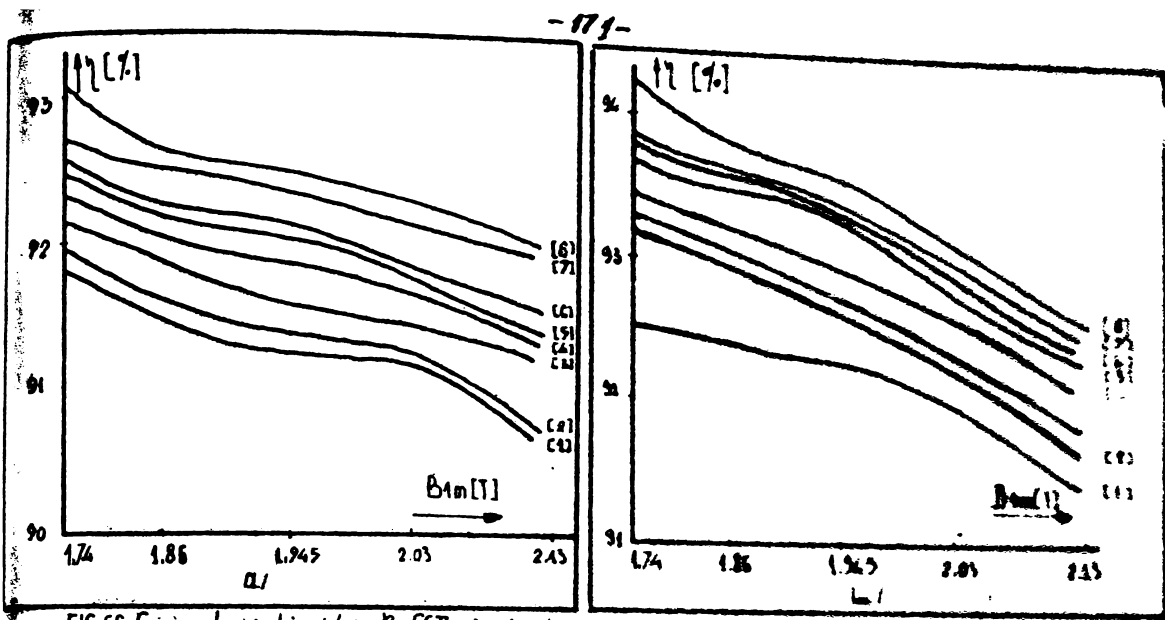


FIG. 96 Caracteristicile  $\lambda_1 \cdot f(B_{1m})$  ale triplorului de frecvență SPINELLI determinate prin calcul numeric.

1/  $S_2 = 150 \text{ kVA}$ ; 2/  $S_2 = 170 \text{ kVA}$ ; 3/  $S_2 = 190 \text{ kVA}$ ; 4/  $S_2 = 200 \text{ kVA}$ ; 5/  $S_2 = 230 \text{ kVA}$

7/  $S_2 = 260 \text{ kVA}$ ; 8/  $S_2 = 300 \text{ kVA}$

a/  $J_1 = 1.94 \cdot 10^6 \text{ A/m}^2$ ;  $J_2 = 3.62 \cdot 10^6 \text{ A/m}^2$

b/  $J_1 = J_2 = 2.10^6 \text{ A/m}^2$

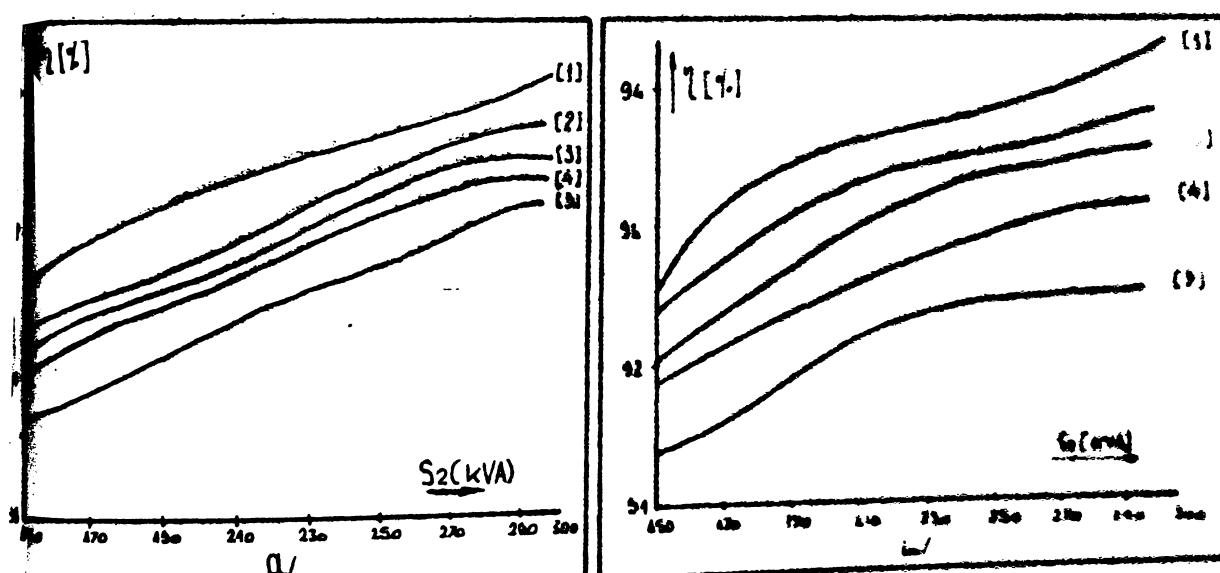


FIG. 97. Caracteristicile  $\lambda_1 \cdot f(S_2)$  ale triplorului de frecvență SPINELLI determinate prin calcul numeric.

1/  $B_{1m} = 1.79 \text{ T}$ ; 2/  $B_{1m} = 1.86 \text{ T}$ ; 3/  $B_{1m} = 1.945 \text{ T}$ ; 4/  $B_{1m} = 2.03 \text{ T}$ ; 5/  $B_{1m} = 2.18 \text{ T}$

a/  $J_1 = 1.94 \cdot 10^6 \text{ A/m}^2$ ;  $J_2 = 3.62 \cdot 10^6 \text{ A/m}^2$

b/  $J_1 = J_2 = 2.10^6 \text{ A/m}^2$

Astfel, la un contor  $S_2 = 150000, 300000, 10000$  rezultă, după cum s-a demonstrat în paragraful 5.5.1, 16 variante.

Dacă se iau la fiecare variantă de putere 5 valori pentru inducția magnetică în miez  $B_{lm}$  și 2 seturi de valori între densitățile de curent  $J_1$  și  $J_2$ , rezultă în total :

$$16 \cdot 2 \cdot 5 = 160 \text{ variante,}$$

pentru care LISTING-ul oferă, conform programului, următoarele simboli calculate :  $t_e$ ,  $S_{M1}$ ,  $G_{tot}$ ,  $W_1$ ,  $W_2$ ,  $H$ ,  $B_p$ ,  $I_1$ ,  $I_2$ ,  $N_1$ ,  $N_2$ ,  $B_1$ ,  $B_2$ ,  $N_1$ ,  $N_2$ ,  $N_{ls}$ ,  $N_{2s}$ ,  $I_{lsc}$ ,  $I_{2sc}$ ,  $G_{Cu}$ ,  $G_{Fe}$ ,  $C_2$ ,  $\Sigma AP$ ,  $\Delta I_{Fe}$ ,  $P_0$ ,  $\gamma$ ,  $Q_{TFE}$ ,  $N_B$  și  $N$ , rezultate din optimizarea fiecărei variante.

Inductiile s-au ales astfel încât atunci cînd se iau în calculul lui  $W_1$ , să se poată obține un număr cîstînct de spire, pentru ca varianta respectivă, la puterea de 200 kVA, în care s-a realizat modelul, să se cerceteze în laborator, aşa cum se va expune în capitolul 6.

După cum reziese din algoritmul după care s-a realizat programul, în cadrul fiecărei variante din cele 160, calculatorul, în cursul executării programului, mai calculează partea cu total un număr de variante  $V = N_1 \cdot N_2 \cdot N_{ls} \cdot N_{2s} \cdot H \cdot H$  (se observă că pentru valoarea zero al unuia din cei 6 factori, acesta nu se face în calcul). În formula de mai sus nu s-au inclus calculurile de variantă cînd se execută optimizarea propriu-zisă, prin variarea lui  $t_e$  și a densității de curent, care pot fi variate pînă să obțină valoarea impusă ca optimă pentru randamentul  $\gamma$ .

In afara de calculele de optimizare pentru cele 160 variante, analiza LISTING-ului a permis autorului să traseze o serie de caracteristici care nu se regăsesc în literatură și care pun la dispoziția cercetătorului și a proiectantului informații suplimentare asupra funcționării triplorului de frecvență Spurlli. Acestea se descriu în cele ce urmează.

### 5.5.2. Studiul caracteristicilor $Z = f(B_p)$

$$J_1 = ct ; \quad J_2 = ct .$$

Acste caracteistică sint reduse în fig.5.6 și ele, reliefeză faptul că la cîteva inducții în miez, cresc pierderile în fier  $\Delta P_{Fe}$ .

Cu toate că pierderile în cupru  $\Delta P_{Cu}$  scad la creșterea inducției (datorită scăderii numărului de spire  $w_1$ ), influența reșterii pierderilor în fier este mai puternică și randamentul  $\gamma$  scade.

Din punct de vedere al randamentului se preferă inducțiile mici, dar aşa cum se va demonstra în capitolul 6, la un triplor de frecvență trebuie să se țină seama și de caracteristicile sale de funcționare în gol, în circuitul deschis și în sarcină. Toate acestea coroborate, vor conduce la concluzia că inducția de 2,03 T oferind un randament acceptabil, o tensiune de funcționare în sarcină egală cu cea presupusă și o caracteristică exterioară dură, este cea care se impune, pentru tola ARICO de 0,35 mm, pentru care autorul a propus valori adăptate pentru coeficientii de calcul ai formulelor, altele decât cele indicate în literatură, demonstrând valabilitatea lor făcându-se prin calculul comparativ din tabelul 5.1 și prin cercetarea de laborator.

În fig.5.6a s-au redat caracteristicile  $\gamma = f(B_{1m})$  la  $J_1 = 1,94 \cdot 10^6 A/m^2$ ;  $J_2 = 3,62 \cdot 10^6 A/m^2$ , ele nefiind întâlnite în literatură, calculul numeric oferind posibilitatea execuției acestui volum mare de calcule necesare la obținerea datelor redată sub formă de grafice în fig.5.6 și fig.5.10.

În fig.5.6b se trasează aceleși caracteristici  $\gamma = f(B_{1m})$ , dar la  $J_1 = J_2 = 2 \cdot 10^6 A/m^2$ . În acest caz, randamentul  $\gamma$  este mai mare decât la primul set de valori  $J$ , datorită faptului că au scăzut mult  $\Delta P_{Cu}$ , astăzi reiese din fig.5.8b, compensând ușoara creștere a pierderilor în fier în acest caz, datorită creșterii dimensiunilor ferestrei la creșterea secțiunii conductoarelor cînd densitatea de curent  $J_2$  a scăzut de la  $3,62 \cdot 10^6 A/m^2$  la  $2 \cdot 10^6 A/m^2$ .

### 5.5.3. Studiul caracteristicilor $\gamma = f(\delta_2) \text{ și } B_{1m} = \frac{dt}{J_1}$

$$J_1 = ct; J_2 = ct;$$

Menținindu-se constantă inducția  $B_{1m}$  și densitățile de curent s-au trasat caracteristicile care reau variația randamentului  $\gamma$  funcție de variația puterii de ieșire  $P_{2n}$  la  $U_1 = ct$  și  $U_2 = ct$  (fig.5.7a și fig.5.7b).

Acstea caracteristici arată că la creșterea puterii randamentul crește, lucru care se cunoaște în general din teoria mașinilor electrice.

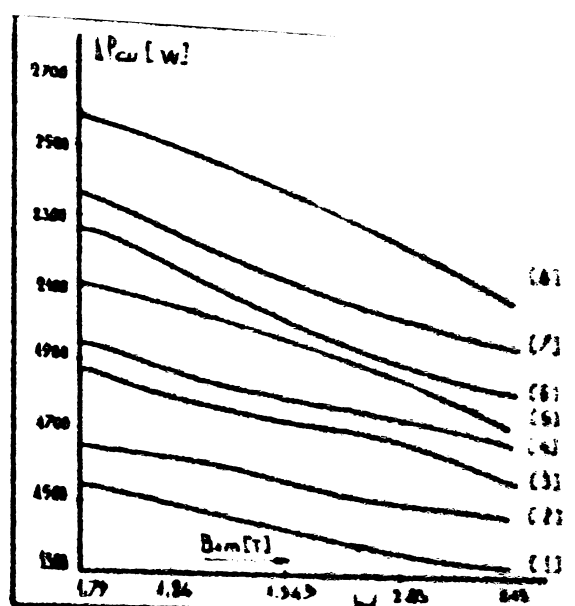
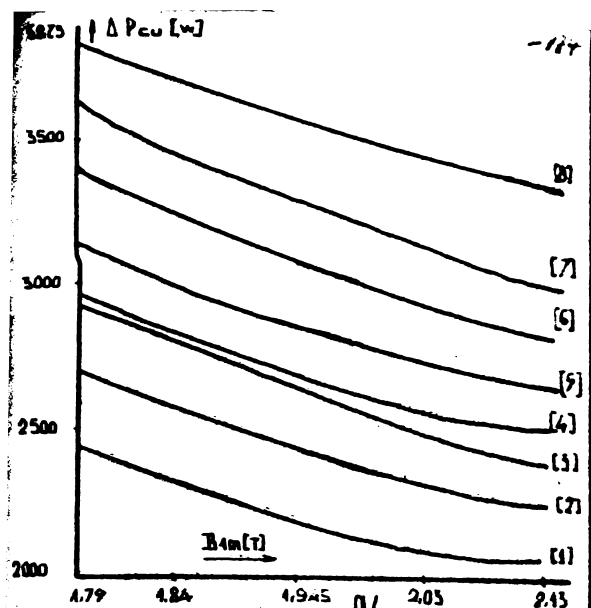


FIG. 9.8 Caracteristicile  $\Delta P_{cu} = f(B_m)$  ale triplorului de frecventa SPINELI  
 $S_{2n} = 150 \div 300$  kVA, determinate prin calcul numeric  
a,b, 1,2,3,4,5,6,7,8 - Idem fig. 5.7

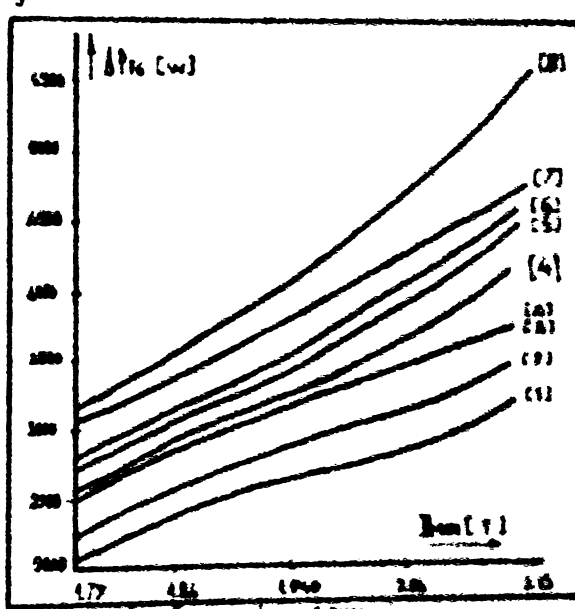
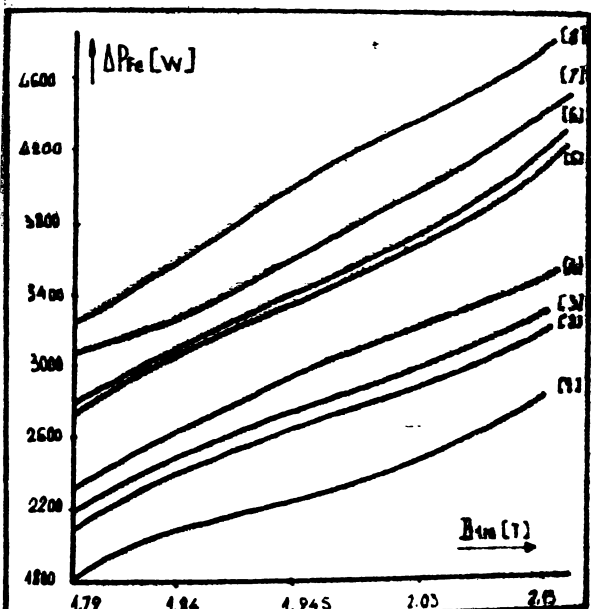


FIG. 9.9 Caracteristicile  $\Delta P_{fe} = f(B_m)$  ale triplorului de frecventa SPINELI  
 $S_{2n} = 150 \div 300$  kVA determinate prin calcul numeric. ab, 1,2,3,4,5,6,7,8 - idem fig. 5.7

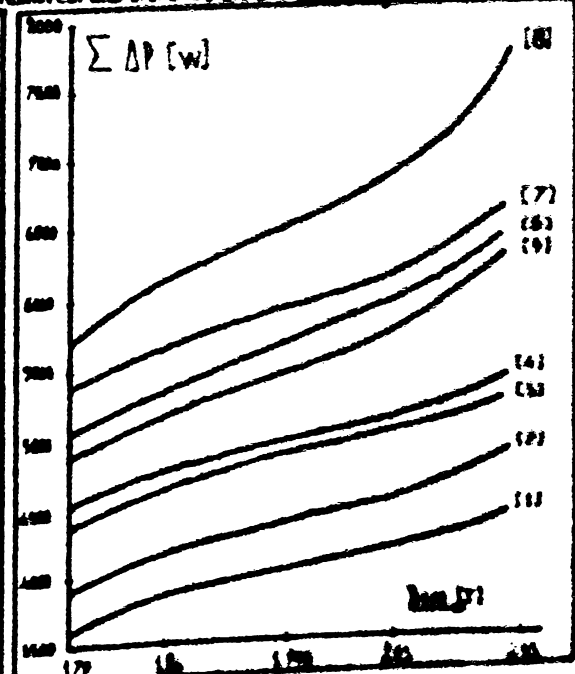
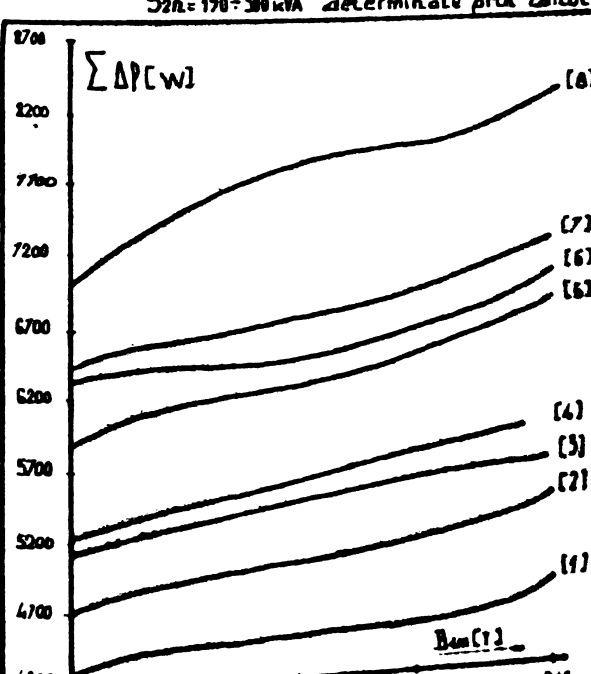


FIG. 9.10 Caracteristicile  $\Sigma \Delta P = f(B_m)$  ale triplorului de frecventa SPINELI  
 $S_{2n} = 150 \div 300$  kVA ...

Modul concret de variație a răndamentului și puterii la ieșire  $S_2$ , oferă cercetătorului posibilitatea să calculeze, la o anumită inducție  $B_{1m}$  și putere  $S_2$  să cunoască răndamentul pe care îl poate obține de la un triplor de frevență Spinelli, unele caracteristici care solicită un volum mare de calcul pe care nu le poate executa decât calculatorul electronic existent fiindu-se în literatură.

**5.5.4. Studiul caracteristicilor**  $\Delta P_{Cu} = f(B_{1m}) \Delta I_{Fe} = f(S_2)$   
și  $\Sigma \Delta P = f(B_{1m})$  la  $S_2 = ct$ ,  $J_1 = ct$  și  $J_2 = d$

Si acestea caracteristici s-au ridicat utilizând calculul numeric și ele arată modul de variație al pierderilor în cupru  $\Delta P_{Cu}$ , în fier  $\Delta P_{Fe}$  și totale  $\Sigma \Delta P$ , funcție de inducție  $B_{1m}$ , la  $S_2 = ct$  (în gama de puteri  $S_2 = 150 \pm 300$  kW).

Volumul mare de calculuri impus de ridicarea unor multe unele caracteristici face indispensabilă utilizarea calculatorului electronic, ceea ce explică faptul că nu se întâlnesc încă în literatura de specialitate consultată de autor.

Caracteristicile din fig.5.8a și fig.5.8b arată că la creșterea inducției în miez  $B_{1m}$  are loc o scădere a pierderilor în cupru, datorită scăderii numărului de spire  $w_1$  și  $w_2$ . La densitatea de curent mai mici pierderile sunt mai mici, lucru evidențiat în figurile respective trasate la două valori ale densităților de curent.

Caracteristicile din fig.5.9 explică prin alții lor cum variază pierderile în fier  $\Delta P_{Fe}$ , la variația inducției, pentru anumite puteri în gama  $150 \pm 300$  kW.

Caracteristicile din fig.5.10  $\Sigma \Delta P = f(B_{1m})$  exprimă de la creșterea inducției în miez are loc o scădere a răndamentului, cu toate că pierderile în cupru au scăzut.

Ca o concluzie finală, se poate afirma că utilizarea calculului numeric pe lângă faptul că oferă posibilitatea practica și rapidă de a obține varianta optimizată de tripler de frevență Spinelli, permite și studiul variației parametrilor acestuia, variația diverselor mărimi electromagnetice principale ale acestuia, ceea ce s-a demonstrat în acest paragraf.

## CAPITOLUL VI

### CERCETAREA DE LABORATOR A CARACTERISTICII DE FUNCȚIUNE ALE UNOR TIPOURI DE DUBLORU și TRIPLORU SI MULTIPLO- TA REALIZATE. VEHICULUL ALIMENTAT CU REACTIVUL CALCUL PENTRU E.

#### 6.1. Introducere.

Relațiile de dimensiune din literatură, precum și adaptarea coeficienților de calcul ai acestor relații printr-un algoritm concret de utilizare a tolei ANDICO cu 0,25 mm, algoritmul fiind programul unitar de calcul propus de autor pentru optimizare a calejutorul calculatorului electronic numeric a multiplicatoarelor de frecvență statice, în spațiu dublorul de frecvență Joly-<sup>Spinelli</sup> și triplorul de frecvență Spinelli și autotransformatoric, se constată că fi valabile numai în măsura în care rezultatele cercetării de laborator asupra caracteristicilor de funcționare ale acestora confirmă parametrii stabiliți prin calcul.

Cercetarea de laborator se impune, de moment, pentru a putea stabili influența unor anumite factori care în datele din literatură, sunt greu de prisă în mod exact sau fără analiză cum ar fi saturarea miezului, compensarea capacitive lungitudinială și influența deformării curentului absorbit de multiplicator și forma curbei tensiunii rețelui.

Tinând cont că în capitolele 4 și 5 s-a demon-  
strat superioritatea dublorului de frecvență Joly-<sup>Spinelli</sup> și a  
triplorului de frecvență <sup>Spinelli</sup> luate în considerație, cercetarea de la-  
borator s-a efectuat numai asupra lor.

In acest sens s-au executat încercări comparative privind funcționarea în gol, în scurtcircuit și în sarcină la diferite grade de compensare capacitive longitudinale și inducția variază asupra dublorului de frecvență Joly-<sup>Spinelli</sup>  $S_{2n} = 5,6 \text{ kVA}$  și a triplorului de frecvență Spinelli  $S_{3n} = 200 \text{ kVA}$ , realizate pe baza datelor furnizate de calculatorul electronic numeric, care a luat în considerare algoritmul de calcul, o rezistență logica și programul conform algoritmului de calcul, a rezistenței logice și programului FORTRAN prezentate de autor în capitolele 4 și 5 (cu motive de spătiu rezultatele cercetării de laborator pentru triplorul autotran-  
formatoric  $S_{2n} = 80 \text{ kVA}$  și Spinelli  $S_{3n} = 2 \text{ kVA}$ , nu se au sănătă-

//.

prezenta lucrare.

Pentru a confirma susținerile analitice, precum și din necesități strict productive, legate de defectoscopia instalațiilor electroenergetice ale sistemului, în subcapitolul 6.5 se prezintă probele pe viu executate de autor în cadrul IRE Ploiești și eficiența tehnico-economică a acestora.

Ampermetrele și voltmetrele utilizate sunt de tip electromagnetic și în conformitate cu literatura [20], nu sunt influențate de regimul deformant, lucru valabil și pentru voltmetrele de tip electrodinamic. Frecvențmetrul utilizat este de tip electronic, iar oscilograful este cu bucle.

#### 6.2. Cercetarea de laborator pentru verificarea algoritmului și programului de calcul pentru dublourul de frecvență Joly-Spatz.

Schema electrică folosită este reprezentată în fig. 4.4. fotografie din fig. 4.5 redând aspectul de montaj în laborator, cu ocazia efectuării măsurătorilor, asupra dubloului Joly-Spatz.  $S_{2n} = 5,6 \text{ KVA}$ ;  $220/180 \text{ V}$ .

##### 6.2.1. Studiul experimental al funcționării în rol de dubloului de frecvență.

Pentru a efectua măsurătorile se utilizează schema din fig. 4.4, bornele a-b la circuitul de ieșire rămânind libere și având conectate la ele voltmetrul  $V_2$ , cu care se măsoară tensiunea  $U_{20}$ . Cu voltmetrul  $V_1$  și ampermetrul A. se măsoară tensiunea  $U_1$ , respectiv curentul  $I_{10}$ .

Deoarece în cazul dubloului de frecvență literatura de specialitate nu indică încă o relație pentru calculul lui  $I_{10}$ , măsurarea acestuia și reprezentarea sa grafică preintă un interes deosebit, deoarece se face după cunoștințe autorului, pentru prima dată.

S-a menținut  $I_p = ct$  (la valoriile de  $20,15,10,5$  și  $0 \text{ A}$ ) și s-a variat tensiunea  $U_1$  cu ajutorul unui autotransformatoare reglabil, care nu este figurat în schiță.

Curbele  $U_{20} = f(U_1)$  sunt reprezentate în fig. 6.1 și curbele  $I_{10} = f(U_1)$  sunt reprezentate în fig. 6.2, pentru diferite valori ale numărului de spire al înfășurării primare,  $n_1$ , și a cărui curentul de premagnetizare  $I_p$ .

Analizând curbele  $U_{20} = f(U_1)$  la  $I_p = 20 \text{ A}$  (16), se trasează curbe noi și pentru a studia grafic  $I_p = 15,10,5$  și  $0 \text{ A}$  și deoarece dubloul funcționează la influența lui  $I_p$ , deoarece dubloul funcționează la //.

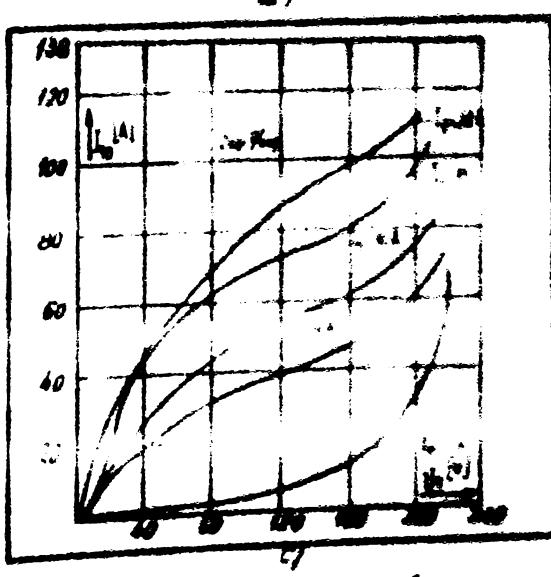
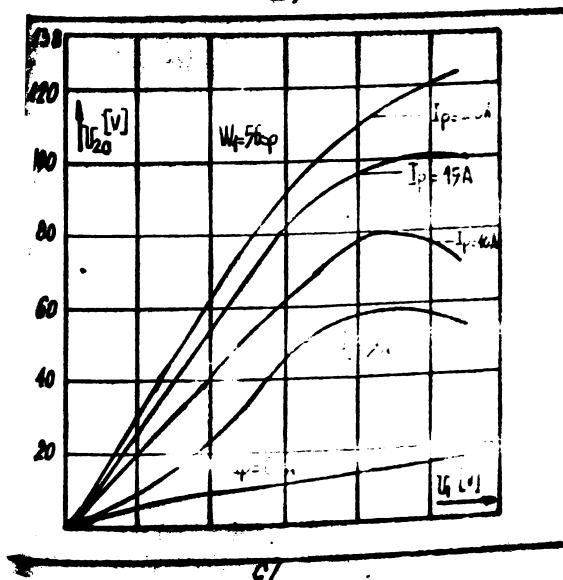
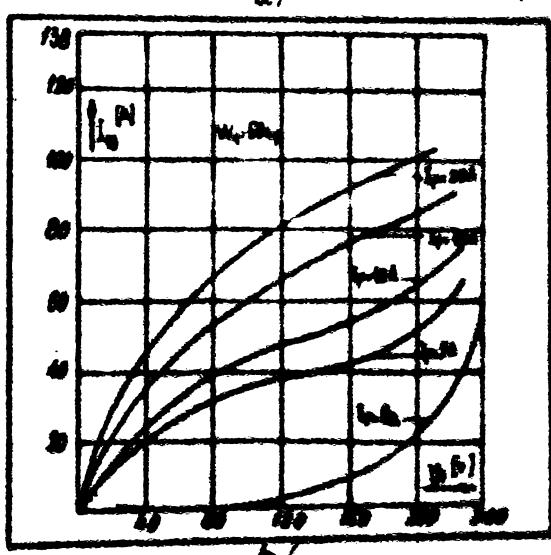
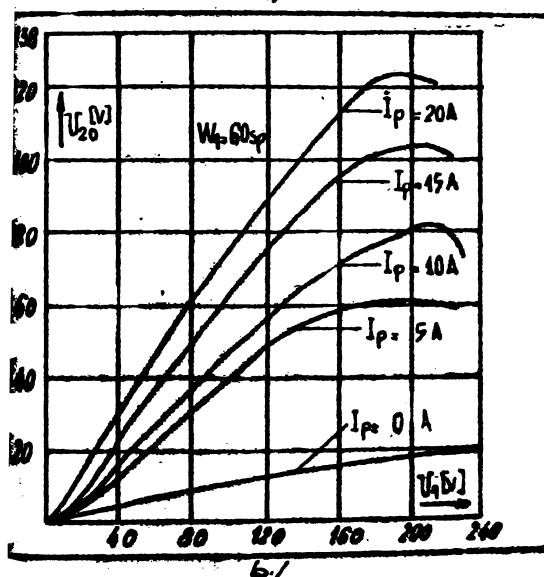
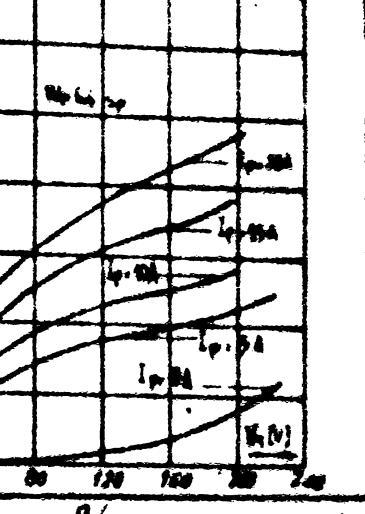
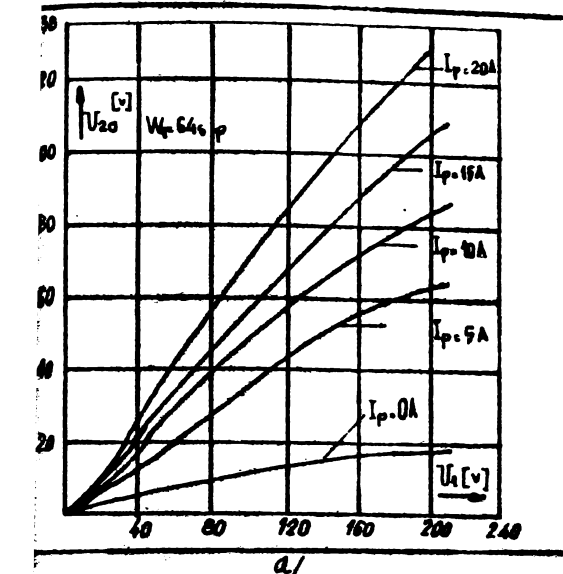


FIG. 61. Caracteristicile de functionare în qol.  $U_{20} = f(U_4)$  avind  $I_p$  parametru la dubloul de frecvență  $f_{m1} = 50\text{Hz}$   
220/1980V.

a/  $W_1 = 64$  spire  
b/  $W_1 = 60$  spire  
c/  $W_1 = 56$  spire

FIG. 62. Caracteristicile de fundație.  
 $I_p, f(U_4)$  cuad  $I_p$  parametru la dubloul de frecvență  $f_{m1} = 50\text{Hz}$   
220/1980V

a/ 64 spire  
b/ 60 spire  
c/ 56 spire

$I_p = I_p \text{ calculat} = 20 \text{ A}$ ) se constată următoarei:

1) în absența compensării capacitive lărgirea tensiunelor la mers în gol este mai mică decât tensiunea la mers în gol.

La  $U_1 = 200 \text{ V}$  și  $W_1 = 64$  spire:  $U_{20} = 110 \text{ V}$ .

6.1 a) pe cind  $U_{2 \text{ sarc}} = 120 \text{ V}$  la  $I_2 = 31 \text{ A}$  (fig. 6.1 a). Deoarece explică teoretic prin aceea că un curent capacitive, care determină înfășurarea secundară a dublorului produce o sală de  $U_{20}$ , se adună la solenăția principală, astfel încât fluxul total este  $\Phi_1$ , ceea ce conduce la creșterea lui  $U_{2 \text{ sarc}}$  față de  $U_{20}$ .

In cazul unei serciuri inductive, efectul ar fi și acela, adică  $U_{2 \text{ sarc}}$  ar fi mai mic decât  $U_{20}$ .

2) se constată că programul propus pentru coeficiul  $U_{20}$  satisface, deoarece conform fig. 6.1 a,  $U_{20} = 110 \text{ V}$  la  $U_1 = 220 \text{ V}$ ,  $W_1 = 64$  spire, ceea ce se vede și din valoarea calibrată a lui  $U_{20}$  conform formulei (3-69);

3) caracteristicile  $I_{10} = f(U_1)$ ;  $\omega_1 = \text{ct}$ ;  $I_p = \text{ct}$ , prezentate pentru prima dată într-o lucrare, demonstrează că în dublorul realizat, numărul de spire al înfășurării primare calibrat pentru funcționare,  $W_1 = 64$  spire, operă la  $U_{1P} = 220 \text{ V}$ , având unui curent  $I_{10}$  mai mic cu 20% față de cazul  $W_1 = 96$  spire la tensiunea  $U_{20}$  aproximativ egale, lucru care se explică prin faptul că la  $W_1$  mai mic saturarea nu e mai puternică, deci  $I_{10}$  e mai mare și întrucât fluxul principal să crească cu mult.

4) curentul de preamagnetizare  $I_p$  determină valoarea tensiunii  $U_{20}$  și curentului  $I_{10}$ , la acumulată tensiuni  $U_1$  și numărul de spire al înfășurării primare  $W_1$ , deoarece crește o componentă continuă a fluxului principal în miez.

Valoarea tensiunii de mers în gol  $U_{20}$ , calibrul să se formula (3-69) conform algoritmului și programului elaborat de autor s-a regăsit prin măsurări directe, ceea ce demonstrează valabilitatea adaptării coeficientului  $k_{20}$  la condițiile construcției nării miezului magnetic al dublorului de frecvență dobândit în  $S_{2n} = 5,6 \text{ KVA}$ , din tolă NDICO de 0,25 mm.

#### 6.2.2. Studiul experimental al funcționării în rețelele cu o dublărie de frecvență.

Se utilizează schema din fig. 6.4 acurcircuitul fiind realizat între bornele c și d, astfel încât experimentul să măsoare curentul primar de scurtcircuit  $I_{1sc}$ , iar  $a_2$  va măsura curentul secundar de scurtcircuit  $I_{2sc}$ .

Curentul  $I_p$  s-a reglat cu instalația proprie redresorului, iar inducția magnetică alternativă în miez s-a reglat prin schimbarea numărului de spire  $N_1$ . Tensiunea  $U_1$  s-a variat în același mod ca la funcționarea în gol între  $U_1 = 20$  V și  $U_1 = 220$  V.

In [5], [7] și [63] se demonstrează că pentru analiza comportării la scurtcircuit a dublorului de frecvență este necesar să se reprezinte grafic :

$$a_{Isc} = \frac{I_{2sc}}{I_{1sc}} = f(U_1) ; I_p = \text{ct} ; N_1 = \text{ct} \quad \text{și}$$

$$a_{Iscp} = \frac{I_{2sc}}{I_p} = f(U_1) ; I_p = \text{ct} ; N_1 = \text{ct} ;$$

definite în unități relative de ecuațiile (2-29a) și (2-29b), și numite caracteristici de scurtcircuit.

Așa cum se observă, definiția caracteristicilor de scurtcircuit diferă puțin de cea cunoscută din teoria mașinilor electrice, dar este în strînsă legătură cu principiul de funcționare al dublorului de frecvență, la care curentul de scurtcircuit poate varia numai odată cu variația inducției magnetice  $B_{1m}$  în miez, care la rîndul ei depinde de  $U_1$  și  $I_p$ . Din acest punct de vedere se observă că  $a_{Isc}$  și  $a_{Iscp}$  reprezintă relații de similaritate redînd variația curentelor de scurtcircuit în înășurarea primă și secundară  $I_{1sc}$  și  $I_{2sc}$ , funcție de  $U_1$  și  $I_p$ , care din punct de vedere fenomenologic au rolul curentului de excitare  $I_b$  din teoria mașinilor electrice.

Reprezentarea grafică a caracteristicilor de scurtcircuit este redată în fig. 6.3 și 6.4 și din analiza acestora reiese că programul de calcul propus de autor în paragraful 4.3.1 pentru curentii  $I_{1sc}$  și  $I_{2sc}$  - a se vedea relația (2-47) - se verifică experimental. Astfel, din fig. 6.3 și 6.4 a, de exemplu, la  $U_1 = 220$  V;  $I_p = 20$  A avem  $a_{Isc} = 0,389$  și  $a_{Iscp} = 1,65$ , ceea ce corespunde la  $I_{1sc} = 85$  A și  $I_{2sc} = 33$  A, care sunt curentii calculati în paragraful 4.3.2 la  $N_1 = 64$  spire.

Calculele se pot face la oricare număr de spire  $W_1$  și curent de premagnetizare  $I_p$ .

Analiza caracteristicilor de scurtcircuit ne conduce la următoarele concluzii :

1) programul de calcul propus se verifică experimental din punct de vedere al calculului analitic ai curenților de scurtcircuit  $I_{1sc}$  și  $I_{2sc}$ , valorile prezumate prin calculul numeric regăsindu-se prin măsurători de laborator;

2) deoarece la scurtcircuit lipsește compensarea capacitive longitudinală ( $C_2 = 0$ ), curenții de scurtcircuit ai dublorului de frecvență la tensiunea nominală  $U_1$  și la numărul de spire respectiv, așa cum reies ei din caracteristicile de scurtcircuit reprezentate în fig. 6.3 și 6.4 nu au valori mari, comparativ cu valorile curenților în sarcină determinați din caracteristicile interioare și exterioare reprezentate în fig. 6.5 și 6.6.

De exemplu, la  $W_1 = 64$  spire și  $I_p = 20$  A, la  $U_1 = 220$  V la mers în sarcină din fig. 6.5 și 6.6 determinăm  $I_1 = 90$  A și  $I_2 = 31$  A, față de  $I_{1sc} = 85$  A și  $I_{2sc} = 33$  A, în aceleași condiții, dar la scurtcircuit. Concluzia care se impune este că la scurtcircuit dubloul de frecvență prezintă o reactanță internă mare.

3) inducția magnetică în miezul unui dublou de frecvență fiind rezultanta componentelor alternativă, produsă de  $U_{lf}$  și continuă produsă de  $U_p$ , are o influență asupra caracteristicilor de scurtcircuit, dar aceasta este greu de evidențiat analitic. Din acest punct de vedere, studiul efectuat lamurește grafic problema aceasta pentru prima dată. Se observă că la  $I_p = ct$  caracteristica  $a_{Isc}$  este superioară altor caracteristici  $I_p = ct$ . caracteristica  $a_{Isc}$  este superioară altor caracteristici prezintă  $W_1$  mai mic, deoarece  $W_1$  mai mic înseamnă o corespondență alternativă a lui  $B_{lm}$  mai mare, o saturare mai puternică și deci  $I_{1sc}$  mai mare, fără ca  $I_{2sc}$  să crească – deci  $a_{Isc} \frac{I_{2sc}}{I_{1sc}}$  este mai mic la număr de spire  $W_1$  mai mic.

Caracteristica de scurtcircuit  $a_{Isc} = \frac{I_{2sc}}{I_p}$  nu depinde practic de  $W_1$  la valori mari ale lui  $I_p$ , deoarece în expresia ei analitică nu intră valoarea lui  $I_{1sc}$ , care în calitatea lui de curent de magnetizare alternativă este în funcție de saturare și deci de  $W_1$ . Această lucru se observă în fig. 6.4 a, b, c în care numai caracteristicile  $a_{Isc} = f(U_1)$ , //.

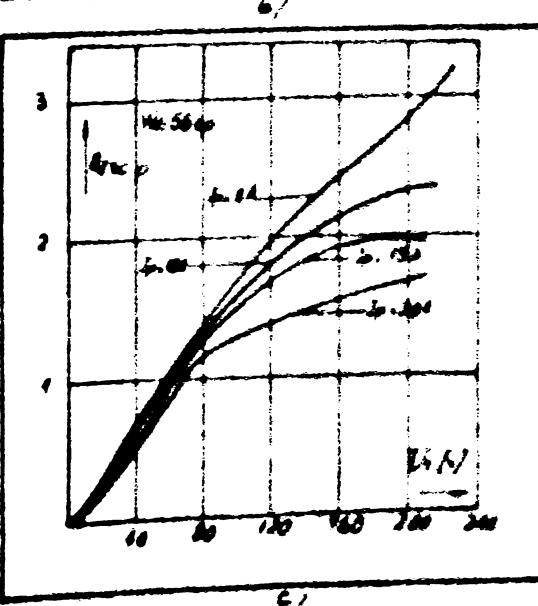
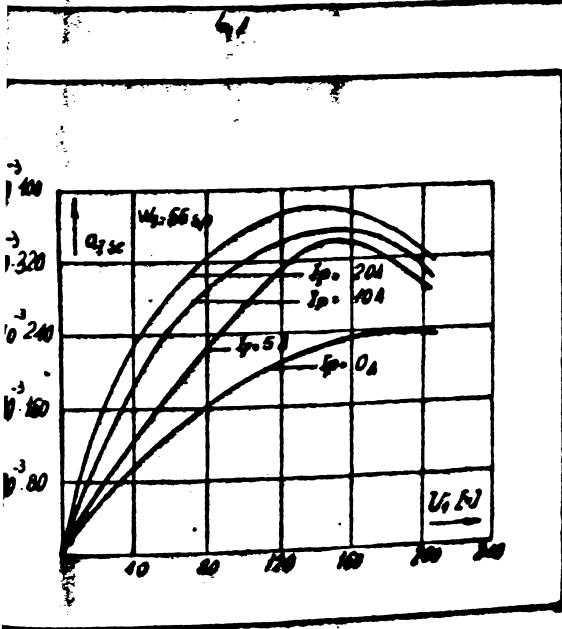
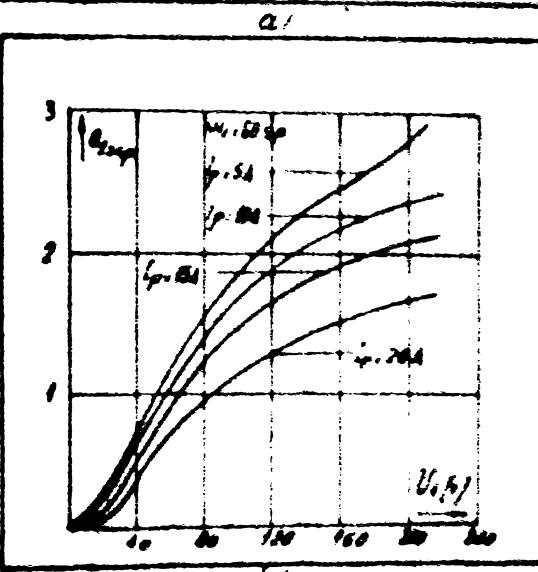
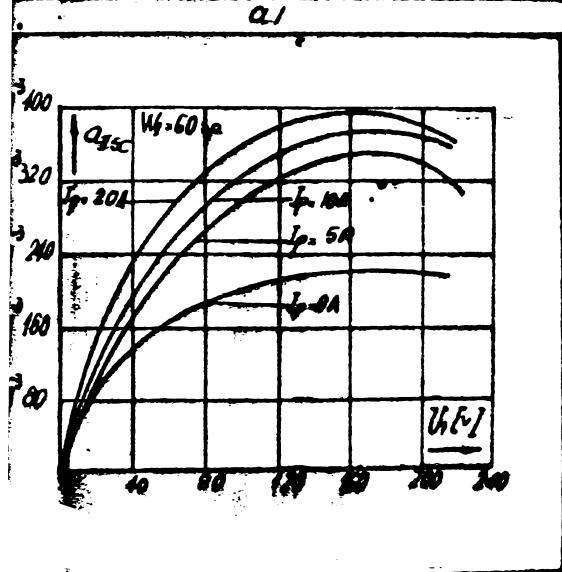
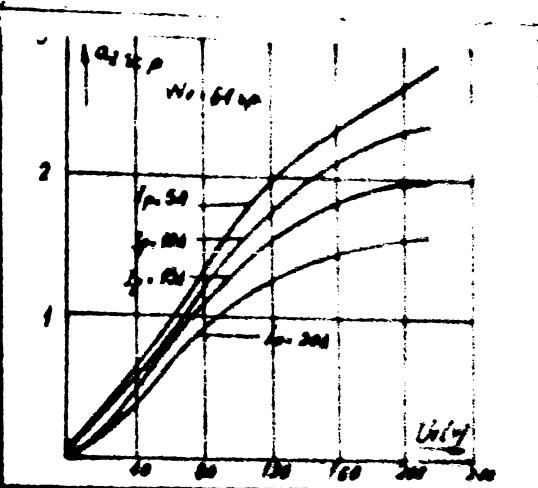
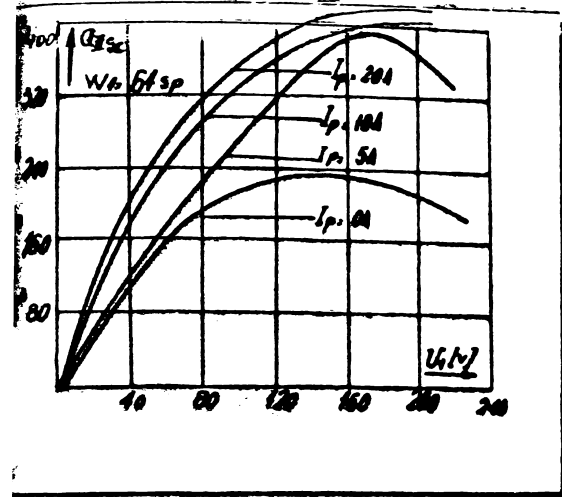


Fig. 63 Caracteristicile de functionare  
la scurtcircuit  $\alpha_{sc}$ ,  $f(U_e)$  avind  
 $I_p$  parametru ale dubiorului de  
frecvență  $f_0$  și  $U_d$ :  $320/1000$

- a -  $W_6-64$  spire
- b -  $W_6-60$  spire
- c -  $W_6-56$  spire

Fig. 64 Caracteristicile de functionare  
la scurtcircuit  $\alpha_{sc} = 0.65$ ,  
avind  $I_p$  parametru de dubio-  
rul de frecvență  $f_0$  și  $U_d$   
 $210/1000$

- a -  $W_6-64$  spire
- b -  $W_6-60$  spire
- c -  $W_6-56$  spire

la  $I_p = 5$  A, sănt influențate sensibil de  $W_1$ ;

4) alura caracteristicilor de scurtcircuit în unități relative  $a_{Isc} = f(\bar{U}_1)$  și  $a_{Isdp} = f(\bar{U}_1)$  nu diferă de a caracteristicilor de scurtcircuit în unități fizice  $a_{Isc} = f(U_1)$  și  $a_{Isdp} = f(U_1)$  la  $I_p = ct.$  și  $W_1 = ct.$ , în cele două reprezentări diferențind numai scara de reprezentare conform relației (1-44).

Această constatare ne spune că o comparație cantitativă între dubloarele de frecvență prin intermediuul relațiilor (2-29a) și (2-29b) respectiv a fig. 2.1e a și 2.1e b, nu este posibila, dar o comparație calitativă, fenomenologică, privind alura curbelor este posibilă.

#### 6.2.3. Studiul experimental al funcționării în sarcină capacitive-inductive-resistivă a dublorului de frecvență.

Pentru realizarea studiului comportării în sarcină a dublorului de frecvență analizat se folosește schema din fig. 4.4 așa cum este ea redată.

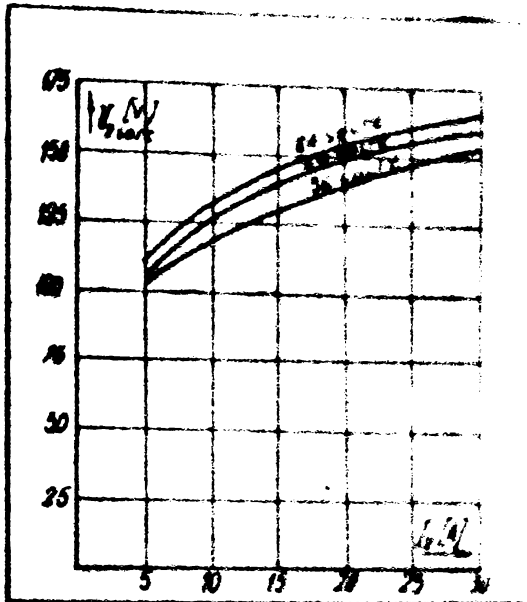
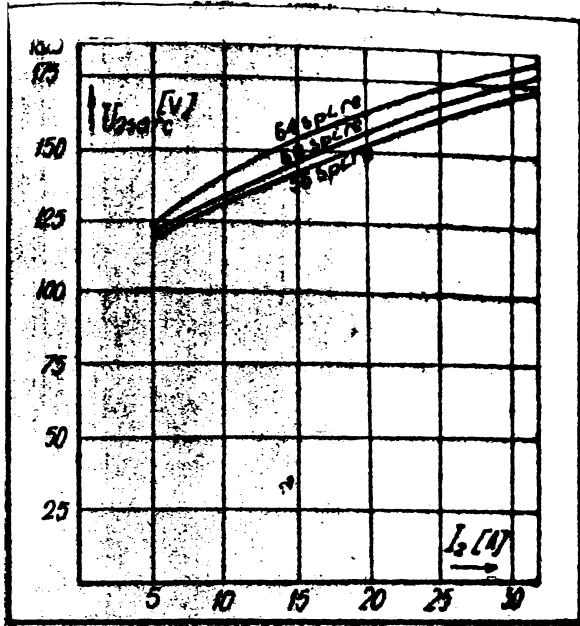
S-a lucrat la  $U_1 = U_{reteaua}$   $f = 220$  V. Currentul de premagnetizare s-a variat cu ajutorul comutatorului redresorului, care nu este reprezentat în fig. 4.4. Sarcina s-a variat prin modificarea rezistenței redresorului cu cursor R, măsurându-se  $U_1$ ,  $I_1$ ,  $I_2$  și  $U_2$  sarc.

Cu ajutorul rezultatelor obținute, în fig. 6.5 și b s-au reprezentat caracteristicile exterioare  $U_{2sarc} = f(I_2)$ , iar în fig. 6.6 a și b s-au reprezentat caracteristicile interioare  $I_1 = f(I_2)$ ; la  $U_1 = ct$  și  $W_1 = ct$ .

În [5], [7], [27], [28] și [49] se prezintă numai caracteristicile exterioare ale dubloarelor de frecvență, numai caracteristicile exterioare ale dubloarelor de frecvență, dar nu se cunosc cele interioare  $I_1 = f(I_2)$ , care sunt prezentate în fig. 6.6 pentru prima dată, funcție de  $W_1$  și  $I_p$ .

Studiind caracteristicile prezentate în fig. 6.5 și fig. 6.6 precum și oscilogramele din fig. 6.7 se stabilesc următoarele concluzii:

1) în conformitate cu subcapitolele 3.3 și 4.31 s-a propus un program **FORTRAN** de calcul <sup>44</sup> cărimilor ce caracterizează regimul de sarcină al dublorului de frecvență Joly-Spatz.



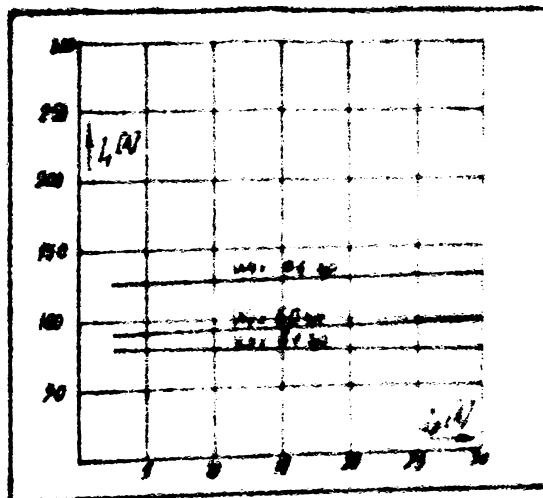
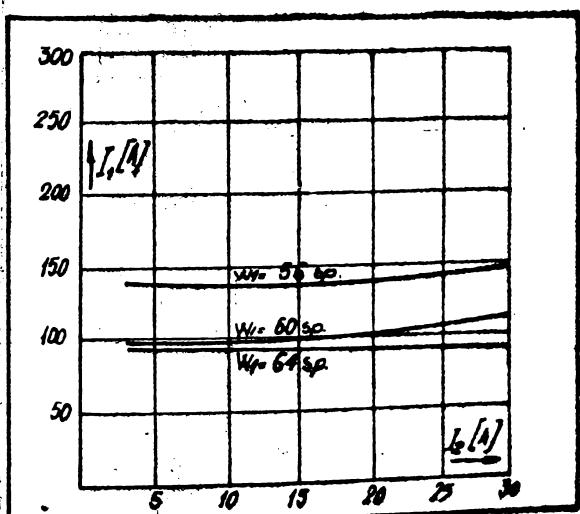
a.

b

Fig. 65 Caracteristicile exterioare  $U_{as} = f(I_a)$  ale dubloului de frecvență de  $5.6\text{kVA}, 220/180\text{V}$

a/  $I_p = 20\text{A}$

b/  $I_p = 15\text{A}$



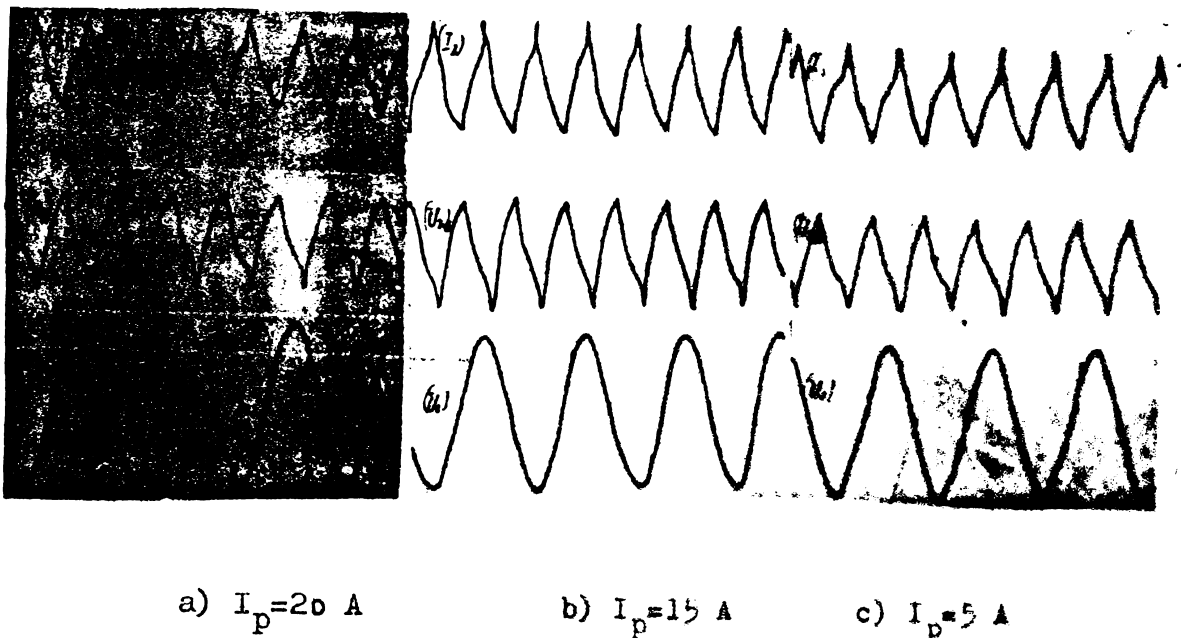
a.

b

Fig. 66 Caracteristicile interioare  $I_a = f_i$  ale dubloului de frecvență de Sem 5.6kVA, 220/180V

a/  $I_p = 20\text{A}$

b/  $I_p = 15\text{A}$



**Fig.6.7** Oscilogrammele tensiunii primare  $U_1$ , a tensiunii secundare  $U_2$  și a curentului secundar  $I_2$ , la dubluri de frecvență  $S_{2n} = 5,6 \text{ kVA}$ ;  $220/180 \text{ V}$ .

după care a fost efectuată proiecțarea acestuia în paragraful 4.3.2. Acum se confirmă, în urma studiului experimental efectuat, că acestea rămân valabile.

Astfel, la  $W_1 = 64 \text{ sp}$ ;  $S_{2n} = 5,6 \text{ kVA}$ ;  $U_1 = 220 \text{ V}$ ;  $U_2 = 180 \text{ V}$  și  $I_p = 20 \text{ A}$  s-a calculat că  $I_2 = 51 \text{ A}$  și  $I_1 = 90 \text{ A}$ , valori pe care le regăsim în fig.6.5 a, la  $w_1 = 64 \text{ sp/sec}$  și  $I_p = 20 \text{ A}$ , combinat cu fig.6.6 a.

2) caracteristicile exterioare reprezentate în fig.6.5 a și fig.6.5 b au un caracter dur, în sensul că la creșterea curentului  $I_2$ , crește și tensiunea de sarcină, întotdeauna faptului că prin compensare capacitive longitudinală, curentul  $I_2$  creează o solenătie, care se adună cu solenătia principală. Astfel încât fluxul total crește la creșterea curentului  $I_2$ . Este normal să se întâmple așa deoarece tensiunea  $U_2$  este defazată cu  $90^\circ$  în urma fluxului principal. La un curent capacitive  $I_2$ , defuzat cu  $90^\circ$  înaintea tensiunii  $U_2$ , se înțelege că solenătia

acestuia și deci fluxul creat de el, este în fază cu fluxul principal, producind creșterea acestuia și deci a tensiunii  $U_2$ , la creșterea lui  $I_2$ .

Dacă  $I_2$  ar fi inductiv ( $C_2=0$ ) deci în absență compensării capacitive longitudinale – atunci fluxul de reacție produs de  $I_2$ , după un raționament similar, ar diminua valoarea fluxului principal și  $U_2$  ar scădea la creșterea lui  $I_2$ ; dubloul ar prezenta o caracteristică exterioară moale, ceea ce nu se recomandă;

3) caracteristicile interioare  $I_1 = f(I_2)$ , reprezentate în fig. 6.6 a și b vin să confirme randamentul energetic ridicat al dubloului de frecvență realizat; se observă că la  $W_1=64$  spire, deși avem tensiunea  $U_2$  sarc coa mai mare la  $I_2 = I_{p2} = 31$  A, curentul  $I_1$  are cea mai mică valoare  $I_1=90$  A, față de  $I_1 = 108$  A la  $W_1 = 60$  spire și  $I_1 = 145$  A la  $W_1 = 56$  spire.

Acest lucru se explică prin faptul că la număr mic de spire în primar  $W_1$ , crește saturarea magnetică în curent alternativ a miezului și se absorbe mai mult curent de magnetizare  $I_1$  de la rețea, la  $I_2 = ?$ ;

4) dubloul de frecvență analizat prezintă caracteristica exterioară cea mai bună (are tensiunile  $U_2$  cele mai mari la anumiți  $I_2$ ), conform fig. 6.5 a, la  $W_1=64$  spire, decaree conform relațiilor (2-30); (2-31) și (2-32) aplicate în cazul nostru, acest lucru a rezultat din calculele efectuate cu ocazia proiectării dubloului de frecvență;

5) deformarea curbelor mărimilor de intrare ( $U_1$  și  $I_1$ ) și de ieșire ( $U_2$  și  $I_2$ ) este redusă. Dacă se dorește  $U_2$  cît mai apropiat de o sinusoidală, atunci se folosesc filtre dimensionate corespunzător pentru armonici superioare [7], [27], [28], [43], [49], [51], [62] și [63].

6) o mare influență asupra calității formei curbei tensiunii  $U_2$  îl are calitatea tensiunii  $U_p$ , care trebuie să prezinte o curbă cît mai apropiată de o paralelă cu axa timpului, adică nu redresor cu slabe calități de redresare ca formă a curbei tensiunii sale de ieșire nu se recomandă, decaree se formează curba tensiunii  $U_2$  a dubloului de frecvență alimentat cu  $I_p$ .

7) sistemul constructiv cu înălțări de preamplificare comună ambelor măsură inălțură apariția tensiunii alternative la bornele acestei înălțări și experimental s-a

confirmat acest lucru. Altfel ar fi trebuit să construim o bobină de soc, care să se inserieze cu  $U_p$  și înălțuirea  $W_p$  spire.

6.3. Cercetarea de laborator pentru verificarea algoritmului și programului de calcul propuse pentru triploarele de frecvență Spinelli.

Schela electrică utilizată la măsurători este reprezentată în fig.6-8 : pentru măsurările la funcționare în gol și în scurtcircuit între rețea și triplerul de frecvență se montează un autotransformator reglabil, care nu este figurat în schemă.

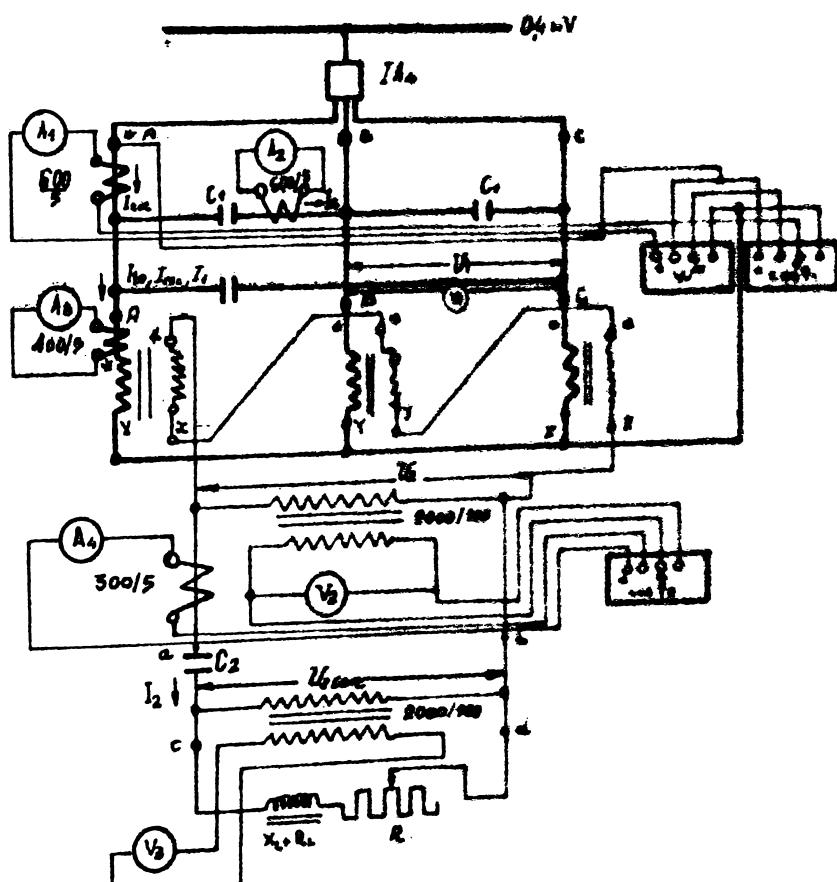


Fig.6.8 Schela electrică folosită la cercetarea caracteristicii în sarcină a triploarelor de frecvență tip Spinelli:  
a) la funcționarea în gol bornele a-b sunt libere;  
b) la funcționarea în scurtcircuit bornele a-b sunt scurtcircuitate.

6.3.1. Studiul experimental al funcționării în gol a triplorului de frecvență Spinelli  $B_{2m} = 200 \text{ kVA}$ ;  $3x220/400 \text{ V}$ .

Pentru studiul regimului de funcționare în gol s-a executat un montaj în conformitate cu schema din fig. 6.8, bornele a-b fiind libere. Cu ampermetrul  $A_3$  se măsoară curentul de funcționare în gol  $I_{10}$  al triplorului, cu voltmetrul  $V_1$  se măsoară tensiunea  $U_1$ , iar cu  $V_2$  se măsoară tensiunea secundară în gol,  $U_{20}$ .

Tensiunea  $U_1$  se variază cu un autotransformator trifazat cu ploturi, care nu este figurat în schema, iar inducția prin modificarea numărului de spire  $W_1$ .

Ca și la dubloul de frecvență, literatura de specialitate nu indică o reletie de calcul pentru curentul primar de mers în gol  $I_{10}$ , motiv pentru care măsurarea acestuia și reprezentarea sa grafică în fig. 6.10 funcție de inducția magnetică în miez  $B_{1m}$ , prezintă interes deosebit, fiind realizată pentru prima dată.

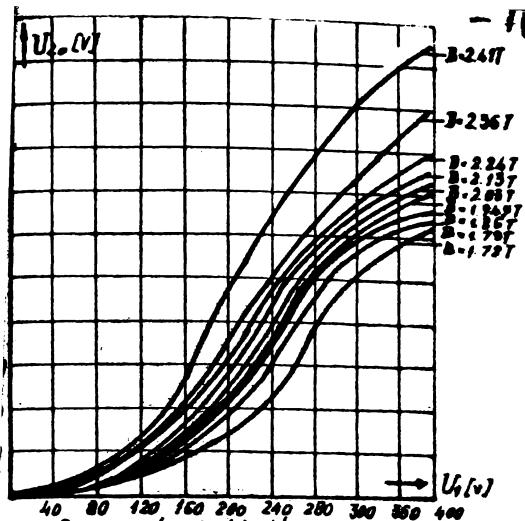
Caracteristicile de funcționare în gol  $U_{20}=f(U_1)$  pentru diferite valori ale inducției  $B_{1m}$  sunt redate în fig. 6.9 (1). În fig. 6.10, pe lîngă caracteristica  $I_{10} = f(B_{1m})$  este reprezentată și caracteristica  $U_{20} = f(B_{1m})$ , de asemenea pentru prima dată.

Studiul caracteristicilor din fig. 6.9 și fig. 6.10, valabile pentru triplorul analizat construit din tăblă ARMCO de 0,35 mm grosime, permite să se considere valabile următoarele concluzii :

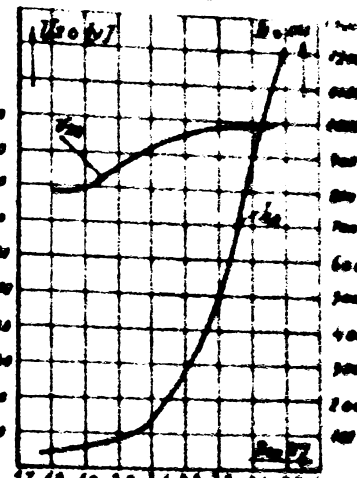
1) în absența compensării capacitive longitudinale (al cărei efect se explică similar celor menționate la dubloul de frecvență, prin creșterea fluxului total în miez la creșterea curentului  $I_2$  capacativ) tensiunea la funcționare în gol este mai mică decât la funcționare în dubluor de frecvență, mai mică decât la funcționare în dubloul de frecvență,  $B_{1m}=2,03 \text{ T}$  și  $U_{1f} = 220 \text{ V}$ , din curba 6.9 rezultă  $U_{20} = 590 \text{ V}$ , care este mai mică decât  $U_{20 \text{ func}} = 800 \text{ V}$  la  $I_2 = 250 \text{ A}$ , cum rezultă din fig. 6.25 la  $B_{1m} = 2,03 \text{ T}$ .

2) deoarece la  $B_{1m} = 2,03 \text{ T}$  adică  $W_1 = 22$  spire și rezultat  $U_{20} = 590 \text{ V}$ , înseamnă că formula (3-69) pentru calculul tensiunii secundare de funcționare în gol, propusă în Algoritmii de calcul cu valori adaptate pentru coeficientul  $\alpha_{22}$  se verifică și prin măsurători de laborator și deci poate fi folosită.

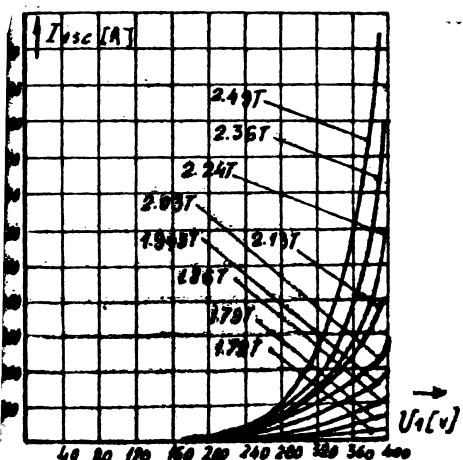
//.



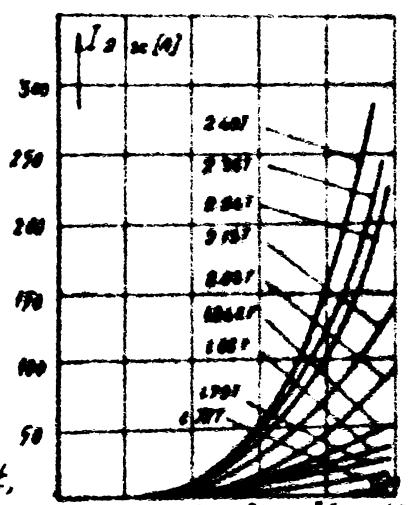
F16.6.9 Caracteristicile experimentale la functionarea în gal a triclorului de frecvență tip Spinelli  
S2n = 200 kVA; U2n = 800 V; I2n = 250 A; U1n = 400 V.



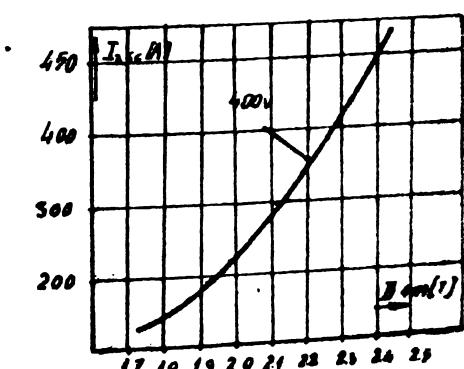
F16.6.10 Variația temperaturii de legătură și a curbei lui prin izagurarea primară în gal la functionarea în gal a triclorului tip Spinelli  
S2n = 200 kVA; U2n = 800 V; U1n = 400 V.



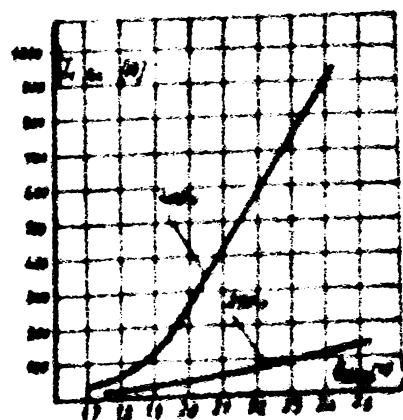
F16.6.11 Caracteristicile de scurtcircuit, I<sub>sc</sub> = f(U<sub>1</sub>), la diverse valori ale inducției magnetice în miez, pentru triclorul tip Spinelli  
S2n = 200 kVA; I2n = 250 A; U2n = 800 V; U1n = 400 V.



F16.6.12 Caracteristicile de scurtcircuit, I<sub>sc</sub> = f(U<sub>1</sub>), la diverse valori ale inducției magnetice în miez, pentru triclorul tip Spinelli  
S2n = 200 kVA; U2n = 800 V; I2n = 250 A; U1n = 400 V.



F16.6.13 Caracteristica de scurtcircuit, I<sub>sc</sub> = f(U<sub>1</sub>), a triclorului de frecvență tip Spinelli  
S2n = 200 kVA; U2n = 800 V; I2n = 250 A; U1n = 400 V.



F16.6.14 Caracteristica de scurtcircuit, I<sub>sc</sub> = f(U<sub>1</sub>), pînă la 40 A.

3) curentul de funcționare în gol  $I_{1c}$ , conform fig. 6.10 crește de patru ori, atunci cind inducția magnetică în miez  $B_{1m}$  crește de la 1,72 T la 2,49 T, în condițiile în care tensiunea la funcționare în gol  $U_{20}$ , conform aceleiași figuri, crește de la 640 V la 800 V;

4) deformarea curbei curentului absorbit de la rețea  $I_{tot}$  (măsurat în schema 6.8 cu ampermetrul  $A_1$ ) este foarte pronunțată la inducții în miez  $B_{1m} > 2,03$  T și ca urmare a faptului că acest curent are o pondere apreciabilă în curentul total al rețelei de 400 V și curba tensiunii acesteia  $U_1$  este puternic deformată, pentru inducții în miez  $B_{1m} > 2,03$  T, așa cum reiese din studiul oscilogramelor prezentate în fig. 6.15 a;

5) s-a constatat la măsurători că datorită deformării curbei tensiunii  $U_1$  conținutul de armonici superioare ale acesteia crește și drept urmare curentul  $I_c$  prin condensatoarele de compensare a factorului de putere  $C_1$ , măsurat în fig. 6.8 cu ampermetrul  $A_2$ , crește de 2 ori, dacă inducția crește de la  $B_{1m} = 1,72$  T (cind  $I_c = 400$  A) la  $B_{1m} = 2,49$  T (cind  $I_c = 810$  A), în condițiile în care  $U_1 = ct$ ;

6) compensarea capacativă a factorului de putere, realizată cu condensatoarele  $C_1$  face ca valoarea curentului total,  $I_{tot}$ , absorbit de la rețea, să fie mai mică decât valoarea curentului  $I_{1c}$  care circulă prin infășurările primare ale triplorului de frecvență, ceea ce face ca rețeaua să fie mai puțin solicitată.

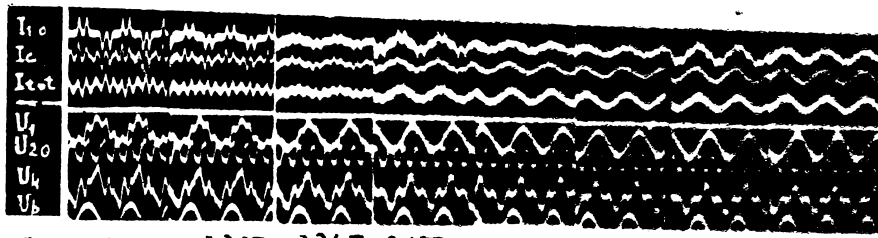
Se poate spune că studiul experimental al funcționării în gol a triplorului de frecvență Spinelli  $S_{2n}=200$  kVA scoase în evidență valabilitatea proiectului propus, doar că mărimile care caracterizează funcționarea în gol,  $U_{20}$  și  $I_{1c}$ , la  $B_{1m} = 2,03$  sint corespunzătoare cantitativ (ca valoare efectivă) și calitativ (ca formă a curbei lui  $U_{20}$  și a lui  $U_1$ ) și egale cu cele precalculate.

#### 6.3.2. Studiul experimental al funcționării în scurtcircuit a triplorului de frecvență Spinelli $S_{2n}=200$ kVA $3x220/800$ V.

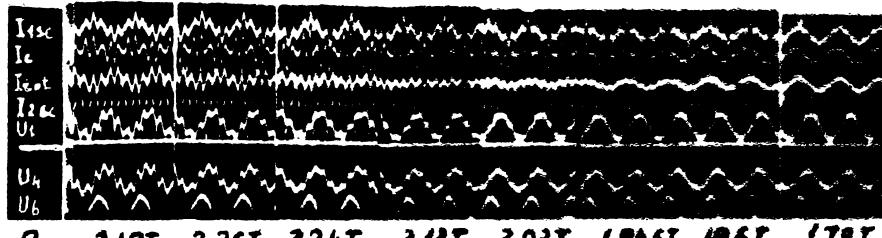
Studiul regimului de funcționare în scurtcircuit a fost efectuat folosind fig. 6.8 cu bognele a-b în scurtcircuit. Tensiunea  $U_1$  și inducția în miez  $B_{1m}$  se variază cu ... .

aceleasi mijloace ca la studiul functionarii in gol.

Rezultatele măsurătorilor lui  $I_{1sc}$ ,  $I_{2sc}$  și  $U_1$ , folosind aceleasi aparate ca la paragraful 6.3.1.



a)B 2.49T 2.36T 2.24T 2.13T 2.03T 1.94T 1.86T 1.78T  
Fig. 6.16 Triplor de frecvență Spinești 200KVA 3.400/800V  
a)funcționare în gol, b)funcționare în scurtcircuit.



b)B 2.49T 2.36T 2.24T 2.13T 2.03T 1.94T 1.86T 1.78T

sint redate sub forma următoare :

- 1) in fig.6.11 sint reprezentate caracteristicile  $I_{1sc} = f(U_1)$ ; la  $B_{lm} = ct$ ;
- 2) in fig.6.12 sint reprezentate caracteristicile  $I_{2sc} = f(U_1)$  la  $B_{lm} = ct$ ;
- 3) in fig.6.13 este reprezentata curba  $I_{2sc} = f(B_{lm})$ , la  $U_1 = 400$  V;
- 4) in fig.6.14 este reprezentata curba  $I_{1sc} = f(B_{lm})$ , la  $U_1 = 400$  V;

Deasemenea, in fig. 6.15 b sint redate oscilogramele principalelor mărimi electrice, care caracterizează funcționarea la scurtcircuit, pentru diferite valori ale inducției în miez,  $B_{lm}$ .

Analizind caracteristicile de scurtcircuit și oscilogramele in acest regim putem să stabilim următoarele :

1) algoritmul și programul de calcul propus in subparagrafale 3.3.3/5.3.1., unde pentru calculul curentilor de scurtcircuit  $I_{1sc}$  și  $I_{2sc}$  menționat formulele (3.3)-3.7, sint valabile, decarca folosind această formulă in subparagraful 6.3.2. am calculat folosind și relațiile (1-7) și (1-44),  $I_{1sc} = 280$  A și  $I_{2sc} = 96$  A, la  $U_{1f} = 220$  V,  $W_1 = 22$  spire ( $B_{lm} = 2,051$ ). Aceste valori su //.

fost găsite și prim măsurători directe, reiesind din analiza fig. 5.11 și fig. 5.12.

2) la scurtcircuit, triplorul de frecvență prezintă o reactanță internă mare, motiv pentru care curentul  $I_{2sc}$  la  $B_{lm} = 2,03$  T și  $U_1 = 400$  V are valoarea  $I_{2sc} = 96$  A, mult mai mică decât curentul nominal  $I_{2n} = 250$  A. Acest lucru se explică prin absența compensării capacitive longitudinale, cind curentul  $I_2$  are un caracter inductiv, ceea ce face ca tensiunea electromotoare la bornele triplorului să scadă mult și implicit curentul de scurtcircuit, ceea ce echivalează cu o reactanță internă mare;

3) curentul în infășurările primare  $I_{1sc}$  crește de circa 30 ori, cind inducția variază de la  $B_{lm} = 1,72$  T la  $B_{lm} = 2,49$  T;

4) deformarea curbei curentului absorbit de la rețea notat  $I_{total}$  și măsurat cu ampermetrul  $A_1$  în schema 6.8, este puternică la  $B_{lm} > 2,03$  T, așa cum reiese din fig. 6.15 b. Datorită faptului că  $I_{total}$  reprezintă un procent important al curentului total al rețelei de alimentare, deformarea lui conduce la deformarea curbei tensiunii rețelei  $U_1$ , fenomen evidențiat de oscilogramele din fig. 6.15 b;

5) deformarea curbei tensiunii  $U_1$  face ca la tensiuni  $U_1 = \text{constante}$ , dar la valori diferite ale lui  $B_{lm}$  să se constate valori diferite ale curentului  $I_c$  prin condensatoarele de compensare capacitive a factorului de putere  $\cos \varphi_1$ , fenomen constatat prin măsurări cu ampermetrul  $A_2$  din schema 6.8.

In concluzie, studiul experimental al regimului de scurtcircuit confirmă considerațiile teoretice prezentate în literatură și programul FORTRAN propus de autor, stabilindu-se în plus, pe cele grafice, influența induselor magnetice din miez asupra curentilor  $I_{1sc}$  și  $I_{2sc}$ .

#### 6.3.5. Studiul experimental al funcționării în sarcină a triplorului de frecvență și rezultatul:

$$S_{2n} = 200 \text{ kVA}; 3 \times 220/800 \text{ V.}$$

La funcționarea în sarcină a triplorului de frecvență se utilizează schema din fig. 6.8, așa cum este ea redată, deoarece nu mai sunt necesare elevările de valoare a tensiunii primare  $U_1$ .

Deoarece literatura tehnică de specialitate o consideră ineficientă, nu s-au efectuat studii privind //.

compensarea capacitive transversală [5], [7], [27], [28], [43], [49] și [63].

In literatură, [5], se afiră că prin compensare capacitive transversală nu se obțin caracteristicile exterioare dure și în același timp pot apărea fenomene transitorii nedorite, precum și autooscilația.

Se studiază comportarea triplerului de frecvență în regim de sarcină rezistivă, fără compensare capacitive longitudinală ( $C_2 = 0$ ) și în regim de sarcină capacitive-inductiv rezistivă cu compensare capacitive longitudinală ( $C_2 = 131 \cdot 10^{-6} F$ ).

Condensatoarele  $C_2$  sunt de fabricație F.C.M.E.București, cu următoarele caracteristici:

$$C = 210 \cdot 10^{-6} F;$$

$$Q = 16,5 \text{ kVAr};$$

$$U_n = 0,5 \text{ kV},$$

Sarcina variabilă se realizează cu ajutorul unui rezistor special, construit din sârmă de constantan, cu posibilitate de reglaj a rezistenței de la 1,25 ohmi la 100 ohmi, iar sarcina inductivă este constituită de o bobină de inducție cu miez de fier, cu următoarele caracteristici:

$$R_L = 92 \cdot 10^{-2} \text{ ohmi};$$

$$L = 955 \cdot 10^{-4} \text{ H};$$

S-au studiat caracteristicile interioare și exterioare, pentru  $B_{lm} = ct$ , la diverse valori ale lui  $W_1$ , realizare prezentată pentru prima dată în literatură.

S-a considerat util să se studieze influența inducției în miez  $B_{lm}$  asupra curentului  $I_1$  și grupa tensiunii în sarcină  $U_2$  sarc (în fig. 3.8. se evidențiază diferența între  $U_2$  și  $U_2$  sarc) și să se traseze curbele  $I_1 = f(B_{lm})$  și  $U_2$  sarc =  $f(B_{lm})$  la  $R = ct$ , lucru care deosemenea se prezintă pentru prima dată în literatură.

6.3.3.1. Sarcina triplorului de frecvență este rezistivă, fără compensare longitudinală ( $C_2 = 0$ ).

Pentru măsurători se poate folosi schema din fig. 6.8, adaptată în mod corespunzător, la care se suntează condensatorul  $C_2$ .

Variind rezistența rezistorului R se urmăresc la aparatele de măsură valorile mărimilor electrice următoare :  $I_1$  (se măsoară cu  $A_3$ ),  $I_2$  ( se măsoară cu  $A_4$ ),  $U_1$  ( se măsoară cu  $V_1$ ) și  $U_2$  sarc (se măsoară cu  $V_3$ ).

Tensiunea de fază a rețelei în timpul măsurătorilor se menține constantă  $U_{1f} = 220$  V.

Rezultatele obținute în urma măsurătorilor se utilizează la reprezentarea următoarelor caracteristici :

1) caracteristicile interioare  $I_1 = f(I_2)$  ;  
 $U_1 = ct$  ; în fig. 6.16;

2) caracteristicile exterioare  $U_2$  sarc =  $f(I_2)$  ;  
 $U_1 = ct$  ; fig. 6.18;

3) caracteristicile  $I_1 = f(B_{1m})$ ;  $R = t$ ; fig. 6.17;

4) caracteristicile  $U_2$  sarc =  $f(B_{1m})$ ;  $R = ct$ ; fig. 6.19.

În fig. 6.20, 6.21 și 6.22 sunt redate oscilogramele principalelor mărimi electrice la  $B_{1m} = 2,49$  T respectiv la  $B_{1m} = 2,03$  T și  $B_{1m} = 1,72$  T.

Din analiza caracteristicilor de funcționare și a oscilogramelor se pot stabili unele concluzii privind funcționarea triplorului de frecvență în regimul studiat :

1) analizând caracteristicile exterioare  $U_2$  sarc =  $f(I_2)$  se observă că sunt moi și la inducția de 2,03 T currentul  $I_{2\ max} = 60$  A, pentru care  $U_2 = 50$  V.

Se pot obține tensiuni  $U_2 = 500$  V la  $I_2 = 102$  A dar numai cînd  $B_{1m} = 2,49$  T, cu observația că și acești parametri diferă mult de cei nominali ( $U_{2n} = 800$  V și  $I_{2n} = 250$  A);

2) studiind forma curbelor  $I_1$ ,  $U_1$ ,  $U_2$  sarc și  $I_2$  la  $B_{1m} = 2,49$  T, în oscilogramele din fig. 6.20 se constată că ele prezintă deformări puternice, deci și din acest punct de vedere regimul fără compensare capacitive longitudinală nu permite.

//.

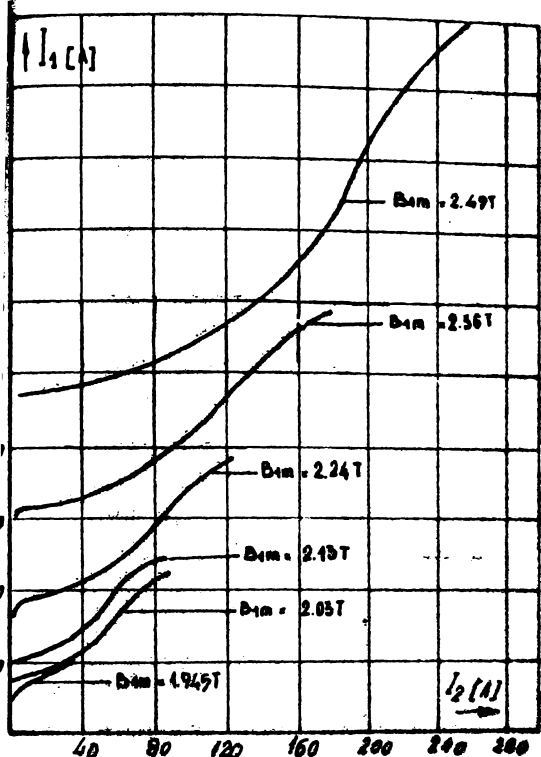


FIG. 16.16 Caracteristicile interioare,  $I_1 = f(f_1)$ , ale triplorului de frecventa tip Spinelli S3N-200x100 cu Bm = 2.36T, Ien = 250A; Uen = 400V. In regim de sarcina rezistiva fara compensare longitudinala ( $C_2 = 0$ ) avand inducția magnetica  $B_m$  drept parametru.

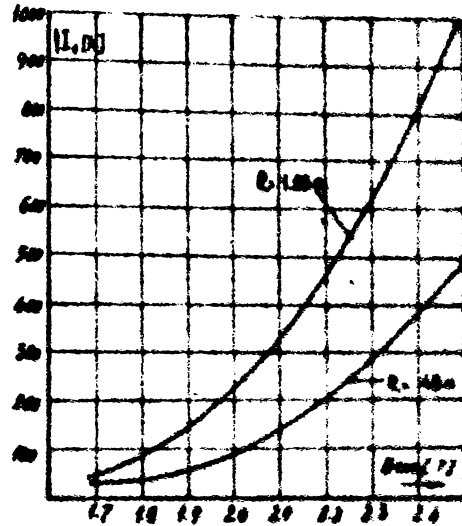


FIG. 16.17 Caracteristicile  $I_1 = f(f_1)$  ale triplorului de frecventa tip Spinelli S3N-200x100 cu Bm = 2.36T, Ien = 250A, Uen = 400V. In sarcina rezistiva fara compensare longitudinala ( $C_2 = 0$ ,  $R = 0$ ).

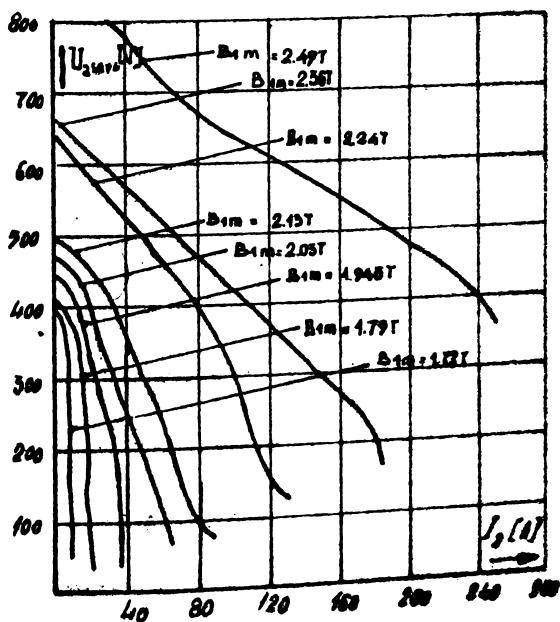


FIG. 16.18 Caracteristicile exterioare,  $U_{210} = f(f_1)$ , ale triplorului de frecventa tip Spinelli S3N-200x100 cu Bm = 2.36T, Ien = 250A, Uen = 400V. In sarcina rezistiva fara compensare longitudinala ( $C_2 = 0$ ,  $R = 0$ ).

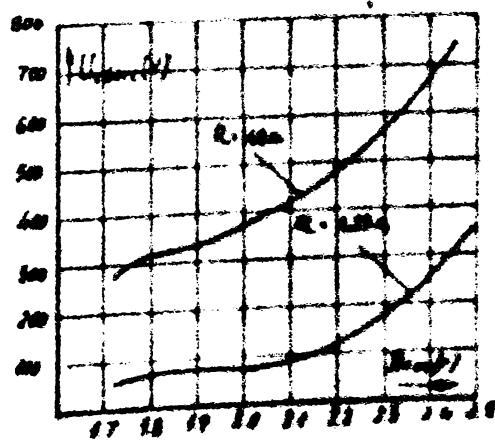


FIG. 16.19 Caracteristicile exterioare,  $I_2 = f(f_1)$ , ale triplorului de frecventa tip Spinelli S3N-200x100 cu Bm = 2.36T, Ien = 250A, Uen = 400V. In sarcina rezistiva fara compensare longitudinala ( $C_2 = 0$ ,  $R = 0$ ).

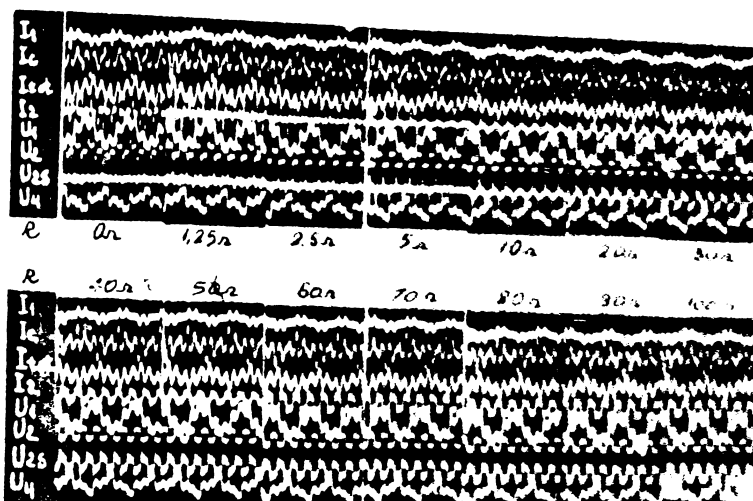


FIG 6.20 Funcionamiento en sincronización con el sonido  
Ludendorff 10 (C<sub>2</sub>=0.05) F1: 3100 ± 171 (1.1 ± 0.02) KHz  
Triptor Spine 100 200xV4; 3 = 400/0.002 s

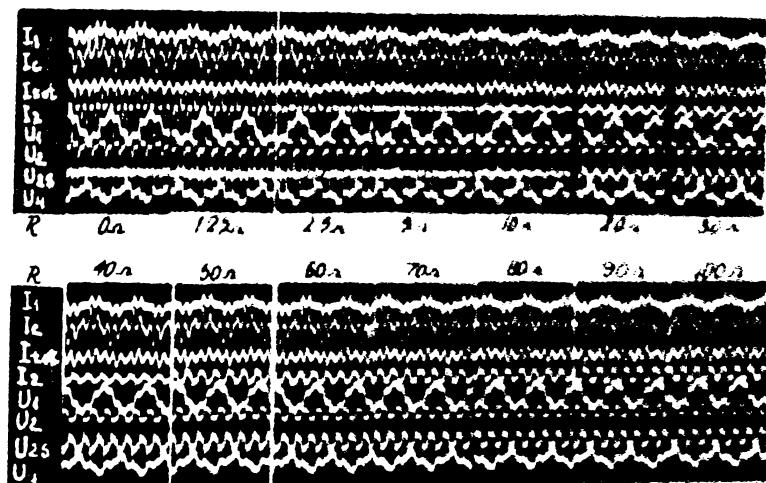


FIG 6.21 Triptor de frecuencia Spine 100xV4; 3 = 400/0.002 s  
Funcionamiento en sincronización con el sonido con una longitud constante (C<sub>2</sub>=0.05) F1: 2031 (1.1 ± 0.02) KHz

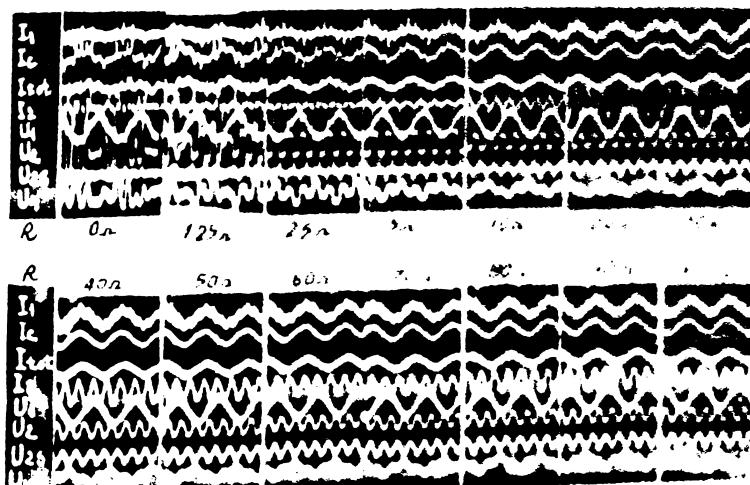


FIG 6.22 Triptor de frecuencia Spine 100xV4; 3 = 400/0.002 s  
Funcionamiento en sincronización con el sonido con una longitud constante (C<sub>2</sub>=0.05) F1: 1730 (1.1 ± 0.02) KHz

obținerea parametrilor proiectați;

3) regimul  $B_{lm} = 2,49 T$ , singurul care asigură  $U_2 = 500 V$ , nu poate fi folosit și din alt punct de vedere:  $I_2 = 182 A$  curentul primar  $I_1 = 730 A > I_{ln} = 300 A$ , deci se produce încălzirea excesivă a înfășurării primare. Acest lucru se poate observa în fig. 6.16.

In concluzie, regimul de funcționare în sarcină, fără compensare capacitive longitudinală ( $C_2 = 0$ ) este un regim care nu asigură parametrii proiectați:  $U_2 \text{ sarc} = 800 V$  și  $I_2 = 250 A$  și  $U_{lf} = 220 V$ , fiind din această cauză prohibit, studiul său efectuându-se numai pentru a scoate în relief influența compensării capacitive longitudinale în funcționarea triplorului de frecvență.

#### 6.3.3.2. Sarcina triplorului de frecvență este capacitive - inductiv - rezistiv ( $C_2 = 131 \cdot 10^{-6} F$ ).

Se folosește o schema similară celei din fig. 6.8, sarcina triplorului de frecvență în acest regim fiind un circuit serie RLC la care R este variabil:  $L = 955 \cdot 10^{-4} H$ ;  $R_L = 92 \cdot 10^{-4}$  ohmi;  $C_2 = 131 \cdot 10^{-6} F$ .

Menținând constantă tensiunea de alimentare  $U_{lf} = 220 V$  și variind curentul  $I_2$  în circuitul de ieșire al triplorului de frecvență, se pot determina caracteristicile de funcționare în sarcină ale acestuia.

Tensiunea  $U_1$  se măsoară cu voltmetrul  $V_1$  și curentul în înfășurarea primară a triplorului de frecvență  $I_1$  se măsoară cu ampermetrul  $A_3$ ; tensiunea  $U_2 \text{ sarc}$  se măsoară cu voltmetrul  $V_3$ ; curentul de sarcină  $I_2$  se măsoară cu ampermetrul A.

Acolo unde curentii și tensiunile depășesc scalele aparatelor și la triplorul de frecvență  $S_{2n} = 200 \text{ KVA}$  acest lucru se întimplă cu  $I_1$ ,  $I_2$  și  $U_2 \text{ sarc}$ , se folosesc transformatoare de intensitate respectiv de tensiune, avind rapoarte de transformare corespunzătoare.

Dacă pe ordonată se transpus valoile găsite pentru curentul  $I_1$ , iar în absență pentru curentul  $I_2$ , se obțin caracteristicile interioare  $I_1 = f(I_2)$ ;  $U_1 = f$ , reprezentate în fig. 6.23.

Pentru prima dată într-o lucrare se prezintă în fig. 6.24, caracteristicile  $I_1 = f(S_{1n})$  la  $R = 0$ , care au o //.

ură asemănătoare cu a caracteristicilor interioare, adică prezintă un minim care ne arată că pentru anumită intensitate, anumită sarcină  $R$  avem un curent minim  $I_1$  în înălțimea triplorului de frecvență.

Caracteristicile exterioare ale lui  $I_1$  sunt prezentate în fig.6.25, pentru ca în fig.6.26 să se vadă  $I_2 = f(B_{lm})$ , caracteristici deosebite menționate în literatură.

In fig.6.27, 6.28 și 6.29 sunt prezentate datele pentru mărimele electrice, care caracterizează anumită sarcină a triplorului de frecvență analizat:  $I_1$ ,  $I_2$ ,  $I_{2n}$  și  $U_{2 \text{ sarc}}$  a căror semnificație este conform cu ce urmărește.

In fig.6.28 oscilogramele au fost obținute pentru  $B_{lm} = 2,03 \text{ T}$ , adică la inducția de regim optim, și s-a efectuat toate calculele de proiectare folosind calculator.

Analizând toate aceste date, în afara diferențelor cu altele, se pot stabili concluziile corecte care se pot avea în proiectarea eficientă a triplorilor de frecvență, și:

1) caracteristica interioară este, în figura 6.23, arată că la  $I_{2n} = 250 \text{ A}$  corespunde  $I_{lm} = 250 \text{ A}$ , fiindu-se astfel valabilitatea valorilor adoptate în conformitate cu formula (3-37) propuse pentru calculul lui  $I_1$ . În figura 6.23 din paragraful 5.3.2. s-au calculat  $I_{2n} = 250 \text{ A}$  și  $I_{lm} = 250 \text{ A}$ . Aceea valoare pentru  $I_{lm}$  și  $I_{2n}$  confirmă valabilitatea calculului ORTRAN întocmit.

2) forma caracteristicilor interioare este, din formula (2-80) din care se observă că  $I_1$  din se intă înălțimea  $I_2$  prin intermediul unei serii de alte mărfuri electrice characteristic ale triplorului de frecvență cum ar fi: rezistență  $R_2$  sarcină, defazajul  $\varphi_2$  și defazajul  $\varphi_1$ .

Datorită acestor dependențe există o formă interioară a unui triplor de frecvență funcționând în modul capacitive - inductive - rezistivă, care caracterizează triplorul prezintă un minim la o anumită valoare  $I_2$ .

3) studiind caracteristica extinsă a lui  $I_1$  se observă că pentru  $B_{lm} = 2,03 \text{ T}$  și  $I_{2n} = 250 \text{ A}$  corespunde  $I_{lm} = 250 \text{ A}$  și  $U_{2 \text{ sarc}} = 800 \text{ V}$ . Se cunoaște faptul că în ceea ce

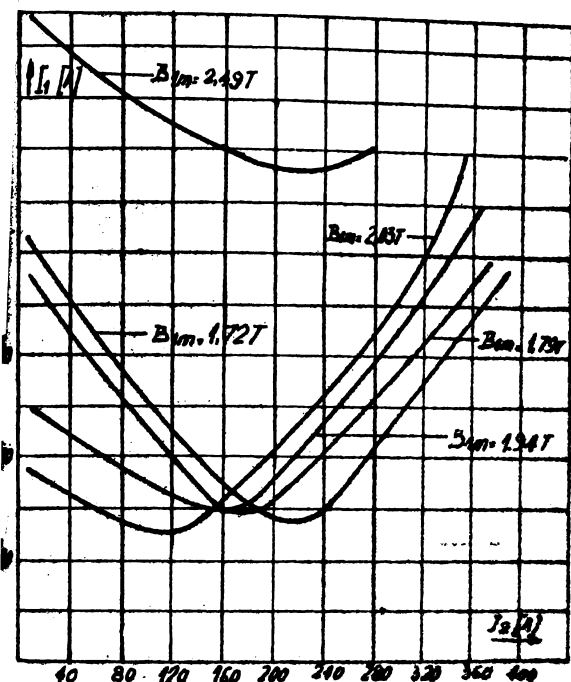


Fig 6.23. Caracteristicile interioare  
A:  $f_12$  ale triplorului de frâne.  
vento tip Spinelii idem  
fig. 6.19  $C_2 = 131.10^6 F$

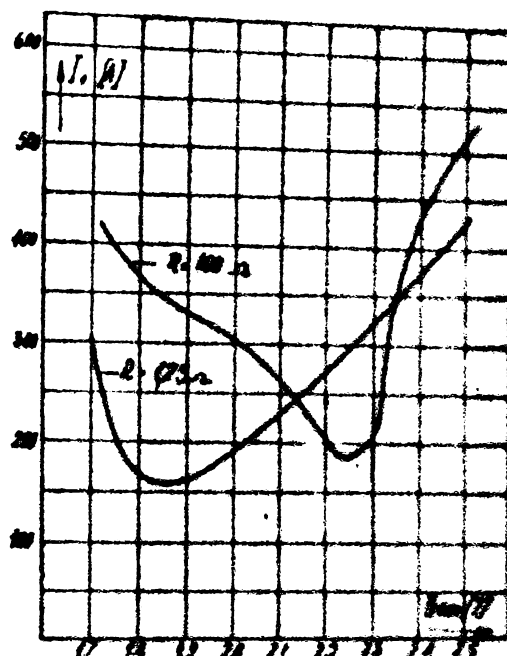


Fig 6.24 Caracteristicile interioare  
idem fig 6.19  $C_2 = 131.10^6 F$

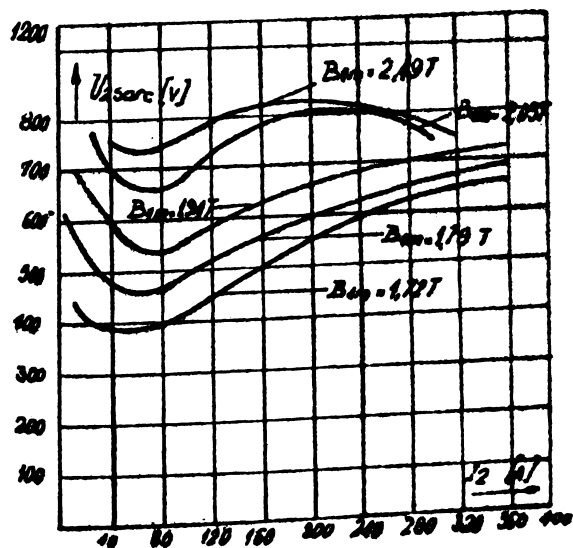


Fig 6.25 Caracteristicile exterioare  
 $U_{12}$  idem fig. 6.19  $C_2 = 131.10^6 F$

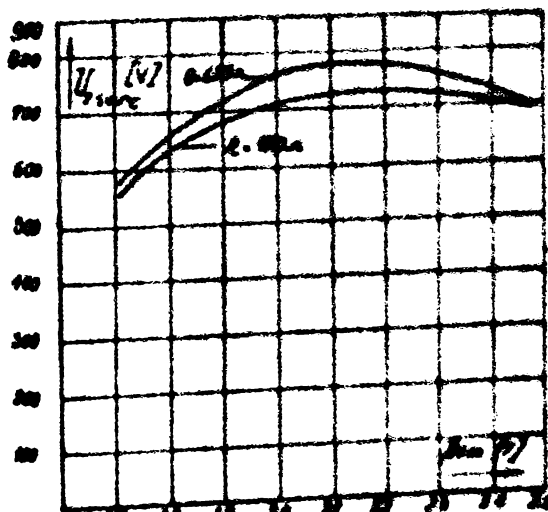


Fig 6.26 Caracteristicile exterioare  
idem fig 6.19  $C_2 = 131.10^6 F$

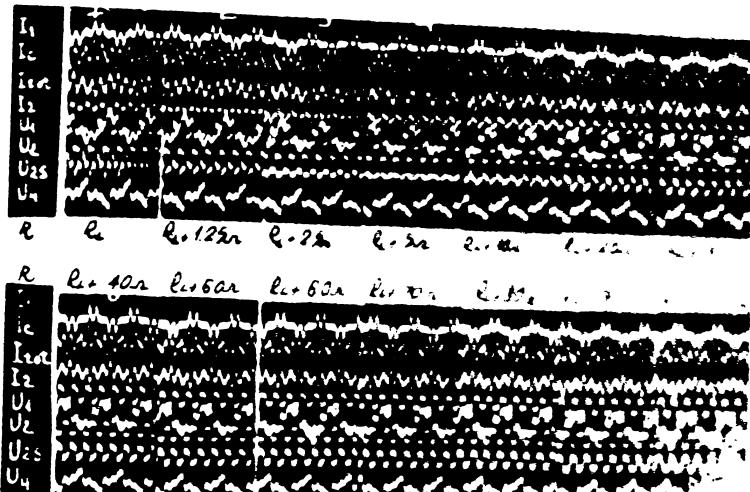


FIG. 6.27. Tripleto de frecuencia simple en fondo transversal  
en sonido coaxial.  $\lambda = 2.8 \text{ m}$ ,  $f = 10 \text{ Hz}$ ,  $\rho = 1.2 \text{ g/cm}^3$ ,  $C_s = 3100 \text{ m/s}$ ,  $\beta = 0.0002$ ,  $C_0 = 3100 \text{ m/s}$ ,  $\theta = 0^\circ$ .

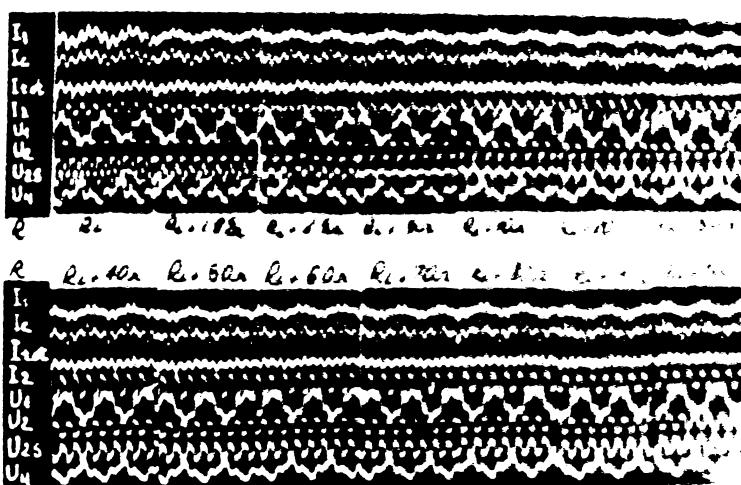


FIG. 6.28. Tripleto de frecuencia simple en fondo transversal  
en sonido coaxial.  $\lambda = 2.8 \text{ m}$ ,  $f = 10 \text{ Hz}$ ,  $\rho = 1.2 \text{ g/cm}^3$ ,  $C_s = 3100 \text{ m/s}$ ,  $\beta = 0.0002$ ,  $C_0 = 3100 \text{ m/s}$ ,  $\theta = 0^\circ$ .

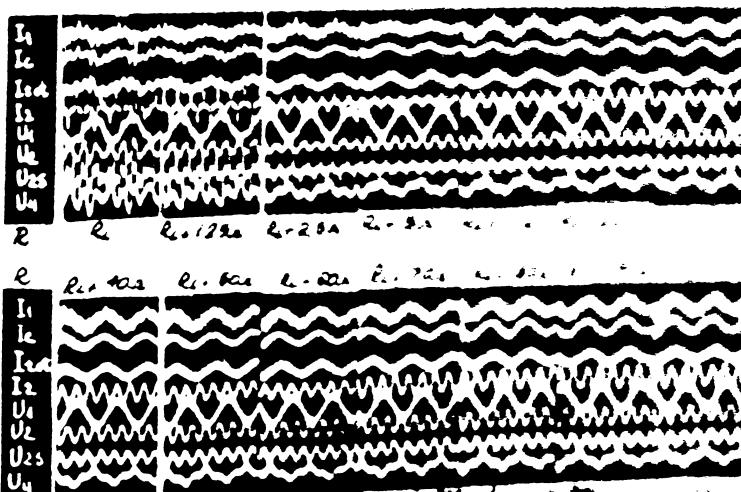


FIG. 6.29. Tripleto de frecuencia simple en fondo transversal  
en sonido coaxial.  $\lambda = 2.8 \text{ m}$ ,  $f = 10 \text{ Hz}$ ,  $\rho = 1.2 \text{ g/cm}^3$ ,  $C_s = 3100 \text{ m/s}$ ,  $\beta = 0.0002$ ,  $C_0 = 3100 \text{ m/s}$ ,  $\theta = 0^\circ$ .

de calcul propus, calculul din paragraful 5.3.2. are la bază aceste valori ale curentului și tensiunii nominale secundare al triplerului de frecvență.

Feptul că aceste valori se regăsesc prin studiu experimental confirmă valabilitatea considerațiilor teoretice care au stat la baza algoritmului și programului propuse de autor.

4) studiul caracteristicilor electrice din fig.6.25 ne arată că prin mărirea inducției ar fi posibil să obținem tensiuni  $U_2$  sarc mai mari la același curent  $I_2$ , dar acest lucru nu este permis din două puncte de vedere :

a) la creșterea inducției, curentul primar  $I_1$  crește foarte mult. Astfel din fig.6.25 se observă că la  $B_{1m} = 2,49 \text{ T}$  în condițiile în care  $I_2 = 250$ , tensiunea  $U_2$  sarc = 810 V, curentul  $I_1 = 490$ , depășind  $I_{1n} = 300 \text{ A}$ , ceea ce ar conduce la funcționarea triplerului de frecvență;

b) mărimile electrice caracteristice :  $I_1$ ,  $U_1$ ,  $B_{1m}$  și  $I_2$  sunt mult mai deformate la inducții mari, așa cum se observă prin comparația oscilogramelor din fig.6.27 și fig.6.28.

Se consideră și din acest punct de vedere că inducția  $B_{1m} = 2,03 \text{ T}$  asigură funcționarea optimă a triplerului Spinelli realizat din tolă ARICO cu 0,35 mm, deoarece studiul caracteristicilor interioare și exterioare ne arată că la inducții mari de  $B_{1m} = 2,03 \text{ T}$ , la curenti  $I_1$  comparabili se obțin tensiuni  $U_2$  sarc mai mici, la  $I_2 = \text{ct}$  ;

5) nu trebuie neglijat faptul că obținerea acelor performanțe a fost posibilă datorită folosirii compensării cuprinse și longitudinale, pentru că în lipsa compensării s-a văzut în subparagraful 6.3.3.1 că este imposibil să se realizeze parametrii proiectați ai triplerului studiat.

În [63] se demonstrează analitic și experimental că nu orice grad de compensare satisfacă condițiile de funcționare în regim optim a triplerului de frecvență Spinelli. Valoarea acceptată a coeficienților din formula (3-68) propusi în metodica pentru calculul condensatorului  $C_2$  asigură compensarea capacitivei longitudinale optimă.

6) dacă se impune o calitate deosebită a formei curbelor tensiunii  $U_2$  sarc și a curentului  $I_2$ , atunci noile curbe de tensiuni  $U_2$  sarc și a curentului  $I_2$  la inducții mai mici, cînd triplerul Spinelli se realizează la

tensiunile secundare  $U_2$  sarc au valori mai mici, la același curent  $I_2$ .

Dacă acest lucru nu este posibil, se ia în considerație utilizarea filtrelor de frecvență, [7], [26], [27], [28], [44], [49], [62] și [63].

Se desprinde deci concluzia că rezultatul obținut și confirmat de studiul experimental și conduce la rezultate care, după cunoștința autorului, nu au fost obținute cu nici una din metodale de calcul cunoscute din literatură.

#### 6.4. Triplorul $S_{2n} = 2$ KVA; $3x220/220$ V.

Condițiile de exploatare tehnică a transformatoarelor de tensiune cu izolație degresivă impun incercarea cu tensiune mărită indusă a cărei frecvență conform IE-116/73 poate fi și  $f = 150$  Hz.

Din aceste considerente, folosind formulele propuse în 1.3.4.2. s-a realizat un triplor de frecvență  $S_{2n} = 2$  KVA, ale cărui dimensiuni principale sunt redate în fig.5-1b - fig.5-3b.

S-a procedat la studiul experimental al acestuia, după metoda folosită la triplorul de frecvență  $S_{2n} = 200$  KVA, însă din motive de spațiu nu este redat acest studiu.

Și în acest caz s-a confirmat că relațiile de proiectare propuse pentru funcționarea în gol, în surteire și în sarcină sunt valabile, iar deformarea curbelor mărimilor electrice principale  $U_1$ ,  $I_1$ ,  $U_2$ ,  $I_2$  nu este apreciabilă.

#### 6.5. Probe pe viu efectuate în instalații cu transformatoare de frecvență $S_{2n} = 2$ KVA, respectiv $S_{2n} = 2$ KVA, realizate de către...

##### 6.5.1. Probe efectuate cu triplorul de frecvență de $S_{2n} = 200$ KVA; $I_{2m} = 250$ A; $U_{2n} = 800$ V;

##### 6.5.1.1. Incercarea transformatorului de 3150 KVA 15/6 KV din stația Rudi Nard.

Aceste probe au fost efectuate asupra unei transformatoare de 3150 KVA din stația Rudi Nard, montată în 1961, conform schemei de incercare din fig.5-30 b. Datează faptul că serviciile interne ale stației au putem elibera //.

triplorul de frecvență, s-a folosit un transformator de 1000 KVA 15/04 kV. alimentat prin cablul de 15 kV. al transformatorului încercat, de la bara de 15 kV. a stației.

Rezultatele măsurătorilor sunt redată în tabelul care urmează :

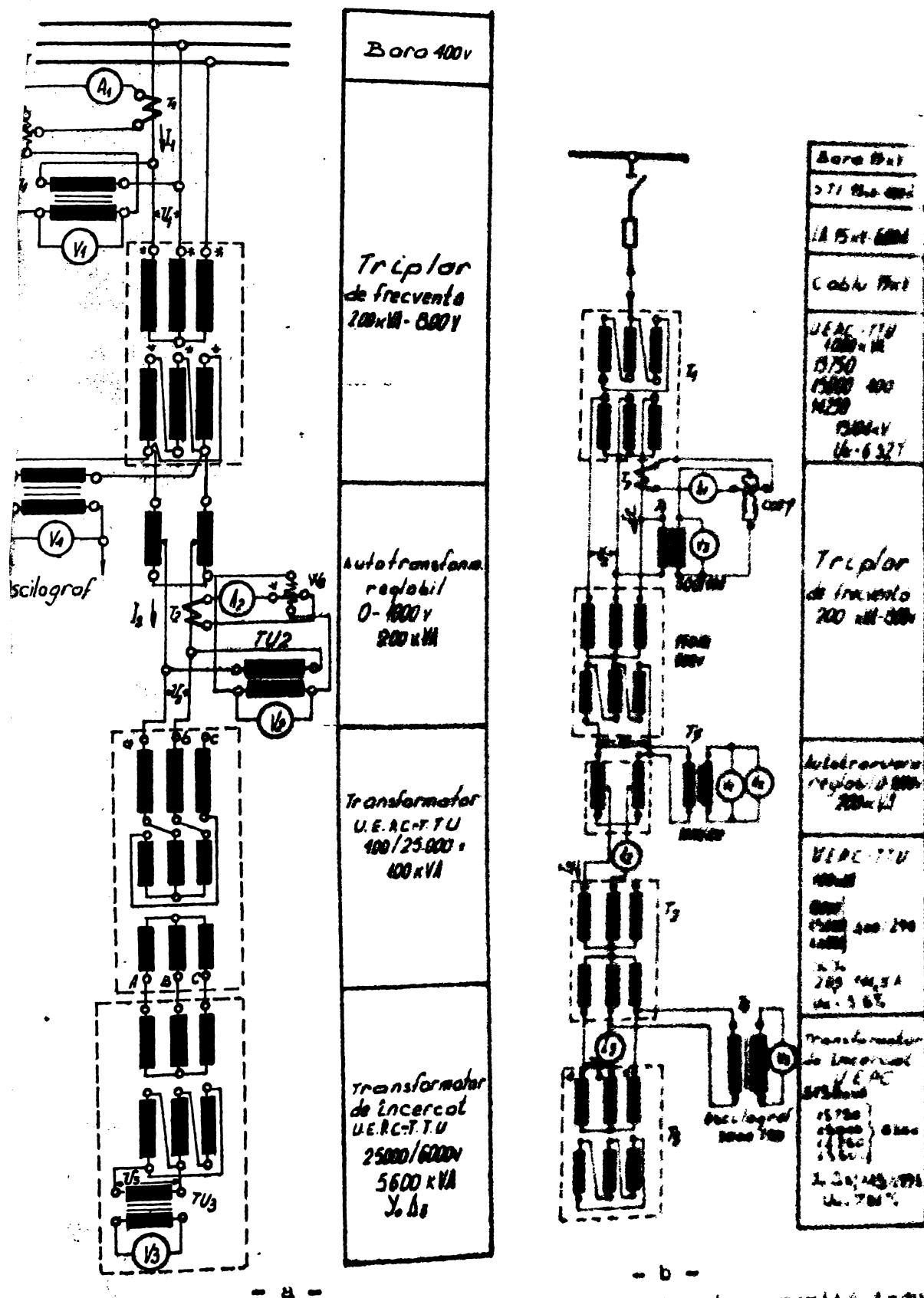
Mărimi măsurate	$I_1$ [A]	$I_2$ [A]	$U_1$ [V]	$U_2$ [V]	$U_3$ [V]
Faza pe care se aplică tensiunea					
A - B	1536	15	980	395	31500
A - C	1536	15	980	395	31500
B - C	1536	15	980	395	31500

S-a lucrat cu  $N_1 = 18$  spire. În acea perioadă Secția PRAM nu dispunea de condensatoare statice, astfel că nu s-a compensat  $\cos \varphi_1$  și nu s-a realizat nici compensarea capacitive longitudinală. Deoarece sarcina era mică față de  $S_{2n} = 200$  KVA proba s-a efectuat în bune condiții, obținind  $U_{încercare} = 31500$  V >  $2 U_n$  ( $2 \times 15000 = 30000$  V). S-a încercat două transformatoare de 3150 KVA.

#### 6.5.1.2. Încercarea transformatorului de 5,6 MVA 25/6 kV.

Acest transformator a fost reparat în cadrul Atelierului de mașini electrice Cimpina și trebuia încercat cu tensiune mărită indusă între spire, probă care nu se poate executa la frecvență industrială. S-a recurs la triplorul de frecvență  $S_{2n} = 200$  KVA aflat în funcție în acea perioadă, mai 1974. Încercarea a avut loc în conformitate cu fig. 6.30 a. Alimentarea schemei s-a făcut de la rețeaua de 400 V. Tensiunea de ieșire a triplorului de frecvență, înainte de a se aplica transformatorului ridicător de  $S_{2n} = 100$  KVA și 0,4/25 kV, s-a reglat cu ajutorul autotransformatorului reglabil de 200 KVA, 0 ÷ 1000 V.

Cu voltmetrul  $V_3$  s-a măsurat tensiunea  $U_3$  în secundarul transformatorului încercat prin intermediul  $TU_3$ , pentru a constata dacă s-a obținut o tensiune  $U_3 = 2 \times 5000 V = 12000$  V. //.



- a -

- b -

Fig. 6.30 Schema electrică de inșeiere cu tensiune sărită indu  
intre spire  $f = 150$  Hz, a transformatoarelor de putere  
a) transf.de 5,6 MVA incarcat la standul atelic al lui  
b) transf.de 3150 kVA incarcat in stația busuu ordi

Din tabelul de mai jos se constată că s-a obținut valoarea necesară, adică  $U_3 = 12.100 \text{ V} > 2U_{2n}$

Fig. 5.4 din prezenta lucrare reprezintă un aspect din timpul acestor probe.

Mărimi măsurate	$I_1 [\text{A}]$	$U_1 [\text{V}]$	$I_2 [\text{A}]$	$U_2 [\text{V}]$	$U_3 [\text{V}]$	$U_4 [\text{V}]$
Faza pe care se aplică tensiunea						
A - B	640	375	18	830	12100	560
A - C	640	375	18	830	12100	560
B - C	640	375	18	830	12100	560

Triplorul de frecvență s-a dovedit util pentru inceroarea întregii game de transformatoare de putere din Laboratorul de înaltă tensiune Câmpina al IRE Ploiești, de la 25 KVA la 5600 KVA, fiind utilizat din anul 1968. Atunci cind a fost necesar și au existat condiții (sursă de alimentare) s-au efectuat și probe pe teren, cum au fost ele descrise la 7.5.1.1.

Trebuie arătat că instalația s-a dovedit utilă la acea dată, 1968-1969; pe piață externă (West și East), la import, nu se oferea o asemenea instalație, așa cum a confirmat firma Tehnoimport București, cu adresa nr. 03049/18.I.1969 trimisă la IRE Ploiești, cu ocazia cercetării acestui aspect pentru a se constata caracterul de noutate.

Eficacitatea economică a utilizării instalației de încercare, calculată la prețuri 1968, a fost de 179.000 lei pe bucătă și un an.

Sursele de economii au constat în principal din următoarele :

- preț de cost scăzut față de un generator relativ similar;

- instalația nu necesită construcții speciale pentru montare, neavând părți în mișcare;

- se elimină cheltuielile suplimentare occasionale.

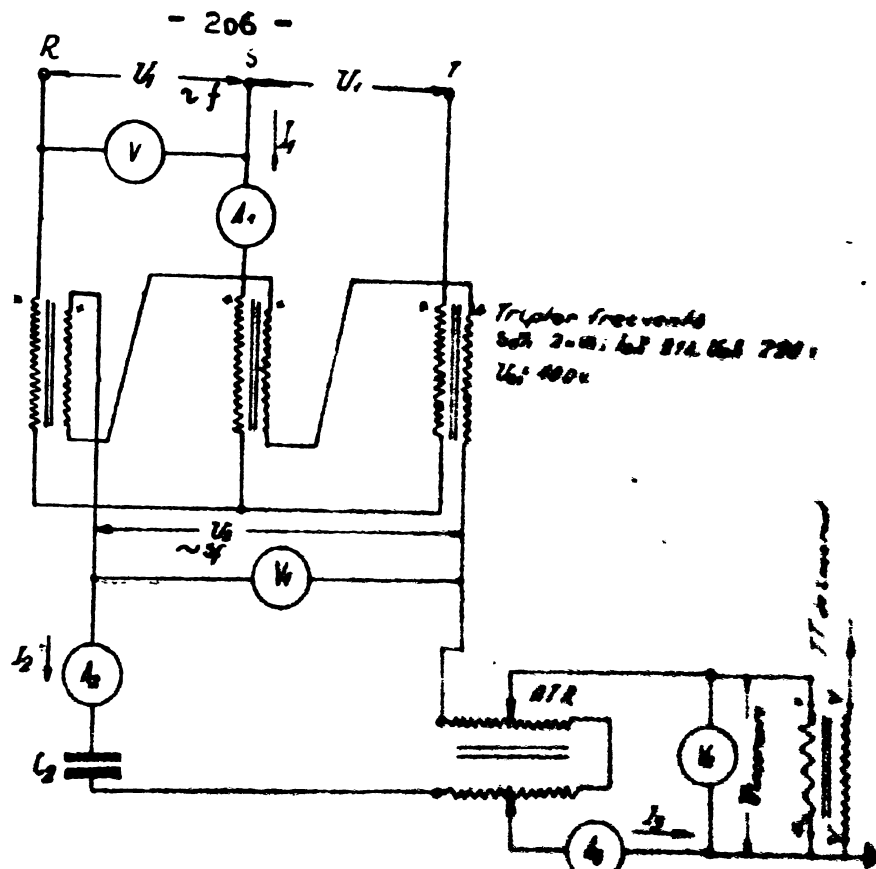


FIG. 6.31 Schema electrică de incarcare cu faze în legătură paralelă între emisori, tranzistori de tensiune 400V, transformator triplex de frecvență 400Hz.

TABL NR.61 Rezultatele incarcării conform schemei fig. 6.31

	TEMU 40/01 $\sqrt{3}/\sqrt{3}/01$ KV	TEMU $\frac{38}{\sqrt{3}}/\frac{0}{\sqrt{3}}/\frac{11}{\sqrt{3}}$ KV	TEBLU 25/01
	100/ $\sqrt{3}$ V	100 V	100 V
I <sub>H01</sub>	6,4	9,6	5,6
I <sub>200</sub>	4,6	4,7	4,6
I <sub>0(A)</sub>	17	9,2	12
I <sub>2(emb)</sub>	119	200	76
U <sub>2(CU)</sub>	240	260	252

de încercarea cu alte mijloace din afara întreprinderii.

6.5.2. Probe efectuate cu triplorul de frecvență

$$S_{2n} = 2 \text{ KVA}; I_{2n} = 9,1 \text{ A}; U_{2n} = 220 \text{ V.}$$

După cum s-a arătat acest triplor de frecvență a fost conceput pentru a fi folosit la încercarea cu tensiune indușă între spire a transformatoarelor de tensiune în gama 6 - 110 kV.

Schema folosită pentru încercare este reprezentată în fig. 5.31. Se alimentează triplorul de la rețeaua de  $3x400/220$  V, iar circuitul său de ieșire este cuplat la un autotransformator reglabil,  $C_2 = 100 \cdot 10^{-6}$  F. Fig. 5.5 redă un aspect din timpul acestor probe.

S-au efectuat măsurători pentru trei tipuri de transformatoare de tensiune, aplicindu-se tensiunea de încercare în conformitate cu IE-116/73 elaborat și aprobat de M.E.H. Rezultatele măsurătorilor sunt redăte în tabelul 6.1.

După cum se observă, triplorul este corect punzător pentru întreaga gamă de transformatoare, curentul  $I_2$  în 150 Hz. nedepășind 4,7 A la TSMU = 110, deși triplorul are  $I_{2n} = 9,1$  A.

Datorită greutății sale reduse, un reactor saturat căntărește sub 25 kg., triplorul este util echipelor PRAM, care îl pot ușor manevra la încercările din stațiile de transformare, ocazionate de punerile în funcție sau la încercările din Laborator.

CAPITOLUL VI  
CONCLUZII FINALE

Teza abordează problema teoriei, construcției și optimizării multiplicatoarelor de frecvență statică de tip electrostatic, prin utilizarea calculatorului numeric.

Să tratează cele mai răspândite dintre acestea, dublourile și triploarele de frecvență.

Dеоареес fiscare capitol are în introducere prezentarea principalelor probleme pe care le tratează, în ceea ce urmărește și insistă numai asupra acelor aspecte care constituie contribuții în rezolvarea problemelor mai importante ce s-au evidențiat pe parcursul tezei :

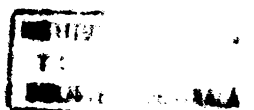
7.1. Prin întrebunțarea formulelor din literatură și căror coeficienți variabili au fost adaptati pentru cazul special de confectionare a miezului magnetic din told ARMCO de 0,35 mm, autorul a realizat în scopuri industriale, pentru prima dată în R.S.R., un tripler de frecvență Spinelli  $S_{2n} = 200 \text{ kVA}$ ;  $U_{1f} = 220 \text{ V}$ ;  $U_2 = 800 \text{ V}$ , prezentat în secția luorare, la cărui proiectare optimă se propune utilizarea calculatorului electronic numeric.

S-a realizat de asemenea : triplerul de frecvență autotransformatoric de 80 kVA, triplerul de frecvență  $S_{2n} = 2 \text{ kVA}$  și dubloul de frecvență Joly-Epstein  $S_{2n} = 5,6 \text{ kVA}$ , pentru care s-a propus, deasemenea, utilizarea calculatorului electronic numeric în vederea optimizării ;

7.2 Utilizând relațiile de calcul indicate în literatură autorul a elaborat algoritmul de calcul pentru întocmirea schemei logice și a programului de optimizare a multiplicatoarelor de frecvență, în sprijină a dubloarelor de frecvență Joly-Epstein în gama de puteri  $S_{2n} = 4 + 20 \text{ kVA}$ ;  $U_1 = 220 \text{ V}$ . și  $U_2 = 150 \text{ V}$ , precum și a triploarelor de frecvență Spinelli  $S_{2n} = 150 + 300 \text{ kVA}$ .

$U_1 = 220 \text{ V}$ ;  $U_2 = 800 \text{ V}$ ;

7.3. Pe lângă de la algoritmul elaborat, în capitolul 3 se expune programul principal de calcul, programul și, prezentat în detaliu în paragraful 3.4.1, care permite ca problemele multiplicatoarelor de frecvență să se trateze unitar.



7.4. În capitolul patru autorul, utilizând calculul numeric, realizează un calcul de optimizare a dubloului de frecvență Joly-Epstein. Se calculează 110 variante de dubluri de frecvență, după cum reiese din program – segmentul B – și din schema logică, optimizate din punct de vedere al pierderilor și răntimentului, la o încălzire a înfășurărilor și a miezului, care se încadrează în norme ;

7.5. În capitolul IV se demonstrează prin calculul comparativ că datorită realizării miezului dubloului de frecvență Joly-Epstein din tola ARMO de 0,35 mm, valurile coeficienților, din formulele de calcul indicate în literatură trebuie să fie adaptate în mod corespunzător.

Rezultatele cercetării caracteristicilor de funcționare în gol, în scurtcircuit și în sarcină vin să confirme valabilitatea acestei adaptări, aşa cum se demonstrează în capitolul 6;

7.6. Utilizarea calculului numeric permite obținerea unei multitudini de variante de dublare de frecvență Joly-Epstein, ceea ce face posibil să se trameze pentru prima dată, ca o contribuție, caracteristicile :

$\eta = f(B_{1m})$ ;  $Z = f(S_2)$ ;  $\Delta P_{Cu} = f(B_{1m})$ ;  $\Delta P_{Fe} = f(B_{1m})$  și  $\sum \Delta P_{Fe}(B_{1m})$ , care dau o imagine mai cuprinzătoare asupra performanțelor acestora, într-o anumită gamă de inducție și de puteri de ieșire, la densități de curent variabile, putind fi utilizate în cercetare și proiectare ;

7.7. În capitolul cinci prin utilizarea calculatorului numeric s-a calculat 160 variante de triploul de frecvență numeric, optimizate la punct de vedere al pierderilor și răntimentului.

Prin schema logică și programul de calcul propuse de autor – segmentul C – se permite realizarea optimizării cercetării de către autor.

7.8. În paragraful 5.3.2. se demonstrează de către autor neobișnuită adaptării valorii coeficienților formulelor din literatură, atunci când miezul triplerului de frecvență Spinelli se realizează din tola ARMO de 0,35 mm.

Cercetarea de laborator efectuată de autor și prezentată în subcapitolul 6.3, confirmă necesitatea adaptării valorii coeficienților formulelor indicate în literatură, expusă în paragraful 5.3.2.

7.9. Ca și la dubloul de frecvență Joly-duplex, și contribuția autorului se prezintă și pentru triplorul de <sup>Spinelli, Serebryak</sup> frecvență caracteristicile :

$\gamma = f(B_{1m})$ ;  $\gamma = f(S_2)$ ;  $\Delta P_{Cu} = f(B_{1m})$ ;  $\Delta P_{Fe} = f(B_{1m}) + i \sum f(B_i)$  care deasemenea pot fi utilizate în cirecțare și proiectare.

7.10. Rezultatelor cercetărilor de laborator efectuate de autor și prezentate în capitolul 6, pe lîngă faptul că au confirmat justitatea adaptării valorii coeficienților formulelor de calcul din literatură în cazul realizării multiplicatoarelor respective din tăbă AHMCO de 0,35 mm, reprezentă un suport pentru o serie întreagă de alte susțineri din cadrul tezei : alegerea valorii inducției optime  $B_{1m}$ , alegerea valorii optime a capacitatății condensatorului  $C_2$ .

Cercetarea de laborator a permis deasemenea să se prezinte caracteristicile :

$I_{10} = f(B_{1m})$ ;  $I_1 = f(B_m)$ ;  $U_{20} = f(B_{1m})$ ;  $I_1 = f(L_2)$ ;  $U_2 = f(I_2)$  și altele, studiindu-se influența gradului de compensare și natura sarcinii secundare asupra funcționării dublurilor și triplelor de frecvență.

Studiul efectuat în prezentă lucrare asupra folosirii <sup>unei</sup> armonicoi a transformatorului în scopul treapăterului de putere, cu aplicații importante la dublurile și tripleurile de frecvență, cercetate de autor prin metoda calculului numeric și studiul pe modele, atestă eficiența investigării în continuare a problemei, pentru introducerea pe scară largă a noastrelor în procesele industriale din țara noastră, zelind posibilitățile pe care le va oferi producția națională de table electro-tehnice laminat la recă.

B I B L I O G R A F I E

1. Andronescu Pl. Bazele electrotehnicii. Ed.Didactica și Pedagogică. București - 1974.
2. Abraham L. și Neuman K. Kompenzations wandler zur Präzisionmessung hoher Gleichströme ETZ, vol.80, part. Anr. 18 sept. 1959 pag. 629 - 632.
3. Angot A. Complemente de matematici pentru inginerii din electrotehnica și din telecomunicații. Ed.Tehnică - 1965.
4. Antoniu I.S. Cărți speciale de electrotehnica. Ed.Academiei RP, București - 1956.
5. Bamdas A.M. Staticeskie elektromagnitnie preobrazovateli ciastotli i cisia faz. Gosudarstvennoe izdatelstvo - Moscova - 1961.
6. Bamdas AM, Sapiro VS Moșčinii satticeskii utroitele ciastotli dlja svarki. "Electropromščenost" TIKI electroprom - 1963, 10.
7. Bamdas AM, colectiv Feromagnitnie umnojitelni ciastotli. Energia Moskva - 1968.
8. Beji Bzabo Derso Sovremennoe sostoianie promyslenogo ispolizovaniya inducionogo nagreva. Electrowärme - 1963 , 21 nr. 5.
9. Bessonov L.A. Analiz tiggevogo efekta utroitele ciastod Electromechanica - 1959 - nr.1.
10. Bessonov L.A. Avtokolebania v elektriceskikh ćepiakh so staliu. Gosenergozdat - 1958.
11. Biringer P.P. The Triductor. Communication and electronics November 1956. pag. 590 - 594.
12. Biringer P.P. The voltage stability of the synchronous generator with a harmonic type voltage regulator. Departament Electricol Engineering University of Torante Canada.
13. Biringer P.P. The triductor. Trans-American Institut Electrical Engineering, 1956, v 75 pt.I.
14. Blake L.R. The Double 3 phase Rectifier with Interphase Reactor excited form a Frequency Tripler Proc. IEEE - 1959 v.100 pt.II.
15. Blake L.R. The Frequency Tripller Proc. Inst. of El. Eng London 1953 v.100 pt.II.
16. Von Bronk O US Patent No 1678.695.
17. Bruderlink M Modelversuche an statischen Frequenzverdrehern mit verschiedenen Kerabauarten. ETZ - A, 1962 nr.1 Bd.83.

18. Bruderlink M  
Experimentalle und theoretische,Untersuchung  
der statischen Frequenztransformation von  
50 auf 150 Hz Forschungsber. Zandes  
Wordrhein-Westfalen, 1962 nr.1095.
19. Builcer G.  
Rosental H.S.  
Astatic 150 Cycle Generator.Inst.Bng.  
Australia, 1957 nr.3 29.
20. Comşa D.  
Contribuții teoretice și experimentale la  
multiplicarea statică a frecvenței. Teză  
doctorat I.P.Timisoara - 1972 .
21. Dhalgren F.,  
colectiv.  
Static Frequency Transformers for Small  
Electric Motors Stockholm 1951. Teknika  
Hogscolans Handlinger nr.47.
22. Dordea Toma  
Mașini electrice vol.I. I.P.Timisoara-1967.
23. Galocikin N.A.  
Haracter Kolebanii v feromagnitnom utroitel  
ciastoti s emkostiu i maloi aktivnoi  
nagruzkoj vo vtoricinoi t̄pi.Sb.trudov IBI  
imeni V.I.Lenin 1959 vip.9.
24. Galocikin N.A.  
Necotorie sposobi ulucišenia vnešnih karac-  
teristic feromagnitnih umnojitelii ciastoti.  
IEI Lenin - 1962 vip.10.
25. Gisel H.  
Statische Frequenzverdreibaher und ihre  
Anwendung fur das induktive Erwärmen,  
Electrowarze - 1962 2 nr.12
26. Geiger A.A.  
Schemi magnitnih usilitelia.Gosenergoisdat  
1954.
27. Geiger V.A.  
Dispozitive magnetice nelineare. Ed.Tehnică  
Bucureşti - 1968.
28. Gheorghiu I.S.  
Fransua A.  
Tratat de mașini electrice-transformatoare.  
Vol.III Ed.Academiei - 1970.
29. Gerber N.W  
Verfahren und Errichtung zur Beeinflussung  
eines magnetischen Pulses.Brevet elvețian  
emis la 1 dec.1950 (inregistrat la 10.II.1959
30. Jezierschi E,  
colectiv  
Transformatoare electrice.Ed.Tehnică -  
Bucureşti - 1966.
31. Kalbskopf W  
Patent german nr.916781.
32. Kliukin A.F.  
Staticskie utroiteli ciastoti teka dlia  
pitania obmotok elekromagnita betratenia.  
Electromechanica 1959 nr.7
33. Kolbe E.Riss J  
Razvitiye induktionogo i dielectriceskogo  
nagreva, Téhnika 1963 18 nr.2.
34. Kornei O  
Multi-channel, Flux Responsive Magnetic  
Reproducer Head Unit.Brevet SUA 2704789  
22 martie 1955.
35. Kramer W.  
Frequency Multiplier. Brevet SUA 266178  
emis la 12.I.1954 (inregistrat la 7.X.1950)
36. Kramer W  
Prufung des Gleichstromwandlers und seine  
Fehlerkompenstation.AKG Mitteilungen nr.5  
1939 pag.265-276.
37. Lethen R  
Die Bedeutung der statischen Frequenzum-  
formung für die induktive Erwärmung.  
Electrowarze 1961 19 nr.1.

39. Manikin E.A. Utroitelci astotii dlja kompenzatsii pika vnešnej harakteristiki v ruchno-vipriamitelnih ustanovkah "Vestnik elektroprivigatelnosti" 1948 nr.2.
39. Marks W.E. Static Generator of Tripled Frequency. El Times 1961, 1940 nr.5.
40. Martens P. Statische Verdreifacher zur Umformung von 50 Hz. Dreistrom in 150 Hz.Zweiphasestrom ETZ - 1965 A 86 nr.15.
41. Martens P. Statische Frequenzumformung von 50 Hz. Drehstrom auf 150 Hz. ETZ A 83 nr.16 pag.523-527.
42. Mihailov- Mikulinschi M.S. Tihomirov P.M. Utroitelci astotii dlja pitanija electrodvigatelei, electropromislenosti , 1958.
43. Mitrea S. Contribuții la sinteza multiplicatoarelor de frecvență magnetice statice. Resumat teză doctorat. Iași 1971.
44. Mitrea S. Contribuții la sinteza multiplicatoarelor de frecvență magnetice statice. Teză doctorat - Iași 1971.
45. Mc.Murray William Magnetic Frequency Multipliers and Their Rating. Comunication and electronics Septembr 1956 pag.384-390.
46. Novac Ion Mașini electrice. Institutul Politehnic Timișoara 1969.
47. Petrov I.V. K voprosu pitanija electrodvigatelei ot staticeskogo utroitelija ciastotii. Izvestia Tomskogo Politehnicheskogo Instituta imeni S.M.Kirov tom 115, 1960.
48. Petrov I.V. Samovozbujdenie asinhronih dvigatelej pitajuscimisja ot staticeskogo utroitelija ciastotii. Izvestia Tomskogo Politehnicheskogo Instituta, Tom 117 - 1963.
49. Rojankil L. Staticeskie electromagnitnije preobrazovateli ciastotii. Gosenergoizdat - 1959.
50. Rudnev V. Probleme de matematici speciale. Ed.Didactică și pedagogică - București 1970.
51. Savin Ghe. Rosman H. Circuite electrice nelineare și parametri. Ed.Tehnică - 1973.
52. Schroeder J. Drehstrom Triductor zur Speisung von Asynchronmaschinen. ETZ A 1962 63 nr.15.
53. Schroede New Improved 180 Cycl Induction Power Source Developed. Austr. Machinery and Product Engineering 1963 16 174.
54. Screenivasan T.V. Astatic Magnetic Triple Frequency Convert El Times vol.129 May 1956 p. 373.
55. Smirnov V.I. Curs de matematici superioare. Vol.III partea II-a Ed.Tehnică-București - 1955.

56. Soloviev V.V. Primenenie electromaagnitnih utreitelei ciastotf dlja indukcionogo nagрева, TITEIN tesa 7 nr.61-133/8 vip.8 1961.
57. Schurch G.E. Magnetic Tape Oscilograph for Power System Analysis. Electrical Engineering vol.70 nr.11, noembarie 1951.
58. Tir L.L. Transformatori dlja ustanovaek inductio-nogo nagрева promislennoi ciastoti. Gosenergoizdat 1961.
59. Tudorache N. Sursă statică de frecvență mărită. Inova-tie IRB Ploiești. Certificat de inovație nr.001/l.07.1969.
60. Tudorache N. Utilizare a armonicilor de ordin trei din transformatoare. Lucrare pentru sesiunea ICPB - 1970.
61. Tudorache N. Armonice de ordin trei în transforma-toare. Lucrare prezentată la sesiunea tehnico-stiințifică a IRB Ploiești - oct.1973.
62. Tudorache N. Teoria funcționării tripolarelor și dubloarelor de frecvență statică, de tip electromagnetic. Referat doctorantură. I.P. Timișoara - Catedra utilizări și mașini electrice. Timișoara dec.1973.
63. Tudorache N. Analiza proiectării optimale a triplo-rului de frecvență statică de tip elec-tromagnetic . Referat doctorantură IP Timișoara - Catedra utilizări și mașini electrice. Timișoara - dec.1974.
64. Tudorache N. Instalații mobile pentru incarcarea cu tensiune mărită între sârmă și turn. Armatorelelor de tensiune inductiv fiind de 0 - 110 KV. "Probleme actuale ale energeticii românești" (Conferință -Energeticienilor din România) secțiunea I. Rechipamentul și utilizarea energiei. București 17 - 18 oct. 1975.

C U P R I N S U L

<u>INTRODUCERE</u>	.....
<u>CAPITOLUL I.</u> - STUDIUL ANALITIC AL POSIBILITATILOR DE MULTIPLICARE PE CALE STATICĂ A FRECVENTEI PRIN FOLOSIREA MIZURILOR SATUMATE .....	1
1.1. Introducere .....	1
1.2. Folosirea posibilităților pe care le oferă dubloarele și triploarele de frecvență statică, de tip electro- magnetic pentru transferul de putere de la frecvență la frecvență $2f$ , respectiv $3f$ .....	9
1.3. Studiul posibilităților de obținere a unor funcții de ieșire sinusoidale la dubloarele și triploarele statică de frecvență .....	18
1.4. Sistemul mărimilor relative .....	28
1.5. Tendințe în tehnica mondială și în R.S.R. privind multiplicatoarele de frecvență statică .....	36
<u>CAPITOLUL II.</u> - TIPURI DE DUBLOARE SI TRIPLOARE STATIC DE FRECVENTA. . . . .	39
2.1. Introducere .....	39
2.2. Dubloul static de frecvență cu ieșire monofazată ..	44
2.3. Regimurile de funcționare ale dubloului de frecvență Joly-Hipstein .....	45
2.4. Tripolare statice de frecvență cu ieșire monofazată .....	51
2.5. Regimurile de funcționare ale triplorului de frecvență cu intrare trifazată .....	55
<u>CAPITOLUL III.</u> - UTILIZAREA CALCULATORULUI NUMERIC LA PROIECTAREA OPTIMA A MULTIPLICATOARELOR ELECTROMAGNETICE STATIC DE FRECVENTA . . .	73
3.1. Introducere .....	73
3.2. Relații pentru calculul optimul al multiplicatoarelor de frecvență la densitatea curentului cunoscută ..	74
3.3. Algoritmul de calcul al multiplicatoarelor de frecvență în vederea optimizării pierderilor în cupru și în fier, care să conduce la rendament și la îngăzirea optimă .....	85
3.4. Programul unitar de calcul al unui multiplicator de frecvență în vederea optimizării pierderilor în cupru și în fiercare să conduce la rendament și la îngăziri optimă .....	97

<u>CAPITOLUL IV.- PROIECTAREA OPTIMALĂ A DUBLOAȘORI STATICI DE FRECVENTĂ PRIN UTILIZAREA CALCULATORULUI NUMERIC . . . . .</u>	164
4.1. Introducere . . . . .	164
4.2. Sinteză recomandărilor din literatură privind dimensiunile dubloașelor statice de frecvență . . . . .	165
4.3. Proiectarea optimă și comparativă a dubloașelor de frecvență utilizând calculatorul numeric pentru dubloul de frecvență 60 Hz-Joly-Epstein . . . . .	166
4.4. Considerații asupra optimizării dubloașelor de frecvență Joly-Epstein utilizând calculul numeric . . . . .	168
<u>CAPITOLUL V.- PROIECTAREA OPTIMALĂ A TRIPLOAȘORI STATICI DE FRECVENTĂ PRIN UTILIZAREA CALCULATORULUI NUMERIC . . . . .</u>	177
5.1. Introducere . . . . .	177
5.2. Sinteză recomandărilor din literatură privind dimensiunile triplorilor statice de frecvență . . . . .	178
5.3. Proiectarea optimă și comparativă a triplorilor de frecvență, utilizând calculatorul numeric pentru triploul de frecvență tip Spinelli . . . . .	181
5.4. Proiectarea triplorului de frecvență tip Spinelli $S_{2n} = 2 \text{ KVA} ; 3x220/220 \text{ V.}$ . . . . .	184
5.5. Considerații asupra optimizării triplorilor de frecvență Spinelli utilizând calculul numeric . . . . .	186
<u>CAPITOLUL VI.- CERCETAREA DE LABORATOR A CARACTERISTICIILOR DE FUNCȚIONARE ALOR TIPURII DE DUBLOAȘ SI TRIPLOAȘURI DE FRECVENTĂ, VERIFICAREA CARIEI ATLAȚIUNII SI PROGRAMULUI DE CALCUL NUMERIC . . . . .</u>	193
6.1. Introducere . . . . .	193
6.2. Cercetarea de laborator, pentru verificarea algoritmului și programului de calcul propuse pentru dubloașele de frecvență Joly-Epstein . . . . .	197
6.3. Cercetarea de laborator, pentru verificarea algoritmului și programului de calcul propuse, pentru triplorile de frecvență Spinelli . . . . .	197
6.4. Tripolarul $S_{2n}^p = 2 \text{ KVA} ; 3x220/220 \text{ V.}$ . . . . .	202
6.5. Proba pe vînafestușă în instalații cu triplor . . . . .	202
<u>CAPITOLUL VII.-CONCLUZII FINALE . . . . .</u>	208
<u>BIBLIOGRAFIE . . . . .</u>	211
<u>CUPRINSUL . . . . .</u>	215

